

B.I.G.

97812

INSTITUTUL DE GEOLOGIE ȘI GEOFIZICĂ

DĂRI DE SEAMĂ
ALE
ŞEDINȚELOR

VOL. LXI

1973 - 1974

4. STRATIGRAFIE



BUCUREŞTI

1975



Institutul Geologic al României

INSTITUTUL DE GEOLOGIE ȘI GEOFIZICĂ

DĂRI DE SEAMĂ

A L E
Ş E D I N Ţ E L O R

VOL. LXI
(1973—1974)

4. STRATIGRAFIE



BUCUREŞTI
1975



Institutul Geologic al României

4. STRATIGRAFIE

A SUPRA VÎRSTEI PALEOZOICE (DEVONIAN) A FORMAȚIUNII DE VIDRA, DIN PARTEA DE NORD A MUNTILOR ȚARCU (CARPAȚII MERIDIONALI)¹

DE

N. GHERASIU², ADINA VISARION³, P. ZIMMERMANN², MAGDALENA IORDAN³

Abstract

On the Paleozoic Age (Devonian) of the Vidra Formation situated in the Northern Part of the Țarcu Mountains (South Carpathians). A short description of the Vidra Formation, which consists of marine sediments affected by a low grade metamorphism, is made. They unconformably overlie the Danubian Crystalline Schists. The Devonian age of this formation is based on the determination of microfloral elements with a prevailing phytoplanktonic character.

În partea de vest și de nord a masivului Vîrful Pietrii cuprins între bazinul văii Bistra Mărului și valea Bistra Bucovei, se poate urmări în aria de extindere a cristalinului autohton o stivă de sedimente slab metamorfozate cunoscută sub numele de formațiunea de Vidra.

Această formățiune a fost separată anterior de Gherasi (1937), atribuindu-i-se vîrstă mezozoică (Lias-Dogger?).

Cercetările ulterioare efectuate de Codarcea și Gherasi (1944)⁴ au condus la numirea acestor sisturi slab metamorfozate „seria de Vidra” considerindu-le de vîrstă paleozoică.

Prospecțiunile întreprinse de Rădulescu⁵, au permis separarea cartografică a unui conglomerat slab metamorfozat, situat în baza seriei de Vidra.

¹ Comunicare în ședința din 31 mai 1974.

² Intreprinderea Geologică de Prospecții pentru Substanțe Minerale Solide, Str. Caranșebăș nr. 1, București.

³ Institutul de Geologie și Geofizică, Str. Caranșebăș nr. 1, București.

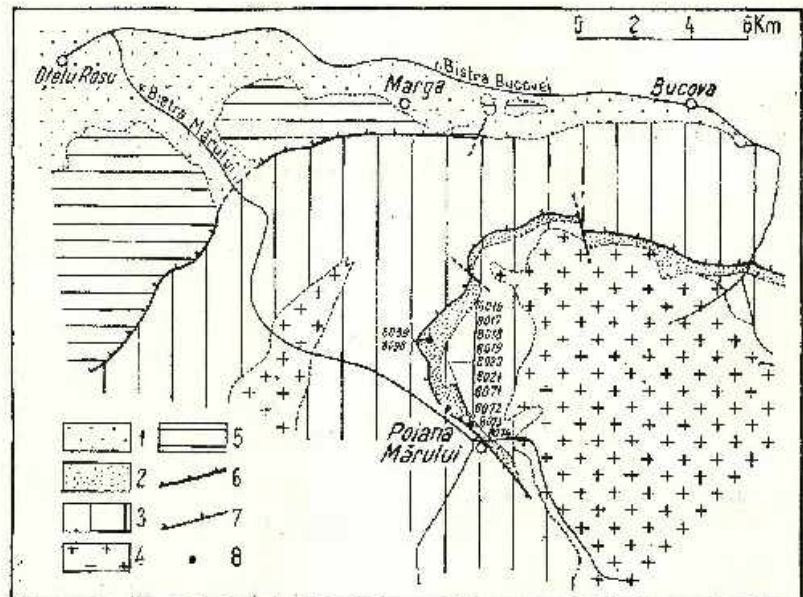
⁴ A.I. Codarcea, N. Gherasi. Raport geologic preliminar privind amenajările hidrotehnice din bazinul văii Bistra Mărului. 1944. Arh. M.M.P.G. București.

⁵ I. Rădulescu, L. Dumitru Rădulescu. Raport asupra geologiei regiunii Borlova—Poiana Mărului, Banat. 1958. Arh. M.M.P.G. București.



În anul 1965, Zimmerman⁶ consideră seria de Vidra ca alcătuind un sinclinal pensat în șisturile seriei de Drăgșan și o paraleleză cu seria de Tulișa, pe baza asemănării litostratigrafice dintre cele două serii.

Ulterior, Gherasi et al. (1968) descrie această serie sub numele de „formațiunea de Vidra” pe care o consideră ca sedimentată după Cam-



Schiță geologică a zonei muntoase situată la nord de munții Tarcu (Carpații Meridionali). 1, sedimense néogènes, paléogènes et mésozoïques ; 2, Dévonien, "formation de Vidra" ; 3, cristallin autohton ; 4, granitoïdes associés aux schistes cristallins de l'autochtonne danubien ; 5, cristallin génétique ; 6, plan de charriage ; 7, faille à caractère de chevauchement ; 8, échantillons analysés au point de vue palynologique.

1 sédiments néogènes, paléogènes et mésozoïques ; 2, Dévonien, "formation de Vidra" ; 3, cristallin autochtone ; 4, granitoïdes associés aux schistes cristallins de l'autochtone danubien ; 5, cristallin génétique ; 6, plan de charriage ; 7, faille à caractère de chevauchement ; 8, échantillons analysés au point de vue palynologique.

brianul mediu, deoarece conține resturi de entroce în calcarenitele interstratificate.

Dezvoltarea cea mai completă a formațiunii de Vidra se întâlnește încrepid de la nord de localitatea Poiana Mărului fiind străbătută de

⁶ P. Zimmerman, Voichița Zimmerman. Raport asupra prospecțiunilor pentru minereuri de fier și neferoase din partea de nord a masivului Retezat, 1965. Arh. M.M.P.G., București.

afluenții din dreapta văii Bistra Mărului și anume pe valea Racotul Mare valea Vidra, Valea Mare. De aici formațiunea de Vidra se extinde pînă în coama Măgura Marga de unde se continuă spre NE sub forma unei benzi înguste ce nu depășește 150 m, pînă în valea Bistra Bucovei că și mai la est de această vale (fig.).

Din punct de vedere litostratigrafic, în formațiunea de Vidra au fost separate trei nivele a căror succesiune este următoarea: nivelul inferior, constituit din metaconglomerate și cuarțite; nivelul mediu, cuprinsind calcarenite și calcare microcristaline șistoase; și nivelul superior alcătuit din filite sericitoase cu grafit, șisturi cuarțitice grafitoase. Metaconglomeratele bazale ale nivelului inferior sunt transgresive pe șisturile cristaline ale seriei de Măgura, constituită din șisturi cuarțitice cu clorit, biotit și muscovit la care se asociază migmatite oftalmitice. În calcarenitele și calcarele microcristaline au fost observate în secțiuni subțiri piese de crinoide și fragmente de echinoderme.

Formațiunea de Vidra, constituie un sinclinal înclimat în seria de Măgura, mărginit la vest și nord de o falie cu caracter de încălcare.

Prezența sericitului, fengitului, cloritului că și a cloritoidului în formațiunea de Vidra, indică un metamorfism de grad scăzut, care a afectat aceste sedimente de vîrstă devoniană, metamorfismul manifestându-se în ciclul varis.

În cadrul proiectelor executate de Zimermann⁷ în anul 1965, a fost descoperit un fragment de macrofossil în șisturile cu cloritoid din Valea Mare.

Restul fosil, cercetat de Magdalena Iordan, are o formă cilindrică, turtită, cu lungimea de aproximativ 8 cm și lățimea de cca 22 mm în regiunea distală și de aproximativ 7-10 mm spre partea proximală. Prezintă o alternanță de benzi albe și negre, lățe de 1-3,5 mm, fapt care pledează pentru forma inelară a cochiliei. Benzile albe reprezintă cochilia și sunt constituite din grăunți de cuart recristalizat, ceea ce denotă o redepunere în spațiul rămas în urma dizolvării cochiliei calcaroase în timpul procesului de diagenizare. Benzile negre, alcătuite din același material argilos-siltitic cu pigment grafitos care constituie însăși masa depozitelor respective, reprezintă umplutura cochiliei.

Forma identificată prezintă o secțiune transversală eliptică care credem că se datorează presiunii suferite de sediment în timpul diagenizării și metamorfozării.

După aspectul general, forma inelară, dimensiunile și chiar secțiune transversală înclinată să credem că restul fosil, identificat în filitele din Valea Mare, aparține unui cefalopod orthocer (Michelinoceras).

Faptul că nu am identificat sifonul central sau lateral ne conduce la ideea că restul fosil identificat ar putea apartine unui cornulitid (*Cornulites*) care de asemenea prezintă o cochilie conică-inelară a căruia cavitate însă nu este despărțită prin septe.

⁷ Op. cit. pet. 6.

Michelinoceras este întâlnit din Ordovicianul mediu pînă în Triasic inclusiv, iar *Cornulites* de asemenea din Ordovicianul mediu și pînă în Devonian inclusiv.

Înaintata diagenizare nu ne permite, în stadiul actual de cercetare, să ne pronunțăm cu certitudine asupra apartenenței la un grup sau altul, grupuri care de altfel sunt caracteristice pentru Paleozoic.

TABEL.

Răspindirea stratigrifică a microfosilor identificati în formațiunea de Vidra

Valea Mare	Valea Roșia	Unități taxonomice	Paleozoic			
			Ordovi- cian	Silurian	Devo- nian	Carbo- nifer
+	-	<i>Protosphaeridium</i> sp.	1 2 3			
+	+	<i>Protoliosphaeridium</i> S t a p l.				
	+	<i>Protoliosphaeridium major</i> S t a p l.				
	+	<i>Protoliosphaeridium granulosum</i> S t a p l.				
	+	<i>Protoliosphaeridium</i> cf. <i>diapha-</i> <i>natum</i> S t a p l.				
	+	<i>et. Duvernaysphaera</i> sp.				
	+	<i>Multiciliopharidium</i> sp.				
	+	<i>Veryachitum</i> sp.				
+	+	<i>Leiosphaera</i> sp.				
+	+	<i>Trichopshosphorea</i> sp.				
	+	<i>Hrocopshosphorea</i> sp.				
	+	<i>Hrocopshosphorea utilis</i> Cibrik.				
	+	<i>Dictyopshosphorea</i> sp.				
	+	<i>Dictyopshosphorea polyparia</i> (S t a p l.) Cibrik.				
+	+	<i>Hyrteliosphaeridium microste-</i> <i>losum</i> (S t a p l.) Cibrik.				
	+	<i>Polyedryxium</i> sp.				
	+	<i>Calamospora</i> sp.				
	+	<i>Calamospora obiecta</i> Winslow				
	+	<i>Conoolaspora</i> sp.				
	+	<i>Punctatisporites</i> sp.				
	-	<i>Granulatisporites</i> sp.				
	+	<i>Lophotrites</i> sp.				
	+	<i>Leiotritites</i> sp.				

Sigur este faptul că acesta este primul fragment de macrofossil întâlnit în depozitele slab metamorfozate ale formațiunii de Vidra (pl. III).

Identificarea în anul 1972, a unor microorganisme fosile în cîteva probe colectate informativ din formațiunea de Vidra a determinat investigarea palinologică a acestor depozite.



Din materialul prelucrat rezultate pozitive au fost obținute din filitele sericitoase cu grafit și din șisturile calcaroase colectate din profilele Valea Mare și Valea Roșia, care au pus în evidență o asociație microfloristică alcătuită din microfitoplancton și spori. Din cercetarea conținutului palinologic și a răspândirii sale stratigrafice ilustrată în tabelul prezentat, se desprind o serie de concluzii biostratigrafice din care rezultă și primele încercări de datare a acestei formațiuni.

Elementele fitoplanctonice sunt reprezentate prin acritarche dintre care formele *Leiofusa*, *Veryhachium*, *Protosphaeridium* care au o largă circulație în Paleozoic, apar asociate cu *Trachypsophosphaera*, *Brachopsophosphaera* și *Dictyopsophosphaera*, cunoscute în intervalul Silurian-Devonian.

Prezența formelor *Brachopsophosphaera vitilis* Cibrik. și *Hyrtelosphaeridium microsaetosum* (Stapł.) Cibrik. citate de Cibrikov (1972) în depozitele devoniene, din pre-Ural și Uralul de sud în asociație cu *Protoliosphaeridium granulosum* Stapł., *Pr. major* Stapł., *Pr. cf. diaphanum* Stapł., *Multiplicisphaeridium* sp. forme identificate în Devonianul din Alberta-Canada (Staplin, 1961) ne indică posibilitatea de a atribui această vîrstă formațiunii de Vidra.

Un argument important în sprijinul acestei vîrste este și identificarea unei forme poliedrice-hexagonale cu suprafață granulată și cu prelungiri în formă de creste și de aripioare (pl. II, fig. 4) care corespunde ca descriere și dimensiune genului *Polyedryxium* considerat de Duff (pl. III, fig. 12; 1971), cu excepția unei aparitii sporadice în Ordovician, ca gen în exclusivitate devonian.

Prezența în asociație a unor spori, în genere slab conservați, aparținând genurilor *Punctatisporites*, *Granulatisporites*, *Convolutispora*, *Leiotrites*, *Lophotrites*, *Calamospora* și *Calamospora obtecta* Winslow care incep din Devonian, continuindu-se în Carbonifer, este în acord cu distribuția stratigrafică a microfitoplanctonului determinat.

În consecință, vîrsta paleozoică indicată de restul fosil identificat în formațiunea de Vidra este atestată de asociația microfloristică, care în actualul stadiu de cunoaștere, pledează pentru Devonian.

Considerăm că cercetările de detaliu care se vor extinde asupra întregii arii de răspindire a acestor depozite slab metamorfozate vor aduce noi precizări de vîrstă.

Este de menționat că depozite devoniene metamorfozate apar de asemenea într-o altă unitate tectonică, în munții Poiana Rusă, la nord de zona cercetată de noi.

În această regiune, în calcarele stratificate intercalate în șisturile verzi tufoogene ale seriei de Ghelar din forajul 15 de la Iazuri, a fost identificată o asociație microfloristică determinată de Violeta Iliescu (Kräutner et al., 1973) care indică vîrsta devoniană-medie a acestor depozite.

În contrast cu dezvoltarea foarte redusă a formațiunii de Vidra, depusă într-un regim epicontinental, depozitele premetamorfice din partea de nord a masivului Poiana Rusă au fost sedimentate într-un geosin-clinal care a depășit în grosime 10.000 m. Prezența unor sedimente devo-



niene afectate de un metamorfism de grad scăzut, reprezentate prin formațiunea de Vidra ridică problema identificării unor depozite similare în domeniul danubian.

BIBLIOGRAFIE

- Allen R. C. (1967) Lower and middle Devonian spores of north and central Vestspitsbergen. *Palaeontology* 8, p. 4, London.
- Balme B. E., Hassel C. W. (1962) Upper Devonian spores from the Canning basin, western Australia. *Micropalaeontology* 8, 1, New York.
- Cholerer G. W. (1967) Spores and land-plant evolution. *Review of Palaeobotany and Palynology* 1, 4, Amsterdam.
- Cibrikova E. V. (1972) Rastitelnie microfossili in'jnoego Urala i Priurala. *Izdatel'stvo „Nauka“*, Moskva.
- Denuff J. (1971) Microfossiles organiques du paléozoïque. Les Acanthaires. C.I.M.P., Paris.
- Gherasi N. (1937) Etude pétrographique et géologique dans les Monts Godeanu et Tarcu, Carpates Méridionales. *Ann. Inst. Geol.* XVII, 1937, București.
- Zimmermann P., Zimmermann Voiechița (1968) Structura și petrografia șisturilor cristaline din partea de N a Munților Tarcu (Banatul de Est). *D.S. Inst. Geol.* LIV/3, 1968–1967, București.
- Kräutner H., Muresan M., Iliescu Violeta, Minzatu Silvia, Vijdea Eleonora, Tănăsescu Anca, Iancică Magdalena, Andăr Anca, Anastase Ș. (1973) Devonian.— Carboniferul inferior epimetamorfic din Poiana Rusă. *D. S. Inst. Geol.* LIX/4, București.
- Richardson J. B. (1964) Stratigraphical distribution of some Devonian and Lower Carboniferous spores. *C.I.M.P. Congr.-Intern. Stratig. et Géol. du Charbon*. Paris.
- Staplin F. (1961) Reef controlled distribution of Devonian mikroplankton in Alberta. *Palaeontology* 4, p. 3, London.
- Winslow M. R. (1962) Plant spores and other microfossils from Upper Devonian and Lower Mississippian Rocks of Ohio. *Washington U.S.-Govt. Print. Office*.

SUR L'ÂGE PALÉOZOÏQUE (DÉVONIEN) DE LA FORMATION DE VIDRA, DANS LA PARTIE N DES MONTS TARCU (CARPATES MÉRIDIONALES)

(Résumé).

Les dépôts sédimentaires faiblement métamorphisés de la formation de Vidra sont discordants sur les schistes cristallins de l'Autochtone danubien. L'épaisseur de cette formation varie entre 150 et 500 m et son extension la plus importante est située dans le bassin de Valea Mare (fig.). La formation de Vidra débute par un niveau de métaconglomérats et de quartzites, suivi en succession normale par de : phyllades, calcarénites et calcaires micro-



cristallins constituant le niveau moyen, qui est surmonté par les phyllades sériciteux à graphites et par les schistes quartzitiques du niveau supérieur.

Le prélevement d'échantillons effectué dans les vallées Roșla et Valea Mare a permis d'entreprendre une étude palynologique. La détermination d'une association microphitoplanctonique, dont nous citons *Brachosporesphaera vitilis*, *Protosphaeridium granulosum* (planchette I) aussi que celle de *Polyedryxium* (planchette II) et d'un fragment de céphalopode orthocénoïde (*Micheitnocrinus*) ou de cornulitide (*Cornulites*) (planchette III) nous a autorisé d'attribuer la formation de Vidra au Dévonien.

La formation de Vidra est affectée par un faible métamorphisme, caractérisé par la formation de : séricite, phanomite, chlorite et chloritoïde. Ce métamorphisme s'est déroulé pendant l'orogenèse varisque.



PLANSA I

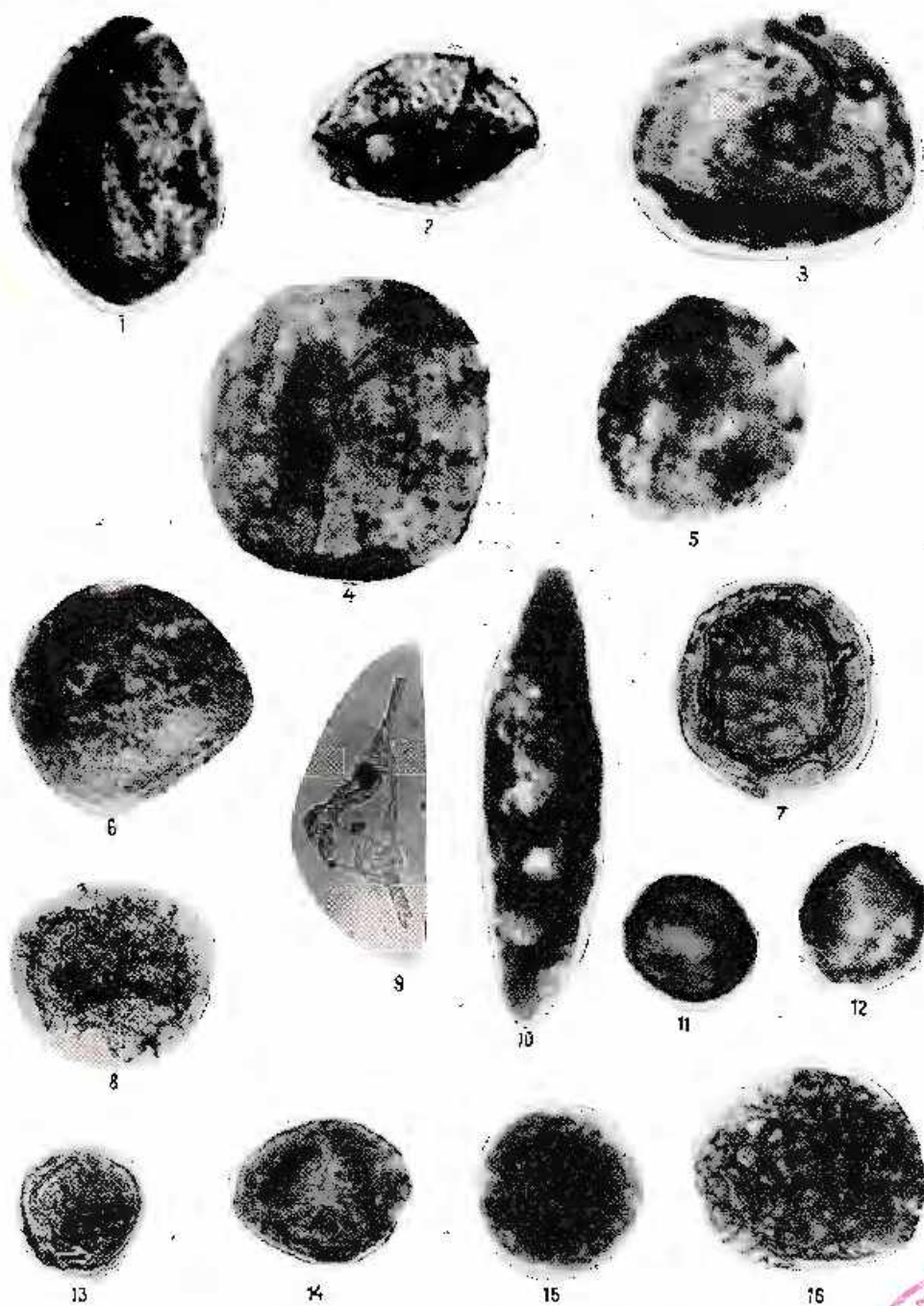


Institutul Geologic al României

PLANSA I

- Fig. 1, 2. — *Protosphaeridium* sp. Prep. 8071, 7082.
- Fig. 3. — *Prototiosphaeridium* cl. *diaphanum* S tapl. Prep. 8071/3.
- Fig. 4. — *Prototiosphaeridium major* S tapl. Prep. 8071/3.
- Fig. 5, 6. — *Prototiosphaeridium granulosum* S tapl. Prep. 8072/3.
- Fig. 7. — cf. *Duvernaysphaera* sp. Prep. 8018/1.
- Fig. 8. — *Multiplicisphaeridium* sp. Prep. 8073.
- Fig. 9. — *Vergachium* sp. Prep. 8018.
- Fig. 10. — *Lecifusa* sp. Prep. 8018/2.
- Fig. 11, 12. — *Hyallesphaeridium interosaeformis* (S tapl.) Cibrick. Prep. 8080/2, 8089/1.
- Fig. 13, 14. — *Biochopsophosphaera* sp. Prep. 8096.
- Fig. 15. — *Biochopsophosphaera vittis* Cibrick. Prep. 8018, 8016.
- Fig. 16. — *Dictyopsophosphaera peiyana* (S tapl.) Cibrick.
x 500





Institutul de Geologie și Geofizică. Dări de seară ale ședințelor, vol. LXI/4.

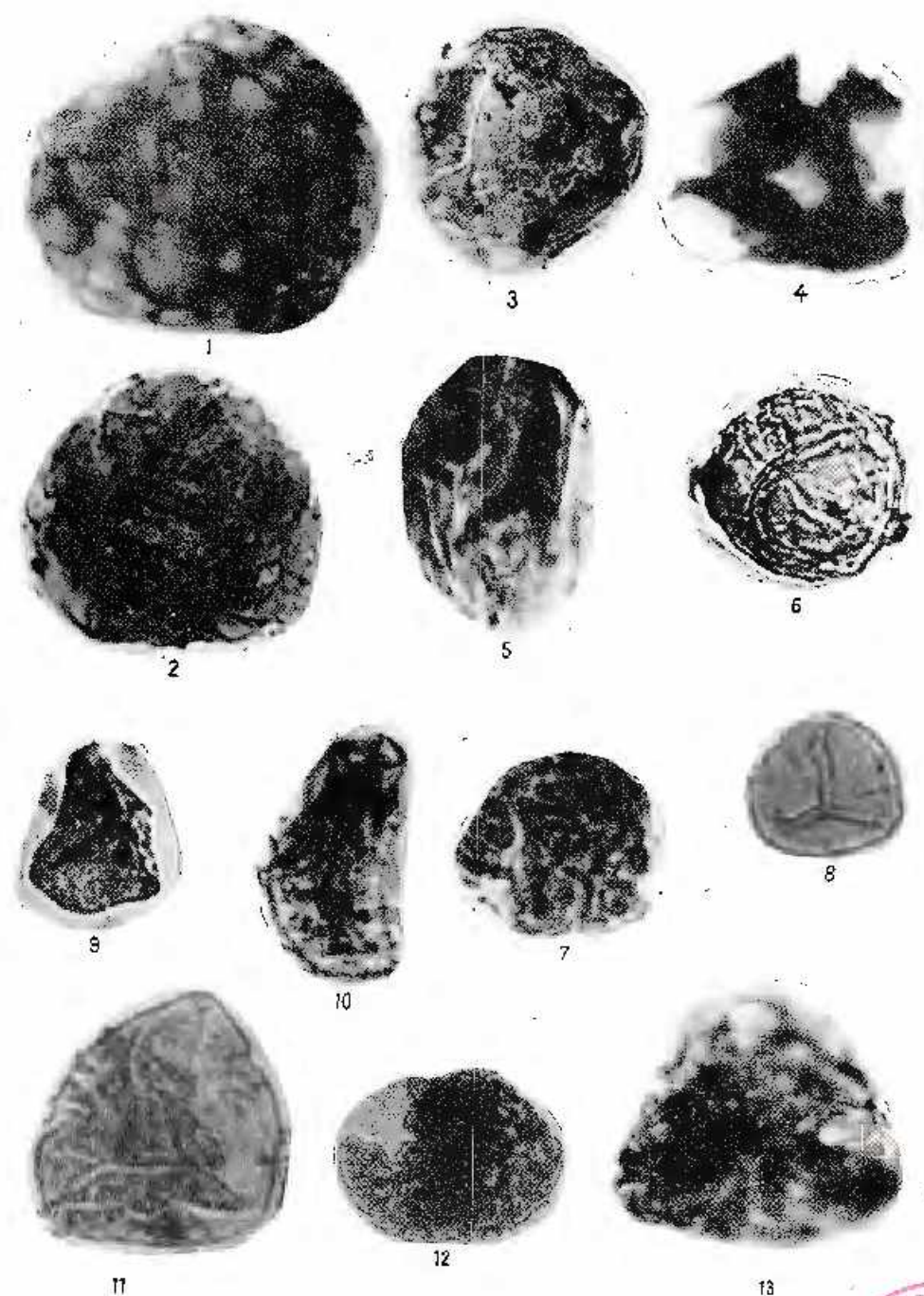


Institutul Geologic al României

PLANŞA II

- Fig. 1. — *Dicyapsophosphatera* sp. Prep. 8018, 8071.
 Fig. 2, 3. — *Trachysophsphatera* sp. Prep. 8096/2.
 Fig. 4. — *Polyedryxian* sp. Prep. 8089/3.
 Fig. 5. — *Calinospora* sp. Prep. 8018.
 Fig. 6. — *Calamospora obiceia* Winslow. Prep. 8016/2.
 Fig. 7. — *Convolutispora* sp. Prep. 8072.
 Fig. 8. — *Punctatisporites* sp. Prep. 8071/3.
 Fig. 9, 10. — *Cranulatisporites* sp. Prep. 8096.
 Fig. 11. — *Leiotriletes* sp. 8019.
 Fig. 12, 13. — *Lophotriletes* sp. Prep. 8089, 8096.
 x 500





Institutul de Geologie și Geo fizică. Dări de seamă ale ședințelor, vol. LXI/4.



Institutul Geologic al României

PLANSA III

Michelinooceras sp. sau *Cornulites* sp.

Fig. 1. — Secțiune longitudinală. x2.

Section longitudinal. x2.

Fig. 2. — Secțiune transversală. x2.

Section transversale. x2.





1



2

Institutul de Geologie și Geofizică. Dări de sezonă ale ședințelor, vol. LXI/4.



Institutul Geologic al României

4. STRATIGRAFIE

CONTRIBUȚII LA CUNOAȘTEREA CONȚINUTULUI MICROFLORISTIC ȘI A VÎRSTEI FORMAȚIUNILOR METAMORFICE DIN MUNTII RODNEI ȘI MUNTII BISTRITĂ¹

DE

VIOLETA ILIESCU², HANS C. KRÄUTNER²

Abstract

Contribution to the Knowledge of Microfloral Content and Age of Metamorphic Formations in the Rodna and Bistrița Mountains. Relying on palinological data as well as on lithological correlations, the three lithostratigraphic sequences, pertaining to Hercynian epimetamorphic series recognized in the northern part of the East Carpathians Crystalline Zone, were assigned to the following stratigraphic intervals: Upper Ordovician-Lower Carboniferous—Repedea Series; Upper Ordovician-Silurian (eventually Lower Devonian) — Rusăia Series; Lower Carboniferous—Tibău Series. They are located in various Alpine tectonic units, and proceeded from Paleozoic sedimentation areas with different evolution. Within the Repedea Series area weak Caledonian movements have been noticed.

Cercetările palinologice, întreprinse cu scopul de a clarifica vîrstă seriilor epimetamorfice separate în ultimii ani pe considerente litostratigrafice în partea nordică a Carpaților Orientali, au fost îndreptate asupra muntelor Rodnei și asupra sectorului nordic din munții Bistriței, deoarece această regiune reprezintă segmentul transversal cu profilul cel mai complet prin zona cristalină. Ea oferă totodată posibilitatea de a analiza pe o suprafață relativ restrinsă formațiunile tuturor unităților tectonice și de a urmări de la o unitate la alta variațiile în succesiunea litostratigrafică a formațiunilor atribuite diferitelor serii epimetamorfice paleozoice.

Edificiul structural al zonei cercetate constă din mai multe pînze alpine suprapuse care în ansamblul lor constituie sistemul pînzelor bucovinice

¹ Comunicare în ședință din 24 mai 1974.

² Institutul de Geologie și Geofizică, Str. Caranșebos nr. 1, București.

(Săndulescu 1967; Bercia et al.³; Kräutner 1972). În munții Rodnei, partea inferioară a acestui edificiu apare în semifereastra Rodna și cuprinde pinza de Stiol și pinza de Anieș din grupul pînzelor maramureșene. Ambele unități sunt constituite dintr-un fundiment mezometamorfic retromorf (seria de Bretila-Rarău) și o cuvertură palcozoică epimetamorfică cutată (seria de Repedea) (Kräutner, 1972). În munții Bistriței, formațiuni din pînzele maramureșene apar în fereastră tectonică Rusaia. Ele sunt reprezentate de ascemenea printr-o cuvertură epimetamorfică (seria de Rusaia) și un subasment mezometamorfic retromorf (seria de Bretila-Rarău). Avînd în vedere dezvoltarea facială a formațiunilor epimetamorfice paleozoice, se poate presupune că, în fereastră Rusaia apare fie pinza de Stiol, fie o a treia unitate, inferioară, din grupul pînzelor maramureșene.

Peste pînzele maramureșene se dispune pinza de Rodna Mestecăniș (pinza sub-bucovinică după Săndulescu, 1972), constituită în partea de vest, în munții Rodnei, din formațiunile mezometamorfice ale seriei de Rebra-Barnar (Precambrian) iar în partea de est, în munții Bistriței din șisturile epimetamorfice ale seriei de Tulgheș (Precambrian terminal-Cambrian inferior) și o cuvertură sedimentară mezozoică (seria sub-bucovinică — Săndulescu, 1972). Ambele serii cristaline menționate suportă o cuvertură epimetamorfică comună, reprezentată prin seria de Tibău.

Partea superioară a edificiului structural din segmentul cercetat este reprezentată prin pinza bucovinică constituită dintr-o cuvertură sedimentară mezozoică (seria bucovinică, Uhlig 1903, 1907; Săndulescu, 1972) și formațiuni cristaline dispuse în două unități tectonice prealpine; unitatea de Putna constituită din șisturile epimetamorfice ale seriei de Tulgheș și unitatea (pinza) de Rarău formată din rocile mezometamorfice ale seriei de Bretila-Rarău (Kräutner și Kräutner, 1974)⁴.

După datele de care dispunem pînă în prezent, formațiunile cristaline din munții Rodnei și munții Bistriței au fost generate în decursul a trei cicluri de sedimentare și de metamorfism (Bercia et al.⁵; Kräutner, 1972): un ciclu precambrian mediu încheiat printr-un metamorfism regional situat cu cca 700-800 m.a. în urmă, corespunzător probabil orogenezel dalslandiene — seria de Bretila-Rarău și seria de Rebra-Barnar; un ciclu precambrian superior-cambrian inferior încheiat în Cambrianul mediu prin orogeneza baicaliană (sau asintică tardivă)

³ I. Bercia, Elvira Bercia, H. G. Kräutner, Florentina Kräutner, Georgeta Mureșan, M. Mureșan, Violeta Iliescu. Monografia formațiunilor metamorfice din zona cristalino-mezozoică a Carpaților Orientali. 1971. Arh. Inst. Geol. Geof. București.

⁴ H. G. Kräutner, Florentina Kräutner. Sinteza geologică a regiunii miniere Fundul Moldovei. 1974. Arh. Inst. Geol. Geof. București.

⁵ Op. cit. pet. 3.

însoțită de un metamorfism regional situat cu 520-530 m.a. în urmă — seria de Tulgheș; un ciclu paleozoic închis în decursul orogenezei hercineice printr-un metamorfism regional corespunzător probabil fazei sudete — seria de Repedea, seria de Rusaia, seria de Tibău.

Seria de Brețila-Rărău (BR) atribuită părții inferioare a Proterozoicului mediu (Krăutner, Savu⁶; Krăutner, 1972) reprezintă o formătune predominant gnaicică cu intercalări de amfibolite, afectată pe arii întinse de un metamorfism regional hercineic (Krăutner, 1972 b). Această serie nu a constituit obiectul cercetărilor noastre întrucât intensitatea ridicată a metamorfismului și gradul avansat de retromorfism nu sunt propice pentru conservarea unor elemente microfloristice.

Seria de Rebra-Barnar (RB) este constituită preponderent din micașuri în care se intercalază roci calcaroase, dolomitice, amfibolite, gnaice și cuarcite. Grosimea succesiunii eunoscute atinge 7000 m. Spre partea mediană a acestei stive se individualizează o formătune de roci carbonatice cu extindere regională, care permite separarea în cadrul seriei a trei complexe litostratigrafice (RB₁, RB₂, RB₃) (Bercia et al.⁷; Krăutner, 1972).

Investigațiile palinologice, îndreptate asupra complexului median cu roci carbonatice în zona vîrfului Coronghiș și în bazinul Izvorul Băi de la NE de valea Vinului au pus în evidență prezența în cantitate redusă a unor elemente microfitoplanetnice, puternic mineralizate. Se întâlnesc în general forme circulare, cu exina netedă sau granulată, cu îngroșări sau pliuri de strivire pe suprafață, cu sau fără îngroșări marginale. Din punct de vedere taxonomic asociația este formată aproape exclusiv din elemente din grupul sferomorfidelor și anume: *Protosphaeridium* sp., *Synsphaeridium conglutinatum*, *Trachysphaeridium* sp., *Pseudozonosphaeridium* sp.

Formele menționate, ca și alte asociații identificate în seria de Rebra-Barnar (Ilieșeu, Dessila-Codarcăea, 1965; Ilieșeu, Mureșan, 1972) se caracterizează în general printr-o largă circulație în Precambrian (Rifean și Vendian), unele din ele fiind cotate și în Paleozoicul inferior. Având în vedere că limita între Proterozoicul superior și Proterozoicul mediu a fost considerată pentru teritoriul carpatice la 700-800 m.a. (Krăutner, Savu⁸; Krăutner, 1972) și că acest interval corespunde cu aproximativă limita între Vendian și Rifean cotate în platforma rusă la 680 ± 20 m.a. (Shepelya, 1973; Sokolov, 1972) considerăm că datele palinologice obținute pentru seria de Rebra-Barnar sunt în acord cu datele de vîrstă izotopică care situează această serie în partea superioară a Proterozoicului mediu ($Pb-Pb =$

⁶ H. G. Krăutner, H. Savu. Precambrian from Romania. 1973, sub tipar.

⁷ Op. cit. pet. 3.

⁸ Op. cit. pet. 6.

800 m.a., Vîjdea, Anastase⁹) iar metamorfismul ei în perioada tectogenezei dalslandicne (model $K/Ar = 700$ m.a., Minzatu et al.¹⁰, izocrona $K/Ar = 700$ -800 m.a., Krautner, 1972).

Seria de Tulgheș (Tg) reprezintă o stivă epimetamorfică (faciesul șisturilor verzi) de cca 3000-4000 m grosime constituită preponderent din roci de natură terigenă, în care se intercalează la mai multe nivele formațiuni vulcanogen-sedimentare riolitice și diabazice, dispuse într-o alternanță ritmică. O secvență de roci grafitoase sericiticoase și cuarțite negre (metalidite), asociate unui episod al vulcanismului bazic, permite separarea în cadrul sericii a trei unități litostratigrafice (complexele Tg_1 , Tg_2 , Tg_3) (Bericia et al.¹¹).

În urma unor cercetări palinologice anterioare, formațiunile seriei de Tulgheș au fost atribuite Rifean-Cambrianului inferior (Ilieșcu, Codărcea, 1965) și Cambrianului inferior (Ilieșcu, Mureșan, 1972).

Investigațiile noastre au pus în evidență elemente microfitoplantonice de circulație largă în Precambrian-Cambrianul inferior, atât în șisturi sericitico-grafitoase (valea Puciosul de la Iacobeni) și în calcar eenuși rubanate (calcarul de pîrful Cailor, în valea Putna, deasupra planului de șariaj din fereastra Putna) din complexul Tg_2 , cit și în șisturi sericiticoase slab grafitoase (valca Putna, comuna Pojorita) asociate nivelului de metatururi bazice de Girbele din partea inferioară a complexului Tg_3 . Asociația microfloristică cuprinde sferomorfide cotate de Timofeev (1973) în Vendianul din platforma rusă (*Trachysphaeridium* sp., *Orygmatosphaeridium* sp., *Synsphaeridium conglutinatum*, *Zonosphaeridium* sp.).

Luind în considerare și celelalte asociații microfloristice cotate în seria de Tulgheș de Ilieșcu, Dessila-Codărcea (1965), Dessila-Codărcea (1967), Ilieșcu, Mureșan (1972), se constată că toate conțin forme care se situează sub pragul biologic dintre Cambrianul inferior și Cambrianul mediu. În general genurile și speciile cotate se plasază în Vendian și în Cambrianul inferior. Având în vedere că în ultimul timp, majoritatea formelor cotate de Ilieșcu, Mureșan (1972) drept specifice pentru Cambrianul inferior au fost identificate și în depozitele Vendianului de pe teritoriul Uniunii Sovietice, atribuim seria de Tulgheș intervalului Vendian-Cambrian inferior. Luind în considerare pe de o parte vîrstele Pb-Pb de 500-600 m.a. pentru minereurile singenetică de pîrită și sulfuri polimetale din complexul Tg_2

⁹ Eleonora Vîjdea, S. Anastase. Determinări de vîrstă absolută asupra zăcămintelor de sulfuri polimetale din seria de Rebra-Barnar. 1974. Arh. Inst. Geol. Geof. București.

¹⁰ Silvia Minzatu, Anca Tănăsescu, Magdalena Ionicea, Vasilica Neacsu. Determinări radiometrice de vîrstă absolută asupra formațiunilor metamorfice din Carpații Orientali. 1971. Arh. Inst. Geol. Geof. București.

¹¹ Op. cit. pct. 3.

(Vijdea, Anastase¹²), iar pe de altă parte prezența formei *Acanthosphaera cambriensis* Naum. (Ilieșcu, Mureșan, 1972) la aproximativ același nivel stratigrafic din complexul Tg₃ considerăm că este probabil ca partea superioară a seriei de Tulgheș (în mare parte complexul Tg₃) să corespundă Cambrianului inferior, iar partea inferioară a seriei să reprezinte un echivalent stratigrafic al părții superioare a Vendianului din platforma rusă.

Seria de Repedea (Rp) a fost separată în semifereastra Rodna drept cuvertură paleozoică epimetamorfică cutată a formațiunilor mezometamorfice ale seriei de Bretila-Rarău (Kräutner, 1968) și atribuită Devonianului și Carboniferului inferior pe baza unor osicule de crinoide și a unor paralelizări litologice (Kräutner, Mirăntă, 1970). Formațiunile seriei sunt dispuse în două unități tectonice – pinza de Stiol (inferioară) și pinza de Anieș (superioară) – caracterizate prin unele particularități în dezvoltarea facială a depozitelor paleozoice primare. Succesiunea litologică (3 500 m grosime cunoscută) din cele două pinze este bine coreabilă. Ea comportă următoarele complexe litostratigrafice (Kräutner, Kräutner¹³, 1970) :

Complexul Rp₁ (bazal), reprezentat printr-o formăuine vulcanogen-sedimentară bazică constituită dintr-o alternanță de metatufuli diabazice cu șisturi-cloritoase. În partea inferioară apar local șisturi grafitoase, iar spre partea superioară se dezvoltă un nivel de calcare albe și cenușii ruginate – calcărul de Stiol.

Complexul Rp₂, reprezentat printr-o formăuine detritogenă grafitoasă formată din șisturi sericito-grafitoase, șisturi sericito-cloritoase, cuarțite negre, șisturi calcaroase, calcare cenușiu-stratificate, calcare albe masive (de Fintina). Spre partea superioară se individualizează un nivel reper de roci dolomitice – dolomituil de Birjabel.

Complexul Rp₃, constituit dintr-o formăuine detritogenă cu conglomerate cuarțoase (de Cimpoiașa), cuarțite, șisturi cuarțoase sericitoase ± cloritoase, dispusă probabil cu o slabă discordanță peste complexul Rp₂.

Complexul Rp₄¹⁴ (de Negoiescu), reprezentat printr-o formăuine vulcanogen sedimentară diabazică cu intercalări de metatufuli acide și calcaroase.

Complexul Rp₅¹⁵, constituit în partea inferioară din șisturi și cuarțite grafitoase asociate cu metaconglomerate, șisturi cuarțice sericitoase,

¹² Eleonora Vijdea, S. Anastase. Cercetări asupra raporturilor izotopice ale plumbului în zăcămintele legate de cristalinul Carpaților Orientali. 1971, Arh. Inst. Geol. Geof. București.

¹³ H. G. Kräutner, Florentina Kräutner. Harta geologică 1:50.000 Foia Iucu. 1974, sub tipar.

¹⁴ Anterior (H. G. Kräutner și Florentina Kräutner, 1970) unitățile litostratigrafice Rp₃ și Rp₄ au fost înglobate într-un singur complex litostratigrafic numit Rp₃.

¹⁵ Notat anterior Rp₄.

sisturi verzi și calcare; în partea mediană dintr-o alternanță de calcare, dolomite și sisturi sericitoase ± grafitoase; iar în partea superioară dintr-o stivă de cuarțite feldspatice (metagrauwake) cu intercalări sporadice de metatufuri acide.

Complexul Rp₄¹⁶, reprezentat prin metatufuri bazice, sisturi sericito-cloritoase, calcare și metatufuri acide.

Conținutul microorganic obținut prin prepararea a numeroase probe este în general sărac, în mare parte degradat sau fragmentat. Asociațiile microfloristice sunt formate din elemente fitoplanctonice cu largă circulație stratigrafică, microspori de plante paleozoice, resturi de țesuturi vegetale. Local (în roci calcaroase) au fost constatare contaminări cu spori și polen de vîrstă mezozoică. Din probele analizate, numai în trei au fost identificate asociații microfloristice concludente (pl. I).

1. Spre partea mediană a complexului Rp₂ din unitatea de Anies, într-un banc de calcare cenușii stratificate, pe drumul ce coboară de la galeriile din versantul stîng al văii Cepii spre ruinele barăcilor vechii exploatari, a fost identificată o asociație formată din microplancton și resturi de chitinozoare. Microsporii întlniți în celelalte probe din seria de Repeda lipsesc în această asociație. S-au determinat:

- Sphaerochitina* sp.
- Protosphaeridium* sp.
- Protosphaeridium microgranifer* St.
- Synsphaeridium conglutinatum* Tim.
- Polyporata verrucosa* Pich.

Sphaerochitina este chitinozoarul cel mai comun pentru intervalul Silurian superior-Devonian. *Protosphaeridium microgranifer* este citat în depozitele siluro-devoniene din Canada (Staplin, 1961). Celelalte elemente fitoplanctonice nu sunt concludente în privința vîrstei, ele fiind citate fie în întregul interval Precambrian-Paleozoic, fie în Paleozoicul inferior. În concluzie se poate admite că asociația menționată se plasează în Silurianul superior (cu posibilitatea de a trece în Devonianul inferior).

2. În partea inferioară a complexului Rp₄ din unitatea de Anies, pe valea Bistriței la 500 m aval de confluență cu pîrul Birjăbel, a fost identificată în metatufite bazice compacțe și fin granulare o asociație microfloristică constituită preponderent din microspori de plante terestre și subordonat din elemente fitoplanctonice din grupul *Sphaeromorphida*. Din această asociație cităm:

- Leiotriletes* sp.
- Retusotrilobites* sp.
- Granulitisporites* sp.
- Archaeozonotrilobites* sp.
- Synsphaeridium conglutinatum* Tim.
- Protosphaeridium* sp.

¹⁶ Notat anterior Rp₄.

Microsporii menționați aparțin primelor genuri de spori trileți care apar la sfîrșitul Silurianului și începutul Devonianului. Genurile *Retusotriletes* și *Archaeozonotriletes* sunt cilindrice ca forme frecvente pentru intervalul de trecere Silurian-Devonian inferior (Richardson, 1973), iar *Granulatisporites* și *Leiotriletes* sunt forme comune pentru Devonian și Carbonifer. În concluzie considerăm că asociația de microsporii indică vîrstă devoniană pentru formațiunile din care provine.

3. Pe Izvorul Popii, în zona de obârșie, la cca 350 m sud de culmea Galațiului, în șisturi sericito-grafitoase și calcaroase cenușii situate în complexul Rp₅ din unitatea de Stiol — deschisă într-o mică fereastră tectonică — a fost identificată o asociație formată exclusiv din microsporii. Majoritatea elementelor aparțin genului *Leiotriletes*, celelalte genuri fiind prezente cu totul sporadic. Din această asociație cităm :

Leiotriletes sp.

Leiotriletes sphaerotriangulus (L o o s e) P o t.-K r.

Punctatisporites sp.

Granulatisporites sp.

Savitrisporites sp.

Dintre aceste forme *Leiotriletes sphaerotriangulus* și *Savitrisporites* sunt frecvente în Carboniferul inferior. *Leiotriletes sphaerotriangulus* coboară și în Devonianul superior. Ceilalți microsporii sunt întâiați atât în Devonian cât și în Carbonifer. În consecință atribuim rocile analizate Carboniferului inferior cu eventuala posibilitate de a coborî în Devonianul superior.

Avind în vedere noile date microfloristice și posibilitățile de corelare litostratigrafică cu Paleozoicul din Europa centrală atribuim subdiviziunile litostratigrafice din seria de Repedea următoarelor intervale stratigrafice (fig. 1) :

Rp₁—Ordovician superior-Silurian ; Rp₂ — Silurian (cu posibilitatea de a urca în Devonianul inferior) ; Rp₃ — Devonian inferior ; Rp₄ — Devonian mediu ; Rp₅ — Devonian superior ? — Carbonifer inferior ; Rp₆ — Carbonifer inferior.

În această acceptiune vulcanismul bazic din Rp₁ s-ar echivala cu vulcanismul Ordovician-Silurian din Frankenwald și ar marca o perioadă de mobilitate caledoniană ; vulcanismul diabazic și keratofitic din Rp₃ ar corespunde fazei principale a „magmatismului bazic inițial” hercnic din Devonian ; iar vulcanismul bazic succedat de o fază riolitică din Rp₅ ar corespunde activităților vulcanice similare cunoscute în Carboniferul inferior din masivul Renan, masivul Harz și din Thuringia.

Discordanța presupusă între Rp₂ și Rp₃ ar corespunde transgresiunii devoniene din domeniul masivelor hercnice din Europa centrală și marcheză slabe mișcări caledoniene, care pe teritoriul carpatic au fost identificate recent și în Carpații Meridionali prin constatarea unor discordanțe între formațiunile siluriene și devoniene din Poiana Rusă (Krăteler et al., 1973), munții Locva (Maior, 1974) și din munții Lotrului

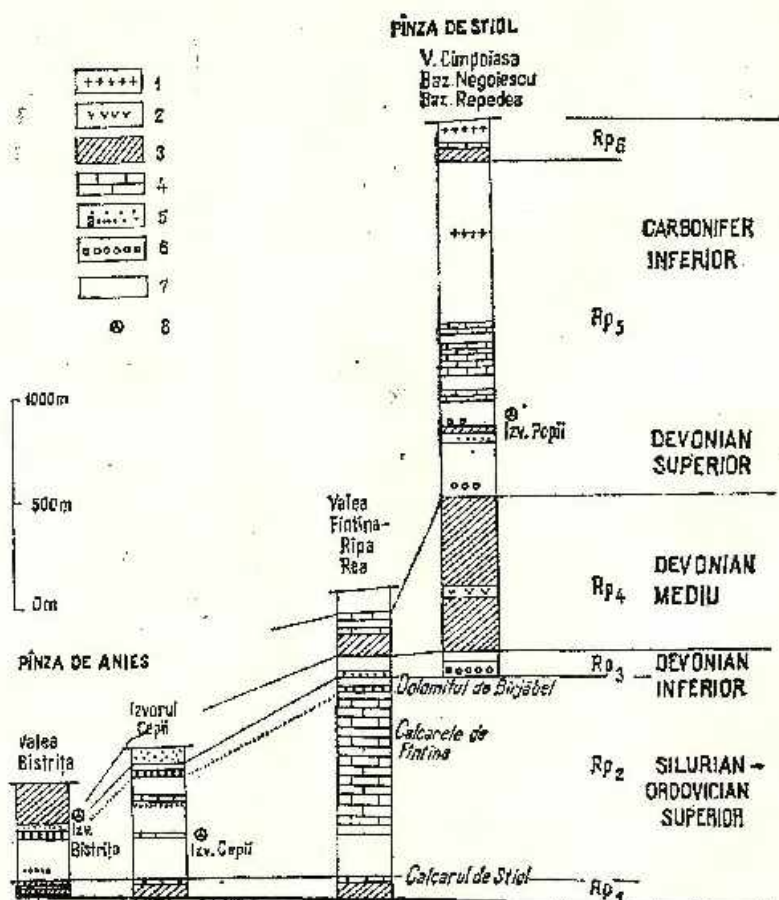


Fig.1. — Succesiunea litostratigrafică a seriei de Repedea cu indicarea localizărilor asociațiilor microfloristice.

1, metatufuri riolitice; 2, metatufuri keratofirice; 3, metatufuri bazice; 4, calcare și dolomite; 5, quartite; a, quartite negre; 6, conglomerate; 7, sisturi sericitico-cloritoase, sisturi grafitoase; 8, localizarea asociațiilor microfloristice.

Succession lithostratigraphique de la série de Repedea, avec la localisation des associations microfloristiques.

1, métatufs rhyolitiques; 2, métatufs kératophyriques; 3, métatufs basiques; 4, calcaires et dolomies; 5, quartzites; a, quartzites noirs; 6, conglomérats; 7, schistes sericitico-chloriteux, schistes graphitiques; 8, localisation des associations microfloristiques.

(Schuster¹⁷). Această constatare impune atribuirea în viitor a formațiunilor înglobate în seria de Repedea la două serii cristaline diferite și anume una cu poziție inferioară (seria de Repedea s.s.), corespunzătoare complexelor Rp₁ și Rp₂ și a două cu poziție superioară, corespunzătoare complexelor Rp₃, Rp₄, Rp₅ și Rp₆.

Seria de Rusai (Ru) cuprinde formațiunile epimetamorfice hercinice din fereastra tectonică Rusai, dispuse transgresiv peste rocile mezometamorfice retromorfe ale seriei de Bretila-Rarău (Krăutner, 1970; Krăutner, 1968, 1972; Berecia et al.,¹⁸). Formațiunile acestei serii au fost atribuite Devonianului pe baza unor paralelizări litostratigrafice cu seria de Repedea din munții Rodnei (Krăutner, Mirăuță, 1970).

Succesiunea litostratigrafică a stivei de șisturi palcozoice (800 m grosime cunoscută) cuprinde trei complexe litologice (Berecia et al.,¹⁹):

Ru₁, Complexul conglomeratelor și calcarelor de Pîrul Omului

Ru₂, Complexul șisturilor sericitico-cloritoase de Rotunda

Ru₃, Complexul dolomitelor și al șisturilor calcaroase de Căminet.

Conținutul microorganic obținut din prepararea a numeroase probe este extrem de redus și constă exclusiv din elemente microfitoplanetnice de largă circulație stratigrafică, din grupul Sferomorfidelor. În calcarurile cenușii de pe valea Măgura, valea Rusai și în șisturile sericitico-grafitoase din valea Bistrița apar *Protosphaeridium* sp. și *Synsphaeridium conglutinatum*. În șisturile sericitico-grafitoase din valea Bistriței au mai fost identificate formele *Trachysphaeridium* sp. și *Leiosphaeridia* sp. Frecvent apar resturi de țesuturi vegetale, fragmente microorganice degradate, neidentificabile.

Conținutul microorganic menționat este neconcludent din punct de vedere stratigrafic. El indică originea marină a materialului litologic studiat.

Avind în vedere posibilitatea corelării succesiunii litologice din seria de Rusai cu formațiuni similare din bazinul văii Anieș din munții Rodnei, atribuite sericii de Repedea într-o dezvoltare facială particulară, considerăm că seria de Rusai poate reprezenta un echivalent stratigrafic al complexelor inferioare (Rp₁ și Rp₂) din seria de Repedea. În consecință atribuim seria de Rusai Ordovicianului superior și Silurianului, cu posibilitatea de a urca pînă în Devonianul inferior, sub rezerva impusă de argumentarea virstei pe baza unor paralelizări litologice.

Seria de Tibău (Tb) cuprinde formațiunile epimetamorfice preponderent carbonatice, care în munții Bistriței și în Maramureș constituie

¹⁷ A. Schuster. Paleozicul metamorfozat din nord-estul Autohtonului Dunăbian (în „Studiul formațiunilor palcozoice metamorfozate din Carpații Meridionali”). 1974, Arh. Inst. Geol. Geof. București.

¹⁸ Op. cit. pct. 3.

¹⁹ Op. cit. pct. 3.

cuvertura hercinică cutată a cristalinului baicalian și dalslandian din pînza de Rodna-Mestecaniș, reprezentat prin seria de Tulgheș și respectiv seria de Rebra-Barnar (Bercia et al.²⁰; Kräutner, 1972). Formațiunea carbonatică corespunzătoare seriei de Tibău²¹ a fost atribuită pe baza unor studii palinologice, efectuate în regiunea Cîrlibaba, Carboniferului (Ilieșcu²²; Ilieșcu, Dessila-Codarcă, 1965; Dessila-Codarcă, 1967). În partea de nord a muntelor Maramureșului, în bazinul văii Bistra, formațiunile seriei de Tibău au fost descrise de Pitulea (1972) sub denumirea de seria de Bistra. Pe baza unei asociații de spori identificată în calcarale din partea inferioară a sericii, Pitulea și Visarion (1972) atribuie formațiunile seriei de Bistra Devonianului superior-Carboniferului inferior subliniind totodată echivalența lor stratigrafică cu partea superioară a succesiunii din seria de Repedea din munții Rodnei. În masivul Rahov seria de Tibău își găsește un echivalent stratigrafic și facial în seria de Kusinsk (Hain et al., 1968) și în „Triasicul în facies sudic” după Slavîn (1966).

Seria de Tibău reprezintă o stivă (500-1000 m grosime cunoscută) constituită preponderent din roci calcaroase și dolomitice cu intercalări de șisturi sericitoase, cuarțite și local metatufuri bazice (șisturile verzi de Tibăuaș). După Pitulea (1972) în nordul Maramureșului, spre partea superioară a succesiunii, se individualizează un complex constituit din șisturi sericito-cloritoase cu intercalări de metatufuri acide.

Din mai multe probe analizate, au fost identificate asociații microfloristice în cele provenite din : 1) calcarale cenușii rubanate din valea Stinei (la 500 m și respectiv 1000 m amonte de confluența cu valea Bistrița); 2) cariera de dolomite situată în versantul stîng al văii Bistrița la 500 m aval de confluența cu valea Tibău; 3) șisturile grafitoase și calcarale cenușii de la gura pîrului Bretila; 4) dolomitele și calcarale cenușii de la gura văii Tibău. Dintre acestea asociațiile de la punctele 1 și 2 conțin un material microorganic mai bogat și bine conservat. Toate punctele fosilifere menționate sunt situate în partea inferioară a seriei de Tibău (fig. 2; pl. II).

1. Asociația microfloristică din calcarale cenușii rubanate situate în partea inferioară a seriei de Tibău (500 m și 1000 m, amonte de confluența cu valea Bistriței) este formată aproape în exclusivitate din microspori paleozoici :

- Lejotrilites cf. densus* Neves.
- Punctatisporites* sp.
- Apiculiretusispora* sp.
- Savitrisporites* sp.
- Verrucosisporites* sp.

²⁰ Op. cit. pct. 3.

²¹ „Calcarale și dolomitele de Cîrlibaba-Tibău”.

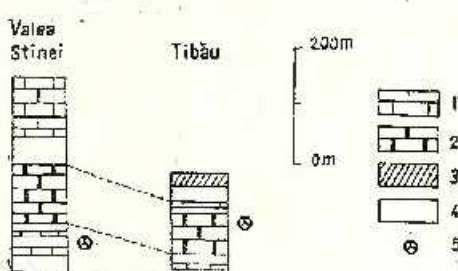
²² Violeta Ilieșcu. Studiu palinologic al șisturilor cristaline de la Cîrlibaba, 1965. Arh. Inst. Geol. Geof. București.

Fig. 2. — Succesiunea lithostratigrafică a seriei de Tibău cu indicarea localizării asociațiilor microfloristice.

1, calcare; 2, dolomie; 3, metatufuri bazice; 4, schisturi sericito-cloritease; 5, localizarea asociațiilor microfloristice.

Succession lithostratigraphique de la série de Tibău avec la localisation des associations microfloristiques.

1, calcaires; 2, dolomies; 3, métatufs basiques; 4, schistes séricito-cloriteux; 5, localisation des associations microfloristiques.



Murospora cf. intorta (Waltz.) Play f.

Stenozonotritetes cf. triangulus Neves.

Archaeozonotritetes sp.

Dintre acestea *Leiotriletes densus* și *Stenozonotritetes triangulus* sunt cotate în Namurianul din Anglia (Neves, 1961) iar *Murospora intorta* în intervalul Dinantian-Westfalian din platforma moesică (Bejnu, 1967). Alte forme apar începând din Devonian [*Apiculiretusispora* (Chalonier, 1967)] sau chiar din Silurianul superior (*Archaeozonotritetes* Richardson, 1973, Playford 1963), dar nu depășește Carboniferul inferior. Distribuția stratigrafică a formelor menționate situează deci rocile analizate în Carboniferul inferior.

2. Asociația palino-protistologică identificată în dolomitele cenușii stratificate din cariera Tibău este alcătuită din microspori, acritarche, polen, și cu totul subordonat din resturi de Scalenodonte și Chitinozoare.

Microsporii sunt reprezentanți prin:

Sporonites unionus Horst

Leiotriletes gulaferus Pot.-Kr.

Calamospora sp.

Granulatisporites granulatum Pot.-Kr.

Savitrisporites sp.

Microreticulatisporites cf. lunulus Knok.

Verrucosporites sp.

Ahrensisporites cf. beeleyensis Meves.

cf. *Murospora* sp.

Baltisphaeridium sp.

Avinț în vedere că în special *Sporonites unionus*, *Savitrisporites*, *Microreticulatisporites lunulus* și *Ahrensisporites beeleyensis* sunt frecvent cotate în prima jumătate a Carboniferului, considerăm că rocile analizate se situează în Carboniferul inferior și sunt deci sincrone cu cele de pe valea Stînei.

Granulele de spori-polen bine conservate reprezintă o asociație de vîrstă mezozoică întâlnită frecvent în „Stratele cu aptichi” (*Oblusisporis junctum*, *Contignisporites* sp., *Gleichenia angulata*, *Cyatidites* sp., *Cle-*



'TABELUL 1
Distribuția stratigrafică a formelor microfornitice identificate în serile spilometanorite din munții Radnei și munții Bistriței

Valea Sibhei	Cariera Tihău	Seria de Tibău	Cambrian	Ordovician			Silurian			Devonian			Dinantian	Nemuri-	West- phalian	Slo- venian
				1	2	3	1	2	3	1	2	3				
-	+	<i>Sporopites unianus</i> Horst.	-	-	-	-	-	-	-	-	-	-	-	-	-	-
-	+	<i>Lefotrites cf. densus</i> Neves.	-	-	-	-	-	-	-	-	-	-	-	-	-	-
-	+	<i>Lefotrites galaiensis</i> Pot.-Kr.	-	-	-	-	-	-	-	-	-	-	-	-	-	-
-	+	<i>Murosphaera</i> sp.	-	-	-	-	-	-	-	-	-	-	-	-	-	-
-	+	<i>Murosphaera</i> cf. <i>inertia</i> (Walitz)	-	-	-	-	-	-	-	-	-	-	-	-	-	-
-	+	Palyt.	-	-	-	-	-	-	-	-	-	-	-	-	-	-
-	+	<i>Microcoleusporites</i> cf. <i>tunulus</i>	-	-	-	-	-	-	-	-	-	-	-	-	-	-
-	+	Klu k.	-	-	-	-	-	-	-	-	-	-	-	-	-	-
-	+	<i>Akterisporites</i> cf. <i>borelegensis</i> Neves.	-	-	-	-	-	-	-	-	-	-	-	-	-	-
-	-	<i>Savintinopites</i>	-	-	-	-	-	-	-	-	-	-	-	-	-	-
-	-	<i>Granulatisporites granulatus</i> Pot.-Kr.	-	-	-	-	-	-	-	-	-	-	-	-	-	-
-	+	<i>Vericosporites</i> sp.	-	-	-	-	-	-	-	-	-	-	-	-	-	-
-	+	<i>Punctisporites</i> sp.	-	-	-	-	-	-	-	-	-	-	-	-	-	-
-	-	<i>Catanoспорă</i> sp.	-	-	-	-	-	-	-	-	-	-	-	-	-	-
-	+	<i>Apertitellusisporoides</i> sp.	-	-	-	-	-	-	-	-	-	-	-	-	-	-
-	+	<i>Stenocercoletes</i> cf. <i>triangulus</i> Neves.	-	-	-	-	-	-	-	-	-	-	-	-	-	-
-	+	<i>Arekacozonorites</i> sp.	-	-	-	-	-	-	-	-	-	-	-	-	-	-
Izvorul Bistriță Gepii	Valea Izvorul Bistriță Gepii	Seria de Repedeia	-	-	-	-	-	-	-	-	-	-	-	-	-	-
-	+	<i>Letotrites cf. sphaerotriangularis</i> (Lo- ose) Pot.-Kr.	-	-	-	-	-	-	-	-	-	-	-	-	-	-
-	-	<i>Savintinopites</i> sp.	-	-	-	-	-	-	-	-	-	-	-	-	-	-
-	+	<i>Punctisporites</i> sp.	-	-	-	-	-	-	-	-	-	-	-	-	-	-
-	+	<i>Granulatisporites</i> sp.	-	-	-	-	-	-	-	-	-	-	-	-	-	-
-	-	<i>Lefotrites</i> sp.	-	-	-	-	-	-	-	-	-	-	-	-	-	-
-	+	<i>Archaeoszonorites</i> sp.	-	-	-	-	-	-	-	-	-	-	-	-	-	-
-	+	<i>Retusulites</i> sp.	-	-	-	-	-	-	-	-	-	-	-	-	-	-
-	+	<i>Protoplasmoidium</i> sp.	-	-	-	-	-	-	-	-	-	-	-	-	-	-
-	+	<i>Synsphaeridium conchiformatum</i> Tim.	-	-	-	-	-	-	-	-	-	-	-	-	-	-
-	+	<i>Protoplasmoidium intergranifer</i> St.	-	-	-	-	-	-	-	-	-	-	-	-	-	-
-	+	<i>Polyporites</i> nigrina Pich.	-	-	-	-	-	-	-	-	-	-	-	-	-	-



chenidites sp., *Anemia* sp.). Acești spori apar în seria de Tibău ca un produs de contaminare prin infiltrație pe verticală, din cuvertura sedimentară a formațiunilor cristaline.

Resturile sporadice de scolenodonte și chitinozoare, reprezentate prin forme comune pentru Silurian și Devonian (*Lagenochitina* sp., *Sphaerochitina* sp.), care nu s-au dezvoltat sincron cu microsporii menționati mai sus, trebuie considerate drept elemente remaniate în seria de Tibău din formațiuni mai vechi. Această acceptiune este în acord cu prezența lor sporadică în materialul analizat și cu lipsa lor în probele provenite din valea Stinei. Identificarea unor resturi de scolenodonte și chitinozoare remaniate în seria de Tibău indică prezența unor formațiuni siluriene și devoniene în aria de alimentare a depozitelor seriei de Tibău și confirmă posibilitatea existenței unor secvențe siluriene în stivile de formațiuni paleozoice din alte arii de sedimentare (seria de Repedea și seria de Rusăia).

În concluzie, avind în vedere că asociațiile de microsporii menționate provin din baza seriei de Tibău, atribuim întreaga succesiune a seriei Carboniferului inferior. Rezultă deci că seria de Tibău reprezintă un echivalent stratigrafic al părții superioare din seria de Repedea (complexele Rp₆, Rp₅) și că cele două serii au fost sedimentate în arii diferite.

Concluzii

Distribuția stratigrafică a asociațiilor microfloristice identificate în seriile de Repedea și de Tibău (tab. 1) și unele considerente rezultate în urma unor paralelizări litologice cu depozitele paleozoice datează din

TABELUL 2

Corelarea stratigrafică a serilor epimetamorfice herciniice din munții Rodnei și munții Bistriei

Carbonifer inferior	Seria de Repedea Complexul Rp ₆		Seria de Tibău
Devonian superior	Complexul Rp ₅		
Devonian mediu	Complexul Rp ₄		
Devonian inferior	Complexul Rp ₃		
Silurian Ordovician superior	Complexul Rp ₂	Seria de Rusăia	
	Complexul Rp ₁		

Europa centrală, permit încadrarea seriilor epimetamorfice herciniice din munții Rodnei și munții Bistriei în următoarele intervale stratigrafice: seria de Repedea — Ordovician superior-Carbonifer inferior; seria de Rusăia — Ordovician superior-Devonian inferior; seria de Tibău — Carbonifer inferior. Corelarea stratigrafică între aceste serii este indicată în tabelul 2.

Seriile epimetamorfice hercinice situate în unități tectonice alpine diferite, respectiv seria de Tibău pe de o parte și seriile de Repedea și de Rusaia pe de altă parte, au fost sedimentate în arii diferite (Kräutner, 1972). Aria cu depozite siluriene, probabil local elevată temporar în Carboniferul inferior, a contribuit la alimentarea sedimentelor din domeniul de depunere al seriei de Tibău.

Misărurile caledoniene au cauzat în aria Carpaților Orientali, ca de altfel și în Carpații Meridionali, o slabă discordanță stratigrafică între depozitele primare siluriene și cele devonian-carbonifer inferioare din seriile epimetamorfice hercinice.

BIBLIOGRAFIE

- Beju D. (1967) New contributions to the palynology of Carboniferous strata from Romania. 6 - Int. Congr. of Carbon Stratigr. and Geol., Sheffield.
- Chaloner W. (1967) Spores and land-plant evolution. Rev. of. Paleobiol. and Palynol.; 1, p. 83-93, Amsterdam.
- Codarcea-Dessila Marcela (1967) Noi date asupra stratigrafiei terenurilor cristalo-filene din România. Stud. cerc. geol., geof., geogr., seria Geologie, 12, 1, p. 57-68, București.
- Hain I.V., Bizova S.L., Rudakov S. G., Stavrin V. I. (1968) O pokrovnoi strukture Rahovskovo massiva (Vostocinie Karpati). Vestnik Moskovskogo Universiteta, Geologija, 5; p. 5-23, Moskova.
- Ilieșcu Violeta, Codarcea-Dessila Marcela (1965) Contribuționi la cunoașterea conținutului microfloristic al complexelor de sisturi cristaline din Carpații Orientali. D. S. Com. Geol. LI, 2 (1968-1969), p. 13-18, București.
- Mureșan M. (1972) Asupra prezenței Cambrianului inferior în Carpații Orientali - seria epimetamorfică de Tulgheș. D. S. Inst. Geol. LVIII/4 (1971), p. 23-38, București.
- Kräutner Florentina (1970) Relațiile stratigrafice și tectonice din anticliniul Breția pe baza datelor furnizate de forajul din valca Rusaia (Carpații Orientali). D. S. Inst. Geol. LVII/5 (1968-1969), p. 105-113, București.
- Mirăntă Elena (1970) Asupra prezenței Devonian-Carboniferului în cristalinul Carpaților Orientali. D. S. Inst. Geol. LV/1 (1967-1968), p. 197-213, București.
- Kräutner H.G. (1968) Vedere noi asupra masivului cristalin al Rodnei. Stud. cerc. geol., geof., geogr., seria Geologie, 13, 2, p. 337-355, București.
- Kräutner Florentina (1970) Formațiunile cristaline din versantul nordic al masivului Rodna. D. S. Inst. Geol. LV/1 (1967-1968), p. 173-196, București.
- (1972) Voralpidische Entwicklung und alpidischer Deckenbau in der Kristallinen Zone der nördlichen Ostkarpaten (Maramurescher Massiv). Rev. Roum. Géol., Géophys., Géogr., série Géologie, 16, 2, 81-90, București.
- (1972 b) Hercynische Regionalretromorphose im prákambriache Kristallin der Ostkarpaten. Rén. Roum. Géol., Géophys., Géogr., série Géologie, 16, 2, 121-129, București.
- Mureșan M., Iliescu Violeta, Minzatu Silvia, Vijdea Eleonora, Tanasescu Anca, Ionicea Magdalena, Andăr Anca, Anastase S. (1973) Devonian-Carboniferul inferior epimetamorfic din Poiana Rusă. D. S. Inst. Geol. LIX (1972), 4, p. 5-63, București.

- Maier O. (1974) Studiul geologic și petrografic al masivului Locea. *Stud. tehn. econ., serie I*, 5, București.
- Neves R. (1961) Namurian plant spores from the Southern Pennines, England. *Paleontology* 4/2, p. 247–270, London.
- Pitulea G. (1972) Formațiunile paleozoice metamorfozate din extremitatea nord-vestică a Munților Maramureș (bazinul văii Bistra). *Stud. cerc. geol., geof., geogr., serie Geologie*, 17, 1, p. 3–12, București.
- Visarion Adina (1972) Asupra prezenței unor formațiuni devonian superioare-carbonifer inferioare, din bazinul văii Bistra (Maramureș). *Stud. cerc. geol., geof., geogr., serie Geologie*, 17, 1, p. 43–47, București.
- Playford G. (1963) Lower Carboniferous microfossils of Spitsbergen. *Paleontology* 5/4, p. 619–678, London.
- Richardson L., Ioannides N. (1973) Silurian palynomorphs from the Tancazuft and Acacus Formations, Tripolitania, North Africa. *Micropol.* 19/3, p. 257–307, London.
- Sandulescu M. (1967) La nappe de Hâgihimăș — une nouvelle nappe de décollement dans les Carpates Orientales. *Ass. Géol. Corp. Balk. VII Congrès, Rapports*, 1, p. 179–183, Beograd.
- (1972) Considerații asupra posibilităților de corelare a structurii Carpaților Orientali și Occidentali. *D. S. Inst. Geol.* LVIII/5 (1971), p. 125–150, București.
- Sherpeleva E. D. (1973) Aerialarch-based zonation of Vendian deposits of the Russian Platform. *III Intern. palynol. Conf. Microfossils of the oldest deposits*, p. 13–15, Moscova.
- Slavin (1966) Triyashovic otlojenia Civeinskikh gor i Rakhovskovo Massiva. (in *Ocenki po geologii sovetskikh Karpat*). *Izd. Mosk. Univ.*, Moskova.
- Sokolov B. S. (1972) The Vendian stage in Earth History. *Int. Geol. Congr. XXIX. Sess. Canada Sect. 1, Precambrian Geol.*, p. 78–84, Montreal.
- Staplin F. (1961) Reef controlled distribution of Devonian microplankton in Alberta. *Paleont.* 4/3, p. 392–424, London.
- Timofeev B. (1973) Mikrofossili dokembria Ukrains. Acad. Nauk. SSSR–Leningrad.
- (1973) Mikrofossili proterozoia i Ranevo paleozoia (in *Microfossili drevnih otlojenii*). Acad. Nauk SSSR, Sibirskej Otdel. p. 7–12, Novosibirsk.
- Ullig V. (1903) Bau und Bild der Karpaten. Wien.
- (1907) Über die Tektonik der Karpaten. Wien – Leipzig.

CONTRIBUTIONS À LA CONNAISSANCE DU CONTENU EN MICROFLORE ET DE L'ÂGE DES FORMATIONS MÉTAMORPHIQUES DES MONTS RODNEI ET DES MONTS BISTRITZEI

(Résumé)

Les associations de microflore identifiées dans les séries épimétamorphiques hercyniennes des monts Rodnei et des monts Bistritzei, ainsi que les corrélations lithologiques avec les dépôts paléozoïques datés de l'Europe Centrale, permettent l'encaissement des séries cristallines mentionnées dans les intervalles chronostratigraphiques suivants : la série de Repedea : Ordovicien supérieur Carbonifère Inférieur; la série de Rusăia : Ordovicien supérieur-Silurien (avec la possibilité de monter jusqu'au Dévonien inférieur); la série de Tibău : Carbonifère inférieur.



La série de Repedea forme une pile faite d'une alternance de roches d'origine terrigène à métavolcanites basiques, acides et de roches carbonatées calcaires et dolomítiques. La série de Rusala représente une formation prépondérante calcaire et dolomítique.

On confirme, pour les séries cristallines préhercyniennes, les âges obtenus à l'occasion des recherches antérieures et on apporte de nouvelles précisions. La série de Rebra-Barnar, formée surtout de micaschistes dans lesquels s'intercalent des roches calcaires, dolomítiques, des amphibolites, des paragneiss et des quartzites, est attribuée à la partie supérieure du Proterozoïque moyen (700-800 m.a.). La série de Tulgheș formée de schistes séricilo-chloriteux dans lesquels, s'intercalent, à plusieurs niveaux, des formations volcano-sédimentaires rhyolitiques et diabasiques dans une alternance rythmique, est attribuée à l'intervalle Cambrien inférieur-Vendien.

Les séries épimétamorphiques hercyniennes situées dans des unités tectoniques alpines différentes, respectivement la série de Tibău, d'une part, et les séries de Repedea et de Rusala, d'autre part, ont été sédimentées dans des aires différentes. Localement, l'aire à dépôts siluriens a été élevée temporellement dans le Carbonifère inférieur et elle a contribué à l'alimentation des sédiments du domaine de dépôt de la série de Tibău.

Les mouvements calédoniens ont provoqué, dans l'aire des Carpates Orientales, d'ailleurs dans les Carpates Méridionales aussi, une faible discordance stratigraphique entre les dépôts primaires siluriens et les dépôts Dévonien-Carbonifère inférieurs des séries épimétamorphiques hercyniennes.

PLANS I

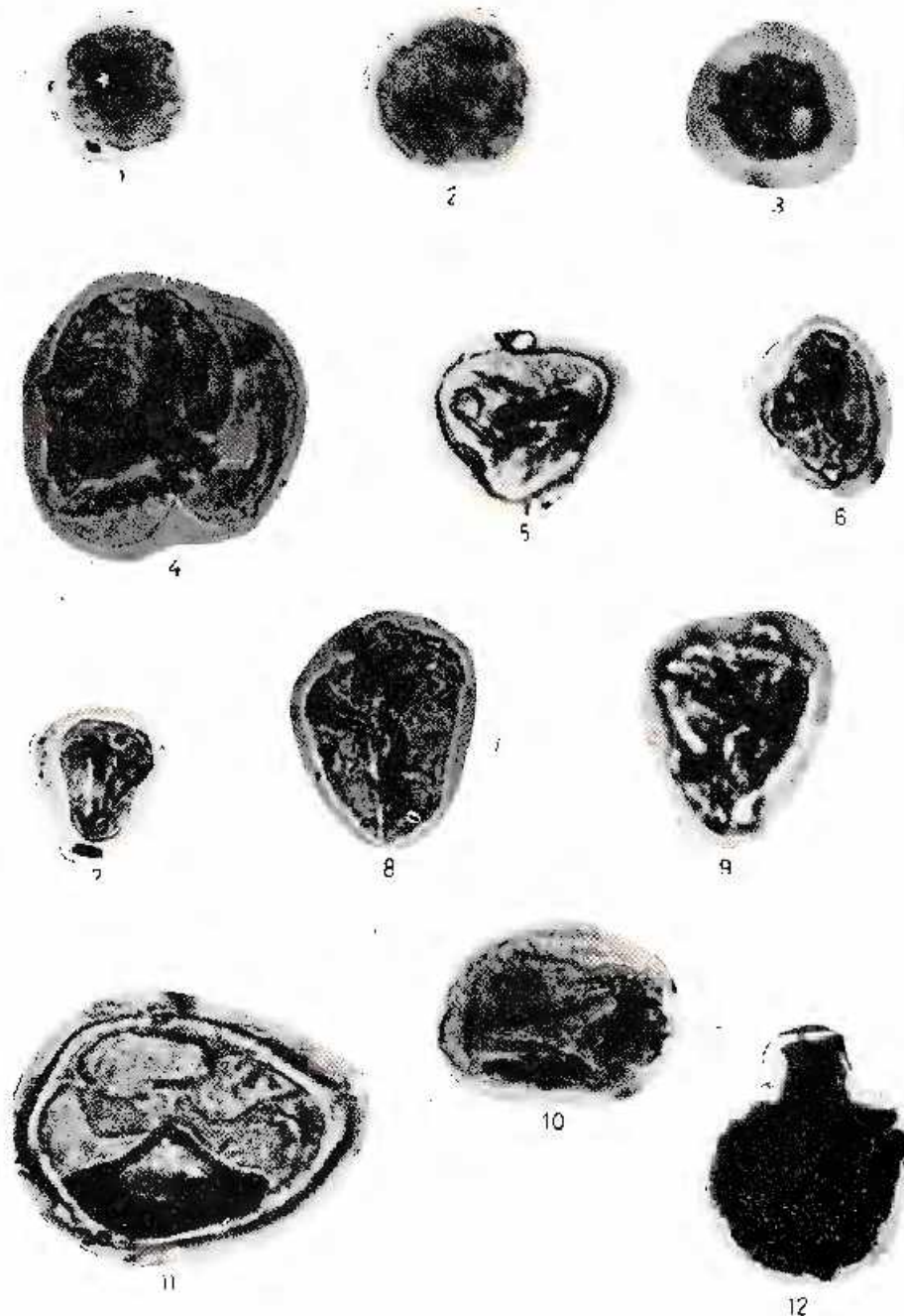
Seria de Repedea

- Fig. 1. — *Protosphaeridium* sp.
- Fig. 2. — *Protosphaeridium microgranifer* S t.
- Fig. 3. — *Polyporaria verrucosa* Pich.
- Fig. 4. — *Synsphaeridium conglutinatum* Tim. ($\times 1000$).
- Fig. 5. — *Leiotriletes* sp.
- Fig. 6. — *Leiotriletes* cf. *L. sphaerotriangulus* Pot.-Krempl.
- Fig. 7. — *Leiotriletes gulaferns* Pot.-Krempl.
- Fig. 8. — *Granulatisporites* sp.
- Fig. 9. — *Savitrisporites* sp.
- Fig. 10. — *Archaeozonotriteles* sp.
- Fig. 11. — cf. *Retusotriteles* sp.
- Fig. 12. — *Sphaerochitina* sp.

$\times 500$



VIOLINȚA ILIESCU, H. G. KRAÜTNER. Formațiuni metamorfice din munții Rodnei și munții Bistriței. Pl. I.



Institutul de Geologică și Geofizică. Dări de scrisă ale ședințelor, vol. LXI/4.



Institutul Geologic al României

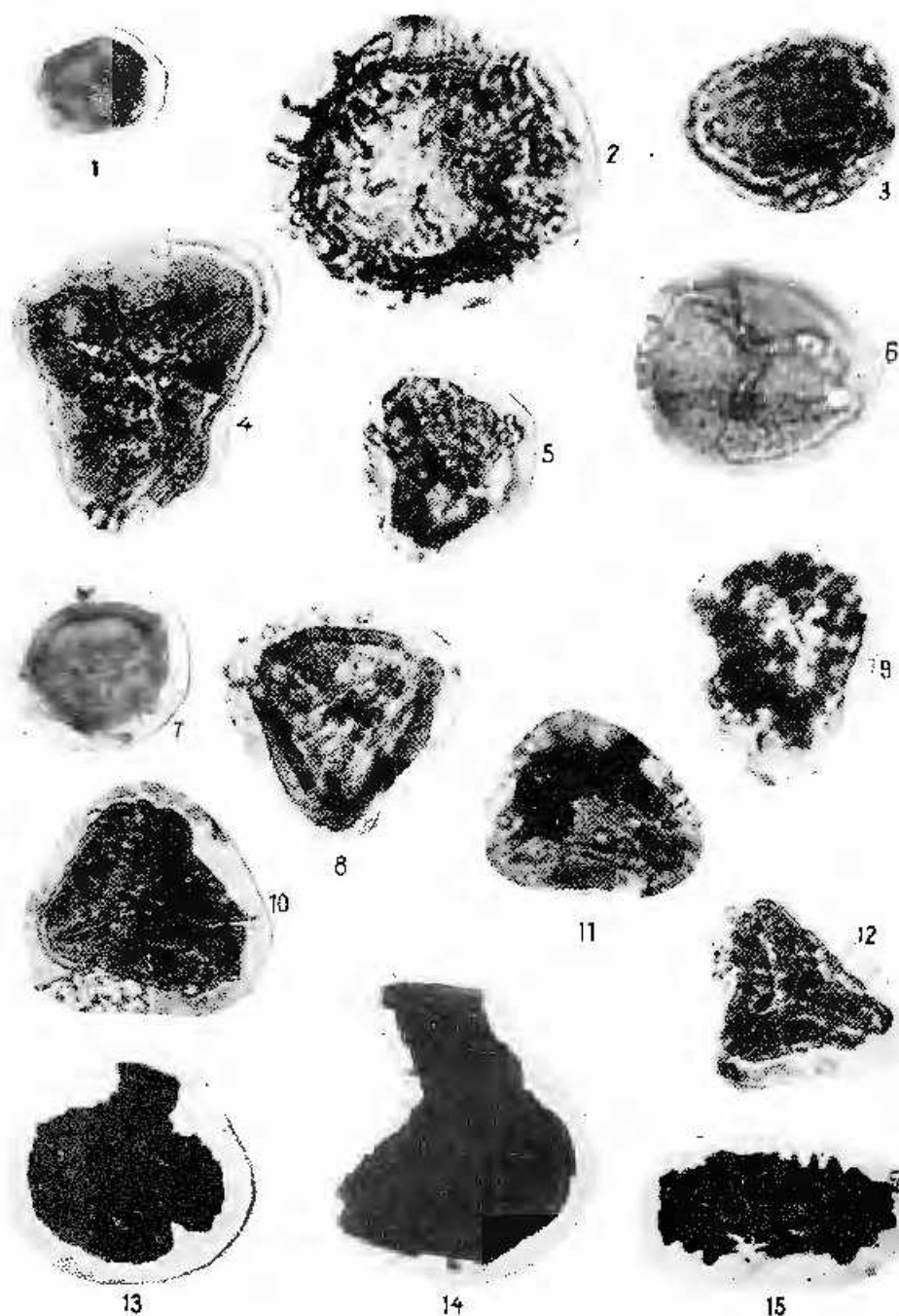


PLANSA II

Seria de Tibău

- Fig. 1. — *Sporonites unicolor* Hora L.
Fig. 2. — *Battisphaeridium* sp. ($\times 1000$).
Fig. 3. — *Micorhizoidesporites* cf. M. *tumulus* Knobx.
Fig. 4. — *Lecanites* cf. *L. densus* Neve. ($\times 700$).
Fig. 5. — *Granulatospores granulatus* Poł.-Krempp.
Fig. 6. — *Apiculatellospora* sp.
Fig. 7. — *Archaeozonotrites* sp.
Fig. 8. — *Stenozonotrites* cf. *S. triangularis* Neve.
Fig. 9. — *Verrucosporites* sp.
Fig. 10. — cf. *Murospora* sp.
Fig. 11. — *Murospora* cf. *M. tectoria* (Watzl.) Play I.
Fig. 12. — *Athensporites* cf. *A. heeleyensis* Neve.
Fig. 13. — *Sphaerochitina* sp. ($\times 250$).
Fig. 14. — *Ingenochitina* sp. ($\times 250$).
Fig. 15. — *Sclecodont nederl.* ($\times 250$).
 $\times 500$

VIOLETA ILIESCU, H. G. KRÄUTNER. Formațiuni metamorfice din munții Rodnei și munții Bistriței. Pl. II.



Institutul de Geologie și Geofizică. Dări de seismă ale ședințelor, vol. LXI/4.



Institutul Geologic al României

4. STRATIGRAFIE

STUDIU BIOSTRATIGRAFIC AL PALEOZOICULUI DIN FORAJUL BĂTRINEȘTI (PLATFORMA MOLDOVENEASCĂ)¹

DE

MAGDALENA IORDAN²

Abstract

Biostratigraphic Study of the Paleozoic from the Bătrinești Borehole (Moldavian Platform). On the basis of the faunal assemblage: brachiopods, ostracods, trilobites, gasteropods, corals, bivalves, tentaculites, crinoids, etc., the presence of the Ludlow and Wenlock and probably? Pridolian-Gedinnian and? Upper Ordovician (Moldova Sandstone) was established. This „shelly fauna” proves the extension of the East-European Platform over the territory of Romania.

CONSIDERAȚII GENERALE

Forajul Bătrinești (25301), situat în extremitatea NE-ică a țării, la cca 22 km NE de Boloșani, a fost executat astăzi în vederea verificării datelor geofizice și pentru inventarierea eventualelor zăcăminte de substanțe minerale utile și hidrocarburi.

Forajul Bătrinești face parte dintr-o suită de foraje executate de Comitetul Geologic și I.F.L.G.S. din cadrul M.M.P.G., în Podișul Moldovenesc.

Materialul carotat a fost examinat anterior de Niculescu³, Mirăuță (conodontă)⁴, Iliescu (palinologie)⁵, Iordan⁶ (macrofaună).

¹ Comunicare în ședință din 29 mai 1974.

² Institutul de Geologie și Geofizică, Str. Caransebeș nr. 1, București.

³ M. Niculescu. Raport geologic asupra forajului de referință 25301 amplasat pe anomaliă magnetică Bătrinești. 1963. Arh. I.F.L.G.S. București.

⁴ Elena Mirăuță. Studiu conodontelor paleozoice și triasic din foraje. 1967. Arh. Inst. Geol. Geof. București.

⁵ Violeta Iliescu. Studiu palinologic al formațiunilor precambriene și paleozoice din foraje. 1971. Arh. Inst. Geol. Geof. București.

⁶ Magdalena Iordan, Violeta Iliescu. Studiu formațiunilor paleozoice și mezozoice din forajele adânci din platforma moesică și platforma moldovenească. 1972. Arh. Inst. Geol. Geof. București.



Un merit deosebit în studiul depozitelor de platformă, din această parte a țării, îi revine academicianului N. Macaroviči. D-za a studiat forajele: Deleni (1949), Nicolina-Iași (1956, 1963, 1965, 1971) și Todireni-Botoșani (1962, 1971), aducind pe baza studiilor paleontologice întreprinse, contribuții prețioase la orizontarea depozitelor Paleozoicului din platforma moldovenească.

M a c a r o v i c i precizează existența Ludlovianului în suita de depozite calcaroase situată sub cuvertura depozitelor cretacice ale Podișului Moldovenesc.

În anii din urmă șeologii petroliști studiază și ei o serie de foraje din Podișul Moldovenesc și pe considerente litologice, tectonice și microfaunistice trag o serie de concluzii asupra evoluției platformei moldovenești (Pătruț et al., 1963, 1965; Beju, Nurian-Dăneț, 1962; Barbu et al., 1969).

Deoarece succesiunea de depozite străbătută, cu carotaj aproape continuu, de forajul Bătrînești este alcătuită, începând de la baza Cenomanianului (245 mm adâncime) și pînă la socul cristalin (1008 m adâncime), dintr-o serie aproape completă apartinând Silurianului, ? Ordovicianului superior, Cambrianului inferior și Vendianului – considerăm că forajul Bătrînești reprezintă un excelent profil de referință, un etalon de comparare pentru lucrările viitoare de foraj din platforma moldovenească.

În lucrarea de față ne vom ocupa în principal de succesiunea de depozite calcaroase (245-555 m adâncime) care revine Silurianului și probabil Ordovicianului. Intervalul inferior de depozite detritice (555-1008 m), care repauzează pe socul cristalin de tip Azovo-Podolic, a constituit obiectul unui studiu anterior (Patrulius, Iordan, 1974).

CONSIDERAȚII BIOSTRATIGRAFICE

Forajul Bătrînești amplasat pe apexul anomaliei magnetice cu același nume și oprit la adâncimea finală de 1048 m, a traversat o coloană stratigraphică foarte interesantă: Cuaternar (15 m), Miocen (Sarmațian, Bulgolian, Tortonian, 153 m), Cretacic (Cenomanian, 77 m), Silurian (308 m), ?Ordovician (\pm 2 m), Cambrian inferior (130 m), Vendian (323 m), funda-ment cristalin (40 m) (fig. 1).

În succesiunea de depozite pre-cenomaniene se diferențiază clar două complexe litologice: unul inferior detritic și altul superior calcaros.

Pe baza materialului paleontologic furnizat de forajul Bătrînești, se pune în evidență, pentru prima dată la noi (Patrulius, Iordan, 1974) existența Vendianului și a Cambrianului inferior în succesiunea formațiunilor detritice pre-siluriene ce repauzează pe socul cristalin. Aceștia sunt primii termeni ai cuverturii sedimentare ai platformei est-europene și identificarea lor în forajele platformei moldovenești, dovedește prelungirea spre SW a platformei est-europene pe teritoriul țării noastre.

Materialul paleontologic, extrem de bogat și variat furnizat de complexul superior de depozite calcaroase ne-a condus la orizontarea lui stratigrafică și la corelarea cu regiunile vecine.

În cele ce urmează vom analiza din punct de vedere litologic și paleontologic depozitele acestui complex calcaros.

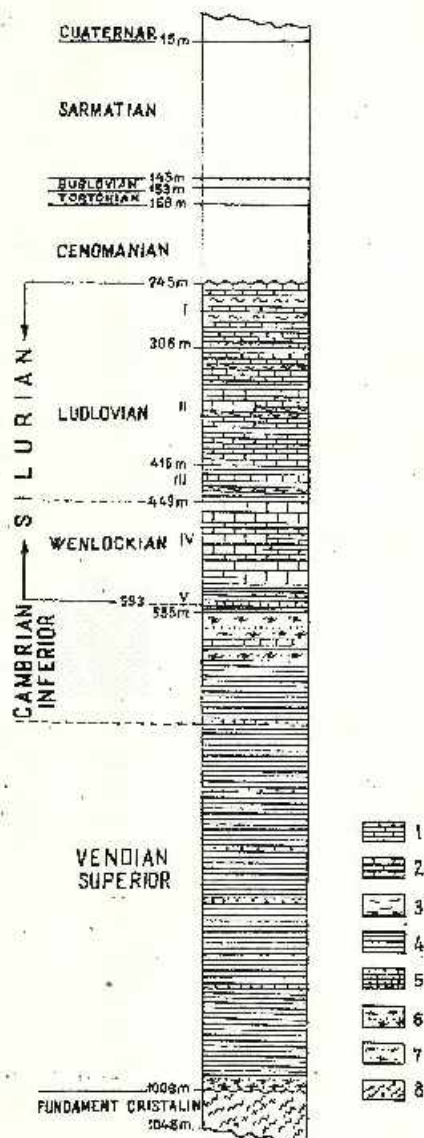


Fig. 1. — Coloana stratigrafică a depozitelor traversate de forajul Bătrinești,
1, calcar fin spatic și calcar grezoas; 2, calcar larg
cristalizat, lumășelic; 3, marnă, marnocalcar; 4, ar-
gilit; 5, silit; 6, gresie; 7, cuarțit; 8, șisturi crista-
line și granit de Rappakiwi.

Colonne stratigraphique des dépôts traversés par
le forage de Bătrinești.
1, calcaire fin spatique et calcaire gréseux; 2, cal-
caire largement cristallisé, lumachellique; 3,
marne, marno-calcaire; 4, argilite; 5, siltite; 6,
grès; 7, quartzite; 8, schistes cristallins et granite
de Rappakiwi.

La adâncimea de 245 m, după cum indică și diagrafa electrică, se plasează limita Cretacic/Silurian. De la o gresie alb-verzuie calcaroasă și glauconitică în care am identificat fragmente de *Ostrea* și de gasteropode ce atestă prezența Cenomanianului inferior, se intră într-un complex de

roci predominant calcaroase de culoare cenușie și cenușiu-inchis pînă la neagră ce conține numeroase fosile paleozoice.

În acest complex calcaros gros de 310 m (245-555 m) se pot distinge 5 orizonturi litologice și faunistice:

- Orizontul I — orizontul cu ostracode : 245—306 m
- Orizontul II — orizontul superior cu brahiopode : 306—416 m
- Orizontul III — orizontul „steril” : 416—449 m
- Orizontul IV — orizontul inferior cu brahiopode : 449—533 m
- Orizontul V — orizontul inferior : 533—555 m.

Orizontul I — orizontul de ostracode - Ludlovian - ? Gedinnian

Depozitele cuprinse în intervalul 245-306 m adîncime (61 m grosime) sunt constituite dintr-o alternanță de: calcare și marnocalcare negricioase cu marne argiloase negre și vinete-albicioase cu aspect de diatomit și cu calcare cenușii-deschis ușor violacee uneori vacuolare. Ceea ce este interesant în acest interval este apariția și chiar predominantă unor depozite de culoare cenușie-albicioasă-violacee, alcătuite atât din argile slab marnoase și marne argiloase cât și din calcare ușor violacee.

Conținutul paleontologic este alcătuit predominant din ostracode și sporadic entroce și fragmente de brahiopode (*Resserella* sp.) și corali. Ostracodele aparțin speciilor :

Leperditia ex gr. tyraica Schm.

Leperditia schmidti Kraand.

Leperditia sp.

Herrmannina isakovtsyensis Abush.

? *Tollitia podolica* Abush.

și predominantă lor ne îndreptășește a denumi acest orizont „orizontul cu ostracode” sau mai precis „stratele cu *Leperditia*”. Fiind singurele fosile bine conservate și în același timp predominantă, ostracodelor le revine sarcina de a preciza și vîrstă pachetului respectiv și anume: Ludlovian și post-Ludlovian — pre-Gedinnian (Pridolian).

M a c a r o v i c i citează din forajele Nicolina-Iași și Todireni-Botoșani (1956) *Leperditia tyraica* ca primă fosilă ce apare în partea terminală a depozitelor siluriene, imediat sub Cenomanian, și abia mai jos apar adevăratele strate bogate în special în brahiopode. Această situație se repetă absolut identic și la Bătrinești astfel că și din acest punct de vedere corelarea dintre forajele menționate este perfectă.

Orizontul II — orizontul superior cu brahiopode — Ludlovian

În intervalul 306-416 m adîncime (110 m grosime) se instalează seria calcaroasă propriu-zisă de culoare cenușiu-negricioasă pînă la neagră. În masa predominantă a calcarelor mai apar intercalații subțiri de marne argiloase-sistoase, uneori mai grozioare și marnocalcare cu aspect prăfos.

Calcarele negre sunt uneori fine, mai argiloase sau mai diagenizate, alteleori sunt grozioare, mai fin sau mai larg cristalizate, iar alteleori sunt mai

mult sau mai puțin spătice. În general sunt stratificate dar de cele mai multe ori alcătuiesc amestecuri haotice, căpătind astfel un aspect nodular.

Acest pachet de depozite este caracterizat prin abundența faunei, predominant fiind brachiopodele, urmându-le apoi ostracodele, trilobiți și gasteropodele. În aceste depozite am identificat următoarele specii:

- Delthyris magnus* (K o z l.)
- Delthyris elevata* D a l m.
- Protochonetes striatellus* (D a l m.)
- Protochonetes dnistrensis* (K o z l.)
- Protochonetes ludlowiensis* Mu ir - W o o d
- Strophochonetes* sp.
- Resserella* ex gr. *elegantuloides* (K o z l.)
- Resserella* aff. *orassa* (L i n d s t r.)
- Resserella* sp.
- Isorthis* ex gr. *szajnochai* (K o z l.)
- Shaleria* sp.
- Iridistrophia praeumbracula* (K o z l.)
- Mesodouvillea costatula* (B a r r.)
- Leptaena* aff. *rhomboidalis* W i l c k.
- Atrypa* aff. *reticularis* (I i n n.)
- Atrypa reticularis dzwinogrodensis* K o z l.
- Meristella* sp.
- Athyris* sp.
- Sphaerirhynchia wilsoni* (S o w.)
- „*Camarotoechia*” *nucula* (J. de C. S o w.)
- Tentaculites ornatus* S o w.
- Catymene* aff. *blumenbachii* B r o n g.
- Encrinurus* (E.) *punctatus* (W a h l.)
- Encrinurus* sp.
- Phacops* sp.
- Leperditia* ex gr. *tyraica* S e h m.
- Leperditia tuberculata* K a l m.
- Leperditia* sp.
- Herrmannina isacovitsyensis* A b u s h.
- Beyrichia* sp.
- Poleumita discors* (S o w.)
- Poleumita* sp.
- „*Pleurotomaria*” sp.
- Murchisonia* sp.
- Platiceras* aff. *fecundus* P e r n e r
- Pycnotrochus* aff. *viator* P e r n e r
- Pterinea reticulata* H i s.
- Pteronitella complanata* S a n d b.
- „*Orthoceras*” sp.
- Aulacophyllum* aff. *mitratum* S e h l.
- Phaulactis cyathophylloides* R y d e r
- Cyathophyllum* sp.



Favosites sp.

Conularia sp.

Briozoa

În asociația menționată se remarcă predominanța, ca număr de indivizi și fragmente, a speciilor: *Delthyris elevata*, *Atrypa reticularis dzwinogrodensis*, *Sphaerirhynchia wilsoni*, *Protochonetes striatellus*, *Tentaculites ornatus*, *Encrinurus* sp., *Phacops* sp., *Poleumita* sp., *Leperditia* sp., *Beyrichia* sp.

În ceea ce privește vîrstă, în asociația identificată apar forme întâlnite în etajul Borshkov trecut recent la Gedinnian (*Iridistrophia praeumbruculata*, *Resserella elegantuloides*), altele în post-Ludlovian — pre-Gedinnian (*Delthyris magnus*, *Atrypa reticularis dzwinogrodensis*), altele care se întâlnesc din Ludlovian (Skala) pînă în Gedinnian (Borshkov) (*Isorthis szajnochai*, *Mesodourillina costatula*) iar altele din Wenlockian la post-Ludlovian și chiar Gedinnian (*Leptaena rhomboidalis*, *Calymene blumenbachi*, *Encrinurus punctatus*, etc.). Avînd în vedere însă predominanța speciilor caracteristice Ludlovianului (*Delthyris elevata*, *Protochonetes striatellus*, *P. ludlovicensis*, *P. dnisterensis*, *Isorthis crassa*, *Shaleria* sp., *Mesodourillina costatula*, *Sphaerirhynchia wilsoni*, *Phaulactis cyathophylloides*, etc.) atît ca număr de indivizi cît și ca varietate de specii, considerăm că depozitele din intervalul 306-416 m sunt de vîrstă ludloviană și posibil și post-ludloviană — pre-gedinniană.

În ceea ce privește microfauna conodontele nu sunt conclucente indicind un interval larg: Wenlockian-Gedinnian, dar microsporii, aeritarchele, chitinozoarele, scolecodontele indică aceeași vîrstă ca și macrofauna (Ludlovian și post-Ludlovian).

Orizontul III — orizontul „steril” — ? Wenlockian-Ludlovian

Intervalul 416-419 m adîncime (33 m grosime) se caracterizează printr-o frapantă schimbare de facies. Apar acum argilite slab marnoase, cenușiu-deschis-alburii, ce conțin mici geode cu cristale de calcit; argilite cenușii-negricioase ce prezintă uneori oglinzi de fricțiune și enclave mici de argilite albicioase; siltite negre-verzui; marnocalcare cenușii vîrgate; calcare cenușii și negre cu geode cu cristale de calcit ce formează uneori strate cu suprafete neregulate separate prin pelicule negre lucioase sau alteori alcătuite amestecuri haotice.

Argilitele slab marnoase cenușiu-deschis-alburii, sint foarte fine, dure și au spătură concoidală. Fac o foarte slabă efervescență cu HCl însă numai după un anumit timp de la atacare. În afară de geodele pline cu cristale de calcit mai conțin fragmente indeterminabile de brahiopode, observabile numai în secțiuni subțiri.

Argilitele slab marnoase cenușii-negricioase, prezintă o variație mai mare a culorii fiind uneori mai negre, alteleori cu o tentă verzuie dar totdeauna prezintând mici pelicule negre lucioase, oglinzi de fricțiune precum și mici plaje de pîrîtă. Nu conțin nici un fel de rest organic.

Siltitele negre-verzui ce apar la 418-419 m adîncime, sint foarte fine și de asemenea nefosilifere.

Marnocalcarele ce apar la 419-422 m și 432-435 m adâncime, au o culoare cenușie fiind vărgate cu dungi negre; cele care apar la 428-430 m, 435-437 m și 437-441 m adâncime, sunt cenușii-negricioase și alcătuiesc benzi subțiri cu suprafețe neregulate ce formează uneori un relief mamelonar, acoperit cu o peliculă neagră lucioasă. Ca faună numai la adâncimea 432-435 m apare o valvă de brahiopod, probabil din grupa *Glossia obovala*.

Calcarele ce apar la adâncimile 423-428 m, 435-446 m, au culoare cenușiu-negricioasă sau neagră, sunt fine, străbătute de diaclaze sau gozde cu cristale de calcit și prezintă suprafețe neregulate acoperite cu pelicule negre lucioase. Ca faună nu conțin decât fragmente de brahiopode și ostracode indeterminabile.

Intervalul 416-449 m este deci sărac în faună — macrofauna fiind reprezentată numai prin rare fragmente indeterminabile de brahiopode și ostracode, iar din punct de vedere microfaunistic și palinologic probele respective sunt sterile.

După cum am văzut, litologie această secvență este caracterizată printr-o alternanță haotică a depozitelor, specifică unei perioade de agitație, de mișcări oscilatorii — aceasta fiind de altfel și cauza absenței faunei în acest interval.

Orizontul IV — orizontul inferior cu brahiopode — Wenlockian

Intervalul 419-553 m adâncime (104 m grosime) este în exclusivitate calcaros și relativ bogat fosilifer.

Calcarele sunt negre și cenușii-negricioase, fine, cu diaclaze de calcit și slab spătice sau grosiere, uneori sunt puternic spătice, adevărate encrinite, iar uneori sunt bogat fosilifere. Aceste varietăți de calcar sunt fie haotic amestecate între ele fie sunt incluse într-un marnocalcar fin, cenușiu-deschis cu aspect prăfos de asemenea bogat fosilifer.

Marnocalcarele predomină la partea inferioară a intervalului, începând de la adâncimea de 513 m, unde se observă o sedimentație haotică între calcarele fine negre, calcar larg cristalizate cenușii-deschis și marnocalcare.

Din punct de vedere paleontologic acest interval este caracterizat prin apariția *Plectambonitaceelor* cu predominantă *Leptenidelor*, prin lipsa *Protochonetidelor* și dispariția aproape completă a *Orthidelor*. Aici am identificat următoarea asociatie faunistică :

- Lingula* sp.
- Orbicularis* sp.
- Dolerorthis* aff. *rustica* (S o w.)
- Isorthis* sp. ex gr. *slitensis* W a l m.
- Resserella* aff. *elegantula* (D a l m.)
- Leptaena rhomboidalis* (W a h l.)
- Leptagonia* aff. *joachimiana* II a v l.
- Leptagonia* aff. *vellerosa* H a v l.
- Dubioleptina expulsa* (B a r r.)
- Eoplectodonta transversalis* (W a h l.)

- Eoplectodonta* aff. *sowerbiana* (Barr.)
Eoplectodonta sp.
Strophodonta aff. *studenitzae* (Wen.)
Strophonella (*Strophonella*) *euglypha* (Dalm.)
Strophochonetes cingulatus (Linst.)
Antirhynchonella cf. *linguifera* (J. de C. Sow.)
Howellella aff. *cuneata* (Dalm.)
Howellella sp.
Eospirifer aff. *radiatus* (Sow.)
Cyrtia sp. ex gr. *exporreca* (Sow.)
Atrypa reticularis aff. *orbicularis* Sow.
Meristina sp.
Sphaerirhynchia aff. *dumanovi* (Wenjuk.)
"Camarotoechia" sp.
Poleumita sp.
Platiceras sp.
Loxonema sp.
"Orthoceras" sp.
Phacops aff. *fecundus* Barr.
Phacops sp.
Cyathophyllum sp.
Palaeocyclops porpita Linne
Briozoa
Crinoide: entroce și pedunculi
Callograptus (*Capilograptus*) *dichotomous* Poeta

În ceea ce privește vîrstă, în afară de cîteva specii cu o viață mai lungă (Wenlockian — post-Ludlovian: *Leptaena rhomboidalis*, *Atrypa reticularis*, *Cyrtia exporreca*), toate celelalte specii identificate sunt caracteristice pentru orizonturile Kitaigorod și Muksha deci pentru Wenlockian.

Și în acest interval conodontele nu sunt concludente indicind un interval larg, de la Wenlockian la Gedinian, iar din punct de vedere palinologic speciile identificate indică Ludlovianul dar după totalul asociatiei este posibilă și prezența Wenlockianului (Ilieșeu, 1971²).

Orizontul V — orizontul inferior — ? Ordovician superior

În intervalul 553,60-555,34 m se plasează contactul între un calcar argilos negru fosilifer și gresii cuarțoase cenușii-deschise cu ciment calcaros în plaje izolate, cu lamini de argilă neagră și cu nivale centimetrice de bioturbare constituite din bioglific vermiciforme de gresie într-o pastă argiloasă neagră. Într-o singură carată apar resturi de brahiopode (orthide), briozoa, crinoide, a căror înaintată fragmentare nu permite determinarea lor specifică.

² Op. cit. pet. 5,

Acastă formățiune grezoasă, cu o grosime ce nu depășește 2 m reprezintă probabil gresia de Molodova (Ordovician superior) dar nu excludem nici posibilitatea ca ea să reprezinte poate chiar partea bazală a stratelor de Resteu (Llandoveryan mediu).

CONCLUZII

Din cele relatate trebuie să reținem că succesiunea de depozite a complexului calcaros străbătută, cu carotaj aproape continuu, de forajul Bătrinești este de vîrstă ludloviană și wenlockiană, lăsind posibilitatea existenței la ele donă extremități a post-Ludlovianului — pre-Gedinianului — Gedinnianului la partea superioară și a Llandoveryanului mediu (strate de Resteu) sau a Ordovicianului superior (gresia de Molodova) la partea inferioară.

Pe baza conținutului faunistic și al alcăturirii litologice vom încerca în cele ce urmează a face o corelare atât cu regiunile vecine cât și cu regiunea clasică a răspândirii și studierii Siluriului — Anglia (tabel, fig. 2).

Orizontul I — orizontul cu ostracode — poate fi corelat cu stratele de Isakovsk și Raškov ale formățiunii de Skala (Ludlovian) și probabil cu orizontul Dzwinogorod (post-Ludlovian — pre-Gedinnian) și chiar cu stratele de Borshkov (Gedinnian) din Podolia și R.S.R. Moldovenească (Nikiforova, 1954, 1968; Boucot, Panikowsky, 1962); cu Budnianianul din Bohemia, cu stratele de Siedlce și Podlasie din Polonia și cu Whitcliffianul și Downtonianul din Anglia.

Orizontul II — orizontul superior cu brahiopode — este în mod cert Ludlovian și se poate corela cu formățiunea de Malinovetk și de Skala (Ludlovian) din Podolia și R.S.R. Moldovenească, cu stratele de Mielnik din Polonia, cu șisturile de Kopanina din Bohemia și cu Ludlovianul din Anglia.

Orizontul III — orizontul aşa zis „steril” — ar putea fi plasat undeva la limita dintre Ludlovian și Wenlockian, presupunând cu totul hazardat că ar putea fi un echivalent al formățiunii de Ustevsk. Cele cîteva indicații de brahiopode și ostracode din secțiuni subțiri, nu ne permit o dateare mai precisă.

Orizontul IV — orizontul inferior cu brahiopode — este sigur Wenlockian putindu-l corela cu formățiunea de Kitaigorod și de Muksha din Podolia, cu stratele de Bardo din Polonia, cu formățiuna de Liten din Bohemia și cu Wenlockianul din Anglia.

Orizontul V — ar putea fi un echivalent al orizontului inferior al straturilor de Resteu din Podolia (Llandoveryan mediu) dar ar putea reprezenta chiar gresia de Molodova (Ordovician superior).

Studiul biostratigrafic al materialului furnizat de forajul Bătrinești contribuie: la completarea imaginii despre evoluția geologică a platformei moldovenești; la îmbogățirea inventarului fosilifer al Paleozoicului din țara noastră; la identificarea, pe baze paleontologice, a Wenlockianului și în platformă moldovenească.

Ca o concluzie a cunoștințelor actuale asupra Paleozoicului din România, reiese clar existența unui Ludlovian și Wenlockian în față de „shelly fauna” în platforma moldovenească spre deosebire de faciesul graptolitic din platforma moesică precum și legătura de neîngăduit a platformei moldovenesti cu platforma est-europeană, a cărei terminație sud-vestică o reprezintă.

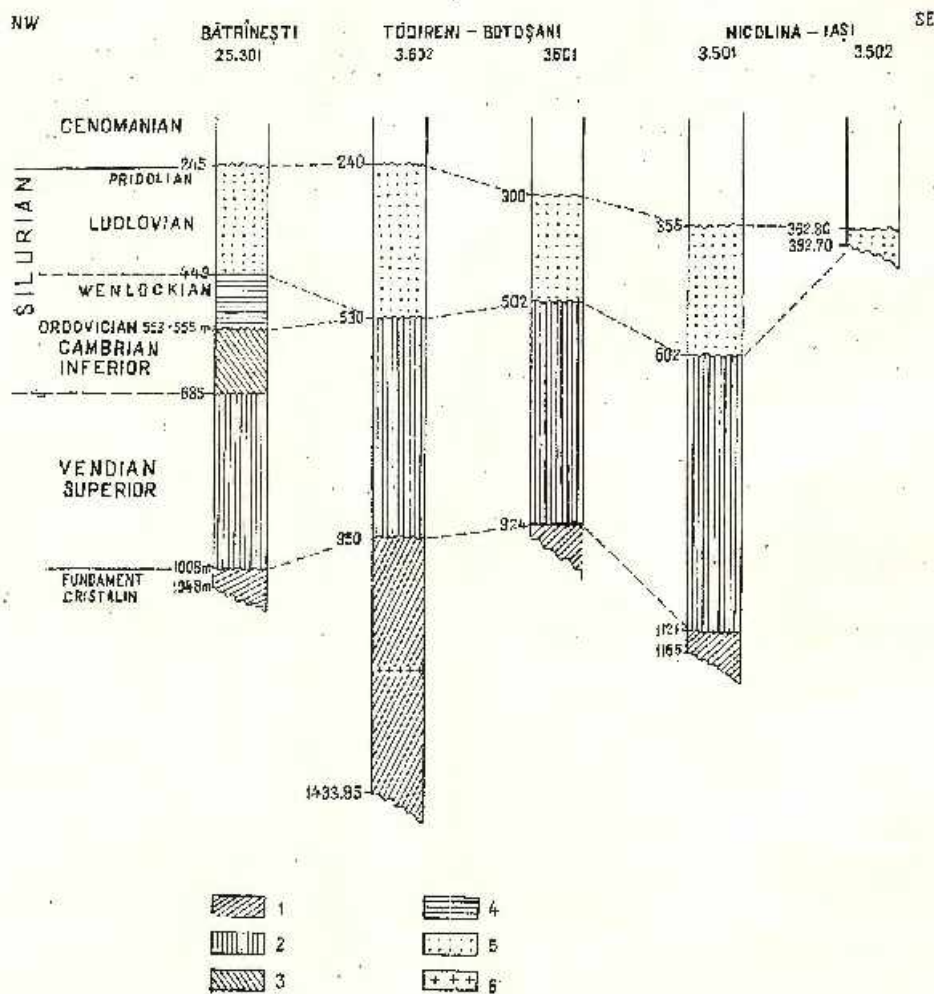


Fig. 2. -- Corelarea Paleozoiului din forajele din NE-ul platformei moldovenești.
1, fundație cristalin; 2, Vendian superior; 3, Cambrian inferior; 4, Wenlockian; 5, Ludlovian; 6, eruptiv.

Corrélation du Paléozolque des forages du NE de la plate-forme moldave.
1, sousbasement cristallin; 2, Vendian supérieur; 3, Cambrien inférieur; 4, Wenlockien; 5, Ludlovien; 6, éruptif.

TABEL DE CORELARE A PALEOZOICULUI DIN PLATFORMA MOLDOVENEASCA CU REGIUNILE VECINE

MAGDALENA IORDAN. Studiu biostratigrafic al Paleozoicului din Forajul Bâtrinești (Platforma Moldovenească)

ANGGLIA			Forajul Bâtrinești	PODOLIA, R.S.R. MOLDOVENEASCA									POLONIA	BOHEMIA	THURINGIA
Sistem	Serie	Stadii și alte subdiviziuni		Văscăuțeanu 1931	Nikiforova 1946, 1954, 1968			Boucăt-Pankivsky 1962							
PRODICIAN	SILURIAN	LUDLOWIAN	Downtonian Ludlow Bone Beds		DEVONIAN	Devenian inferior	Ivane	DEVONIAN	Gresia de Babin				Prequien		
LANDOVERIAN	WENLOCKIAN	LUDOVIAN	Whitcliffian		LUDLOWIAN	Chortkov	Chortcov	LUDLOWIAN	Formatione de Chortkov			Gedinnian	Lochkovian	Obere Graptolithenschiefer	
			Leintwardinian			Bogdanovska "Mitkov Taja"		LUDLOWIAN	Formatione de Babin						
			Bringewoodian					LUDLOWIAN	Formatione de Chortkov						
			Eltonian					LUDLOWIAN	Formatione de Borshkov						
			Superior		LUDLOCKIAN	Ozwinagorod		LUDLOCKIAN	Formatione de Skala				Podlasian	Pridolian	Oberkalk-Gruppe
			Mediu			Rashchov	Isakovsk	LUDLOCKIAN	Formatione de Skala						
			Inferior		WENLOCKIAN	Skala		WENLOCKIAN	Formatione de Malinovetk				Siedice	Kopanina	
						Grinchuk Sokol Kanovka		WENLOCKIAN	Formatione de Malinovetk						
					WENLOCKIAN	Ustje	Ustje	WENLOCKIAN	Formatione de Mukhinski				Mielnik		
						Muksha	Muksha	WENLOCKIAN	Formatione de Mukhinski						
					LLANDOVERIAN	Kitaigorod	Cherche Marijanovka Demšin Resteu	LLANDOVERIAN	Formatione de Kitaigorod						
						Resteu		LLANDOVERIAN SUPERIOR	Formatione de Kitaigorod						
					LLANDOVERIAN	Gresia de Moldova	Gresia de Moldova-Rogata								
													Ashgillian	Ashgillian	
Superior															

DESCRIERE PALEONTOLOGICĂ

BRACHIOPODA

Ordinul : ORTHIDA Schuchert et Cooper, 1932

Subordinul : ORTHIDINA Schuchert et Cooper, 1932

Superfamilia : ENTELETACEA Waagen, 1884

Familia : DALMANELLIDAE Schuchert, 1913

Subfamilia : ISORTHINAE Schuchert et Cooper, 1931

Genul : *Isorthis* Kozłowski, 1929

Isorthis ex gr. szajnochai Kozłowski, 1929

(Pl. IV, fig. 1)

Dalmanella (Isorthis) szajnochai sp. n. - Kozłowski (1929), p. 75, pl. II, fig. 24-41, cu sinonimie și descriere.

Isorthis szajnochai Kozł. - Nikiforova (1954), p. 55, pl. 14, pl. III, fig. 1-2; Moore (1965), p. 334, fig. 213/3a e; Nikiforova (1968), pl. 30, fig. 16-18.

Exemplarele identificate la 306-416 m adâncime intrunesc caracterele speciei și anume: cochlile biconvexă, cu convexitatea valvelor neegală, în general mult mai largă decât înaltă, cu contur transversal elptic. Ornamentația constă din coaste fine, subangulare, fasciculate, multiplicate fie prin intercalare de coaste noi fie prin divizarea în două coaste inegale. Cechile perforată, cu pori rotunjiți, mai numeroși în lungul coastelor decât pe spațiile intercostale. Valva ventrală convexă cu umbone ascuțit, valva dorsală cu un sinus median slab care începe de la croșet și se întăreste lent către marginea frontală adesea neconstituind decât o apăratizare mediană.

Isorthis szajnochai reprezintă specia tip a genului și este caracteristică pentru orizontul Borshkov fiind întâlnită în Podolia, R.S.R. Moldovenescă, Polonia.

Isorthis aff. crassa (Lindström, 1861)

(Pl. III, fig. 3)

Orthis crassa Lindstr. - Davidson (1866-1871), p. 213, pl. XXVII, fig. 17-19.

Parmorthis crassa (Lindstr.) - Nikiforova (1954), p. 50, pl. II, fig. 7-11.

Isorthis crassa (Lindstr.) - Walmsley et al. (1969), p. 509; Bassett, Coeck (1974), p. 10.

Exemplarele și fragmentele identificate la 316-317 m adâncime prezintă asemănări cu specia *crassa*. Au o cochlilie cu contur elptic, mai lată decât înalte, de dimensiuni mici. Ornamentația constă din coaste fine fasciculate, test perforat, valva dorsală prezintă un sinus median iar valva ventrală este bombată.

I. crassa este o specie wenlockian superior-ludloviană citată din Mulde, Halla și Hemse Beds din Gotland și din orizontul Malinovéck din Podolia. La Bătrinești apare în orizontul superior cu brahiopode indicând Ludlovianul.

Genul : *Resserella* Bancroft, 1928

Resserella ex gr. *elegantuloides* (Kozłowski, 1929)
(Pl. I, fig. 1; pl. II, fig. 2)

Dalmatella elegantuloides sp. n. — Kozłowski (1929), p. 63, pl. II, fig. 1—16.

Parmorthis elegantuloides (Kozł.) — Nikiforova (1954), p. 15, pl. II, fig. 3—5.

Resserella elegantuloides (Kozł.) — Nikiforova (1968), pl. XXX, fig. 30—33; Walsley, Boucot (1971), p. 514, pl. 98, fig. 8a, b; pl. 99, fig. 1a—c, cu sinonimie și descriere, Johnson, Boucot, Murphy, (1973), p. 17, pl. 14 fig. 1—21.

Exemplarele identificate în intervalul 311—335 m adâncime intrunesc următoarele caractere care le conferă grupului *elegantuloides* : cochilie ventribiconvexă, semicirculară, cu ornamentație semi-fascicostelată. Valva ventrală prezintă o să mediană cu coaste fine subparalele, valva dorsală slab convexă cu sinus ce se întăreste anterior.

Resserella elegantuloides este caracteristică pentru etajul Borshkov din Podolia și Polonia și pentru Gedimanianul din Nevada (Johnson, Boucot, Murphy, 1964, p. 684).

Ordinul : STROPHOMENIDA Opik, 1934

Subordinul : STROPHOMENIDINA Opik, 1934

Superfamilia : PLECTAMBONITACEA Jones, 1928

Familia : SOWERBYELLIDAE Opik, 1930

Subfamilia : SOWERBYELLINAE Opik, 1930

Genul : *Eoplectodonta* Kozłowski, 1929

Eoplectodonta aff. *transversalis* (Wahlenberg, 1818)

(Pl. V, fig. 8)

Leptacna transversalis (Wahl.). — Davidson (1866—1871), p. 318, pl. XLVIII, fig. 1—9.

Plectambonites transversalis Dalmat — Gürich (1908), p. 56, pl. 18, fig. 3.

Sowerbyella transversalis v. *lata* Jones — Nikiforova (1954), p. 76, pl. 4, pl. VII, fig. 1—2.

Ygera transversalis (Wahl.) — Havliček (1967), p. 58.

Ygera transversalis v. *lata* (Jones) — Nikiforova (1968), pl. IV, fig. 1—3.

Eoplectodonta transversalis (Wahl.) — Coeks (1970), p. 177, pl. 12, fig. 1—13; Bassett, Coeks, (1974), p. 13.

Exemplarele identificate în intervalul 489—550 m adâncime au caractere asemănătoare cu specia respectivă : cochilie concavo-convexă cu contur semicircular la semi-oval, cu lungimea adesea aproape egală cu lățimea. Valva ventrală convexă, maximul convexității spre partea posterioră, valva dorsală concavă, dimensiuni mici, ornamentație inegal parvicostelată.

Eoplectodonta transversalis este citată din Lower Visby Beds (Llando-verian superior) în Gotland. *E. duvalii* (Davidson) apare în Upper Visby, Höglklin și Slite Beds (Wenlockian inferior și mediu) din Gotland și Anglia și a fost adesea confundată cu *E. transversalis*. S-ar putea că unele exemplare din forajul Bătrinești să aparțină acestei specii.

Eoplectodonta aff. sowerbyana (Barrande, 1848)

(Pl. V, fig. 9).

Ygera sowerbyana (Barr.) — Havliček (1967), p. 59, pl. VII, fig. 20; text-fig. 30—31.

Eoplectodonta sowerbyana (Barr.) — Cocks (1970), p. 13, fig. 2, 4—6, 8, 9.

Exemplarele identificate în intervalul 488—550 m adâncime sunt asemănătoare cu specia menționată. Prezintă cochilie de talie medie, mai mult lată decât lungă, puternic concavo-convexă, cu regiunea cardinală înrulată, extremitățile cardinale ascuțite pînă la rectangulare.

Eoplectodonta sowerbyana este o specie citată numai din Bohemia, formațiunea de Litén-Wenlockian.

Superfamilia : STROPHOMENACEA King, 1846

Familia : STROPHOMENIDAE King, 1846

Subfamilia : LEPTAENINAE Hall et Clark, 1894

Genul : Leptaena Dalman, 1828

Leptaena rhomboidalis (Wahlenberg, 1818)

(Pl. VI, fig. 1)

Leptaena rhomboidalis (Wahl.) — Nikiforova (1954), p. 82, pl. 5, pl. VII, fig. 6, 7; Moot (1965), p. 393, fig. 252/5c—e; Macarović (1971), p. 101, pl. I, fig. 7, 8.

Leptaena rhomboidalis (Wahl.) — Kellay (1967), p. 594, pl. 98, fig. 1—3 cu sinonimie și descriere; Bassett, Cocks (1974), p. 14, pl. II, fig. 7, 8.

Exemplarele identificate în intervalul 361—520 m adâncime intrunesc caracterele speciei : cochilie semi-ovală la romboidală, geniculată, cu cea mai mare lățime puțin mai jos de linia cardinală. Valva ventrală geniculată, convexă către umbone și aplatizindu-se către margini, valva dorsală plană sau ușor concavă. Ornamentația constă din coaste fine, radiale crescind prin intercalare și bifurcare, cu 8—12 rugae concentrice, adine marcate și larg spațiate. *L. rhomboidalis* este o specie cu o viață lungă fiind citată în Gotland din Upper Visby și Höglklin Beds (Wenlockian inferior și mediu) iar în Anglia din Wenlockian și Ludlovian.

Genul: Leptagonia McCoy, 1844

Leptagonia aff. joachimiana Havliček, 1967

(Pl. VI, fig. 2)

Leptagonia joachimiana sp. n. — Havliček (1967), p. 105, pl. XIX, fig. 7—9, 12, 13, 17—20, fig-text. 41A, cu sinonimie și descriere.

Exemplarele identificate la 488—489 m adâncime reprezintă valva ventrală care are un contur rectangular, este bombată cu geniculație proeminent rotunjită și disc ușor convex. Ornamentația constă din coaste fine radiale și slabe rugae concentrice.

L. joachimiana este o formă citată numai din Bohemia din Litén Formation (Wenlockian) și Kopanina Formation (Ludlovian).

Leptagonia aff. vellerosa Havliček, 1967

(Pl. IV, fig. 8)

Leptagonia vellerosa sp. n. — Havliček (1967), p. 100, pl. XVI, fig. 5, 6.

Fragmentul identificat la 492-494 m adâncime reprezintă valva ventrală, subrectangulară în formă, ușor convexă către părțile laterale unde se rotunjește în geniculație. Ornamentația constă din coaste radiale și 3-5 rugae slabe, vizibile în special pe flancurile valvei.

L. vellerosa este o formă de ascemenea citată în Bohemia, fiind caracteristică pentru formațiunea de Kopanina (Ludlovian).

Familia : STROPHEODONTIDAE Caster, 1939

Subfamilia : STROPHEODONTINAE Caster, 1939

Genul : *Strophodonta* Hall, 1850

Strophodonta aff. *studenitzae* (Wenjukov, 1890)

(Pl. II, fig. 1)

Strophodonta studenitzae (Wenj.)—Nikiforova (1954), p. 90, pl. VII, fig. 14, 15, cu sinonimie și descriere.

Exemplarul identificat la 520-523 m adâncime reprezintă o valvă cu dimensiuni mari, cu maximul lățimii pe linia cardinală, ornată cu striuri fine și numeroase de tip stropheodontid. *S. studenitzae* este o specie wenlockiană citată din Polonia și Podolia în formațiunea de Kitaigorod.

Genul : *Strophonella* Hall, 1879

Strophonella (*Strophonella*) *euglypha* (Dalmann, 1828)

(Pl. II, fig. 3-5)

Strophonema euglypha (Hiss.)—Davidson (1871), p. 288, 372, pl. 10, fig. 1-3.

Strophonella euglypha (Hiss.)—Havliček (1967), p. 180, pl. XXXVIII, fig. 6-8, pl. L, fig. 5, 8, 9.

Strophonella (*Strophonella*) *euglypha* (Dalmann)—Bassett (1971), p. 310, pl. 55, fig. 4-11; pl. 56, fig. 1, 2; Bassett, Cocks (1974), p. 17.

Exemplarele identificate la 492-494 m și 513-517 m adâncime intrunesc caracterele speciei : cochilie mare, semicirculară la subtriangulară, convexo-concavă, moderat mai lată decât lungă. Ornamentația este constituită din striații fine, numeroase, rotunjite, parvostelate. Valva ventrală inițial convexă și apoi resupinată dind cu valva dorsală plană sau concavă un profil convexi-concav.

S. euglypha este o specie caracteristică pentru Wenlockianul superior dar ea apare din Wenlockianul inferior (Anglia) și se menține și în Ludlovian (Gotland). Este citată din Gotland (Mulde, Hemse și Eke Beds), Anglia, Norvegia, Bohemia.

Subfamilia : DOUVILLINAE Caster, 1939

Genul : *Douvillina* Oehlert, 1887

Subgenul : *Mesodouvillina* Williams, 1950

Mesodouvillina costatula (Barrande, 1848)

(Pl. II, fig. 6, 7)

Stropheodonta (*Brachyprion*) cf. *costatula* (Barr.)—Nikiforova (1954), p. 90, pl. VII, fig. 12, 13 cu sinonimie și descriere.



Mesodouvillea costatula (Barr.)—Havliček (1967), p. 170, pl. XXXIV, fig. 7, 9–12; Nikiforova (1968), pl. XXVII, fig. 2, 3.

Cele două valve identificate la 309–311 m adâncime au dimensiune medie, contur rectangular, mai lat decât lungi. Prezintă o ornamentație parvicostelată cu coaste fine și riduri transversale în spațiul dintre coaste dând aspectul unei pînze de păianjen. Valva ventrală cu sinus median și flancurile laterale conexe, valva dorsală plană sau ușor concavă.

M. costatula este o formă citată din Podolia din orizonturile Malinoveck (Ludlovian) și Borshkov (Gedinnian) iar din Bohemia din Lochkovian (Kotys limestone).

Subfamilia: SHALERINAE Williams, 1965

Genul: *Shaleria* Caster, 1939

Shaleria sp.

(Pl. II, fig. 2)

Shaleria sp.—Boucot et al. (1960), p. 12, pl. III, fig. 1–8; Nikiforova (1968), pl. XXV, fig. 20, 221.

Cochilie concavo-convexă, de talie medie cu coaste fine radiare și fine intercostale. Valva ventrală cu impresiunea mușchilor alungită și divizată de un șanț adine. Fragmentul întlnit la 306–311 m adâncime înrunește aceste caractere.

Shaleria este citată din Podolia — orizontul Dzwinogorod (post-Ludlovian — pre-Gedinnian) și din Gedinnianul din Nevada.

Familia: CHILIDIOPSIDAE Boucot, 1969

Subfamilia: FARDENINAE Williams, 1965

Genul: *Iridistrophia* Havliček, 1965

Iridistrophia praeumbracula (Kozłowski, 1929)

(Pl. VI, fig. 5)

Schellwienella praeumbracula Kozł.—Kozłowski (1929), p. 105, pl. V, fig. 3–5; Nikiforova (1954), p. 84, pl. 14; pl. VIII, fig. 5–7; (1968), pl. 30, fig. 27–29; pl. 33, fig. 3; Macarovič (1971), p. 102, pl. I, fig. 9–12.

Iridistrophia praeumbracula (Kozł.)—Havliček (1967), p. 194, 196.

Fragmentul identificat la 325 m adâncime prezintă o costație caracteristică, constituită din coastele subcarinate cu un interspațiu larg și multiplicate prin intercalare.

I. praeumbracula este citată în Polonia și Podolia din orizontul Borshkov și din Bohemia în Lochkovian.

Subordinul : CHONETIDINA Muir-Wood, 1955

Superfamilia : CHONETACEA Brönn, 1862

Familia : CHONETIDAE Brönn, 1862

Subfamilia : DEVONOCHONETINAE Muir-Wood, 1962

Genul : Protochonetes Muir-Wood, 1962

Protochonetes ludoviensis Muir-Wood, 1962

(Pl. IV, fig. 7)

Protochonetes ludoviensis sp. n. — Muir-Wood (1962), p. 51, pl. III, fig. 1–5, text-fig. 9a–c; Moore (1965), p. 421, fig. 283/1; Nikiforova (1968), pl. 13, fig. 20.

Exemplarele identificate în orizontul superior cu brahiopode prezintă caracterele speciei: cochilie transversă, de talie mică la medie, plano- sau concavo-convexă, cea mai mare lățime în lungul sau aproape de linia cardinală. Lățimea este de obicei de două ori mai mare decât lungimea. Ornamentația constă din coastele dese ce se înmulțesc prin bifurcare în special în partea anterioară a flancurilor. *P. ludoviensis* este o specie cîtată din Ludlovianul superior în Anglia și din orizontul Malinovetsk — în Podolia.

Protochonetes striatellus (Dalman, 1828)

(Pl. I, fig. 1, 2; pl. IV, fig. 1, 6)

Choneles striatella Dalman — Davidson (1866–1871), p. 331, pl. XLIX, fig. 23–26; Macarovič (1971), p. 103, pl. I, fig. 13–14.

Protochonetes striatellus (Dalman) — Muir-Wood (1962), p. 50, 52, pl. 3, fig. 6, 7; pl. 8, fig. 1, 2; Moore (1965), p. 421, fig. 283/2; Bassett, Cocks (1974), p. 22.

Exemplarele identificate în intervalul 309–360 m adincime prezintă o cochilie alungită transversal, valva ventrală puternic convexă și valva dorsală aproape plată, linia cardinală prezintă mici spini oblici. Ornamentația constă din coaste fine, dese, multiplicate atât prin bifurcare cât și prin intercalare.

P. striatellus este citat în Gotland din Hemse la Hamra Beds (Ludlovian), în Anglia, Polonia și Podolia din Ludlovian.

Protochonetes dniestrensis (Kozłowski, 1929)

(Pl. IV, fig. 4)

Choneles dniestrensis sp. n. — Kozłowski (1929), p. 118, pl. IV, fig. 10–11; Tomezykowa (1972), p. 49.

Protochonetes dniestrensis (Kozł.) — Nikiforova (1968), pl. 21, fig. 15–17.

Exemplarul identificat la 330–332 m adincime reprezintă o cochilie cu contur trapezoidal, mai mult largă decât lungă, cu cea mai mare lățime pe linia cardinală. Valva ventrală bombată în regiunea umboanală și cu flancurile aplatizate. Ornamentația constă din coaste radiale, rotunjite, rar multiplicate prin bifurcare și uneori și prin intercalare.

P. dniestrensis este citat din Polonia și Podolia din orizontul Skala (Rashkov și Dzwinogorod) deci din Indlovian.



Ordinal : PENTAMERIDA Schuchert et Cooper, 1931
 Subordinul : PENTAMERIDINA Schuchert et Cooper, 1931
 Superfamilia : PENTAMERACEA McCoy, 1844
 Familia : PENTAMERIDAE McCoy, 1844
 Subfamilia : CLORINOPINAE Rzhonsnitskaya, 1966
 Genul : *Antirhynchonella* Oehlert in Fischer, 1887
Antirhynchonella cf. linguifera (J. de C. Sow., 1839)
 (Pl. VI, fig. 3—4)

Pentamerus linguifera (J. de C. Sow.) — Davidson (1867), p. 149, pl. 17, fig. 11—14.
Barrandella linguifera (Sow.) — Nikiforova (1954), p. 67, pl. IV, fig. 3—6; (1968), pl. IV, fig. 24—27.

Antirhynchonella linguifera (J. de C. Sow.) — Moore (1965), p. 551, fig. 408/5, 415/2a—c;
 Macarović (1971), p. 103, pl. I, fig. 15—19 cu descriere și阳光; Bassett,
 Cocks (1974), p. 25.

Exemplarele identificate la 471—472 m și 520—523 m adâncime reprezintă valva ventrală foarte bombată cu umbonele puternic arcuit. Cochilie lisă, groasă. *A. linguifera* este citată în Anglia din Wenlockian, în Gotland din Slite și Hemse Beds (Wenlockian mediu — Ludlovian inferior), în Podolia din orizontul Kitaigorod și Malinovetsk (Wenlockian și Ludlovian).

Ordinal : RHYNCHONELLIDA Kuhn, 1949
 Superfamilia : RHYNCHONELLACEA Gray, 1848
 Familia : UNCINULIDAE Rzhonsnitskaya, 1956
 Subfamilia : HEBETOECHIINAE Havliček, 1960
 Genul : *Sphaerirhynchia* Cooper et Muir-Wood, 1959
Sphaerirhynchia wilsoni (Sowerby, 1816)
 (Pl. III, fig. 5a—e)

Rhynchonella Wilsoni (J. Sow.) — Davidson (1867—1869), p. 167, pl. 23, fig. 1—9.
Camarotoechia (Wilsonia) Wilsoni (Sow.) — Koziowski (1929), p. 159, pl. VII,
 fig. 27—31.
Wilsonella wilsoni (Sow.) — Nikiforova (1954), p. 108, pl. 7; pl. XI, fig. 3—4.
Spinaerirhynchia wilsoni (Sow.) — Moore (1965), p. 567, fig. 439/5a-d; Nikiforova
 (1968), pl. 15, fig. 13—16; Bassett, Cocks (1974), p. 27.

Numele exemplare și fragmente întâlnite în tot orizontul superior cu brahiopode, sunt de dimensiuni mici, cu formă globuloasă, aproape la fel de largi cît și lungi, oruate cu coaste groase radiare care către partea anteroară sunt divizate de un striu ingust. Valva ventrală convexă cu sinus median slab cu 4 coaste ce corespund pe valva dorsală mai puțin bombată, cu o șa destul de aplatizată, comisura frontală fiind flexată.

S. wilsoni este citată în Anglia din Ludlovian, în Gotland din Mulde și Hemse Beds (Wenlockian superior-Ludlovian inferior), în Polonia și Podolia din orizonturile Malinovetsk și Skala (Ludlovian).

Ordinul : SPIRIFERIDA Wagner, 1883

Subordinul : ATRYPIDINA Moore, 1952

Superfamilia : ATRYPACRA Gill, 1871

Familia : ATRYPIDAE Gill, 1871

Subfamilia : ATRYPINAE Gill, 1871

Genul : *Atrypa* Dalmatian, 1828

Atrypa aff. reticularis (Linnaeus, 1758)

(Pl. IV, fig. 5, 6)

Atrypa reticularis (Linnaeus) — Davidson (1866–1871), p. 129, pl. XIV, fig. 1–22; Alexander (1949), p. 208, pl. 9, fig. 1a–d; Macarowici (1971), p. 104, pl. I, fig. 26–27; pl. II, fig. 1a–c; Bassett, Cocks (1974), p. 28, pl. 9, fig. 2.

Atrypa reticularis (Linnaeus) — Kozłowski (1929), p. 169, pl. VIII, fig. 1, 17, text-fig. 56; Moore (1963), p. 639, fig. 522/1a–e.

Atrypa (Golatripa) Bindstroemi n.sp. — Struve (1966), p. 133, pl. 15, fig. 7–9.

Cochiliile întlnite la 316–323 m adâncime, au o formă semicirculară, cu maximul lățimii la mijlocul cochiliei, cu valva ventrală aproape plană și valva dorsală convexă cu părțile laterale aplatizate. Coaste radiare dese, rotunjite, nodulare, multiplecate prin bifurcare și intercalare, întrerupte de lamele concentrice de creștere. *A. reticularis* este citată în Gotland din Llandoveryanul superior pînă în Ludlovianul superior (Lower Visby – Sundre Beds), în Anglia și Podolia din Llandoveryan pînă în Devonianul inferior.

Atrypa reticularis dzwinogrodensis Kozłowski, 1929

(Pl. IV, fig. 9)

Atrypa reticularis (Linnaeus) var. *dzwinogrodensis* var. n. — Kozłowski (1929), p. 170, pl. VIII, fig. 1–4; Nikiforova (1954), p. 117, pl. XII, fig. 1–2.

Atrypa dzwinogrodensis Kozł. — Nikiforova (1968), pl. XV, fig. 11–14.

Exemplarele întlnite în tot orizontul superior cu brahiopode prezintă contur subcircular la triunghiular, cochile inegal biconvexă la convex-plană cu valva dorsală mai convexă pînă la gibașă și valva ventrală plană sau ușor concavă cu marginile ridicate. Ornamentația constă din coaste subțiri, dese, mai lent multiplecate, fără nodozități la intersecția cu lamelele concentrice de creștere. *A. reticularis dzwinogrodensis* este caracteristică pentru marnele de Dzwinogrod recent trecute la post-Ludlovian – pre-Gedinnian, din Polonia și Podolia.

Atrypa reticularis aff. *orbicularis* (Sowerby)

(Pl. VI, fig. 8)

Atrypa reticularis orbicularis (Sowerby) — Nikiforova (1954), p. 115, pl. 3; pl. XII, fig. 1–4.

Atrypa orbicularis (Sowerby) — Nikiforova (1968), pl. II, fig. 15–19; pl. IV, fig. 69–72.

Valva identificată la 511–513 m adâncime, prezintă dimensiuni mici, contur semicircular, este bombată și acoperită cu coaste rare, rotunjite cu spații intercostale adânci și egale de late.

A. orbicularis este citată în Podolia din orizontul Kitaigorod : Res-tevo — Marjanovka Beds, deci Llandoverian mediu — Wenlockian.

Subordinul : ATHYRIDIDINA Boncet, Johnson, Staton, 1944
 Superfamilia : ATYRIDACEA McCoy, 1844
 Familia : MERISTELLIDAE Waagen, 1883
 Subfamilia : MERISTELLINAE Waagen, 1883
 Genul : *Meristella* Wall, 1867
Meristella sp.,
 (Pl. III, fig. 4)

Valva ce apare la 332-335 m adâncime are contur subtrapezoidal-rotunjit, este mai mult înaltă decât lată, ușor convexă, lisă și cu impresiuni muschiarale alungite și puternic divergente față de septumul median. *Meristella* este un gen devonian inferior, în Podolia fiind citată *M. wiennowskii* din etajul Borshkov iar în America de N. *M. walooi* din Gedinnian.

Subordinul : SPIRIFERIDINA Waagen, 1883
 Superfamilia : SPIRIFERACEA King, 1846
 Familia : DELTHYRIDIDAE Waagen, 1883
 Subfamilia : DELTHYRIDINAE Phillips, 1841
 Genul : *Delthyris* Dalmann, 1828
Delthyris elevata Dalmann
 (Pl. I, fig. 1-4; pl. III, fig. 6, 7)

Spirifera elevata Dalm. — Davidson (1866—1871), p. 95, pl. X, fig. 7—11.

Spirifer (Delthyris) elevatus Dalm. — Kozłowski (1929), p. 185, pl. X, fig. 1—3, text-fig. 61.

Spirifer elevatus Dalm. — Nikiforova (1954), p. 140, pl. XVI, fig. 1, 2.

Delthyris (Delthyris) elevata Dalm. — Sariceva (1960), p. 272, pl. LXII, fig. 1, 2.

Delthyris elevata Dalmann — Moore (1965), p. 680, fig. 551, 2.; Bassett, Gocks (1974), p. 37, pl. 10, fig. 6.

Delthyris elevatus (Dalmann) — Nikiforova (1968), pl. 21, fig. 1—4.

Delthyris (Spirifer) elevatus Dalm. — Macarovici (1971), p. 107, pl. II, fig. 10—12.

Numele exemplare identificate în orizontul superior cu braio-pode sint de talie mică, transverse, cu linia cardinală dreaptă, cu sinus median pe valva ventrală și să pe valva dorsală, mărginită pe ambele laturi de 4-5 coaste radiare groase, rotunjite și fine striuri concentrice de creștere.

D. elevata are o largă răspândire în Europa. Este citat în Anglia din Wenlockian la Downtonian, în Gotland din Hemse — Hamra Beds (Ludlovian) în Podolia și Polonia din Skala și Dzwinogorod (Ludlovian și Pridolian), din Franța (Couche de passage), din Spania (Gedinnian).

Delthyris magnus (Kozłowski, 1929)

(Pl. III, fig. 8, 9)

Spirifer (Delthyris) magnus sp. n. — Kozłowski (1929), p. 188, pl. X, fig. 4–9.*Spirifer (Delthyris) magnus* (Kozł.) — Nikiforova (1954), p. 141, pl. XVI, fig. 5a-e.*Delthyris magnus* (Kozł.) — Nikiforova (1968), pl. 24, fig. 15–19.

Cochilie mare cu contur subromboidal, cu sinus adinc pe valva ventrală largindu-se către marginea anterioară străbătut de un fin pliu median. Valva dorsală cu o să aplatizată, parcursă de un sănt median fin. De ambele părți apar 4–7 coaste pternice, dese, rotunjite.

D.-magnus este cital în Polonia din calcarele de Skala și marnele de Dzwino-grod (Ludlovian și Pridolian) și în Podolia din orizontul Dzwino-grod (Pridolian).

BIBLIOGRAFIE

- Alexander F. E. S. (1949) A revision of the brachiopod species *Anomia reticularis* Linnaeus genolectotype of *Atrypa* Dalman. *Q. Jl. Geol. Soc. London*, 104, 1948, London.
- Barbu C., Ali Mehmet Nurhan, Paraschiv Cornelia (1969) Paleozoicul din Vorlandul Carpaților Orientali între valea Brăzăului și granița de N a R. S. România. *Petrol și Gaze*, XX/12, București.
- Bassett G. M. (1970) The articulate Brachiopods from the Wenlock series of the Welsh Borderland and South Wales. *Paleontographical Soc. Monographs. Part. I. Publ. 525*, 123, 1969, London.
- (1971) Wenlock Strophodontidae (silurian Brachiopoda) from the Welsh Borderland and South Wales. *Paleontology*, 14, 2, London.
- Cocks L. R. M. (1974) A review of Silurian Brachiopods from Gotland. *Fossil sand Strata*, 3, Oslo.
- Bejn D., Dăneș Nurhan (1962) Chitinozoare siluriene din Platforma Moldovenească și Platforma Moesică. *Petrol și Gaze*, 13, 12, București.
- Böger H. (1968) Paläökologie silurischer Chonetooidea auf Gotland. *Lethalia*, 1, Oslo.
- Boucot A. J., Pankowsky K. (1962) Llandoveryan to Gedinian stratigraphy of Podolia and adjacent Moldavia. *Symposium Band. Silur/Devon-Grenze*, Bonn-Bruessel, 1960, Stuttgart.
- Cocks L. R. M. (1970) Silurian Brachiopods of superfamily Plectambonitacea. *Hill. British Museum (Nat. Hist.) Geol.*, 19, 4, London.
- Holland C. H., Rickards R. B., Strahan I. (1971) A correlation of silurian rocks in the British Isles. *Jl. Geol. Soc.* 127.
- Davidson Th. (1866–1871) A monograph of the British Fossil Brachiopoda, Part. VII, The Silurian Brachiopoda. *Paleontograph. Soc. London*.
- Gürich G. (1908) Leitfossilien. Kambrium und Silur. Berlin.
- Havliček V. (1967) Brachiopoda of the suborder Strophomenidina in Czechoslovakia, *Rozpravy Ustr. Ust. Geol.*, 33, Praha.



- Johnsen J. G., Boucet A. J., Murphy M. A. (1967) Lower Devonian fauna succession in Central Nevada. *Intern. Symp. Devonian System. Calgary 1967*, Alberta.
- Boucet A. J., Murphy M. A. (1973) Pridolian and Early Gedinnian age Brachiopods from the Roberts Mountains formation of Central Nevada. *Univ. California Public. Geol. Soc.*, 100, Los Angeles.
- Liteanu E., Macarovici N., Bandrabur T. (1963) Studiul geologic și hidrogeologic al zonei Iași prin foraje de mare adâncime. *Stud. tehn. econ., serie E*, 6, Com. Geol., București.
- Kelly F. B. (1967) Silurian leptaenids (Brachiopoda). *Palaeontology*, 10, 4, London.
- Kozłowski R. (1929) Les Brachiopodes Gothlandiens de la Podolie Polonaise. *Pal. Polonica*, I, Warszawa.
- Macarovici N. (1949) Observații asupra sondajului de la Deleni. *Rev. st. V. Adamachi*, 35, Iași.
- (1956) Asupra faunei Silurianului din fundația Podișului Moldovenesc. *An. St. Univ. Iași, sect. II, Șt. Nat. I*, 1, Iași.
 - Paghiida Natalia (1962) Observații stratigrafice asupra sondajului de la Todireni (Raionul Botoșani). *An. Șt. Univ. Al. I. Cuza Iași, sect. II, Șt. Nat., b. Geol.-Geogr.*, VIII, Iași.
 - Bejan D., Olaru L. (1965) Date noi asupra faunei Silurianului din fundația Podișului Moldovenesc. *An. Șt. Univ. Al. I. Cuza, Iași, sect. II, Șt. Nat., b. Geol.-Geogr.*, XI, Iași.
 - (1971) La faune siluriennes du fondament du Plateau moldave (les forages de Iassy et de Todireni-Botoșani). *An. Șt. Univ. Al. I. Cuza, sect. Biol. Geol.*, XVII, Iași.
- Moore R. C. (1965) Treatise on Invertebrate Paleontology. H. Brachiopoda. New York.
- Muir-Wood H. M. (1962) On the morphology and classification of the Brachiopod suborder Chonetoida. *Brit. Mus. Nat. Hist.* London.
- Nikitorova Olga (1954) Stratigrafia i brachiopodi siluriiskih otlojenii Podolii. *Trud. Vses. n-t geol. Inst. Moskwa*. Moskwa.
- (1968) Atlas of Silurian and Early Devonian fauna of Podolia. *Third Internat. Sypos. Silur-Devonian boundary and Lower and Middle Devonian stratigraphy*. Leningrad.
- Pătrulinus D., Jordan Magdalena (1974) Asupra prezenței pogonoforului Sabellidites cambricensis Ian. și a „algei” Vendotaenia antiqua Gnil. în depozitele detritice presiluriene din Podișul Moldovenesc. *D. S. Inst. Geol.*, LX, 4, București.
- Pătruț I., Paraschiv D., Molnar M. (1965) La platforme moldave et sa position dans le cadre structural de la République Populaire Roumaine. *Carp.-Balk. Geol. Assoc. VII Congr. Rep. I., sect. Geotectonics*, 1963, Sofia.
- Sariceva T. G. (1960) Osnovi Palaeontologii. Brachiopoda. Moskwa.
- Struve W. (1966) Einige Atrypinae aus dem Silurium und Devon. *Senken. lish.* 47, 2, Frankfurt a Main.
- Tomezykowa Ewa (1972) Biostratigraphic Table of the Silurian in Poland Geology of Poland. II. Catalogue of Fossils. Part. 1. Paleozoic. Warszawa.
- Văscăuțeanu Th. (1931) Formațiunile Siluriene din malul drept al Nistrului. *An. Inst. Geol. Rom.*, XV, București.
- Walmsley V. G. (1965) Isorthis and Salopina (Brachiopoda) in the Ludlovian of the Welsh Borderland. *Palaeontology*, 8, 3, London.

- Boucot A. J., Harper C. W. (1969) Silurian and Lower Devonian salopinid brachiopods. *Journ. Pal.*, 43, 2.
- Boucot A. J. (1971) The Resserellinae — a new subfamily of Late Ordovician to Early Devonian dalmanellid Brachiopods. *Paleontology*, 14, 3, London.

ETUDE DE LA BIOSTRATIGRAPHIE DU PALÉOZOIQUE DU FORAGE DE BÂTRINEȘTI (PLATE-FORME MOLDAVE)

(Résumé)

Le forage de Bâtrinești, situé dans l'extrême NE du pays, dans le plateau moldave, a traversé une succession de dépôts qui se rattachent au : Quaternaire, Miocène, Crétacé, Silurien, Ordovicien, Cambrien inférieur et Vendien, jusqu'à la profondeur de 1008 m, où l'on entre dans les schistes cristallins du sous-basement.

Dans la succession de dépôts paléozoïques comprise en profondeur entre 243 et 555 m, on peut distinguer 5 horizons lithologiques et faunistique (fig. 1).

Horizon I — l'horizon à ostracodes — (245-306 m) est constitué d'une alternance de : calcaires et marno-calcaires noirâtres à marnes argileuses noires et violet-blanchâtres à aspect de diatomite et à calcaires gris clair, parfois vacuolaires. Le contenu paléontologique, constitué surtout d'ostracodes : *Lepidita ex gr. lyrata Schm.*, *L. schmidti Kraan*, *L. sp.*, *Hermannia isokotsyensis Abus.*, *Toitilia podotica Abus.* et sporadiquement d'entroques, de fragments de brachiopodes (*Reserella* sp.) et de coraux — indique le Ludlovien et, comme possibilité, le Pridolien-Gédien.

Horizon II — l'horizon supérieur à brachiopodes — (306-416 m) est formé de calcaires gris-noirâtres à rares et minces intercalations de marnes argileuses-schisteuses et marno-calcaires argileux.

Ce paquet de calcaires est caractérisé par une faune abondante, à dominance de brachiopodes, suivis par de : ostracodes, trilobites et gastéropodes (voir la liste du texte roumain, page 31). Dans l'association mentionnée, au point de vue du nombre d'individus et de fragments, les suivantes espèces sont prédominantes : *Delthyris elevata*, *Atrypa reticularis dzwinogradensis*, *Eucrinurus* sp., *Phacops* sp., *Lepidita* sp., qui, ensemble avec les espèces *Protoconches striatulus*, *P. ludlovensis*, *P. dnisterensis*, *Iosithis crassa*, *Shaleria* sp., *Mesodouvillina costulata*, *Sphaerirynchia wilsoni*, indiquent le Ludlovien.

Horizon III — (416-449 m) est caractérisé par un frappant changement de faciès. Cette fois-là, on voit apparaître de : argilites faiblement marneuses gris clair-blanchâtres, argilites gris-noirâtres, siltites noir-verdâtres, en alternance ou en mélange hacheté avec de : marno-calcaires gris, calcaires gris et noirs. La faune de ces dépôts est pauvre. On peut observer seulement en sections minces de rares fragments d'ostracodes et brachiopodes et, du point de vue microlaune et palynologie ils sont stériles. On ne dispose pas d'arguments pour préciser leur âge, mais notre avis est qu'on pourrait placer cet horizon quelque part à la limite Wenlockien/Ludlovien.

Horizon IV — l'horizon inférieur à brachiopodes — (449-553 m) est constitué de calcaires noirs et gris-noirâtres fins, grossiers ou spatiques, parfois inclus dans un marno-calcaire fin, gris clair. Ils sont riches en fossiles, de même que l'horizon II — mais sont caractérisés



par l'apparition des Placambonitacés, à dominance de Leptenides, par l'absence des Protochonetides et la disparition presque complète des Orthides (liste complète dans le texte roumain page 83). L'association faunistique — dont il est à remarquer : *Eoplectodonta transversalis*, *Leptagonia joachimiana*, *Leptaena rhomboidalis*, *Resserella elegans*, *Atrypa reticularis orbicularis*, *Callograptus (Capitograptus) dichotomous*, indique le Wenlockien.

Horizon V (553, 60-555,84 m) — renferme le contact entre un calcaire argileux noir fossilifère de l'horizon supérieur et un grès quartzeux gris clair à ciment calcaire en plages isolées, qui présente des lames d'argile noire et des niveaux centimétriques de bioturbation. Dans une seule carotte apparaissent des restes de : brachiopodes (orthides), bryozoaires, crinoïdes, dont la fragmentation avancée ne permet guère leur détermination spécifique. Cette formation gréseuse, dont l'épaisseur ne dépasse pas 2 m, représente probablement le grès de Molodova (Ordovicien supérieur), mais il ne faut pas exclure la possibilité qu'elle représente même la partie basale des couches de Resteu (Llandovérien moyen).

La succession inférieure des dépôts détritiques, située à une profondeur entre 555-100 m, se rattache au Cambrien inférieur et au Vendien et a été étudiée par Patruilius et Iordan (1974).

A partir des études paléontologiques, on peut conclure que les dépôts traversés par le forage de Bătrinești (245-555 m) appartiennent au Ludlovien et au Wenlockien, mais il est bien possible qu'il existe — aux deux extrémités — le Pridollen — ? Gédinnien, à la partie supérieure et le Llandovérien moyen (couches de Resteu) ou l'Ordovicien supérieur (grès de Molodova), à la partie inférieure.

La corrélation avec d'autres forages exécutés dans la Plate-forme Moldave (fig. 2) et surtout avec la Podolie et la R.S.S. Moldave (tableau) offre plus d'arguments en ce qui concerne la continuation de la Plate-forme est-européenne vers le SW, sur le territoire de notre pays.

Une comparaison, en plus, avec la Plate-forme Moessienne permet la constatation de l'existence d'un Ludlovien et d'un Wenlockien en faciès de „shelly fauna” dans la Plate-forme Moldave, à la différence du faciès graptolithique de la Plate-forme Moessienne.

INTREBĂRI ȘI DISCUȚII

D. Paraschiv. S-a incercat o paralelizare chiar și numai biostratigrafică, a Paleozoiului de la Bătrinești cu cel din forajele de la Todireni, Iași și Popești?

Magdalena Iordan. Corelarea făcută cu forajele Nicolina-Iași și Todireni-Botoșani ilustrată în figura 2 a demonstrat că și la Bătrinești Paleozoicul începe cu un orizont cu ostracode și abia după aceea se instalează orizontul propriu-zis fossilifer, așa cum a precizat prof. N. Macaroviči. Și în aceste foraje complexul calcaros silurian este precedat de un complex detritic care trebuie să aparțină Vendianului și Cambrianului inferior, totul reprezentând pe cristalin. Ceea ce aduce nou în celelalte foraje lipsesc.

Violeta Iliescu. Forajul Bătrinești este unul din cele mai complete foraje în ceea ce privește Paleozoicul inferior din Podișul Moldovenesc. Rezultatele studiului macrofaunei corespund cu cel paleontologic. Asociațiile microfilitice se coreleză cu cele macrofaunistice.

dind o imagine completă a distribuției stratigrafice pe diferitele nivele și contribuind la stabilirea limitelor geocronologice.

În ansamblu, aceste limite s-au putut urmări și în alte foraje studiate de autor : Todireni și Iași, care de asemenea au corespuns cu rezultatele palinologice.

PLANŞA I

- Fig.1. — *Resserella aff. elegantuloides* (Kozl.), *Deltigris elevata* Dalm., *Protochonetes striatellus* (Dalm.), 332–335 m., $\times 2,3$.
- Fig.2. — *Protochonetes striatellus* (Dalm.), *Deltigris elevata* Dalm., *Leperditia* sp., 332–335 m., $\times 2,3$.
- Fig.3. — *Tentaculites* sp., *Leperditia* sp., *Deltigris elevata* Dalm., 321–323 m., $\times 2,3$.
- Fig.4. — *Deltigris elevata* Dalm., 323–325 m., $\times 2$.



MAGDALENA TOEDAN. Silurianul din forajul Bărcănești.

Pl. I.



Institutul de Geologie și Geofizică. Dări de seară ale sedimentelor, vol. I.X/4.



Institutul Geologic al României

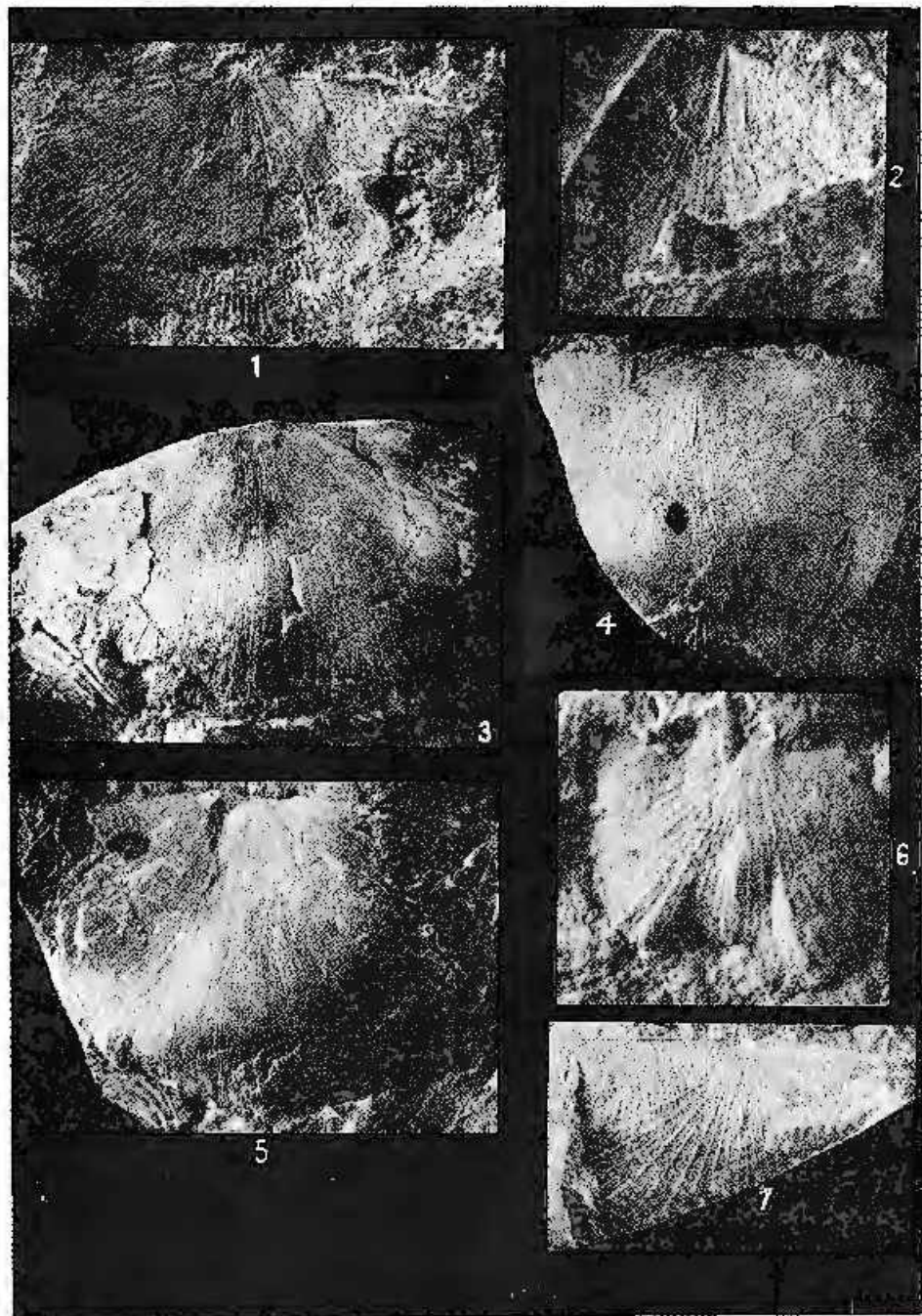
PLANSA II

Fig. 1. — *Strophodonta* aff. *studenticae* (Wenz.), 520—523 m., $\times 1,75$.

Fig. 2. — *Shateria* sp., 306—311 m., $\times 3$.

Fig. 3—5. — *Strophonella* (*Strophonetta*) *euglypha* (Dalm.), 3,5=192—194 m., $\times 2$;
4—513—515 m., $\times 2$.

Fig. 6—7. — *Mesodouvillea costata* (Barr.), 309—311 m., $\times 4$; $\times 3,2$.



Institutul de Geologie și Geofizică. Dărj de seamă ale ședințelor, vol. LXI/4.

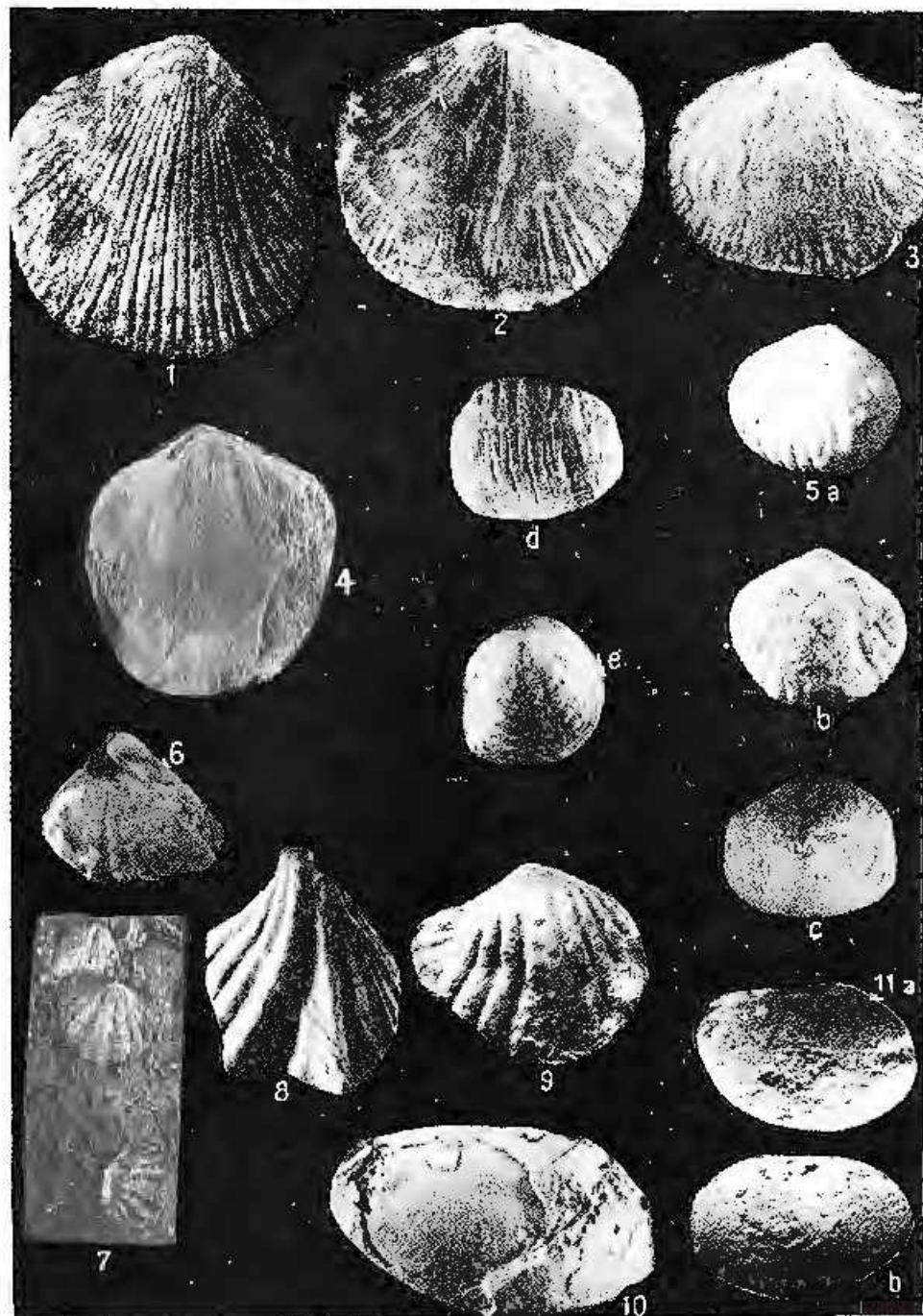


Institutul Geologic al României

PLANŞA III

- Fig. 1. — *Isothria* ex gr. *sajnochiae* Kozl., 402–408 m, $\times 6$.
- Fig. 2. — *Ressrella* ex gr. *elegantuloides* (Kozl.), 311–319 m, $\times 6$.
- Fig. 3. — *Isothria* aff. *crassa* (Lindstr.), 316–317 m, $\times 8$.
- Fig. 4. — *Meristella* sp., 332–335 m, $\times 2,1$.
- Fig. 5.a-e. — *Sphaeriphychia wilsoni* (Sow.), 323–325 m, $\times 2$.
- Fig. 6,7. — *Deltthyris elevata* Dalm., 323–325 m; 332–335 m, $\times 2,2$.
- Fig. 8,9. — *Deltthyris magnus* (Kozl.), 8 = 306–309 m, $\times 3$; 9 = 440–450 m, $\times 2$.
- Fig. 10. — *Lepiditta* ex gr. *iyratea* Schm., 270–272 m, $\times 3$.
- Fig. 11a,b. — *Hermanninia tsacantyensis* Abush., 296–298 m, $\times 3$.





Institutul de Geologie și Geofizică, Dări de seamă ale ședințelor, vol.-LXI/4.

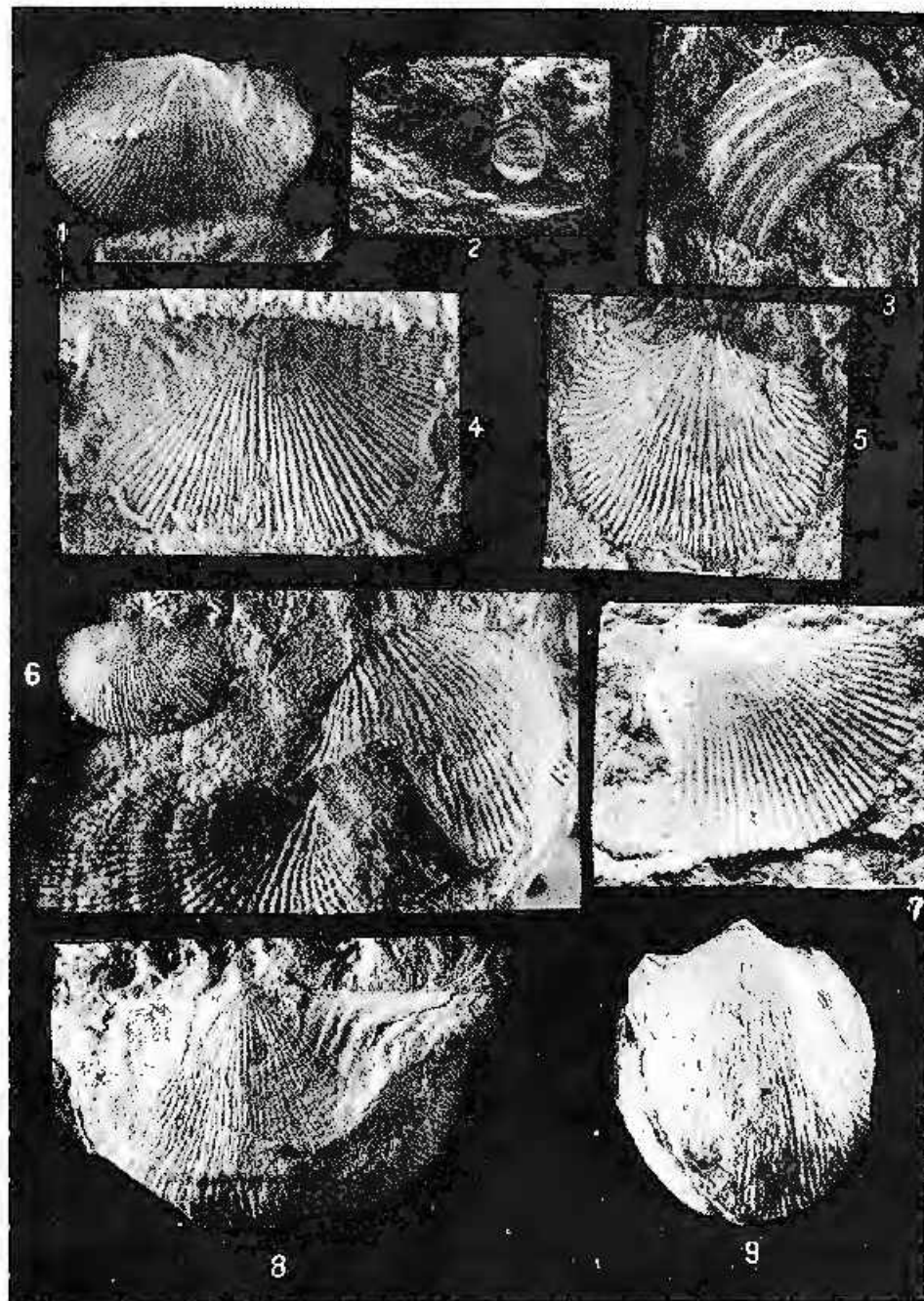


Institutul Geologic al României

PLANŞA IV

- Fig.1. — *Protochonetes striatellus* (D a l m.), 309—311 m., $\times 3$.
Fig.2. — *Phacops* sp., 472—476 m., $\times 3,5$.
Fig.3. — *Poleaunia* sp., 312—316 m., $\times 4$.
Fig.4. — *Protochonetes dentestrensis* (K o z l.), 330—332 m., $\times 6$.
Fig.5. — *Atrypa* aff. *reticularis* (L i n n.), 316—317 m., $\times 2,2$.
Fig.6. — *Protochonetes striatellus* (D a l m.), *Atrypa* *reticularis* (L i n n.), 321—323 m., $\times 2$.
Fig.7. — *Protochonetes tudowiensis* M a i r - W o o d., 316—317 m., $\times 5,8$.
Fig.8. — *Leptagonia* aff. *polterosa* H a v I., 492—494 m., $\times 2,5$.
Fig.9. — *Atrypa* *reticularis* *dzwinogrodensis* K o z l., 320—323 m., $\times 1,7$.





Institutul de Geologie și Geofizică. Dări de seamă ale ședințelor, vol. LXI/4.

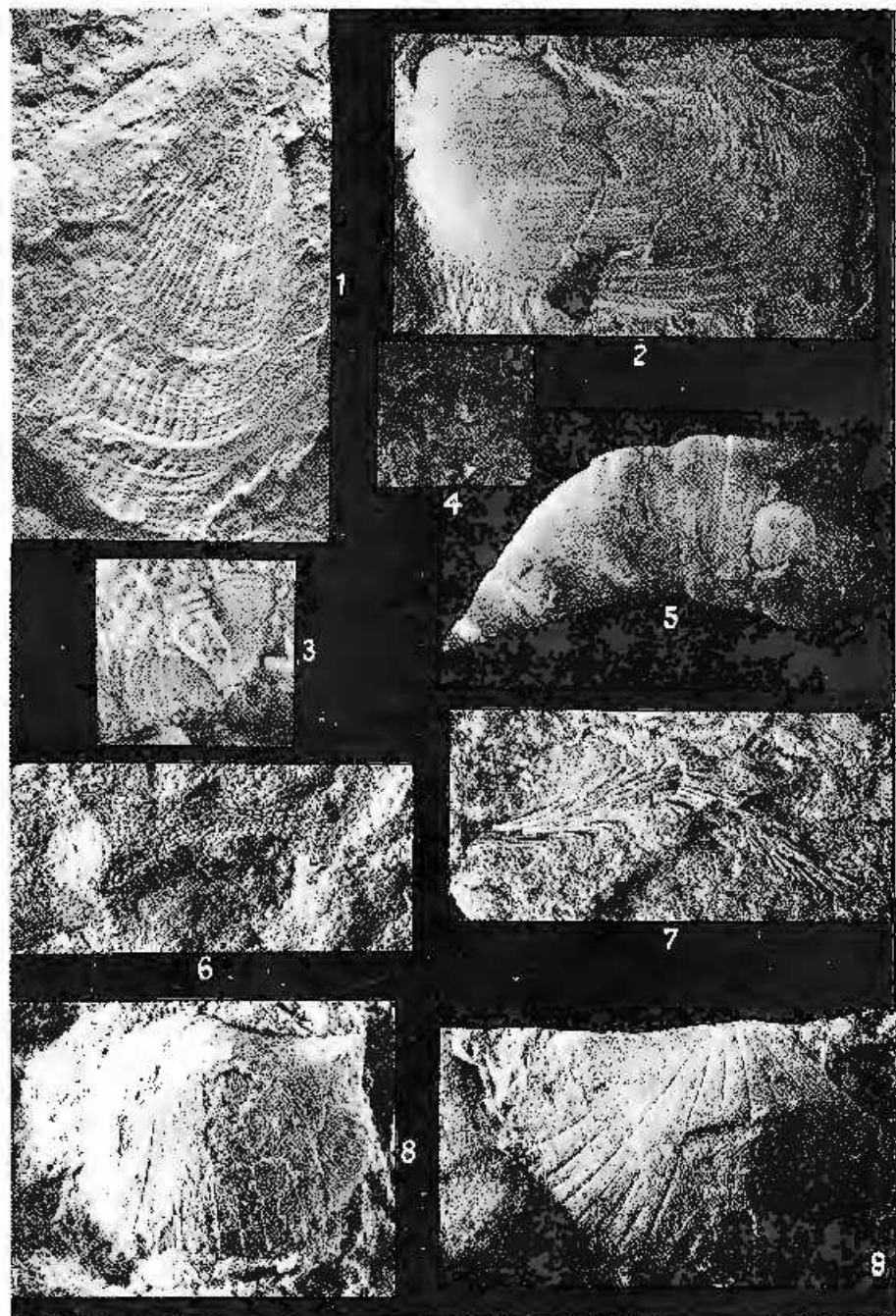


Institutul Geologic al României

PLANSĂ V

- Fig.1. — *Pterinella reticulata* His., 343—345 m., $\times 1.4$.
Fig.2. — *Pteronella complanata* Sand., 323—325 m., $\times 2.4$.
Fig.3. — *Calymene aff. blumenbachi* Brong., 330—332 m., $\times 6$.
Fig.4. — *Ptericeras* aff. *secundus* Perrier, 332—335 m., $\times 2$.
Fig.5. — *Phaculactis cyclophyllides* Rydér.
Fig.6,7. — Briozăre (Bryozoaire), 6 = 549 + 550 m., $\times 3$; 7 = 550—553 m., $\times 2$.
Fig.8. — *Eoplectodonta* aff. *transversalis* (Wall.), 549—550 m., $\times 3$.
Fig.9. — *Eoplectodonta* aff. *sowerbyana* (Bartr.), 549—550 m., $\times 2.2$.





Institutul de Geologic și GEOFIZICĂ. Dări de scamă ale ședințelor, vol. LXI/4.

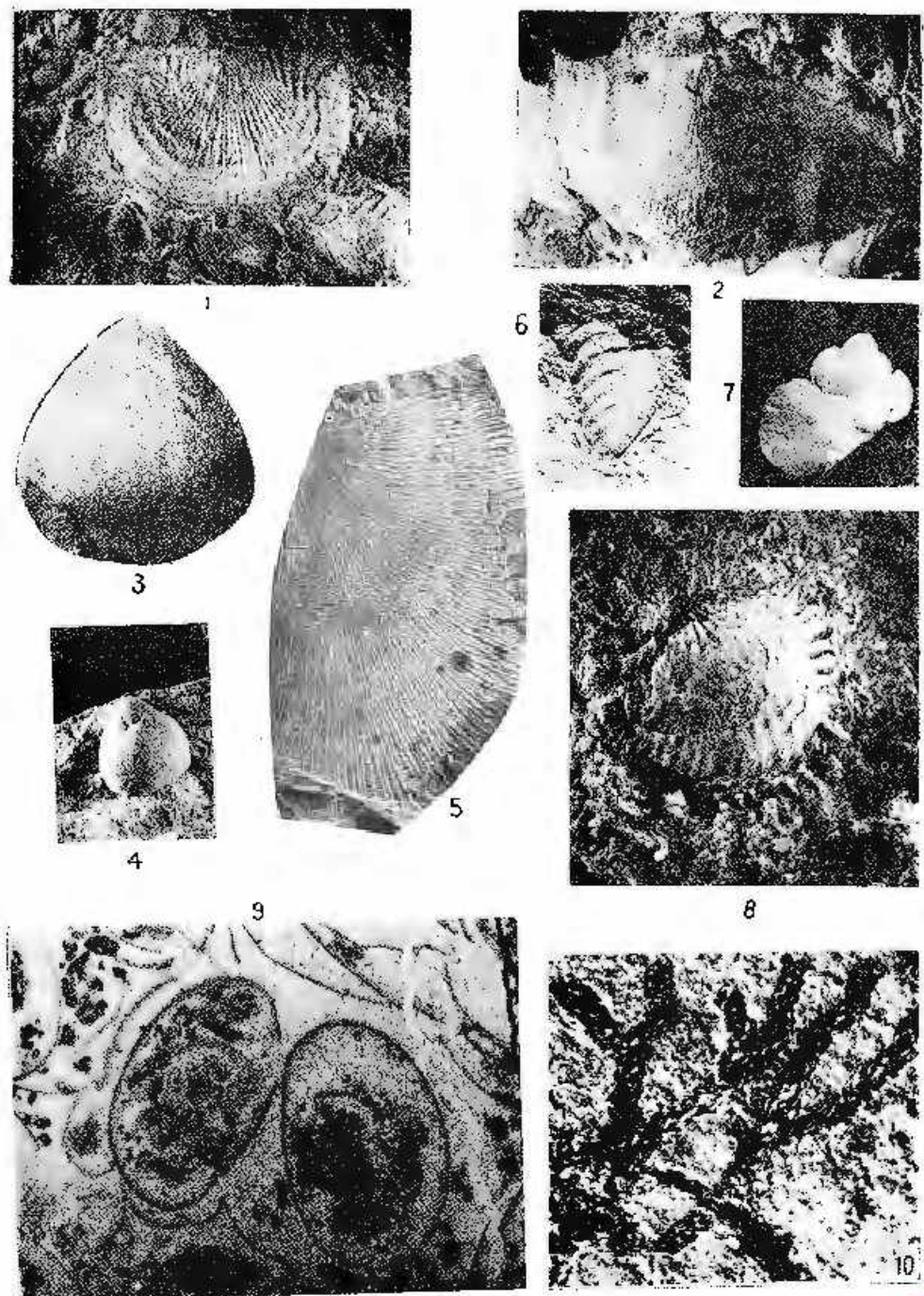


Institutul Geologic al României

PLANŞA VI

- Fig.1. — *Leptena rhomboidalis* (W. & h.), 361—362 m., $\times 2,5$.
- Fig.2. — *Lepidogonia* aff. *jacobimiana* H. a v. 1., 488—489 m., $\times 2,5$.
- Fig.3—4. — *Antithyneiosella* cf. *Unguifera* (J. de C. Sow.), 520—523 m., $\times 2,6$; 471—472 m., $\times 2$.
- Fig.5. — *Iridistrophia praecumbaenica* (Kozl.), 325 m., \times .
- Fig.6. — *Euerioprus* sp., 316—317 m., $\times 2$.
- Fig.7. — „*Pleurotomaria*" sp., 323—325 m., $\times 2$.
- Fig.8. — *Atrypa reticularis* aff. *orbicularis* Sow., 511—513 m., \times .
- Fig.9. — Calcere cu ostracode, 270—272 m., $\times 35$.
- Fig.10. — *Callogreplus (Capitograptus) dichotomous* Počta., 549—550 m., $\times 7$.





Institutul de Geologie și Geofizică. Dări de seamă ale ședințelor, vol. LXI/4.



Institutul Geological României



4. STRATIGRAFIE

DATE BIOSTRATIGRAFICE PRIVIND TRIASICUL DE LA SASCA (ZONA REȘIȚA – MOLDOVA NOUĂ, BANAT)¹

DE

DOINA GHEORGHIAN²

Abstract

Biostratigraphic Data Concerning the Triassic of the Sasca Area (Reșița – Moldova Nouă Zone). In this paper microfossils from the Anisian deposits of the Sasca area (Reșița-Moldova Nouă Sedimentary Zone from the South Carpathians Gelic Domain) are presented. In dolomitic limestones assigned to the Middle (–Lower?) Anisian have been identified: *Glomospira densa* (Pantic), *Glomospira* sp., *Spiroplectammina*?; *Meandrospira dinarica* Kochansky – Devidé, Pantic, *Macroparella alpina* Pia. In black limestones with Ceratites – Upper Anisian – frequent filaments, organism of the *Globochaete alpina* Lombard type, Micogasteropods, *Theelia planorbiculata* Mosller, *Hemigordius* sp. do occur.

Depozitele triasice de la Sasca, semnalate în 1888 de Boeck pe baza unor argumente paleontologice, se situează în partea centrală-vestică a zonei sedimentare Reșița-Moldova Nouă, din domeniul getic al Carpaților Meridionali.

În această regiune, depozitele triasice sunt reprezentate (Boldur et al., 1964) printr-un orizont de conglomerate (Werfenian inferior), peste care urmăză un orizont de calcare dolomitice (Werfenian superior? – Anisian) și apoi orizontul calcarelor negre cu Ceratiți (Anisian).

În probele studiate³, colectate din șeaua dealului Redut (fig. 1) (versantul sudic al Nerei, între comunele Sasca Română și Sasca Montană) din cele două orizonturi calcaroase, a fost identificată o microfaună rară și puțin variată. Cu toate acestea, considerăm că este importantă deo-

¹ Comunicare în ședință din 5 aprilie 1974.

² Institutul de Geologie și Geofizică, Str. Caransebeș nr. 1, București.

³ O parte din probe mi-au fost puse la dispoziție de colegii Mariana Iva și B. Drăgoimăr, cărora le exprim mulțumiri.



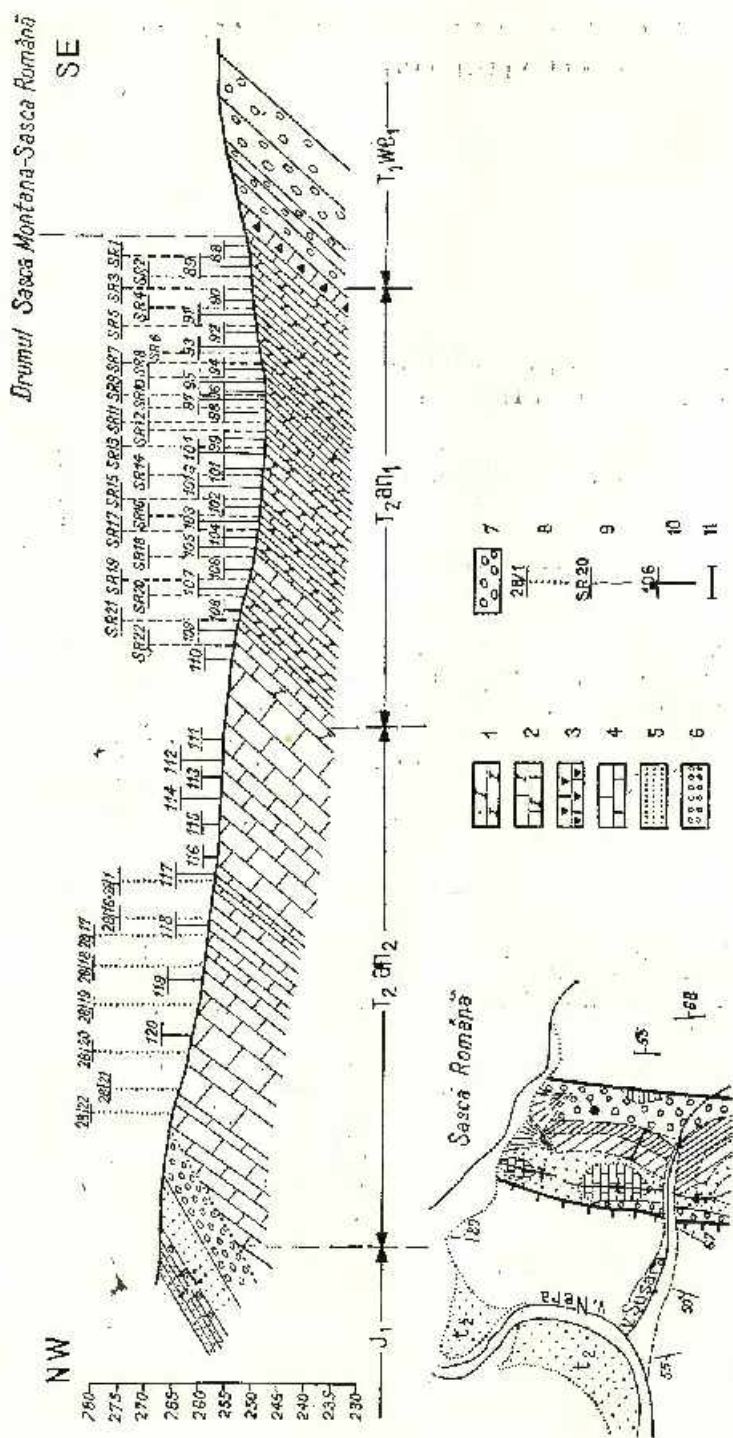


Fig.1. Secțiune litostratigrafică în dealul Redut (Săscă Română). Denumit Săscă Română—Săscă Montană.

1, dolomite; 2, calcare dolomitic; 3, calcare silicifero; 4, calcaré en silicifieri; 5, calcaires; 6, grès; 7, conglomerate fine; 8, conglomerate grossier; 9, colectat B. Drăgoianu; 10, colectat Doina Gheorghian; 11, profil micropaleontologic.
I. Stănciu, A.I. Stănciu (1964); 11, profil micropaleontologic.

La ronție Săscă Română — Săscă Montană.

1, dolomites; 2, dolomitic limestone; 3, calcare dolomitic; 4, calcareous dolomitic limestone; 5, calcareous dolomitic limestone; 6, sandstone; 7, fine-grained conglomerate; 8, coarse-grained conglomerate; 9, collected by M. Iava; 10, collected by B. Drăgoianu; 11, recorded by Doina Gheorghian; 11, micropaleontological profile according to I. Stănciu, A.I. Stănciu, A.I. Stănciu (1964); 11, micropaleontological profile according to I. Stănciu (1964).

rece completează cunoștințele asupra conținutului biostratigrafic al Anisianului din România.

Majoritatea probelor colectate din calcarele dolomitice albe-gălbui, începînd imediat de deasupra conglomeratelor werfeniene (pl. IV), au pus în evidență în secțiuni subțiri, sparite și pelsparite cu dolomitizări mai mult sau mai puțin intense. În probele 88, 108 și S.R.18 (depuse la Colecția Institutului Geologic cu nr. P. 10533–10535) au fost identificate: *Macroporella alpina* Pia⁴, *Glomospira densa* (Pantic), *Glomospira* sp., *Spiroplectammina* ? sp., *Meandrospira dinarica* Kochansky - Devide, Pantic și rare microgasteropode.

În România, *Meandrospira dinarica* a fost menționată în Anisianul mediu din Bihor și Piatra Craiului, în Anisianul din Perșani și Campilian superior-Anisianul din Pădurea Craiului (Patruțiu et al., 1971 a, tabel; Patruțiu et al., 1971 b, p. 26, 34, 39). Mai recent, Popa și Dragastan (1973, p. 429) studiund algele și foraminiferele triasice din estul Pădurii Craiului, semnalizează *Meandrospira dinarica* și *Glomospira densa* în calcar negre vermiculate pe care le atribuie Pelsonianului dar putînd să coboare și în „Hydaspian”.

Cele două specii sunt cunoscute în Anisianul mediu-superior (secvența IV, orizonturile A și B) din Prealpii Mediani Rigizi (Baud et al., p. 91, 92; Zaninetti et al., 1972, p. 345), în Anisianul din Croația (Herak et al., 1967, p. 199), din sud-estul Bosniei (Pantic, 1966/1967, p. 240) și din Montenegro de nord-vest (Pantic, 1967, p. 95), în asociație cu *Macroporella alpina* Pia. Zona cu *Meandrospira dinarica* corespunde Anisianului mediu (Pelsonian) atât în Carpații Occidentali (Sălaj, 1969, p. 123) cât și în Prealpi (Zaninetti et al., 1972, p. 344, secv. IV, nivel A) dar specia urcă și în Illyrian. Oraveczne-Scheffer (1973, p. 107) o menționează în Ungaria în Pelsonian și Illyrian.

În ceea ce privește *Glomospira densa* (Pantic), că ar caracteriza Anisianul superior (Illyrianul) din Prealpii Mediani Rigizi (Baud et al., 1971, p. 91, 92; Zaninetti et al., 1972, p. 345), Carpații de vest (Sălaj et al., 1967, p. 130) și Carpații Occidentali ai Slovaciei (Sălaj 1969, p. 124). Se pare însă că zona cu *Glomospira densa* introdusă de Sălaj (1969, p. 124) pentru Illyrianul din Carpații de vest, nu se suprapune decit prin partea sa inferioară cu zona cu același nume (secv. IV, nivel B) separată pentru Prealpii Mediani Rigizi (Zaninetti et al., 1972, p. 347), unde Anisianul superior cuprinde în plus nivelele C și D (pentru secvența IV) și secvența V (zona cu *Glomospirella triphonensis* Zaninetti, Brønn.).

Avînd în vedere datele de mai sus, am fi tentați să considerăm calcarele dolomitice din dealul Redut, ca aparținind Anisianului mediu (probabil și inferior?).

Calcarele dolomitice suportă un pachet de calcar negre bituminoase, fine, uneori slab recristalizate, cu diaclaze albe de calcit, cunoscut ca „orizontul calcarelor negre cu ceratiți”. În acest orizont, descris de Halavats și Schreter ca orizontul cu *trinodosus*, a fost menționată o

⁴ Determinată de A. Baltrus, căruia îi mulțumesc.

bogată macrofaună care le atestă vîrstă anisiană (Năstăseanu, 1964; Boldur et al., 1964). În secțiunile executate în cele 32 probe colctate din aceste calcare micritice, se remarcă frecvențe filamente, foarte fine, ușor arcuite, capilare, pe care Guvillier (1969, p. 9) le consideră ca aparținând testurilor de Pelecypode pelagice. Pe lîngă acestea se pot observa frecvențe organisme de tip *Globochaete alpina Lombard*, radiolari, microgasteropode, rare sclerite de holoturide (*Theelia planorbicula* Mostler). Dintre foraminifere se remarcă *Hemigordius* sp. și nodosaride nedeterminabile. Deși săracă, asociația din aceste calcare confirmă vîrstă anisian-superioară ce le-a fost atribuită pe baza microfaunei.

MICROPALEONTOLOGIE

I. FORAMINIFERE

Superfamilia AMMODISCACEA, Reuss 1862

Familia AMMODISCIDAE, Reuss 1862

Genul *Glomospira*, Zehak 1885

Glomospira densa (Pantic)

(Pl. I, fig. 1-3)

Pilammina densa n.sp., Pantic, 1965, Geol. Vjesnic 18/2, p. 191, pl. I-III;

Pilammina densa Pantic, Pantic, 1966/1967, Inst. Besch. Geol. Geoph. XXIV/XXV, ser. A, pl. I, fig. 1;

Pilammina densa Pantic, Salaj et al., 1967, Geol. Prace 42, pl. I, fig. 7;

Glomospira cf. densa (Pantic), Koehn-Zaninetti, 1969, Jahr. Geol. Bund. 14, p. 27, pl. IV, fig. A,B,C;

Pilamina ex gr. densa Pantic, Gaetani, 1969, Riv. Ital. Pal. 75/3, pl. 32, fig. 3,4; *Glomospira densa* (Pantic), Borza, 1970, Geol. Zborník Geol. Carp. XXI/1, p. 175, fig. 2, 3, 5, 6, 7, 8;

Glomospira densa (Pantic), Pantic, 1970, Inst. Besch. Geol. Geoph. XXVIII, ser.A, pl. IV, fig. 8;

Glomospira densa (Pantic), Baud et al., 1971, Bull. Lab. Geol. Univ. Lausanne, 190, p. 80, pl. I, fig. 1-4.

Pilammina densa Pantic, Premoli Silva, 1971, Riv. Ital. Pal. 77/3, p. 325, pl. 21, fig. 1-3; pl. 22, fig. 3, 4;

Glomospira densa (Pantic), Popa, Dragastan, 1973, Stud. Cerc. Geol. Acad. R.S.R. 18/2, pl. I, fig. 4, p. 439.

Asociația. În probele studiate, *Glomospira densa* (Pantic) apare asociată cu *Meandrospira dinarica* Kochansky-Devidé, Pantic, *Spiroplectammina?* sp., *Macroporella alpina* Pia.

Nivel. Calcare dolomitice - Anisian.

Descriere. Am atribuit acestei specii exemplarele cu morfologie asemănătoare cu cele figurate de Pantic în 1965. Dispunem de puține exemplare parțial distruse de recristalizare, la care se observă totuși cele 2 moduri de înrulare ale camerei secunde tubulare: în ghem dens, neregulat în partea centrală, cu tendință de ordonare la ultimelc



ture. Între cele două stadii se observă o tranziție netă. Este foarte dificil de stabilit exact numărul turelor de spiră, care pare să fie mai mare de 40. Peretele cochiliei este gros, microgranular.

Dimensiuni. Diametrul testului 0,415–0,770 mm. Grosimea peretelui ultimei spire 0,02 mm.

Remarci. În 1965, Pantic a creat genul *Pilammina* pentru exemplare de *Glomospira* ce se caracterizau printr-o înrulare cu tendință de ordonare a ultimelor ture și printr-un număr mult mai mare de ture de spiră (40–60).

Koehn-Zannetti (1969) consideră aceste caractere ca având doar un rang de specie și, în consecință, genul *Pilammina* ca sinonim cu *Glomospira* (Reebeck, 1885), sau *Glomospirella* (Plummer, 1945).

Premoli Silva (1971) bazindu-se pe valoarea generică atribuită rotirii axei de înrulare la Ammodiscidae, ca și pe numărul mare de ture de spiră, consideră totuși genul *Pilammina* ca valid, dar monotipic, unică specie fiind *Pilammina densa* Pantic.

Admitând punctul de vedere al lui Koehn-Zannetti (1969) și ținând cont de diagnoza genului *Glomospira* (Loeblich, Tappan, 1964), păstrarea genului *Pilammina* ni se pare nepotrivită – fapt admis de altfel de însăși autoarea lui (Pantic, 1970).

Distribuție. Holotipul provine din Anisianul din Montenegro (Pantic, 1965). Această specie a mai fost menționată în Anisianul din sud-estul Bosniei – regiunea Tara – (Pantic, 1966/1967), în Anisianul inferior (Pelson) – zona cu *Rhynconella decurtata* – din Serbia orientală (Pantic, 1970), în Anisianul mediu din Bulgaria de nord (Trifonova, 1972, p. 502), în Anisianul superior din Carpații de vest (Salaj et al., 1967, p. 130; Salaj, 1969, p. 124; Borza, 1970, p. 175), din Alpii calcaroși septentrionali (Koehn-Zannetti, 1969, p. 27) și Prealpii Mediani Rigiș (Baud et al., 1971, p. 91, 92; Zannetti et al., 1972, p. 347). De asemenea, în Anisian mediu-superior în regiunea Ciudicarie (Italia de Nord) (Gaetani, 1969, p. 480; Premoli Silva, 1971, p. 325).

În România, *Glomospira densa* a fost menționată în calcarele negre vermiculate („Hydasp” – Illyr) din autohtonul de Bihor (Popa, Dragastan, 1973, p. 428, 429).

Glomospira sp.
(Pl. I, fig. 4)

Nivel. Calcare dolomitice – Anisian.

Un singur exemplar, găsit în proba S.R. 18 a fost separat de *Glomospira densa* (Pantic) datorită dimensiunilor sale mai reduse și modului de înrulare mai lejer și întrucâtiva mai uniform.

Dimensiuni. Diametrul testului 0,277 mm; proloculus 0,030 mm. Peretele microgranular, compus dintr-un singur strat.



Superfamilia LITUOLACEA de Blainville 1825

Familia TEXTULARIIDAE, Ehrenberg 1838

Genul *Spiroplectammina*, Cushman 1927

Spiroplectammina? sp.

(Pl. II, fig. 3)

Nivel. Calcare dolomitice — Anisian.

Exemplarul izolat, prezent în proba 88, ar putea să reprezinte partea inițială a unei *Spiroplectammina*; se observă un proloculus și 4 camere care formează un tur de spiră în jurul lui, apoi 2 camere cu aranjament biserial. Peretele gros, aglutinant, intunecat în lumină transmisă. Înălțimea fragmentului 0,385 mm.

Superfamilia Miliolacea, Ehrenberg 1839

Familia FISCHERINIDAE, Millett 1898

Genul *Hemigordius*, Schubert 1908

Hemigordius? sp.

(Pl. III, fig. 2)

Nivel. Calcare negre cu Ceratiți — Anisian superior.

Singura secțiune ecuatorială întreagă de care dispunem, nu ne permite o descriere detaliată și nici o identificare precisă. Ea seamănă cu *Hemigordius* sp. (pl. 30, fig. 1) menționat de Premoli Silva (1971) în Anisianul din Giudicarie, dar și cu *Hemigordius?* *chialingchiangensis* (Ho) semnalat de Koehn-Zaninetti (1969, pl. III, fig. E) în calcarile de Reifling — Anisian superior, sau cu *Arenovidalina chialingchiangensis* Ho (Ho, 1959, pl. VI, fig. 25—28) din Anisianul din China.

Genul *Meandrospira*, Loeblich, Tappan 1946

Meandrospira dinarica Kochansky-Devidé, Pantic

(Pl. II, fig. 1—2)

Meandrospira dinarica Kochansky-Devidé, Pantic; Salaj et al., 1967, Geol. Prace 42, pl. I, fig. 13, 19;

Meandrospira? *dinarica* Kochansky-Devidé, Pantic; Koehn-Zaninetti, 1969, Iahrb. Geol. Bund, 14, p. 47, pl. IV, fig. E, F; fig. 8, d-h;

Citella? *dinarica* (Kochansky-Devidé, Pantic); Gaetani, 1969, Riv. Ital. Pal., 75/3, pl. 33, fig. 2;

Meandrospira dinarica Kochansky-Devidé, Pantic; Papp, Turnovský, 1970, Iahrb. Geol. Sond. 16, pl. 22, fig. 3—5;

Meandrospira dinarica Kochansky-Devidé, Pantic; Pantic, 1970, Inst. Resch. Geol. Geoph. XXVII, ser. A, pl. IV, fig. 1, 2;

Meandrospira dinarica Kochansky-Devidé, Pantic; Baud et al., 1971, Bull. Lab. Geol. Univ. Lausanne 190, p. 88, pl. II, fig. 1—4; text-fig. 3, a-i;

Citella dinarica (Kochansky-Devidé, Pantic); Premoli Silva, 1971, Riv. Ital. Pal., 77/3, p. 324, pl. 20, fig. 2, 4—8;



Meandrospira dinarica Kochansky - Devidé, Pantie; Zaninetti et al., 1972 a, Mitt. Ges. Geol. Bergb. 21, p. 479, pl. VII, fig. 1-3; pl. IX, fig. 19, 23-25; pl. X, fig. 9-11, 15.

Meandrospira dinarica Kochansky - Devidé, Pantie; Popa, Dragastan, 1973, Stud. Cerc. Geol. Acad. R.S.R. 18/2 p. 439, pl. I, fig. 4.

Asociația. Meandrospira dinarica Kochansky - Devidé, Pantie, *Glomospira densa* (Pantie), *Glomospira* sp., *Spiroplectammina* sp., *Macroporella alpina* Pia.

Nivel. Calcare dolomitice - Anisian.

Descriere. Koechn-Zaninetti (1969, p. 47) descrie această specie ca avind un test subsferic, compus dintr-un proloculus central globular, urmat de un deuterolocus cilindric, nesegmentat, care descrie meandre strinse, orientate perpendicular pe planul de înrulare și care se întind de la un pol la altul. În consecință, într-o secțiune ecuatorială se pot vedea secțiunile lojei secunde (în număr dublu față de cel al meandrelor), reglăt repartizate în lungul spirei. Forma acestor secțiuni, normal este circulară, dar poate fi și rectangulară sau trapezoidală, datorită compresării meandrelor. Peretele bine individualizat, călăros, neperforat cu structură porcelanoasă, apare într-o tentă negricioasă în transparentă.

Dimensiuni. Diametrul testului 0,260-0,308 mm. Diametrul lumenului camerei pe ultimul tur de螺旋 0,036 mm. Grosimea peretelui 0,010-0,015 mm.

Remarcă. Exemplarele noastre corespund descrierilor și figurilor din literatură, atât ca dimensiuni cât și ca aspect. În privința denumirii generice, o păstrăm deocamdată pe cea dată inițial speciei.

Distribuție. *Meandrospira dinarica* Kochansky - Devidé, Pantie, este menționată în Anisianul din Serbia Occidentală (Pantie, Mojsilovic, 1967), Croația (Herak et al., 1967) și Austria (Papp, Turnovský, 1970); de asemenea în Carpații de vest (Salař et al., 1967 unde face zonă în Pelsonian (Salař, 1969). În Alpii giudicarieni este semnalată în Anisian inferior-mediu de Premoli Siliva (1971) și în Anisian mediu-superior de Getașani (1969). În Prealpii Mediani Rigizi este caracteristică Anisianului superior (Koechn-Zaninetti, 1969; Baud et al., 1971; Zaninetti et al., 1972 a, 1972 b). Oravec-Schäffer (1973) o menționează în Pelsonianul și Illyrianul din Ungaria.

În România a fost semnalată în Anisianul din Persani și în Campilian superior-Anisian în Autohtonul de Bihor și Pădurea Craiului (Patrulius et al., 1971 a, 1971b; Popa, Dragastan, 1973).

II. ALGE

Genul *Macroporella* Pia 1912

Macroporella alpina Pia

(Pl. II, fig. 4)

Macroporella alpina Pia, Bleahu et al., 1972, D. S. Inst. Geol. L.VIII/3, p. 13, pl. V, fig. 1;

Macroporella alpina Pia, Popa, Dragastan, 1973, Stud. Cerc. Geol. 18/2, p. 435, pl. XV, fig. 60; pl. XVI, fig. 62.

Nivel. Calcare dolomitice — Anisian.

Specie menționată în zona cu *decurtata* (Pelsonian) din Serbia orientală (Pantic, 1970), în Anisianul din Bosnia și Dalmatia (Herak, 1965) în Anisianul mediu-superior din Croația (Herak et al., 1967), Carpații de vest-Gemeride — (Bielej, Bystrycky, 1964) și Carpații Occidentali (Bystrycky, Kolarova-Andrusova, 1961).

În România a fost menționată în Anisianul mediu-superior din Perșani (Patruliș, 1970), din platoul Vașcău (Bleahu et al., 1972) și calcarele negre vermiculate din Pădurea Craiului (Popa, Dragastan, 1973).

Globochaete aff. G. alpina Lombard

În secțiunile provenind din calcarele micritice cu Ceratiți, apar frecvențe organisme de tip *Globochaete alpina* Lombard, a căror dimensiune variază între 0,077—0,151 mm. Ca formă sunt circulare și numai în mod exceptional se pot vedea și exemplare bipartite.

După Misk (1966, p. 64) genul *Globochaete* are o largă distribuție, începând din Silurian și pînă în Paleogen, dar *Globochaete alpina* ar exista numai în intervalul Ladinian-Senonian.

În România organisme de tip *Globochaete* sunt menționate în Anisianul din munții Perșani (Patruliș, 1964, p. 338).

III. HOLOTHURIDAE

Familia THEELINDE Frizzell, Exline 1955

Genul *Theelia* Schumberger 1890

Theelia aff. *T. planorbicula* Mostler

(Pl. III, fig. 1)

Theelia planorbicula n. sp., Mostler, 1968, Verh. Geol. Bund. 14, p. 58, pl. 2, fig. 10.

Nivel. Calcare negre cu Ceratiți — Anisian superior.

Mostler descrie această specie ca avînd formă de rotiță cu cca 10 spîte, care prezintă o îngroșare la partea lor mediană. La exemplarul nostru, parțial distrus de diageneză, se pot distinge aceste caractere. Diametrul 0,323 mm.

Specia este menționată de autorul ei în asociația zonei cu *Thallatoanthus consonus* Carronice care caracterizează Ilyrianul (Anisian superior) „ohne avisanus-Zone” (Mostler, 1972, p. 736). Autorul menționat semnalează prezența acestei zone în Austria, Italia, Grecia, Turcia, Nepal și Ungaria.

IV. MICROGASTEROPODE

În calcarele negre, micritice, de la Sasca, cele mai frecvente microgasteropode apar în proba 28/6, sub formă de secțiuni oblice sau tangențiale, astfel că dimensiunile lor reale nu pot fi măsurate. Înălțimile secțiunilor variază între 0,40 și 1,20 mm, diametrul bazal între 0,50 și 0,70 mm



iar unghiul apical este în medie de 45° (fig. 2; pl. III, fig. 3, 4; pl. IV, fig. 1, 2).

Frecvențe microgasteropode au fost menționate în termenul inferior al formațiunii de Elika — Triasic inferior din Iran. Ele au fost figurate

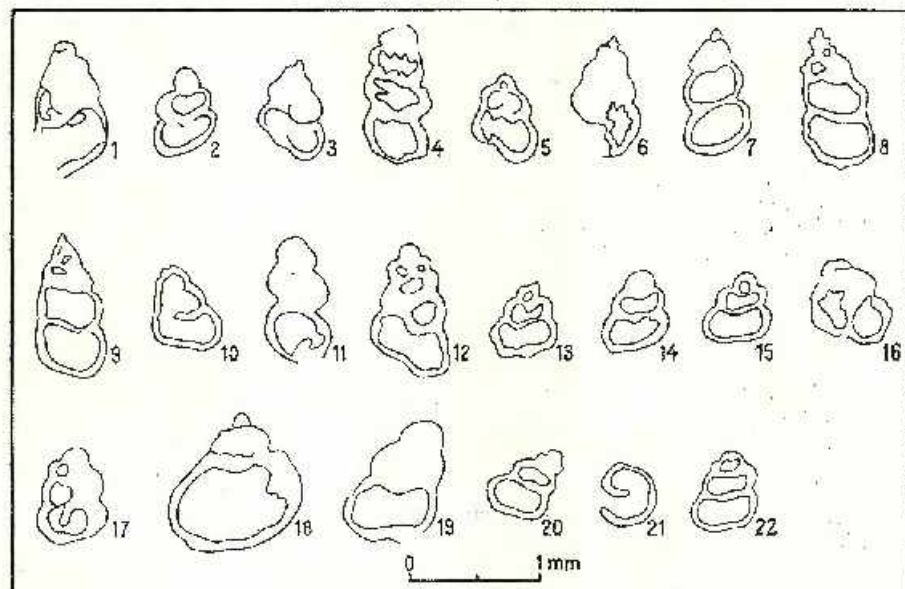


Fig. 2. — Microgasteropode din calcarele negre cu ceratili — dealul Redut. 1—17 — exemplare din proba 28/6; 18 — exemplar din proba 28/3; 19—20 — exemplare din proba 28/11; 21—22 — exemplare din proba 28/16.

Microgastéropodes des calcaires noirs à Cératites — colline Redut. 1—7 — exemplaires de l'échantillon 28/6; 18 — exemplaire de l'échantillon 28/3; 19—20 — exemplaires de l'échantillon 28/11; 21—22 — exemplaires de l'échantillon 28/16.

și după siluetă, dimensiuni, unghi apical, grosimea cochiliei, carenă sau ombilic, au fost distinse 4 grupe. Zaninetti arată că această grupare este arbitrară și, deși nu pot fi determinate, ele ar putea servi pe viitor pentru corelații și interpretări paleoecologice (Zaninetti et al., 1972, p. 223).

RIBLIOGRAFIE

- Baud A., Zaninetti Louisette, Brönnimann P. (1971) Les Foraminifères de l'Anisien (Trias moyen) des Préalpes Médianes Rigides (Préalpes romandes, Suisse et Préalpes du Chablais, France). *Bull. Lab. Geol. Univ. Lausanne*, Bull. 190, p. 73—95. pl. I—IV, Lausanne.

- Bielý A., Bystrícký J. (1964) Die Dasycladaceen in der Trias der Westkarpaten. *Geol. Sborník*, XVI/2, p. 173–188, Bratislava.
- Bleahu M., Tomescu Camelia, Panin Ştefana (1972) Contribuții la biostratigrafia depozitelor triasic din platoul Văcău (Munții Apuseni). *D. S. Inst. Geol.* LVIII/3, p. 5–25, pl. I–XI, București.
- Boldur C., Stănoiu L., Stîrza A.I. (1964) Cîteva date noi privind geologia regiunii Sasca-Tilva-Cerbulul (zona Reteșa-Moldova Nouă, Banat). *D. S. Com. Geol.* L/2, p. 187–195, București.
- Borza K. (1970) Mikrofazes mit Glomospira densa Pantie 1965 aus der Mittleren Trias der Westkarpaten. *Geol. Zborník Geol. Carp.* XXI/1, p. 175–182, Bratislava.
- Bystrícký J., Kollarová-Andrusovová Vanda (1961) Biostratigraphie du Trias des Karpathes Occidentales d'après les Dasycladacées et les ammonoidés. *Geol. Prace* 60, p. 107–112, Bratislava.
- Cuvillier J. (1969) Calcaires à „filaments”. *Proc. first Internat. Conf. Planet. microfoss.* Geneva 1967, II, p. 123–124, pl. I–II, Leiden.
- Gaetani M. (1969) Osservazioni paleontologiche e stratigraphiche sull'Anisico delle Giudicarie (Trento). *Riv. Ital. Pal.* 75/8, p. 409–546, Milano.
- Herak M. (1965) Comparative Study of some Triassic Dasycladaceae in Yugoslavia. *Geol. Vjesnik* 18/1, p. 3–34, Zagreb.
- Sokac B., Šćavinecar B. (1967) Correlation of the Triassic in SW Istra, Paklenica and Gorski Kotar (Croatia). *Geol. Sborník*, XIII/2, p. 189–202, Bratislava.
- Hou Yen (1959) Triassic foraminifera from the Chialingkiang limestone of south Szechuan. *Acta paleont. sinica* 3/5, p. 405–418, Peking.
- Koechn-Zaninetti Joniette (1969) Les Foraminifères de la région de l'Almtal (Haute Autriche). *Jahrb. Geol. Bund.* 14, p. 1–155, pl. I–XII, Wien.
- Loeblich A., Tappan Helen (1964) Treatise on Invertebrate Paleontology, in Moore R. C., part. C, Prolista 2, I, II, New York.
- Misik M. (1966) Microfacies of the Mesozoic and Tertiary limestones of the West Carpathians. *Slovenska Akad.*, Bratislava.
- Mostler H. (1968) Holothuriensklерite und Conodonten aus dem Schreyeralmkalk (Anisium) der Nördlichen Kalkalpen (Oberösterreich). *Verh. Geol. Bund. Heft* 1–2, p. 54–64, Vienna.
- (1972) Holothuriensklérone der alpinen Trias und ihre stratigraphische Bedeutung. *Mitt. Ges. Geol. Bergb.* Ed. 21, p. 729–744, Innsbruck.
- Năstaseanu S. (1964) Prezențarea hărții geologice a zonei Reteșa-Moldova Nouă. *An. Com. Geol.* XXXIII, p. 291–342, București.
- Oravec-Scheifer Anna (1973) Triassic foraminiferal assemblages of Stratigraphic value in Hungary. *Öslénytanítványok (Discussiones Palaeont.)* 21, p. 105–113, Budapest.
- Pantic Smiljka (1965) Pliommina densa n. gen., n. sp., and other Ammodiscidae from the middle Triassic in the Crnica (Montenegro). *Geol. Vjesnik* 18/1, p. 189–198, pl. I–III, Zagreb.
- (1966/1967) Les caractéristiques micropaléontologiques du Trias moyen et supérieur de la montagne Tara (Serbie occidentale). *Inst. Recher. Geol. Geogr.* XXIV/XXV, ser. A, p. 239–259, pl. I–VIII, Beograd.
- (1967) Triassic microfossile of northwestern Montenegro. *Bull. Geol.* V, p. 89–99, pl. I–V, Titograd.

- Mojsilovic S. (1967) Les caractéristiques faciales des sédiments triasiques dans les montagnes de Podrinje-Voljevo (Serbie occidentale). *Geol. Sbornik, Geol. Carp.*, XVIII/2, p. 209–217, Bratislava.
- (1970) Caractéristiques micropaleontologique de la colonne triasique de l'anticlinale de Zdribo (Serbie orientale). *Inst. Resch. Geol. Geoph.*, XXVIII, ser. A, p. 377–386 pl. I–XIII, Beograd.
- Papp A., Turnovský K. (1970) Anleitung zur Biostratigraphischen Auswertung von Gesteinsschliffen (Microfacies Austrifacia). *Fazh. Geol. Sond.* 16, p. 1–50, pl. 1–88, Wien.
- Petrulin D. (1964) Răspindirea algelor Globochaete și Eothrix, și a microfaciesului cu „Lombardia” (Saccocornidae) în Carpații Orientali. D. S. *Inst. Geol.* I/2, p. 337–346, pl. I–II, București.
- (1970) Inventar sumar al algelor Dasycladaceae triasicice din Carpații românești. D. S. *Inst. Geol.* LV/3, p. 187–196, pl. I–V, București.
- Popescu Ilieana, Bordea S. (1971a) Correlări stratigrafice ale Triasicului din România (tabel). *Atlas litofacial II Triasic*, I. G. București.
- Bleahu M., Popescu Ilieana, Bordea S. (1971b) Guidebook to excursion of the II-nd Triassic Colloquium Carpatho-Balkan Association. *Inst. Geol. Ghid Exc.* 8, București.
- Popa Elena, Dragastan O. (1973) Alge și foraminifere triasicice (Anisian Ladinian) din estul Pădurii Craiului (Muntii Apuseni). *Stud. cerc. geol. Acad. R.S.R.* 18/2, p. 425–442, pl. I–XXII, București.
- Premoli Silvia Isabella (1971) Foraminiferi Anisici della regione Giudicarense (Trento). *Riv. Ital. Pal.* 77/3, p. 303–371, pl. 19–30, Milano.
- Salaj J., Biely A., Bystricky J. (1967) Trias-Foraminiferen in den Westkarpaten. *Geol. Prace* 12, p. 119–136, pl. I–VIII, Bratislava.
- (1969) Essai de zonation dans le Trias des Carpates Occidentales d'après les Foraminifères. *Geol. Prace* 18, p. 123–128, pl. I–IV, Bratislava.
- Trifonova Ekaterina (1972) Triassic Foraminifera in North-Bulgaria. *Mitt. Ges. Geol. Bergb. Bd.* 21, p. 499–512, pl. I–II, Innsbruck.
- Zaninetti Louissette, Brönnimann P. (1972 a) Microfacies particuliers et foraminifères nouveaux de l'Anisien supérieur de la coupe du Rothorn (Préalpes médianes rigides, Diemtigtal, Suisse). *Mitt. Ges. Geol. Bergb. Bd.* 21, p. 485–498, pl. I–XI, Innsbruck.
- Brönnimann P., Bard A. (1972b) Essai de zonation d'après les Foraminifères dans l'Anisien moyen et supérieur des Préalpes médianes rigides (Préalpes romandes, Suisse et Préalpes du Chablais, France). *Elogiae Geol. Helv.* 65/2, p. 343–353, Bâle.

DONNÉES BIOSTRATIGRAPHIQUES SUR LE TRIAS DE SASCA (ZONE DE REȘIȚA-MOLDOVA NOUĂ, BANAT)

(Résumé)

Cet ouvrage présente les microfossiles des dépôts anisiens de Sasca (zone sédimentaire de Reșița – Moldova Nouă, du domaine géotique des Carpates Méridionales).

Les échantillons ont été prélevés du sommet de la colline Redut de Sasca, des dépôts calcaires situés au-dessus des congolomérats attribués au Werfénien inférieur (Baldur et al.,



1964). Les échantillons 88-110 et S.R. 1 - S.R. 22 (=45) proviennent des calcaires dolomitiques anisiens; ils sont représentés par des sparites et pelsparites à dolomitisation plus ou moins intense, dépourvus, pour la plupart, de microfaune. Dans les échantillons 88, 108, S.R. 18 (Coll. I. G., nr. P 10533 - P 10535) on a identifié pourtant des exemplaires de *Glomospira densa* (Pantić), *Glomospira* sp., *Sptroplectammina* ? sp., *Meandrospira dinarica* Kochansky-Davidé et Pantić, *Macroporella alpina* Pia. Compte tenu de leur distribution, on pourrait attribuer les calcaires dolomitiques de la colline Redut surtout à l'Anisien moyen (-inférieur?).

Les échantillons 111-120 et 28/1-28/22 (=32) ont été prélevés des calcaires noirs à Cératites. Dans les sections minces exécutées, on remarque souvent des filaments très fins, faiblement arqués, capillaires, considérés par Cuvallicier (1969, p. 9) comme appartenant aux tests de Pélécypodes pélagiques. En outre, on y trouve de fréquents organismes de type *Globochaete alpina* Lombardi, radiolaires, microgastéropodes, de rares sélrites de holothuries (*Theelia planorbicula* Mostler) et des foraminifères — *Hemigordius* sp. et nodosariides indéterminables. Bien que pauvre, l'association de ces calcaires vient confirmer l'âge anisien supérieur qu'on leur a attribué tenant compte de la microfaune.

I. FORAMINIFÈRES

Glomospira densa (Pantić)

(Pl. I, fig. 1-3)

Niveau. Calcaires dolomitiques — Anisien.

Description. Nous avons attribué à cette espèce les exemplaires à morphologie pareille à la morphologie de ceux figurés par Pantić en 1965. On dispose de peu d'exemplaires, partiellement détruits par la recristallisation, mais qui montrent pourtant les deux modes d'enroulement de la chambre seconde tubulaire : en pelote dense, irrégulier dans la partie centrale, à tendance de s'ordonner sur les derniers tours. La transition entre les deux stades apparaît très nette. Il est fort difficile d'établir le nombre exact des tours de spire, qui semble dépasser 40. La paroi de la coquille est épaisse, microgranulaire.

Dimensions. Le diamètre du test 0,415-0,770 mm. L'épaisseur de la paroi 0,02 mm.

Observations : en 1965, Pantić a créé le genre *Pilammina* pour les exemplaires de *Glomospira* caractérisés par un enroulement à tendance d'ordonner les derniers tours et par un nombre beaucoup plus grand de tours de spires (40-60).

Koehn-Zaninetti (1969) considère que ces caractères confèrent seulement rang d'espèce et que, par conséquent, le genre *Pilammina* serait synonyme de *Glomospira* (Rehak, 1885) ou de *Glomospirella* (Pilat, 1915).

Premoli Silva (1971), fondé sur la valeur générique attribuée à la rotation de l'axe d'enroulement chez les Ammodiscidae, de même que sur le grand nombre de tours de spire, accepte quand même la validité du genre *Pilammina*, mais comme monotypique, l'unique espèce étant *Pilammina densa* Pantić.

Si l'on admet le point de vue de Koehn-Zaninetti (1969) et compte tenu de la diagnose du genre *Glomospira* (Loeblich et Tappan, 1964) nous sommes d'avis qu'il ne serait pas indiqué de conserver le genre *Pilammina* — fait admis d'ailleurs même par l'auteur du genre (Pantić, 1970).

Glomospira sp.

(Pl. I, fig. 4)

Niveau. Calcaires dolomitiques — Anisien.



Un seul exemplaire, trouvé dans l'échantillon SR 18, a été séparé de *Glomospira densa* (Pantić), à partir de ses dimensions plus réduites et de son mode d'enroulement, plus léger et en quelque mesure plus uniforme.

Dimensions. Diamètre du test — 0,277 mm.

Proloculus 0,030 mm.

Paroi microgranulaire, constituée d'une seule couche.

Spiroplectammina? sp.

(Pl. II, fig. 3)

Niveau. Calcaires dolomitiques — Anisien.

L'exemplaire isolé, présent dans l'échantillon 88, pourrait représenter la partie initiale d'une *Spiroplectammina*; on observe un proloculus et quatre chambres qui forment une tour de spire autour de celui-ci, ensuite deux chambres à arrangement bi-sérial. La paroi épaisse, agglutinante, sombre en lumière transmise.

Hauteur du fragment — 0,385 mm.

Hemigordius? sp.

(Pl. III, fig. 2)

Niveau. Calcaires noirs à Cératites — Anisien supérieur.

L'unique section équatoriale intacte dont on dispose ne permet pas une description détaillée, ni une identification précise. Elle ressemble à celle de *Hemigordius* sp. (pl. 30, fig. 1), mentionnée par Premoli Silvia (1971) dans l'Anisien de Giudicarie, mais aussi à *Hemigordius chialingchiangensis* (Ho) signalée par Kochen-Zaninetti (1969, pl. III, fig. F) dans les calcaires de Reiling-Anisien supérieur ou à *Arenovidina chialingchiangensis* Ho (Ho, 1959, pl. VI, fig. 25—28) de l'Anisien de Chine.

Meandrospira dinarica Kochansky - Devidé, Pantić

(Pl. II, fig. 1,2)

Niveau. Calcaires dolomitiques — Anisien.

Dimensions: diamètre du test — 0,260-0,308 mm.

Le diamètre du lumen de la chambre sur le dernier tour de spire — 0,036 mm.

L'épaisseur de la paroi — 0,010-0,015 mm.

Observations. Nos exemplaires correspondent aux descriptions et aux figures de la littérature, autant comme dimensions qu'aussi bien comme allure. En ce qui concerne la dénomination générique, nous gardons celle donnée au début à cette espèce.

II. Algues

Globochaete aff., *G. alpina* Lombard

Dans les sections provenant des calcaires micritiques à Cératites apparaissent de fréquents organismes de type *Globochaete alpina* Lombard, dont les dimensions varient entre 0,088-0,154 mm. Leur forme est circulaire et seulement à titre d'exception on peut voir aussi d'exemplaires bipartites.

D'après Misik (1966, p. 64), le genre *Globochaete* est largement répandu, depuis le Silurien et jusque dans le Paléogène, mais l'existence de *Globochaete alpina* serait signalée seulement dans l'intervalle Ladinien-Sénonien.



En Roumanie, des organismes de type *Globocharte* sont mentionnés de l'Anisien des monts Perșani (Patrulius, 1964, p. 338).

III. Holothuridae

Theletta aff. T. planorbicula Mostler

Niveau. Calcaires noirs à Cératites — Anisien supérieur.

Mostler décrit cette espèce comme ayant la forme d'une petite roue avec environ 10 rais, qui présentent un renflement à leur partie médiane. Chez notre exemplaire, partiellement écrasé par la diagenèse, on peut distinguer ces caractères. Diamètre — 0,323 mm.

L'espèce est mentionnée par son auteur dans l'association de la zone à *Thallatocanthus consors* Carini, qui caractérise l'Ilyrien (Anisien supérieur) „ohne avisanus-Zone” (Mostler 1972, p. 736). L'auteur mentionné a signalé la présence de cette zone en Autriche, Italie, Grèce, Turquie, Népal et Hongrie.

IV. Microgastéropodes

Dans les calcaires noirs, micritiques de Sasca, les plus fréquents microgastéropodes apparaissent dans l'échantillon 28/6, sous forme de sections obliques ou tangentielles, de sorte que leurs dimensions réelles ne puissent pas être mesurées. Les hauteurs des sections varient entre 0,40 et 1,20 mm, le diamètre basal entre 0,50 et 0,70 mm et l'angle apical est en moyenne de 45° (fig. 2, pl. III, fig. 3, 4; pl. IV, fig. 1, 2).

De fréquents microgastéropodes ont été mentionnés dans le terme inférieur de la formation d'Elika — Trias inférieur d'Iran. Ils ont été figurés et, selon leur silhouette, leurs dimensions, l'angle apical, l'épaisseur de la coquille, la carène ou l'ombilic, on a distingué quatre groupes. Zaninetti montre que ce groupement est arbitraire et que, bien qu'ils ne soient pas déterminables, ils pourraient quand même servir, à l'avenir, pour des corrélations et interprétations paléoenvironnementales (Zaninetti et al., 1972, p. 223).

PLANSA I

Fig.1. — *Glomospira densa* (Pantić). Section équatoriale. Diamètre mare, 0,616 mm. Proba 88 (P 101.533).

Glomospira densa (Pantić). Section équatoriale. Diamètre grand, 0,616 mm. Echantillon 88 (P 101.533).

Fig.2. — *Glomospira densa* (Pantić). Section équatoriale. Diamètre mare, 0,585 mm. Proba 108 (P 101.534).

Glomospira densa (Pantić). Section équatoriale. Diamètre grand, 0,585 mm. Echantillon 108 (P 101.534).

Fig.3. — *Glomospira cf. densa* (Pantić). Longime 0,770 mm. Proba SR 18 (P 101.535).

Glomospira cf. densa (Pantić). Longueur 0,770 mm. Echantillon SR 18 (P 101.535).

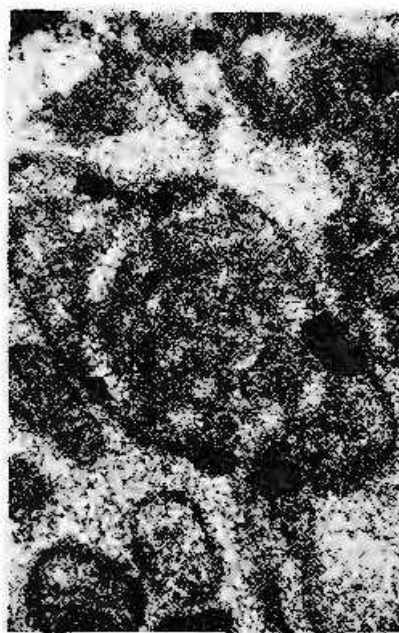
Fig.4. — *Glomospira* sp. Diametru 0,277 mm. Proba SR 18.

Glomospira sp. Diamètre 0,277 mm. Echantillon SR 18.

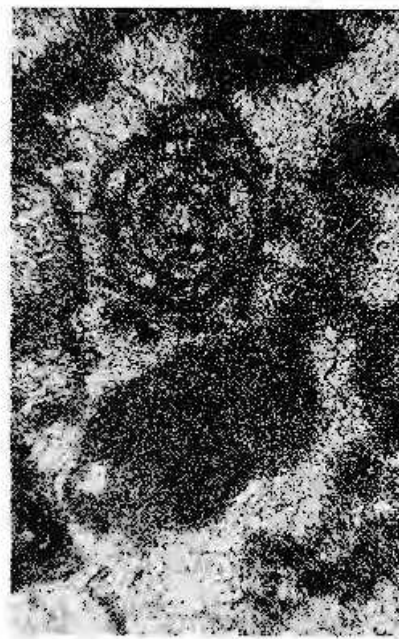




1



3



4

Institutul de Geologie și Geofizică, Dări de seară ale ședințelor, vol. LXI/4.



Institutul Geologic al României

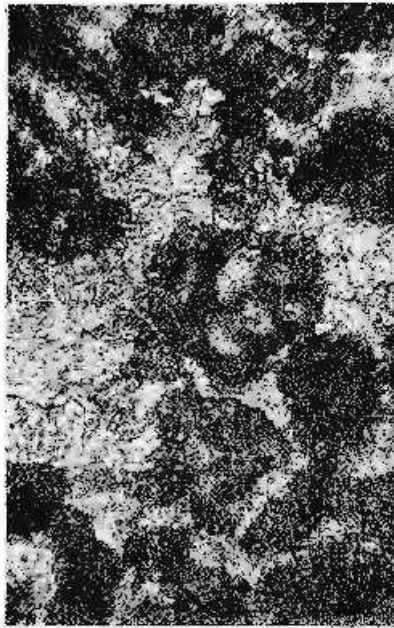
PLANSA II

- Fig.1. — *Meandrospira dinarica* Kochansky — Devide, Pantice, Secțiune ecuatorială. Diametru 0,308. Proba 88.
Meandrospira dinarica Kochansky — Devide, Pantice. Section équatoriale. Diamètre 0,308. Echantillon 88.
- Fig.2. — *Meandrospira* cf. *M. dinarica* Kochansky — Devide, Pantice. Diametrul 0,260 mm. Proba SR 18. Anisian mediu — Sasca, dealul Rediu.
Meandrospira cf. *M. dinarica* Kochansky — Devide, Pantice. Diamètre 0,260 mm. Echantillon SR 18. Anisien moyen — Sasca, colline Rediu.
- Fig.3. — *Spiroplectammina* sp. Înălțime 0,385 mm. Proba 88.
Spiroplectammina sp. Hauteur 0,385 mm. Echantillon 88.
- Fig. 4. — *Macroporella alpina* Pia. Lățime 1,309 mm. Proba 88.
Macroporella alpina Pia. Épaisseur 1,309 mm. Echantillon 88.

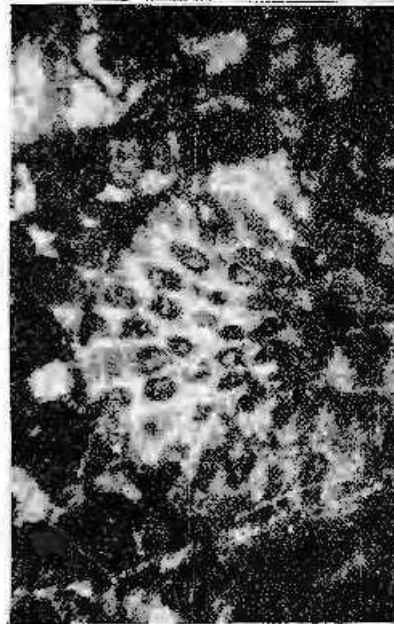




1



3



2

4

Institutul de Geologie și Geo fizică. Dări de seismă ale șodinilor, vol. LXIV.

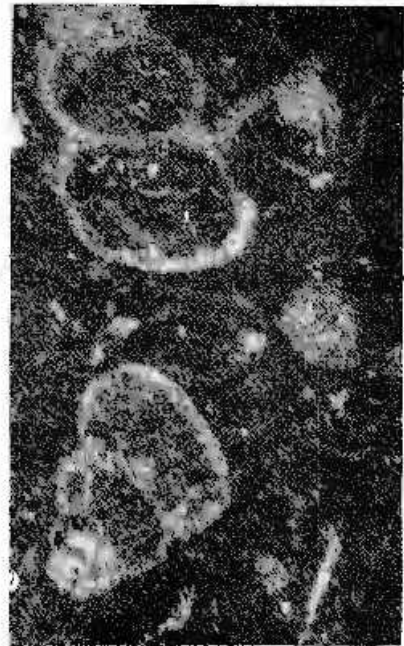
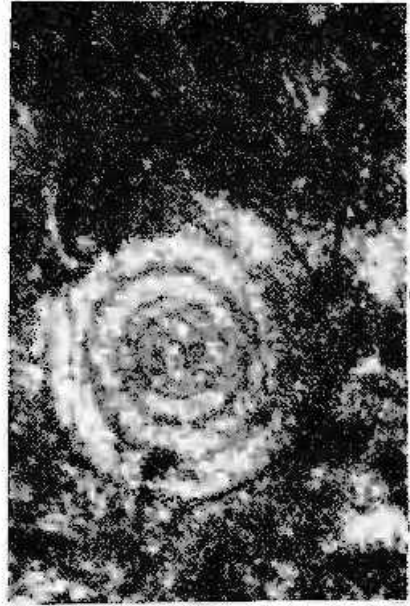
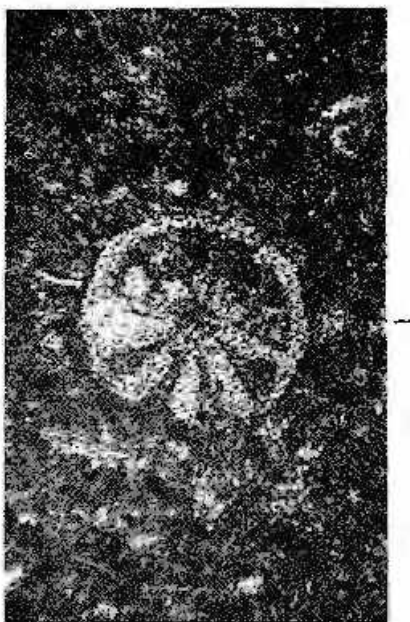


Institutul Geologic al României

PLANŞA III

- Fig.1. — Microgasteropod, Înălțime 1,336 mm. Proba 88,
Anisian mediu — Sasca, dealul Redut.
Micogastéropode, Hauteur 1,336 mm. Échantillon 88.
Anisien moyen — Sasca, colline Redut.
- Fig.2. — *Theclia planorbicula* M o s t l e r. Diametrul 0,323 mm. Proba 28/1 (P 101.536).
Thecella planorbicula M o s t l e r. Diamètre 0,323 mm. Echantillon 28/1 (P 101.536).
- Fig.3. — *Hemigordius* sp. Diametrul 0,261 mm. Proba 28/7 (P 101.537).
Anisian superior — Sasca, dealul Redut.
Hemigordius sp. Diamètre 0,261 mm. Échantillon 28/7 (P 101.537).
Anisien supérieur — Sasca, colline Redut.
- Fig.4. — Microgasteropod din calcarele negre cu cerasitii. Sasca, dealul Redut. Exemplar din proba 28/6.
Micogastéropode des calcaires noirs à céramites. Sasca, colline Redut. Exemplaire de l'échantillon 28/6.





Institutul de Geologie și Geofizică. Dări de seamă ale sedințelor, vol. LXI/4.

PLANSA IV

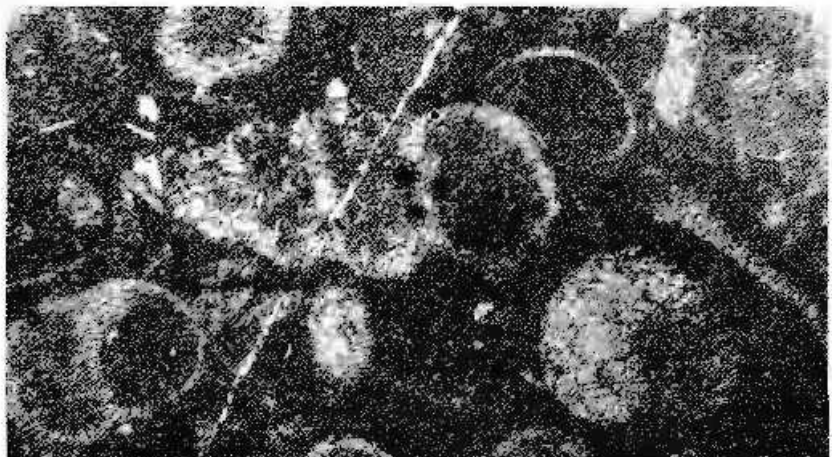
Fig.1-2. — Microgastropoda din calcarile negre cu ceraliti, Sasca-cetățel Recuș, 15 exemplare din proba 28/6.

Microgastéropodes des calcaires noirs à céralites, Sasca colline Recuș. Exemplaires de l'échantillon 28/6.





1



2

Institutul de Geologie și Geofizică. Dări de seamă ale ședințelor, vol. LXI/4.



Institutul Geologic al României



4. STRATIGRAFIE

DATE NOI CU PRIVIRE LA BIOSTRATIGRAFIA SI CORELAREA MIOCENULUI MEDIU DIN ARIA CARPATICĂ¹

DE

P. DUMITRICĂ², N. GHETĂ², GH. POPESCU²

(Résumé)

Données nouvelles sur la biostratigraphie et la corrélation du Miocène moyen de l'aire carpathique. Le travail présente les résultats des études du nanoplankton, plancton calcaire et siliceux des dépôts miocènes moyens de l'aire carpathique. Les auteurs établissent la corrélation du „Badénien” de la Paratéthys avec le Langhien et la partie inférieure du Serravallien (zones N8-N12 de Bow, 1969) de l'aire méditerranéenne. Ils proposent d'attribuer au Badénien la valeur de superétage englobant le Langhien et le Kossovien comme étages.

Bio- și cronostratigrafia Miocenului pre-sarmatic din aria Paratethysului central au făcut, în ultimul timp, obiectul a numeroase lucrări, în care se disting două puncte de vedere extreme. Unii geologi continuă să folosească vechinul cadru cronostratigrafic, cu etajele aşa zise clasice — Acvitanian, Burdigalian, Helvetician și Tortonian, în timp ce alții, bazați pe utilizarea greșită a acestor etaje în aria Paratethysului central și pe dificultățile actuale de corelare cu aria mediteraneană au propus, pentru acest interval, noi unități cronostratigrafice cu valoare regională cum sunt: Egerianul, Eggenburgianul, Ottmangianul, Karpatianul și Badenianul.

Chestiunea justificării sau nejustificării introducerii acestor etaje rămâne deschisă. Introducerea lor fără rezerve, ca și menținerea vechei scheme cronostratigrafice, constituie în etapa actuală două extremități de discutabile.

Este neindoielnic că prin poziția sa geografică și prin evoluția sa particulară, Paratethysul se individualizează net de bazinul mediteranean. De Paratethys s. str. nu se poate însă vorbi decât începând din Sarmatian, să cum a făcut-o inițial Laskaroff. Numai din acel moment acest

¹ Comunicare în ședință din 21 mai 1974.

² Institutul de Geologie și Geofizică, str. Caransebeș nr. 1, București.

bazin își întrerupe aproape complet legăturile cu Mediterana, degradindu-se treptat și individualizându-se prin fauna sa particulară salmastră sau dulcicolă. În cea mai mare parte a Miocenului pre-sarmatic, fauna și flora să dovedesc existența aproape neîntreruptă a legăturilor cu bazinul mediteranean. În ciuda unor particularități ale asociațiilor de fosile există, se pare, suficiente posibilități de corelare pentru acest interval între depozitele miocene din aria Paratethysului central și cele din afara lui.

În lucrarea de față ne-am propus să punem în discuție, pe baza datelor oferite de mai multe grupe de microplancton, biozonarea și corelarea depozitelor Miocenului mediu din aria carpatică cu cele din aria mediteraneană sau pacifică și, în consecință, să propunem utilizarea etajelor care, în opinia noastră, răspund cel mai bine situației din Paratethys.

Trebuie precizat de la bun început că Miocenul mediu din Paratethys are o acceptație mai restrinsă decit cel din domeniul mediteranean. Acesta din urmă cuprinde, după Cita și Blow (1969), Langhianul și Serravallianul, el începând cu zona cu *Praeorbulina glomerosa* (N 8) și terminându-se cu zona N 15 (pars). Limita inferioară a Miocenului mediu din Paratethys coincide cu cea din aria mediteraneană în timp ce limita superioară se oprește în baza Sarmatianului care, așa cum vom vedea, se situează în partea inferioară a Serravallianului. Miocenul mediu astfel definit corespunde în întregime vechiului „Tortonian” din bazinul Vienei sau actualului „Badenian” (sensul Papp, 1968).

În Paratethys, acest interval stratigrafic este unul din cele mai bogate în faună și floră marină. Încercările de corelare ale acestuia cu zonele de foraminifere stabilite de Blow (1969) au mers de la N 8 (pars) pînă la N 16 (pars) (Cicha, Senes, 1971 etc.), care echivalează astfel Badenianul cu etajele Langhian, Serravallian și Tortonian inferior, sau numai pînă la N 14 (Papp, Steininger, 1973), care urcă limita superioară a Badenianului numai pînă la jumătatea superioară a Serravallianului.

Datele pe care le avem din studiul foraminiferelor planctonice (G. H. Popescu), al nannoplanetonului calcaros (N. Ghetea) și al microfosilelor silicioase (P. Dumitriță) din depozitele Miocenele mediu din România, corroborate cu datele de literatură pentru alte regiuni ale ariei carpatice pun în altă lumină aceste corelări.

Înainte însă de a expune aceste date considerăm necesar să facem o sumară trecere în revistă a subdiviziunilor stratigrafice majore ale Miocenului mediu din țara noastră și a echivalentelor lor din aria carpatică.

Stratigrafia Miocenului mediu din România

Exceptind eventualele variații de facies, în Miocenul mediu din România se pot recunoaște, de jos în sus, următoarele patru orizonturi lito-stratigrafice :

- orizontul tulurilor și marnelor cu globigerine;
- orizontul cu evaporite sau al breciei sării cu masive de sare;
- orizontul șisturilor cu radiolari;
- orizontul marnelor cu *Spirialis*.

TABEL 1

BURDIGALIAN		L A N G H I A N		K O S S O V I A N		SARMATIAN STAGES	
Grey Horizon		Tuff and Globigerina Marl Horizon		Radiolarian Shale Horizon		Spiriferis Marl Horizon	
<i>Reticularia</i> <i>Heterostrophus</i> <i>Chara</i> <i>Quinquelobula</i>		<i>Planktonic and rare bentonic</i> <i>foraminifera</i>		<i>Radiolarians</i> <i>Siliceous Radiolarians</i> <i>Forams</i> <i>Planktonic foraminifera</i>		<i>Planktonic & Bentonic foraminifera</i> <i>Meluscs</i>	
- <i>Hida</i> Beds	Circum-Mediterranean Beds	G. T. m. p.	i e	B c d s	M i r e s	B c d s	Cerithium Beds
- Somes Beds	<i>Planktonic foraminifera</i>	D e j B o d s		<i>Radiolarians</i> <i>Calcareous Meluscs</i> <i>Forams</i> <i>Planktonic forams</i>	<i>Radiolarians</i> <i>Calcareous Meluscs</i> <i>Forams</i> <i>Planktonic forams</i>	<i>Planktonic forams</i> <i>Meluscs</i>	<i>Astroceratites</i> <i>dividens</i> <i>Zone</i> <i>(Acme 2)</i>
<i>Argonauts</i> <i>Distapliids</i>							
Balich Suite	Bogorodchanay Suite	Vurbovers Beds	K o s s o v i a n	P r u t Series	K l o m n i c a Suite	P a s h a y Suite	
<i>Quinquelobula</i>	<i>Conularia universa</i> <i>Urgicina asperula</i>	<i>Radiolarians</i>		<i>Globigerina</i> <i>buliminaria</i> <i>Spinosilis</i>	<i>Cassidina</i> <i>Cristata</i>	<i>Strebulus</i> <i>galicianus</i>	
Burkalo Suite	<i>Novoseletsu Suite</i>	Talabor Suite	T e m l i a S o l o t v i n Suite	N a n k o v Suite	T r a c h e v Suite	G a r d i n Suite	U b o r o d r o v Suite
<i>Reticularia</i> <i>Quinquelobula</i> <i>Forams</i>				<i>Trachynella</i> <i>Neopora</i> <i>Lingula</i>	<i>Trachynella</i> <i>Neopora</i> <i>Lingula</i>	<i>Molluscs</i>	<i>Molluscs</i>
	<i>Cardiobulina universa</i> <i>Urgicina asperula</i>		<i>Radiolarians</i>		<i>Peronina faunae</i>	<i>Agglutinated forams</i> <i>Radiolarians</i>	<i>Molluscs</i>
	<i>Eltapherium</i> <i>Times zone</i>	<i>Berezow Reus Skavina Beds</i>	<i>Chadnice Beds</i>	<i>Radiolarians</i> <i>Strobiliscs</i> <i>Spiriferis (M. Z.)</i>	<i>Pecten Beds</i>	<i>Pecten Beds</i>	<i>Krakowiec Beds</i>



Acstea patru orizonturi au fost separate pentru prima dată de Olteanu (1943/1951) și Popescu (1943/1951) în Subcarpații Munteniei. Ulterior au fost recunoscute sub același nume sau sub denumiri diferite în întreg arealul carpatic (tab. 1). Extinderea lor pe o arie atât de largă face ca rezultatele bazate pe cercetarea depozitelor de pe teritoriul României să se poată aplica cu destulă exactitate în toată aria carpatică.

Orizontul tufurilor și marnelor cu globigerine (\rightarrow Strate de Dej = *Gresia de Răchitașu* = *Tuful de Perșani* etc.) reprezintă orizontul bazal al Miocenului mediu. Litologic, acesta este alcătuit din tufuri riodacitice, tufite și marne cenușii, albe sau roșcate, în care se intercalează uneori calcare organogene cu rodoficee. Marnele sunt foarte bogate în foraminifere planctonice și nannoplancton calcaros.

Grosimea orizontului variază de la cîțiva metri la peste 100 m. Contactul cu depozitele subjacente este de regulă tranșant atât din punct de vedere litologic cît și palcontologic, depozitele normal subjacente (orizontul cenușiu sau stratele de Hida) fiind lipsite de resturi organice sau conținând rare fosile de origine lacustră. Local, orizontul debulează cu un nivel conglomeratic.

Orizontul cu evaporite are în constituția sa argile de culoare închisă în care se intercalează lentile sau strate de sare sau gips. Argilele sunt stratiforme sau puternic breciate și cu elemente heterogene nerulate constituind astănumita brecie a sării. Grosimea orizontului este uneori greu de calculat dar variază de la cîțiva metri pînă la cîteva sute de metri. Contactele cu orizonturile adiacente sunt în general normale exceptând cazurile cînd sarea este dislocată tectonic.

Conținutul fosil al acestui orizont este extrem de sărac, fiind reprezentat în special prin globigerine de talie mică.

Orizontul cu evaporite se recunoaște în întreaga arie carpatică și reprezintă, ca și orizontul anterior sau cele următoare, un nivel reper în Miocenul mediu din această arie.

Orizontul șisturilor cu radiolari se dispune în continuitate de sedimentare peste orizontul cu evaporite. Din punct de vedere litologic, orizontul se caracterizează prin predominarea depozitelor pelitice argiloase sau marno-argiloase, fin stratificate sau gistoase, disodiliforme, de caloare cenușie, brună, mai rar galbuie. În ele se intercalează de regulă tufuri sau nisipuri. Acestea din urmă se pot dezvolta local spre partea mijlocie a orizontului, pe care-l divide astfel în două suborizonturi. Grosimea orizontului cu șisturi și radiolari variază de la cîțiva metri pînă la peste 100 m.

Conținutul micropaleontologic este foarte caracteristic și bogat, fiind constituit în primul rînd din microfosile silicioase între care sunt de menționat: radiolari, silicollagelate, dinollagelate endoscheletice, ebriide, diatomice. Lor li se adaugă, în unele nivele, foraminifere planctonice și nannoplancton calcaros. Orizontul conține deci o asociație de microfosile

normal marine. Brusca lor apariție, ca și absența lor din orizonturile inferioare, vorbesc în favoarea unei ingresiuni probabil din regiunea indo-pacifică.

Orizontul manelor cu Spirialis constituie orizontul terminal al Miocenului mediu. Depozitele lui, reprezentate în special din marne cenușii sau calenii, de regulă răbănate cu sau fără intercalări de tufuri, se dispun în continuitate de sedimentare peste orizontul anterior. Spre partea superioară marnele trec uneori lateral la nisipuri ori calcare cu rodoficee de tipul calcarelor de Leitha sau la marne ori calcare cu moluște și corali. Microfauna este destul de bogată și caracteristică, reprezentată prin specii planctonice (foraminifere și pteropode) și bentonice (foraminifere).

În majoritatea profilelor, trecerea de la marnele cu *Spirialis* la depozitele sarmatiene, pe care le suportă, este gradată. Limita dintre ele se trasează cel mai adesea la dispariția faunei marine și dezvoltarea explosivă a foraminiferului *Anomalinooides predcarpathicus* (= *A. dividens*).

Prin particularitățile lor litologice și paleontologice, aceste patru orizonturi pun în evidență trei episoade importante în evoluția ariei carpatice din timpul Miocenului mediu și anume :

- un episod normal marin corespunzător orizontului tufurilor și manelor cu globigerine caracterizat prin invazia în masă a planctonului calcaros de origine mediteraneană ;

- un episod lagunar, reprezentat prin orizontul evaporitic, în timpul căruia legăturile cu domeniul mediteranean se deteriorează ;

- un episod marin urmează după depunerea evaporitelor. Într-un prim moment al acestuia, corespunzător orizontului șisturilor cu radiolari, se dezvoltă abundant un microplancton silicios ; într-un al doilea moment, corespunzător orizontului manelor cu *Spirialis*, se instalează condiții pentru dezvoltarea unui plancton și bentos calcaros. Asociațiile paleontologice ale acestui al doilea episod marin au un caracter mixt : în ele coexistă forme endemice, în special dintre foraminifere și moluște, cu forme venite din afara Paratethysului cum ar fi nannoplanctonul calcaros și microplanctonul silicios. Afinitățile mediteraneene ale acestora din urmă sunt mai greu de stabilit. Ele au mai repede un caracter de asociații de climă temperată de origine indo-pacifică.

Biostratigrafia Miocenului mediu din aria carpatică

În mod normal, în aria carpatică, ca de altfel în întreg Paratethysul central, Miocenul mediu debutează cu zona cu *Praeorbulina glomerosa* (tab. 2). În toate profilele studiate, momentul acesta urmează unei perioade în care resturile fosile sunt rare și de origine lacustră. El coincide începutului marii transgresiuni a Miocenului mediu, care se va desfășura pe toată durata zonei cu *P. glomerosa* și o mare parte din zona cu *Orbulina suturalis/Globorotalia (T.) bykova*. Apogeul extensiunii ei se înregistrează la partea superioară a ultimei zone. O consecință a acestei transgresiuni îndelungate, este faptul că pe marginile bazinelor de sedimentare, depozitele Miocenului mediu încep cu zona cu *O. suturalis/G. (T.) bykova*.



Apariția asociațiilor de plancton de tip mediteranean este bruscă. Alături de *P. glomerosa* la ele iau parte numeroși indivizi aparținând speciilor *Globogaudrina dehiscens*, *G. langhiana*, *Globigerinoides triloba*, *G. sicanus*.

Zona cu *Praeorbulina glomerosa* are prin extinderea sa o mare valoare biostratigrafică. Prin ea, baza Miocenului mediu din întreg Paratethysul central se coreleză perfect cu baza Miocenului mediu mediteranean sau a stratotipului etajului Langhian, aşa cum a fost stabilit de Cita și Bow (1969). Este un fapt care trebuie reținut pentru implicațiile sale chronostratigrafice. Trebuie notat de asemenea că în aria carpatică din România, cel puțin, zona cu *P. glomerosa* nu se poate separa de zona cu *Globigerinoides sicanus*, aşa cum au făcut Cita et al. (1968, p. 495, tab. 1) pentru Italia. În acord cu Bölli (1966, pg. 3) aceste două zone par să se suprapună în cea mai mare parte.

Zonei cu *P. glomerosa* îi urmărează zona cu *O. suturalis/G. (T.) bykova* (Popescu, 1975). Încă din partea superioară a primei zone, foraminiferele planctonice li se adaugă treptat o serie de specii de foraminifere bentonice. Acestea devin tot mai numeroase în cea de a doua zonă, unde acestora li se adaugă o bogată faună de moluște marine.

Foraminiferele din partea superioară a zonei cu *P. glomerosa* aparțin în special familiei Nodosariidae între care se pot cita speciile : *Planularia dentata*, *P. auris*, *Lenticulina culturata*, *L. calcar*. În zona cu *O. suturalis/G. (T.) bykova*, între speciile de foraminifere bentonice caracteristice sunt de menționat : *Psammalingulina papillosa*, *Textularia abbreviata*, *T. lanceolata*, *Textulariella paalzowi*, *Nodobaculariella gibbosula*, *Amphimorphina haueriana*, *Dimorphina ackneriana*, *Frondicularia sculpta*, *Lenticulina echinata*, *Planularia ostraviensis*, *Vaginulina legumen*, *Gypsina fuchsii*, *Uvigerina asperula*, *U. macrocarinata*. Aceste specii pot fi considerate specii index pentru zona cu *O. suturalis/G. (T.) bykova* în aria Paratethysului central.

Către partea superioară a zonei, imediat sub orizontul cu evaporite apar primele exemplare ale speciilor *Globorotalia (T.) peripheroacuta* și *G. ex gr. sohsii*, care pun în evidență partea bazală a zonei N 10. Tot aici se remarcă sub forma unui nivel caracteristic scurtă existență a speciei *G. (T.) transsylvaniaica*. Deasupra acestui nivel fauna de foraminifere planctonice de tip mediteranean se stinge în aria carpatică prin instalarea regimului hipersalin corespunzător din punct de vedere lithostratigrafic orizontului cu evaporite.

Întregul interval discutat, corespunzător orizontului tufurilor și marnelor cu globigerine iar biostratigrafic zonelor cu *Praeorbulina glomerosa* și cu *Orbulina suturalis/Globorotalia (T.) bykova* (tab. 2) se coreleză perfect cu intervalul stratigrafic al etajului Langhian, aşa cum a fost stabilit de Cita și Bow (1969). Similitudinea asociațiilor de foraminifere planctonice este atât de frapantă (Ruscetti, 1956; Cita, 1959) încit ignorarea acestui interval în aria Paratethysului central și utilizarea unui etaj regional este lipsită de orice motivare.

Această similitudine se referă și la alte grupe de plancton. De exemplu pteropodele de tip *Clio pedemontana*, *C. pyramidata multicosiata*, carac-

teristice Langhianului italian (Robba, 1971) se întâlnesc și în orizontul tufurilor și marnelor cu globigerine din Subcarpații Munteniei și depresiunea getică (Protescu, 1922; Stancu, 1974).

În favoarea Langhianului pledează și nannoplanctonul calcaros. Astfel, în partea bazală a profilului de la Cicen-Giurgești (Transilvania

TABELUL 2

BURDIGALIAN	B A D E N I A N			SARMATIAN	STAGE	B I O S T R A T I G R A P H Y						S I O Z O N E S	
	L A N G H I A N	K O S S O V I A N	S A R M A T I A N			T	H	I	S	W	O	R	
Grey horizon	Tuff & globigerina marl horizon			Ervilia & Syndesmya marl									
Somces beds				Cerithium beds									
0	Orbulina suturalis / Globorotalia (Turborotalia) bykavae		Vulapertina										
Helicopontosphaera ampliaperta	Sphaerolithus heteromorphus			Discaster exilis / coccolithus nopalensis									
				Sphaerolithus heteromorphus									
0			Conularia heterocentra										
N ₇	N ₈	N ₉	N ₁₀										
BURDIGALIAN	L A N G H I A N	S E R R A V A L L I A N											

de nord) unde este deschis unul din cele mai complete profile ale părții inferioare a Miocenului mediu (Popescu, 1970), nannoplanctonul pune în evidență partea superioară a zonei cu *Helicopontosphaera ampliaperta* (NN 4). Tot aici se găsește și limita dintre zonele NN 4/NN 5. Un argument suplimentar pentru plasarea aici a limitei dintre cele două zone îl aduce *Discaster exilis*, care apare imediat deasupra ultimelor exemplare de *H. ampliaperta* (Bramlette, Wilcoxon, 1967; Martin, 1971 b).



Această situație este identică cu cea relatată de Martin i (l. cit.) în baza profilului tip al Langhianului de la Bricco della Croce.

Ocurența speciei *Praeorbulina glomerosa* în această parte bazală a profilului de la Ciceu-Giurgești, corespunzătoare părții terminale a zonei NN 4 are implicații asupra corelărilor biostratigrafice stabilite de Martin i (1971 b) între zonele de nanoplanton și cele de foraminifere planctonice. În dezacord cu Martin i, datele noastre demonstrează că limita zonelor NN 4/ NN 5 se situează în cadrul zonei N 8 și nu în zona N 7.

Cu excepția părții bazale, orizontul tufurilor și marnelor cu globigerine se încadrează în zona NN 5, cu *Sphenolithus heteromorphus*, adică la același nivel ca Langhianul. Poziția limitei NN 5/NN 6 nu se poate stabili cu precizie. Trebuie presupus că ea se găsește undeva în limitele orizontului cu evaporite. În favoarea acestei ipoteze pledează prezența lui *Discoaster broweri* în partea terminală a tufurilor și marnelor cu globigerine și prezența lui *Triquetrorhabdulus rugosus* în sîsturile cu radiolari.

În orizontul cu evaporite microfauna și în general resturile organice sunt de regulă absente, exceptând eventualele remanieri. Situația este generală pentru întreaga aria carpatică, pentru care orizontul cu evaporite reprezintă un important filtru biotic între asociațiile de specii tipic mediteraneene ale orizontului tufurilor și marnelor cu globigerine și asociațiile de specii ale orizonturilor sisturilor cu radiolari și marnelor cu *Spirialis*.

Datorită absenței resturilor fosile vîrsta orizontului cu evaporite nu se poate stabili direct. Ea se poate deduce din cunoașterea vîrstei celor două orizonturi adiacente. Am arătat că partea bazală a zonei N10 de foraminifere planctonice se găsește la partea terminală a orizonturilor tufurilor și marnelor cu globigerine. Deoarece orizontul sistemelor cu radiolari se situează, așa cum vom vedea, în intervalul N11—N12, rezultă că orizontul cu evaporite se dispune aproximativ în limitele zonei N10 din scara standard a lui Bow (1969).

Foraminiferele planctonice ale orizonturilor sistemelor cu radiolari și marnelor cu *Spirialis* arată un pronunțat caracter endemic. De aceea corelarea extracarpatică la aceste nivele prin intermediul foraminiferelor nu se poate face. Ciech și Senes (1971) consideră totuși posibilă o astfel de corelare. Bazați pe speciile de *Globigerina nepenthes* și *Globorotalia menardii*, care după ei s-ar găsi în Badenianul superior, ei corelează zona cu *Velapertina*, caracteristică acestui nivel al Paratethysului, cu zonele N14—N16 din scara lui Bow, iar Badenianul superior cu partea superioară a Serravallianului și partea inferioară a Tortonianului. Trebuie remarcat totuși că cel puțin în aria carpatică românească aceste două specii sunt absente în intervalul caracterizat de zona cu *Velapertina*, astfel că paralelizarea întreprinsă de cei doi autori este discutabilă.

În intervalul dintre orizontul cu evaporite și Sarmațian, care biostratigrafic corespunde zonei cu *Velapertina iorgulescui*, foraminiferele planctonice aparțin în special genului *Velapertina*. În același interval se găsesc o serie de specii caracteristice Paratethysului, dintre care se pot cita: *Siphonularia inopinata*, *S. flexua*, *Spiroplectammina mariae*, *Pavonina styriaca*, *Inaequalina jadwigae*, *Nodobaculariella scrobicularis*, *Bulimina porrecta*, *Uvigerina bellicostata* și altele.

Spre partea superioară a marnelor cu *Spirialis* microfauna marină dispără aproape complet. În unele regiuni ale Paratethysului, în locul ei se găsește o faună de ape îndulcite cu *Ammonia ex gr. beccarii*. Tot în partea superioară se dezvoltă, în zonele laterale, o faună cu *Borelis* și moluște. În baza Sarmatianului toate aceste faune sunt înlocuite, în majoritatea profilelor, de dezvoltarea explozivă a foraminiferului *Anomalinoides predcarpathicus*.

Spre deosebire de foraminifere, celelalte grupe de microplancton, cum ar fi radiolarii, silicoflagelatele, ebrüidele, dinollagelatele endoschelice, diatoamele și coccolithophoridele nu conțin specii endemice sau conțin un număr foarte mic de astfel de specii. Pentru acest motiv ele sunt cele mai apte pentru corelări extraparatethydiene la nivelul orizontului șisturilor cu radiolari și al marnelor cu *Spirialis*. Trebuie precizat însă că aceste corelări nu se mai pot face cu aria mediteraneană ca în partea inferioară a Miocenului mediu ci cu regiunile de latitudine medie a domeniului indo-pacific.

Dintre grupurile citate, silicoflagelatele, ca de altfel întreg microplanctonul silicos, își limitează ocurența la orizontul șisturilor cu radiolari. Asociația lor, constituită din *Corbisema triacantha*, *Distephanus erax*, *D. bachmanni*, *D. speculum*, *Dictyochea fibula*, *Halicalyptra miltiadei*, *H. ex gr. picassoi*, *Paradictyochea apiculata*, *P. septenaria*, *Pseudorocella corona* și altele, aparține zonei cu *Distephanus stauracanthus*. Această zonă a fost recunoscută sub diverse denumiri: orizontul cu *Dictyochea octacantha* (Martin, 1971 a), asociația cu *Dictyochea fibula* var. *octagona* (Ling, 1972), zona cu *Distephanus octacanthus* (Bukry, Foster, 1973) sau zona cu *Distephanus stauracanthus* (Dumitriță, 1973) în mare parte din domeniul pacific. Intervalul stratigrafic al zonei este destul de scurt și se situează în limitele zonei de radiolari cu *Cannartus laticonus*, care la rîndul ei se coreleză cu zonele de foraminifere N 11 - N 12 (Riedel, Sanfilippo, 1970).

Δpartenența șisturilor cu radiolari la zona cu *Cannartus laticonus* este sugerată de prezența exemplarelor din grupul acestei specii și de absența speciilor *Doreadospyris alata* și *Cannartus? petersoni*. Mai mult, ocurența în această asociație a speciei *Lithopera renzae*, care în domeniul pacific se stinge la mijlocul zonei, este un argument pentru situarea șisturilor cu radiolari în partea inferioară a zonei cu *C. laticonus*. Ea se coreleză cu intervalul zonelor de foraminifere N 11 - N 12 astfel că se poate afirma că șisturile cu radiolari se dispun în special în limitele zonei N 11 și poate numai parțial N 12.

Diatomeul *Coscinodiscus lewisiensis*, care este un element frecvent al asociației șisturilor cu radiolari, pledează pentru aceeași poziție. În conformitate cu zonarea diatomelor propusă recent de Schrader (1973) în Pacificul de Nord, extincția acestei specii are loc la limita dintre zonele XX și XXI. Ori zona XXI, care conține cele mai tinere ocurențe ale lui *C. lewisiensis*, este corelată de Schrader cu zonele de foraminifere N 10 și N 11 sau cu zona de nannoplacton NN 6.



Din coroborarea acestor date ar rezulta că orizontul sisturilor cu radiolari se dispune aproximativ la nivelul zonei N 11 de foraminifere planetonice din scara biostratigrafică a lui Blow (1969).

TABELUL 3

Species	LANGHIAN		KOSSOVIAN	
	NN4	NN5	NN5	NN6
<i>Coccolithus eugenicetus</i> Brumelle & Riedel				
<i>Coccolithus meeki</i> Buckley				
<i>Coccolithus pelagicus</i> (Weltlich) Schiller				
<i>Dictyococcites abietis</i> (Murray & Hay) Perner		—		
<i>Dictyococcites senckenbergii</i> (Heider Wieden) comb.		—		
<i>Leptolithina pseudomultiloba</i> (Görner)	—	—		
<i>Oxycolellina kofmanii</i> (Murray & Beckman)	—	—		
<i>Cyclolithella annula</i> (Cohen)				—
<i>Cyclolithella rotula</i> (Kamptner)			—	—
<i>Meladysphaera elongata</i> (Murray & Beckman)	—	—	—	—
<i>Glycospira tubifera</i> (Murray & Beckman)				
<i>Bacolithina cilia</i> (Söhl) n. comb.				
<i>Discolithina multiforma</i> Kampfer			—	—
<i>Holodiscophorus macrosporus</i> (Deflandre)	—	—	—	—
<i>Syrenolithus distinctus</i> (Kampfer)				
<i>Lenticularia hispanica</i>				
<i>Syraceosphera haitica</i> Kampfer	—	—		
<i>Syraceosphera gastraspis</i> (Cohen)	—	—		
<i>Ericolithus jonesii</i> Cohen				
<i>Holopontophorus amphipora</i> (Beam & Wilcox)				
<i>Holopontophorus kampferi</i> Hay & Möller				
<i>Holopontophorus wallaki</i> (John) Headress & Hay				
<i>Scapholithus fasciatus</i> Deflandre				
<i>Trilectolithus rugosus</i> Beam & Wilcox				
<i>Sphaerolithus abies</i> Deflandre				
<i>Sphaerolithus heteromorphus</i> Deflandre				
<i>Sphaerolithus marginatus</i> (Brumelle & Stradler)				
<i>Discosphaera druppae</i> Brumelle & Wilcox	—	—		
<i>Discosphaera villosa</i> Martini & Brumelle				
<i>Discosphaera variabilis</i> Martini & Brumelle	—	—	—	
<i>Discosphaera deflandrei</i> Brumelle & Riedel	—	—		
	Rare	Common	Frequent	



Nannoplanctonul aduce argumente pentru același nivel (tab. 3). În intervalul corespunzător orizontului sisturilor cu radiolari și orizontului marnelor cu *Spirialis*, nannoplanctonul pune în evidență prezența zonei NN 6 cu *Discoaster exilis* (Martin, 1971 b) sau a subzonei cu *Coccolithus miopelagicus* (Bürkly, 1971) care definește același interval. Zona NN 6 se corelează la rîndul ei cu intervalul N 11—N 12 al zonării bazate pe foraminifere planctonice.

Limita superioară a zonei NN 6 nu poate fi trasată în aria carpatică datorită absenței nannoplanctonului în depozitele superioare orizontului marnelor cu *Spirialis*. Este foarte posibil că ea să se găsească fie la partea terminală a marnelor cu *Spirialis* fie în Sarmatianul inferior. Aceasta înseamnă că marnele cu *Spirialis* nu ar trece mai sus de zona NN 6 sau de zona N 12 de foraminifere planctonice, bazindu-ne pe faptul că în conformitate cu corelările sugerate de Martin (1971 b) limita NN 6/NN 7 se plasează în partea superioară a zonei N 12.

O caracteristică a asociațiilor de nannoplancton a orizontului sisturilor cu radiolari și a marnelor cu *Spirialis* o constituie absența aproape totală a discoasteridelor și frecvența considerabilă a syracosphaeraceelor reprezentate prin specii ale genului *Syracosphaera* și *Syracolithus*. Asociațiile celor două orizonturi sunt destul de asemănătoare. Distribuția citorva specii permite, totuși, divizarea zonei cu *D. exilis*/*C. miopelagicus* în două subzone.

— subzona cu *Cyclolithella annula*, corespunzătoare orizontului sisturilor cu radiolari și delimitată de intervalul dintre extincția lui *Sphaenolithus heteromorphus* și ultima apariție a speciei *Cyclolithella annula* care coincide aproximativ cu primele apariții ale speciei *Syracolithus dalmaticus* și *Scapholithus fossilis*;

— subzona cu *Syracolithus dalmaticus*/*Scapholithus fossilis*, corespunzătoare orizontului marnelor cu *Spirialis*. Limita superioară coincide cu dispariția nannoplanctonului, adică cu limita inferioară a Sarmatianului.

Datele expuse sunt în dezacord cu cele ale lui Papp și Steininger (1973) după care ultimile depozite badeniene corespund zonei N 14 de foraminifere și NN 8 de nannoplancton. El își bazează aceste concluzii pe un material colectat anterior din localitatea Breschitzta (nume corect Breznița) de lîngă Turnu Severin de către Fuchs, material pe care Papp îl datează ca apartinând zonei cu *Velapertina* și cu *Buliminaboliniana*, iar Martin (1971) îl ia ca referință pentru zona cu *Catinaster coalitus* (NN 8). Această vîrstă este discutabilă pentru că în raza localității Breznița nu aflorează depozite marine mai noi decât cele badeniene iar foraminiferele planctonice din această localitate indică zona cu *O. suturalis*/*G. (T.) bykovae*, coreabilă cu NN 5.

Rezumînd datele expuse rămîne de notat că partea superioară a Miocenului mediu, cuprînd orizontul cu evaporite, orizontul sisturilor cu radiolari și orizontul marnelor cu *Spirialis*, cu alte cuvinte intervalul dintre Langhian și Sarmatian, se dispune la nivelul zonelor de foraminifere planctonice N 10 (pars)—N 12 (pars). Intervalul corespunde părții inferioare a etajului Serravallian din scara cronostratigrafică europeană

actualmente în uz. Deoarece etajul nu poate fi folosit numai parțial, trebuie căutat un alt etaj care să se încadreze perfect în intervalul dintre Langhian și Sarmățian. Singurul etaj ce îndeplinește această cerință este Kossovianul, propus de Pishvanova în anul 1968. Utilizarea lui este motivată între altele și de faptul că având stratotipul în Subcarpați are la bază aceleasi orizonturi litobiostratigrafice recunoscute în Miocenul mediu din țara noastră.

Badenianul, dacă este luat în considerație așa cum a fost definit de Papp et al. (1968); non Reiss și Gvirtzmann (1966), ar reprezenta un superetaj ce ar include Langhianul, în partea inferioară și Kossovianul, în partea superioară.

BIBLIOGRAFIE

- Alexandrowicz S. W. (1965) L'évolution de l'avant-fosse des Carpathes et la stratigraphie du Miocène de la Pologne Méridionale. *Carp. Balk. Geol. Asoc., VII Congr., Sofia, Repts.*, II (1), p. 189–193, Sofia.
- Bio W. H. W. (1969) Late Middle Eocene to Recent planktonic foraminiferal biostratigraphy. *Proc. 1st Intern. Conf. Plankt. Microf.*, Geneva, 1967, 1, p. 199–422, Leiden.
- Bolli M. M. (1966) Zonation of Cretaceous to Pliocene marine sediments based on planktonic Foraminifera. *Bol. Inf. Asoc. Ven. Geol. Min. Petr.*, 9 (1), p. 3–32, Caracas.
- Bramlette M. N., Willcoxon J. A. (1967) Middle Tertiary calcareous nannoplankton of the Cipero section, Trinidad, W. I. *Tulane Stud. Geol.*, 5 (3), p. 94–130, New Orleans.
- Hukry D. (1971) Cenozoic calcareous nannofossils from the Pacific Ocean. *Trans. San Diego Soc. Nat. Hist.*, 16 (14), p. 303–327, San Diego.
- Foster J. H. (1973) Silicoflagellate and diatom stratigraphy, Leg 16, Deep Sea Drilling Project, in: van Andel G. R. et al. *Initial Reports D.S.D.P.*, 16, p. 817–871, Washington.
- Cati F. et al. (1968) Biostratigrafia del Neogene mediterraneo basata sui foraminiferi planctonici. *Bol. Soc. Geol. Ital.*, 87, p. 491–503, Roma.
- Cicha L., Senčič J. (1971) Probleme der Beziehung zwischen Bio- und Chronostratigraphie des Jüngeren Tertiärs. *Geol. Zb.*, XXII, p. 209–228, Bratislava.
- Cita M. B. (1959) Stratigrafia micropaleontologica del Miocene Siracusano. *Boll. Soc. Geol. Ital.*, 77 (1958), p. 3–97, Milano.
- Bio W. H. W. (1969) The biostratigraphy of the Langhian, Serravallian and Tortonian stages in the type-section in Italy. *Riv. Ital. Paleont. Strat.*, 75 (3), p. 549–603, Milano.
- Dumitrica P. (1973) Paleocene, Late Oligocene and Post-Oligocene silicoflagellates in southwest Pacific sediments cored on DSDP Leg 21, in: Burns R. E., Andrews J. E. et al. (1973). *Initial Reports DSDP*, 21, p. 837–883, Washington.
- Ling H. Y. (1972) Upper Cretaceous and Cenozoic silicoflagellates and ebridians. *Bull. Am. Pal.*, 63 (273), p. 185–229, New York.
- Martini E. (1971 a) Neogene silicoflagellates from the Equatorial Pacific. In: Winterer E. L. et al. (1971). *Initial Reports DSDP*, 7, p. 1695–1708, Washington.



- (1971 b) Standard Tertiary and Quaternary calcareous nannoplankton zonation. *Proc. 11th Plankt. Conf., Roma*, 1970, p. 739-785, Roma.
- Olteanu F. (1951) Observații asupra „Breciei sării” cu masive de sare din regiunea mio-pliocenă dintr-o R. Teleajen și P. Bălăneasa (cu privire specială pentru regiunea Pietraru - Bozău). *D. S. Inst. Geol.*, XXXII (1943-1944), p. 12-18, București.
- Papp A., Grill R., Janoschek R., Kapounek J., Kollmann K., Turnovský K. (1968) Nomenclature of the Neogene of Austria. *Verh. Geol. B.-A.*, 1968 (1/2), p. 19-27, Viena.
- Steininger F. (1973) Die stratigraphischen Grundlagen des Miozän der zentralen Paratethys und die Korrelationsmöglichkeiten mit dem Neogen Europas. *Verh. Geol. B.-A.*, 1, p. 59-65, Wien.
- Pishvanova L. S. (1968) On the zonation of the Miocene by means of planktonic foraminifera. *Gorn. Geol.*, 2, 85 (3), p. 233-244, Bologna.
- Popescu Gh. (1970) Planktonic foraminiferal zonation in the Dej Tuff complex. *Rev. Roum. Géol., Géophys., Géogr., Serie de Géologie*, 14 (2), p. 189-203, pl. I-VIII, București.
- (1975) Les foraminifères du Miocène inférieur et moyen du nord-ouest de la Transylvanie. *Mem. Inst. Geol.*, XXIII, București.
- Popescu Gr. (1951) Observații asupra „breciei sării” și a unor masive de sare din zona paleogen-miocenă a județului Prahova. *D. S. Inst. Geol.*, XXXII (1943-1944), p. 3-12, București.
- Protescu O. (1922) Contributions à l'étude de la faune des foraminifères tertiaires de Roumanie. *An. Inst. Geol.*, 9 (1915-1920), p. 221-372, pl. 1-4, București.
- Reiss Z., Gvirtzman G. (1966) Borelis from Israel. *Hedgæs Geol. Helv.*, 59 (1), p. 437-447, Basel.
- Riedel W. R., Sanfilippo A. (1970) Radiolaria, Leg 4, Deep Sea Drilling Project. in: Bader R. G. et al. (1970). *Initial Reports DSDP*, 4, p. 503-575, Washington.
- Robba E. (1971) Associazioni a Pteropodi della formazione di Cessole (Langhiano). *Riv. Ital. Paleont. Strat.*, 77 (1), p. 19-126, Milano.
- Ruscelli M. A. (1956) La serie aquitaniano-elveziana del Rio Maina (Asti). *Riv. Ital. Paleont. Strat.*, 62 (2), p. 11-93, Milano.
- Schrader H. I. (1973) Cenozoic diatoms from the northeast Pacific, Leg 18. in: Kulm L. D., von Huene R. et al. (1973). *Initial Reports DSDP*, 18, p. 673-797, Washington.
- Stancu Josefina (1974) Association des hétéropodes et de ptéropodes du Badenien inférieur de la Depression Gétique - district de Mehedinți. *D. S. Inst. Geol.*, LX 3 (1972-1973), p. 181-190, pl. I - III, București.
- Vialov O. S., Pishvanova L. S., Petrushkevich M. I., Grishkevich G. N. (1962) Skhema stratigrafiei miotsena zakarpattia. *Bul. M. o-va isp. prir., otd. geol.*, 37 (5), Moscova.

NEW DATA ON THE BIOSTRATIGRAPHY AND CORRELATION OF THE MIDDLE MIocene IN THE CARPATHIAN AREA

BY

P. DUMITRICĂ, N. GIETA, G.I. POPESCU

(Summary)

In the latter years the bio- and chronostratigraphy of the pre-Sarmatian-Miocene from the Central Paratethys have been largely discussed. In spite of these discussions a common point of view was not yet achieved. Some geologists go on using the old chronostratigraphic scheme, with the so-called classical stages — Aquitanian, Burdigalian, Helvetian and Tortonian, whereas other geologists, based on the erroneous use of these stages in this area and on the momentary difficulties in their correlation with the Mediterranean stages, have proposed new chronostratigraphic units with regional value, such as: Egerian, Eggenburgian, Ottomanian, Karpathian and Badenian.

In the present state of knowledge, when the correlation means of the Miocene have been much extended by the rapid progress of the paleontological and particularly micropaleontological researches, the question of justifying the introduction of these stages is still open. Their reserveless introduction, as well as the untouched maintenance of the old chronostratigraphic units seem to be two equally disputable extremes.

Generally, for the most part of the pre-Sarmatian Miocene the fossils prove an almost uninterrupted connection with the Mediterranean Basin, so that, in spite of some peculiarities of the fossil assemblages, there are sufficient possibilities to correlate the Miocene deposits of the Central Paratethys with those of the Mediterranean or Pacific Area.

In the present paper the authors intend to discuss the biostratigraphy and correlation of the Middle Miocene deposits within the Carpathian area only based on the new data offered by several groups of microplankton. Consequently, the use of those stages which in their opinion are the best fitted to the Carpathian situation is proposed.

We must point out that the Middle Miocene has a more restricted acceptance in Paratethys than in the Mediterranean area. According to Cita and Biow (1969) in the latter area it extends between the foraminiferal Zone N 8 pars and N 14, and includes the Langhian and Serravallian. The lower boundary of the Middle Miocene in the Central Paratethys, and consequently in the Carpathian area, is synchronous with that in the Mediterranean one, whereas the upper boundary corresponds to the lower boundary of the Sarmatian. The latter is to be found somewhere in the lower Serravallian, as it will be shown in the following pages.



The Middle Miocene thus defined corresponds entirely to the old Tortonian of the Vienna Basin or to the Badenian at present in use. It was correlated either with Blow's foraminiferal zones N8 pars - N16 pars (Ciecha, Senes, 1971 etc.) or with N8 pars - N14 (Papp, Steininger, 1973). The Middle Miocene or the Badenian was thus equalized with the Langhian, Serravallian and Lower Tortonian or with the Langhian and the most part of the Serravallian.

The data we have from the study of the planktonic foraminifera (Gh. Popescu), calcareous nannoplankton (N. Ghetea) and siliceous microfossils (P. Dumitrica) from the Middle Miocene deposits of Romania set these correlations in a new light.

The stratigraphy of the Middle Miocene deposits in Romania

Generally, the following four litho-biostratigraphic units can be recognized, from bottom to top, in the Middle Miocene deposits of Romania:

- Tuff and *Globigerina* Marl Horizon,
- Evaporitic Horizon or Salt Breccia Horizon with salt massifs,
- Radiolarian Shale Horizon,
- *Spiralis* Marl Horizon.

These horizons have been separated for the first time by Olténanu (1943/1951) and Popescu (1943/1951) in the Romanian Subcarpathians of Muntenia. Later on they have been recognized under the same or different names all over the Carpathian area of the Romania (Subcarpathian, Getic and Transylvania Depressions), Ucraina (Subcarpathians and Transcarpathians) and Poland (Silesian Basin) (See Tab. 1-2). Owing to their extension we are enabled to generalize the results based on the study of the Middle Miocene deposits of Romania all over the Carpathian area.

The Tuff and Globigerina Marl Horizon represents the basal horizon of the Middle Miocene. Lithologically it consists of riodacitic tuffs, tuffites and white and red marls, and sometimes Rhodophycea-bearing limestones. The marls are very rich in planktonic foraminifera and calcareous nannoplankton. Locally the horizon starts with a level of conglomerates. The thickness of the whole horizon varies from a few meters to more than 100 m.

In the Carpathian area, as in the whole Central Paratethys, the Tuff and *Globigerina* Marl Horizon together with its equivalents is strongly transgressive. Here it marks the begining of the second Miocene sedimentary cycle and is characterized by an impressive ingressioin of Mediterranean marine fauna and flora.

The Evaporitic Horizon. Within the Carpathian area the Tuff and *Globigerina* Marl Horizon is overlain by a horizon consisting of dark coloured clays with beds or lens of salt or gypsum. The clays are stratified or breccified and are usually accompanied by rugged heterogeneous elements. The boundaries with the adjoining horizons are generally normal, except for the cases when the salt is tectonically uprisen. The fossil content is extremely poor. It consists of sparse small globigerinas and reworked microfossils.

The Evaporitic horizon may be recognized along the whole Carpathian area, from the Getic and Transylvania Depressions to the Silesian Basin, and represents a guide level for the Middle Miocene of this area. Many of the salt massifs belong to this horizon.

The Radiolarian Shale Horizon is lithologically characterized by the predominance of the laminated or finely stratified argillaceous or marly-argillaceous deposits of grey, brown or yellowish colour. Tuffs and sands are sometimes interbedded. The sands may develop



largely toward the middle part of the unit forming locally an independent „horizon” that divides the Radiolarian Shales into two subhorizons. The total thickness of the unit varies from a few meters to about 150 m.

The micropaleontological content is rich and very characteristic. It consists mainly of siliceous microfossils such as radiolarians, silicoflagellates, endoskeletal dinoflagellates, ebriarians, diatoms etc., and subsequently of planktonic foraminifera and calcareous nannoplankton.

The Spirialis Marl Horizon represents the top unit of the Middle Miocene in the Carpathian area. It consists of grey or brown marls with or without interbedded tuffs. Toward the upper part there are sands or Leftha type limestones and locally mollusc- and coral-bearing marls. Transition from the Radiolarian Shales to this horizon is gradational from both lithological and paleontological viewpoint. There is also a gradual lithological transition to the overlying Sarmatian sediments. Micropaleontologically the boundary is traced at the disappearance of the marine microfauna and nannoflora and at the explosive development of *Anomalinoides dividens*.

By their lithological peculiarities the four horizons prove some significant changes of the chemical composition and connections of the Carpathian Basin during the Middle Miocene. Three distinct stages can be thus distinguished in its evolution:

- a normal marine stage, corresponding to the Tuff and *Globigerina* Marl Horizon, characterized by a mass invasion of calcareous micro- and nannoplankton from the Mediterranean Basin;
- an evaporitic stage, when the connections with the Mediterranean basin were disturbed;
- a new marine stage with two distinct moments. In the first moment, corresponding to the Radiolarian Shale Horizon there were favourable conditions for the abundant development of a siliceous plankton. In the second moment the environment was, on the contrary, favourable to the calcareous plankton and benthos; this moment corresponds to the *Spirialis* Marl Horizon. The fossil assemblages of this new and last marine stage consist of endemic species (particularly foraminifera and molluses) and immigrated species (siliceous microplankton and calcareous nannoplankton). The Mediterranean affinities of these assemblages are indistinct.

Biostratigraphy of the Middle Miocene in Carpathian Area

Along the whole Carpathian area the Middle Miocene succeeds to a lacustrine stage and starts normally with the *Praerbulina glomerosa* Zone. This zone corresponds to the beginning of the great Middle Miocene transgression, the maximum extension of which was reached to the upper part of the *Orbulina suturalis/Globorotalia (T.) bykova* Zone. A consequence of this long-lasting transgression is the fact that on the borders of the various sedimentary basins the first zone is missing and the earliest Middle Miocene deposits belong to the second one.

The assemblages of both zones are of Mediterranean type and are characterized by the high abundance and predominance of the calcareous micro- and nannoplankton.

In the *P. glomerosa* Zone the most common species are: *G. delitescens*, *G. langhiana*, *G. triloba*, *G. sicana* and *P. glomerosa*. The benthonic foraminifera occur only to the upper part of the zone and belong particularly to the nodosariids: *Planularia dentata*, *P. auris*, *Rubulus cultratus*, *R. ecalcar*, etc.

By its global extension the *P. glomerosa* Zone has a great biostratigraphic value. It shows that the base of the Middle Miocene in the Carpathian area and in the Central Paratethys in general is perfectly correlative with the base of the Langhian.

It should be also pointed out that at least in the Carpathian area of Romania the *P. glomerosa* Zone cannot be distinguished from the *G. sicanus* Zone. This fact is in agreement with Bölli (1966, pl. 3) who considers that these two zones overlap on a large extent.

The *O. suturatus/G. hykomeae* Zone has a much larger extent. At this level the benthonic foraminifera become more and more numerous. Among them *Pheophax papillosa*, *Textularia abbreviata*, *T. lanceolata*, *Textulariella paatzovi*, *Nodobacularia gibbosula*, *Amphimorphina haueriana*, *Dimorphina akneriana*, *Frondicularia sculpta*, *Lenticulina echinata*, *Planularia austriensis*, *Vaginulina legumen*, *Neopanides schreibersianus*, *Gypsina fuschi*, *Uvigerina asperula*, *U. macrocarinata* are to be mentioned as characteristic species for the Carpathian area.

To the top of the zone, just below the Evaporitic Horizon, occur the first specimens of *Globorotalia periphera* and *G. ex gr. fohsi*, that justify here the lower boundary of the Zone N10. This moment coincides with the short occurrence of *Globorotalia transylvanica*.

Above this level the planktonic foraminifera of Mediterranean type disappear due to installing of the hypersalinated water mass corresponding lithostratigraphically to the Evaporitic Horizon.

The whole interval discussed, corresponding to the Tuff and *Globigerina* Marls and biostratigraphically to the *P. glomerosa* and *O. suturatus/G. hykomeae* Zones is perfectly correlatable with the stratigraphic interval of the Langhian. The similarity of the planktonic foraminifera assemblages of these two areas is so striking (see Ruscetti, 1956) that we do not see any reason to ignore the use of this stage in the Carpathian area and in the Central Paratethys in general, and to replace it with a regional stage.

The calcareous nanoplankton is another argument for the use of the Langhian. Thus, in the basal part of the deposits cropping out at Ciceu Giurgesti (N. Transylvania), where there is one of the most complete sequence of the lower half of the Middle Miocene, the nanoplankton shows the terminal part of the *Helicopontosphaera ampliaperta* Zone (NN4) and the boundary NN4 — NN5. An additional argument in place at this level the boundary between the two zones is *Discaster exilis*, whose first appearance was recorded just above the last occurrence of *H. ampliaperta* (see Bramlette and Wilcoxson, 1967; Martini, 1971 b). This situation is quite similar to that reported by Martini (l. cit.) at the base of the Langhian at the type locality.

The occurrence of *P. glomerosa* at the level of the terminal part of NN4 has implications on the biostratigraphic correlations established by Martini (l. cit.) between the nanoplankton and the planktonic foraminifera. The boundary between NN4 and NN5 is placed within N8 and not N7 as Martini did.

Except for this lowermost part, the Tuff and *Globigerina* Marls belong to the *Sphenostilus heteromorphus* Zone (NN5). The same situation was recorded for the Langhian. The position of the boundary NN5 — NN6 cannot be precisely established. It is supposed to be somewhere within the Evaporitic Horizon. In favour of such a hypothesis pleads the presence of *Discaster breueri* at the top of the Tuff and *Globigerina* Marls and the occurrence of *Triquetrum habdulus rugosus* in the Radiolarian Shales.

In the Evaporitic Horizon the microfauna is generally missing, except for the possible reworking. The situation is common to the whole Carpathian area for which this horizon represents an important biotic threshold between the typical Mediterranean assemblages of the underlying horizon and the assemblages of the Radiolarian Shales and *Spiriferids* Marls.

Because of the absence of fossil remains the age of the Evaporitic Horizon can not be directly established. However it may come out from the age of the adjoining horizons. We showed that the basal part of the foraminiferal zone N10 is placed at the uppermost part

of the Tuff and *Globigerina* Marls. The Radiolarian Shales Horizon is approximately placed, as it will be demonstrated below, at the level of the Zone N11. It follows that the Evaporitic Horizon is roughly disposed within the Zone N10.

The planktonic foraminifera of the Radiolarian Shales and *Spirialis* Marls display an obvious endemism. For this reason they are inadequate for extra-Paratethyidian correlations. Cicha and Senes (1971, etc.) carried out such a correlation. Based on *Globigerina nepenthes* and *Globorotalia menardii* that, in their opinion, would occur in the Upper Badenian, they correlated the *Velapertina* Zone with the foraminiferal Zone N14 – N16. The Upper Badenian was thus correlated with the upper part of the Serravallian and lower part of the Torlonian. However it must be remarked that at least in the Romanian Carpathian area the two species cited above are missing in the *Velapertina* Zone, so that the correlation carried out by the two authors is disputable.

The other groups of microplankton as the radiolarians, silicoflagellates, ciliarians, endoskeletal dinoflagellates, diatoms and the calcareous nannoplankton do not contain endemic species or contain a very small number of such species. For this reason they are most adequate for extra-Paratethyidian correlations at the level of the Radiolarian Shales and *Spirialis* Marls. It must be remarked that it is very difficult to make such correlations with the Mediterranean area but rather easy with the subtropical and temperate Pacific one.

Among the cited groups the occurrence of the silicoflagellates as well as of all the siliceous microfossils is limited to the Radiolarian Shales. Their assemblage, consisting of *Corbisema tricantha*, *Distephanus crux*, *D. stauracanthus*, *D. bachmanni*, *D. speculum*, *Dictyocha aspera*, *Halicyclopyra militadet*, *H. ex gr. picassoi*, *Paradictyocha apiculata*, *P. septenaria*, *Macroru stella* etc. belongs to the *Distephanus stauracanthus* Zone. This zone was recognized under various names: *Dictyocha octocantha* Horizon (Martini, 1971 a), *Dicyanya fibula* var. *octagona* Assemblage (Ling, 1972), *Distephanus octocanthus* Zone (Bukry, Foster, 1973, 1974) or *Distephanus stauracanthus* Subzone (Dumitričă, 1973) in north and south Pacific, N. America and Indian Ocean. The stratigraphic interval of this zone is rather short and is placed within the *Carnaritus laticonus* Radiolarian Zone, which is, at its turn, correlated with the foraminiferal Zones N11 – N12.

Belonging of the Radiolarian Shales to the *C. laticonus* Zone is suggested by presence of *C. ex gr. laticonus* and absence of *Doreadespris alata* or *Cannartia? petersoni*. Moreover, the occurrence in this assemblage of *Lithopora renzae*, which in Pacific extincts at the middle of the zone, is evidence for the lower part of the *C. laticonus* Zone. And as the zone correlates with the zones N11 – N12 (Riedel, Santillipo, 1970) it is to be supposed that the Radiolarian Shales are for the most part placed within the foraminiferal zone N11 and probably only partly in N12.

The diatom *Coscinodiscus lewisiensis*, which is a frequent member of the Radiolarian Shales assemblage, pleads for the same position. According to Schrader's zonation proposed for the northeast Pacific (Schrader, 1973), the extinction of this species takes place at the boundary between his zones XX and XXI. Or the zone XXI that contains the youngest occurrences of *C. lewisiensis* is correlated by Schrader with the foraminiferal Zones N10 and N11 and with the nannoplankton zone NN6.

The calcareous nannoplankton data converge to the same conclusion. The nannoplankton of the Radiolarian Shales and *Spirialis* Marls pleads for the *Discoaster exilis* NN6 Zone (Martini, 1971 b) or rather for the *Coccilithus miopelagicus* Subzone (Bukry, 1971). Both zones define the same interval which correlates with the foraminiferal zones N11 – N12.

The upper boundary of the *D. exilis* – *C. miopelagicus* (NN6) Zone cannot be traced within the Carpathian area because the nannoplankton is missing in the deposits younger than

the *Spirialis* Marl. It might be either at the terminal part of this horizon or in the Lower Sarmatian. This would mean that the *Spirialis* Marls do not rise above the nannoplankton zone NN8 or foraminiferal zone N12.

A peculiarity of the nannoplankton assemblages of the Radiolarian Shales and *Spirialis* Marls is the almost complete absence of the discoasterids and the high frequency of the syracosphaerids, represented by several species of the genera *Syracosphaera* and *Syracolithus*. The assemblages of the two horizons are rather similar. However in the Romanian Carpathian, area at least, the *D. exilis*-*C. miopelagicus* zone might be divided into two subzones:

— The *Cyclolithella annula* Subzone, corresponding to the Radiolarian Shale Horizon and defined by the interval between the extinction of *Sphenolithus heteromorphus* and the first occurrences of *Syracolithus dalmaticus* and *Scapholithus fossilis*.

— The *Syracolithus dalmaticus*/*Scapholithus fossilis* Subzone corresponds to the *Spirialis* Marl Horizon. Its top coincides with the disappearance of the nannoplankton in the Carpathian area, namely with the lower boundary of the Sarmatian.

These results are in disagreement with Papp and Steininger (1973). They correlated the youngest Badenian deposits with the foraminiferal Zone N14 and the nannoplankton Zone NN8, and took as argument a sample previously collected by Fuchs from Breznicza (correct name Breznița) near Turnu Severin. Papp places this sample in the *Vela-*
pertina Zone or in the *Bulimina-Bolivina* Zone and Martiū (1971 b) in the *Catinaster coalitus* Zone NN8. This age is disputable because at Breznița, marine deposits younger than the Badenian do not occur and the planktonic foraminifera from the same locality show the *Orbulina sulcata*/*Globorotalia bykova* Zone, which correlates with NN8.

We may conclude that the upper part of the Middle Miocene, including the Evaporitic Horizon, the Radiolarian Shale Horizon and the *Spirialis* Marl one, in other words the interval between the Langhian and the Sarmatian is placed at the level of the foraminiferal zones N10 pars — N12 pars?. This interval correlates with the lower part of the Serravallian. As this stage cannot be entirely used we should try to find another stage able to fit perfectly within the interval between the Langhian and the Sarmatian. The only stage with such a peculiarity is the Kossoyian defined by Pishvanova (1968). Its use could be also justified by the fact that it has the stratotype in the Subcarpathians and contain a fauna and flora of non-Mediterranean type.

The Badenian if, we want to take it into consideration, would represent a superstage including the Langhian at the lower part and the Kossoyian at the upper part.



PLANSĂ I

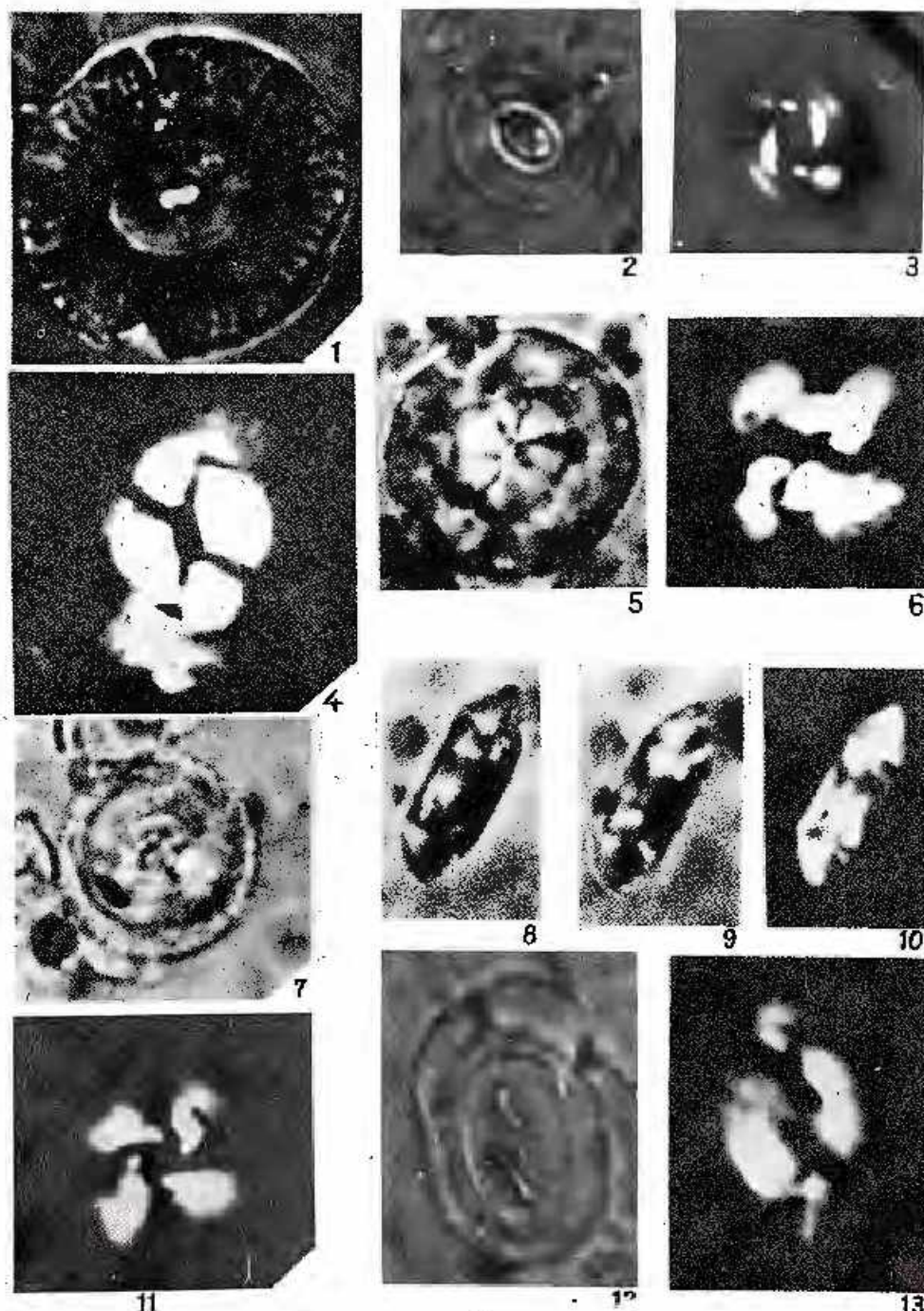


Institutul Geologic al României

PLANSA 1

- Fig. 1, 4. — *Coccolithus copeiagicas* Bramlette et Riedel;
Fig. 2—3. — *Reticulofenestra pseudocumbitica* (Gartner);
Fig. 5—6. — *Deltogaecetes scissurus* (Hay, Mohler, Wade) n. comb. — *Reticulofenestra scissura* Hay, Mohler et Wade;
Fig. 7—11. — *Dicyocoecetes abiseelas* (Mohler) Bakry et Percival; 7, 11, vedere plană (plan view); 8—10, profil (side view);
Fig. 12, 13. — *Helicopioniosphaera waffeni* (Lohmann) Bonnefond et Hay.
- Mărime: x 3200
Magnificare: x 3200





Institutul de Geologie și Geofizică. Dări de seismă ale ședințelor, vol. LXI/4.



Institutul Geologic al României

PLANSA II

Fig. 1, 4. - *Cyclococcolithus leptoporus* (Murray et Blackman).

Fig. 2, 3, 5, 6. - *Helicopontosphaera karpinskii* Hay et Mohler.

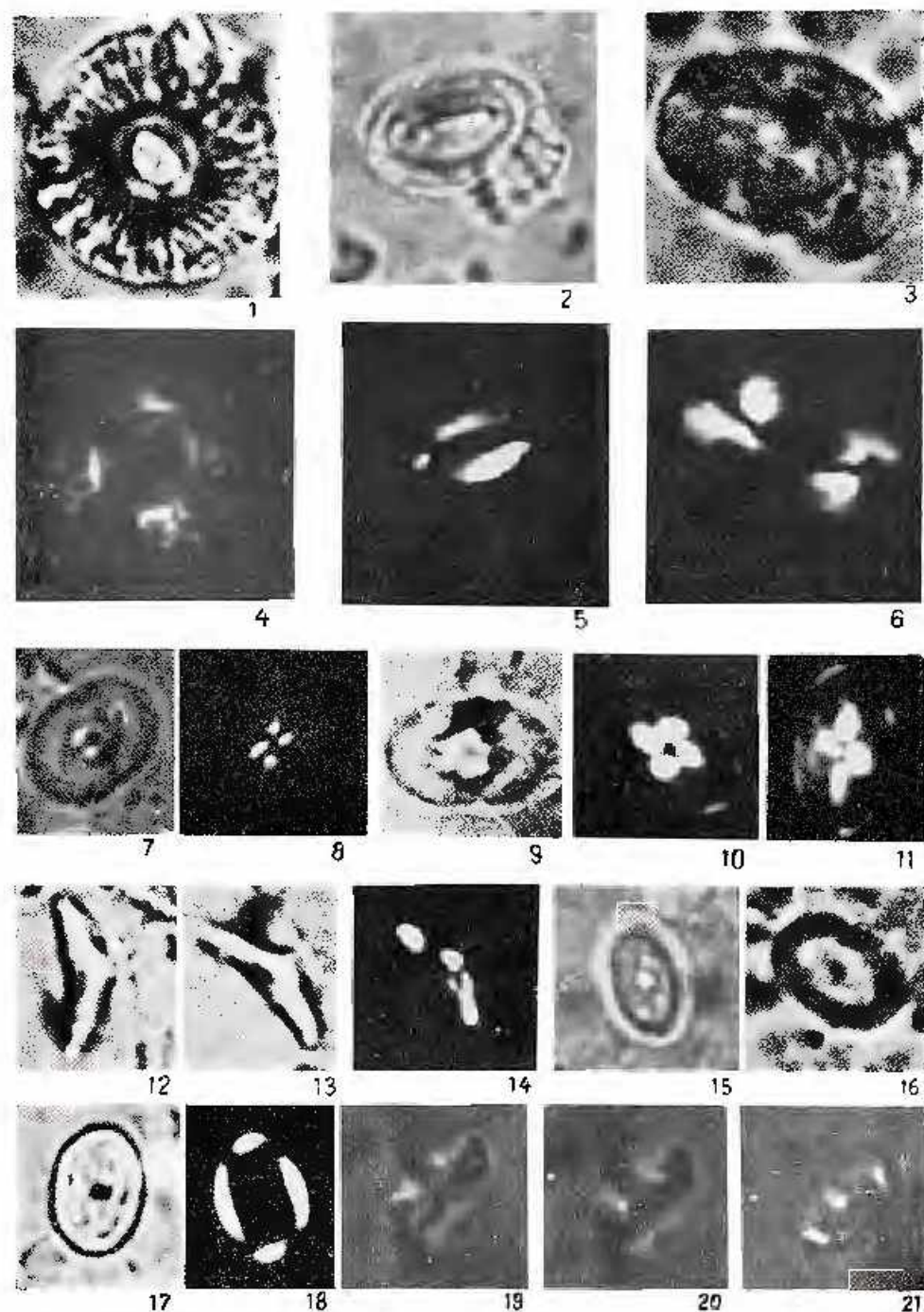
Fig. 7-11. - *Syracosphaera quattrospina* (Lothman) n. comb. — *Acanthoitea quattrospina* Lothman. 7-11, vedere plană (plan view); 12-14, profil (side view);

Fig. 15-21. - *Syracosphaera histrica* Kampfner. 15, 17, 18, vedere plană (plan view); 16, semiprofil (half side view); 19-21, profil (side view).

Mărire x 3200

Magnification x 3200





Institutul de Geologică și Geofizică. Dări de seară ale ședințelor, vol. LXI/4.

PLANŞA III

Fig. 1—4. — *Discolithina alta* (Roth) n. comb. = *Pontosphaera alta* Roth. 1, vedere plană, viza sus (plan view, high focus); 2, vedere plană, viza jos (plan view, low focus); 3, vedere plană (plan view); 4, profil (side view).

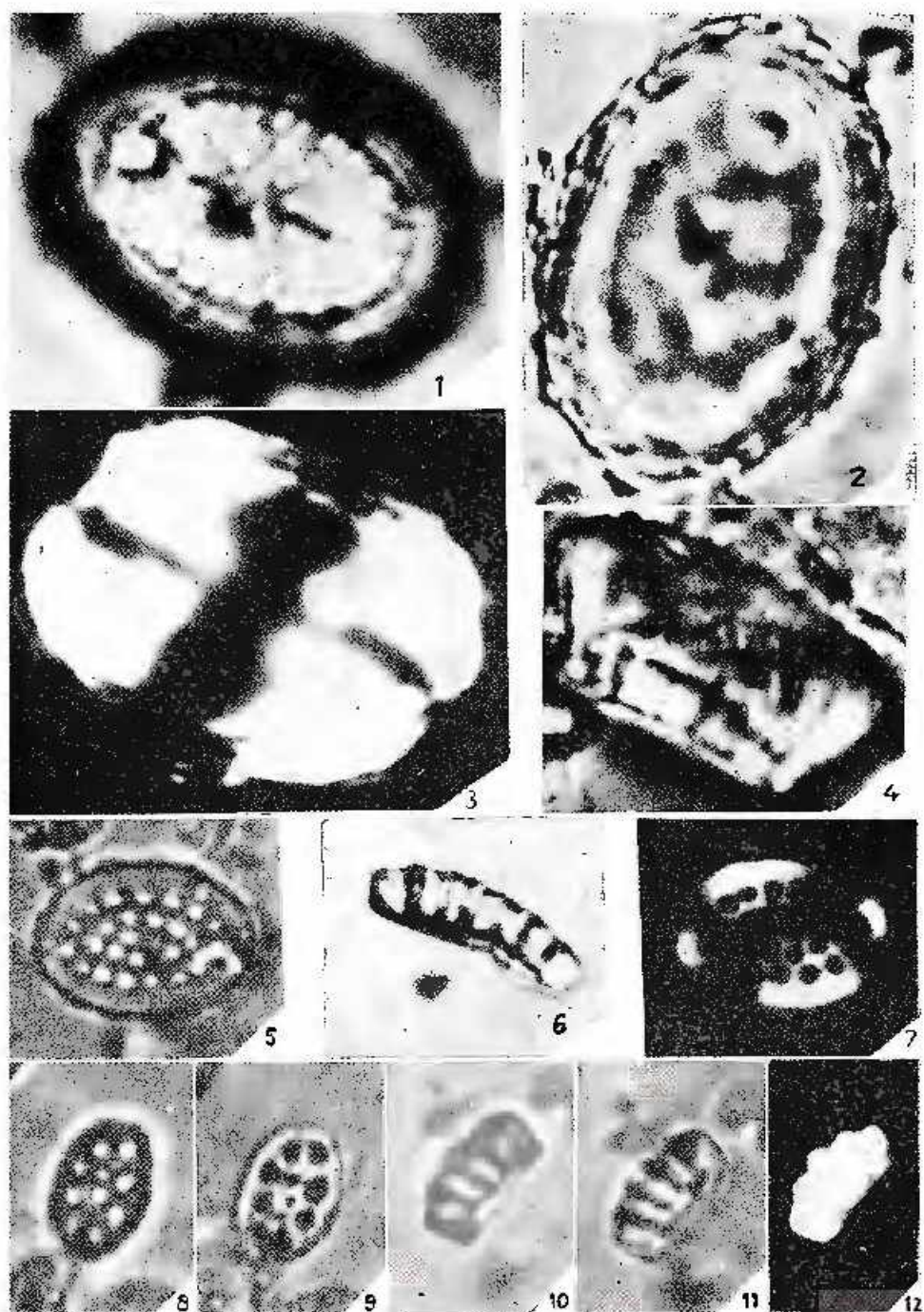
Fig. 5—7. — *Discolithina multipora* Kampfner. 5, vedere plană (plan view); 6, 7, profil (side view).

Fig. 8—12. — *Syracolithus dalmaticus* Kampfner. 8, 9, vedere plană (plan view); 10—12, profil (side view).

Mărire x 3200

Magnification x 3200





Institutul de Geologie și Geofizică. Dări de seamă ale ședințelor, vol. LXI/4.

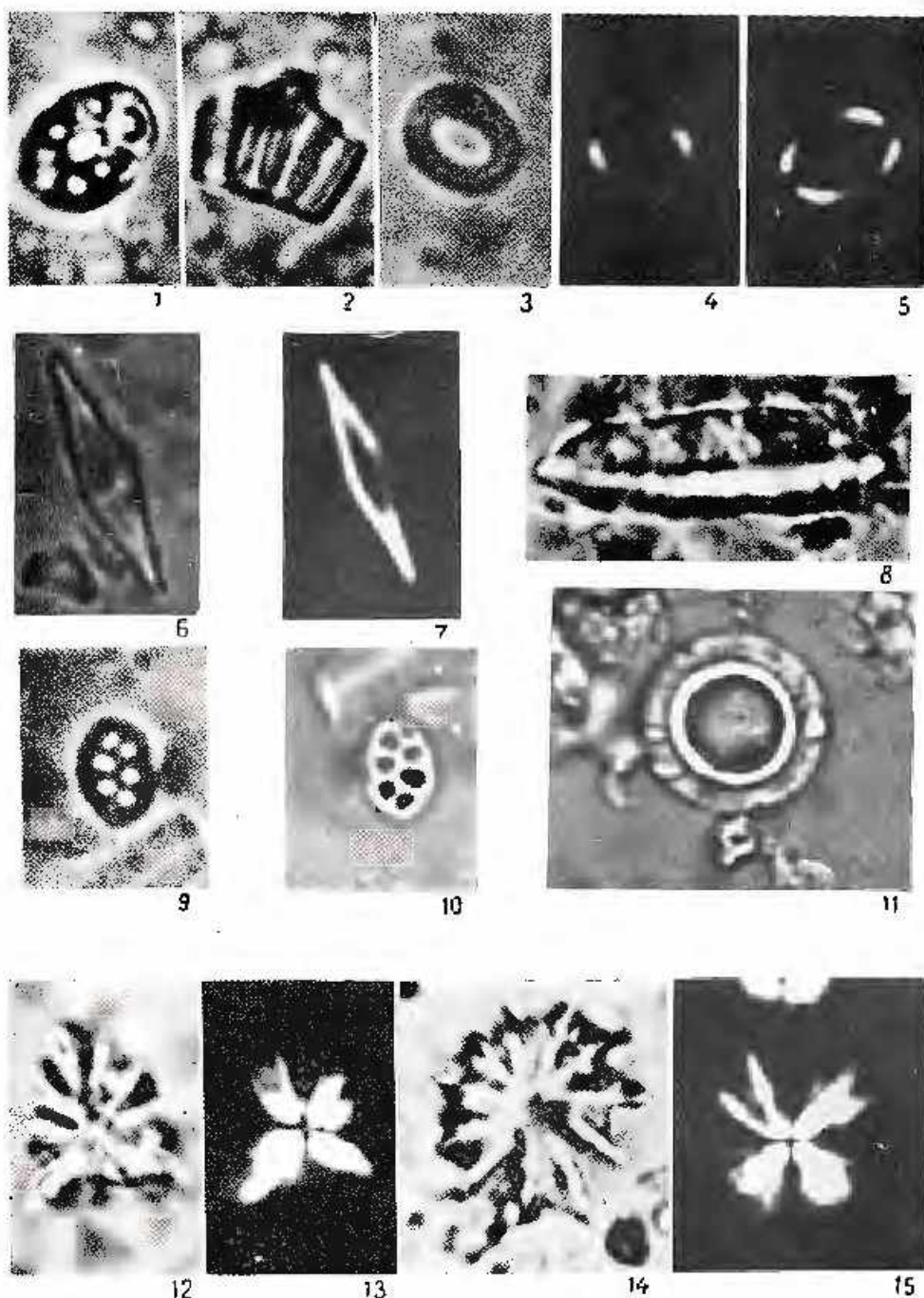
PLANŞA IV

- Fig. 1, 2. — *Syacolithus diuvalicus* Klemptner. 1, vedere plană (plan view); 2, profil (side view).
- Fig. 3-5. — *Cricotilithus jonesi* Cohen.
- Fig. 6, 7. — *Scapholithus fossilis* Deblancere.
- Fig. 8. — *Triquetrorhabdulus rugosus* Bramlette et Wilcoxson.
- Fig. 9, 10. — *Halodiscosphaerites macroporus* (Deblancere).
- Fig. 11. — *Cyclolithella annula* (Cohen).
- Fig. 12-15. — *Sphenolithus moriformis* (Briönnimann et Stradner). 12, 13, profil (side view); 14, 15, vedere bazală (basal view).

Mărime $\times 3200$

Magnificare $\times 3200$





Institutul de Geologie și Geofizică. Dări de seamă ale ședințelor, vol. LXIV/4,



Institutul Geologic al României

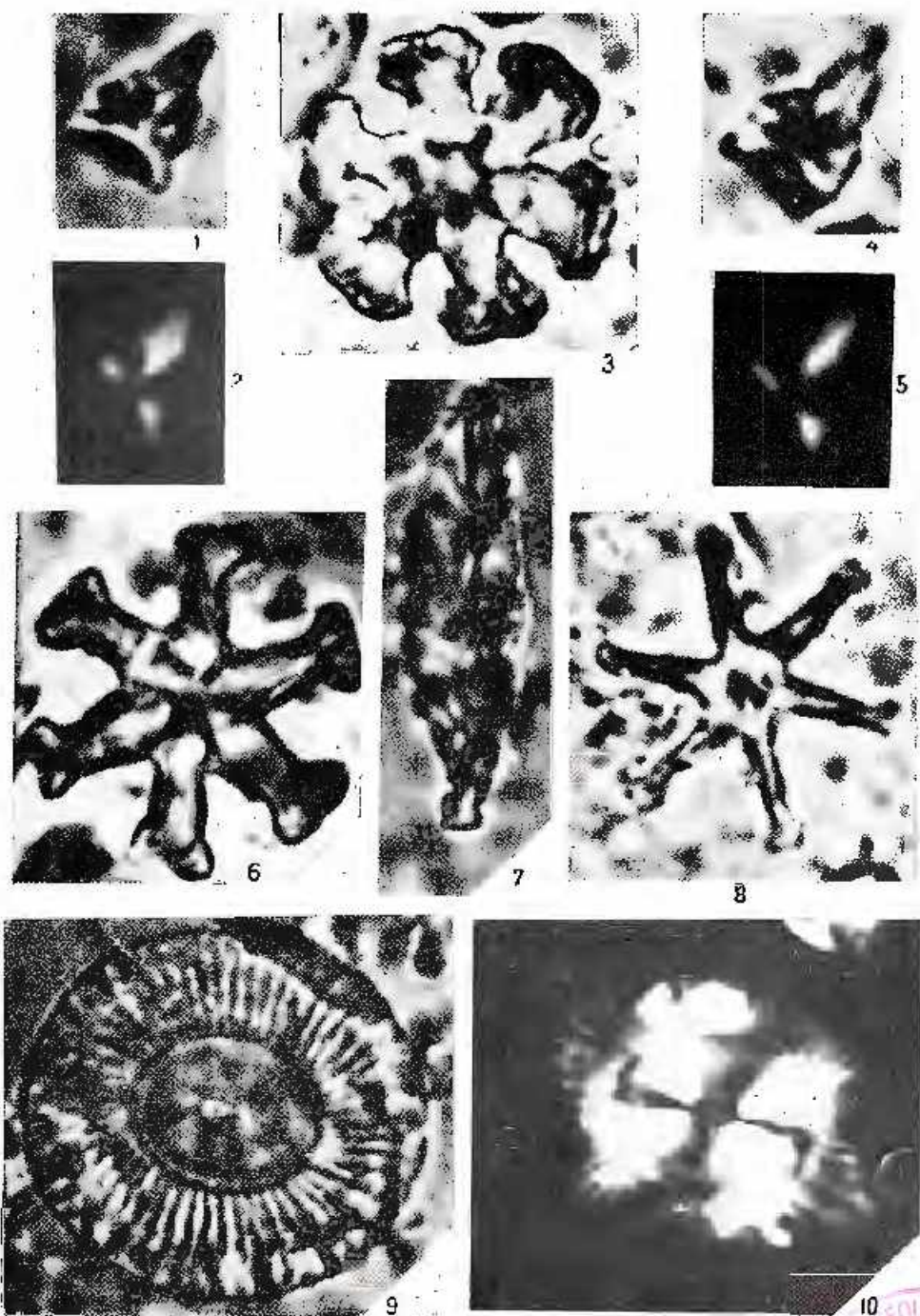


PLANŞA V

- Fig. 1, 2. — *Sphenolithus conicus* Bükry.
Fig. 3. — *Discoaster deflandrei* Bramlette et Riedel.
Fig. 4, 5. — *Sphenolithus heteromorphus* Deflandre.
Fig. 6. — *Discoaster variabilis* Martini et Bramlette.
Fig. 7. — *Trigularorhabdulus rugosus* (Bramlette et Wilcoxan).
Fig. 8. — *Discoaster exilis* Martini et Bramlette.
Fig. 9, 10. — *Cecolithus mioplagiatus* Bükry.

Mărire $\times 3200$
Magnification $\times 3200$





Institutul de Geologie și Geofizică. Dâri de seamă ale ședințelor, vol. LXI/4.

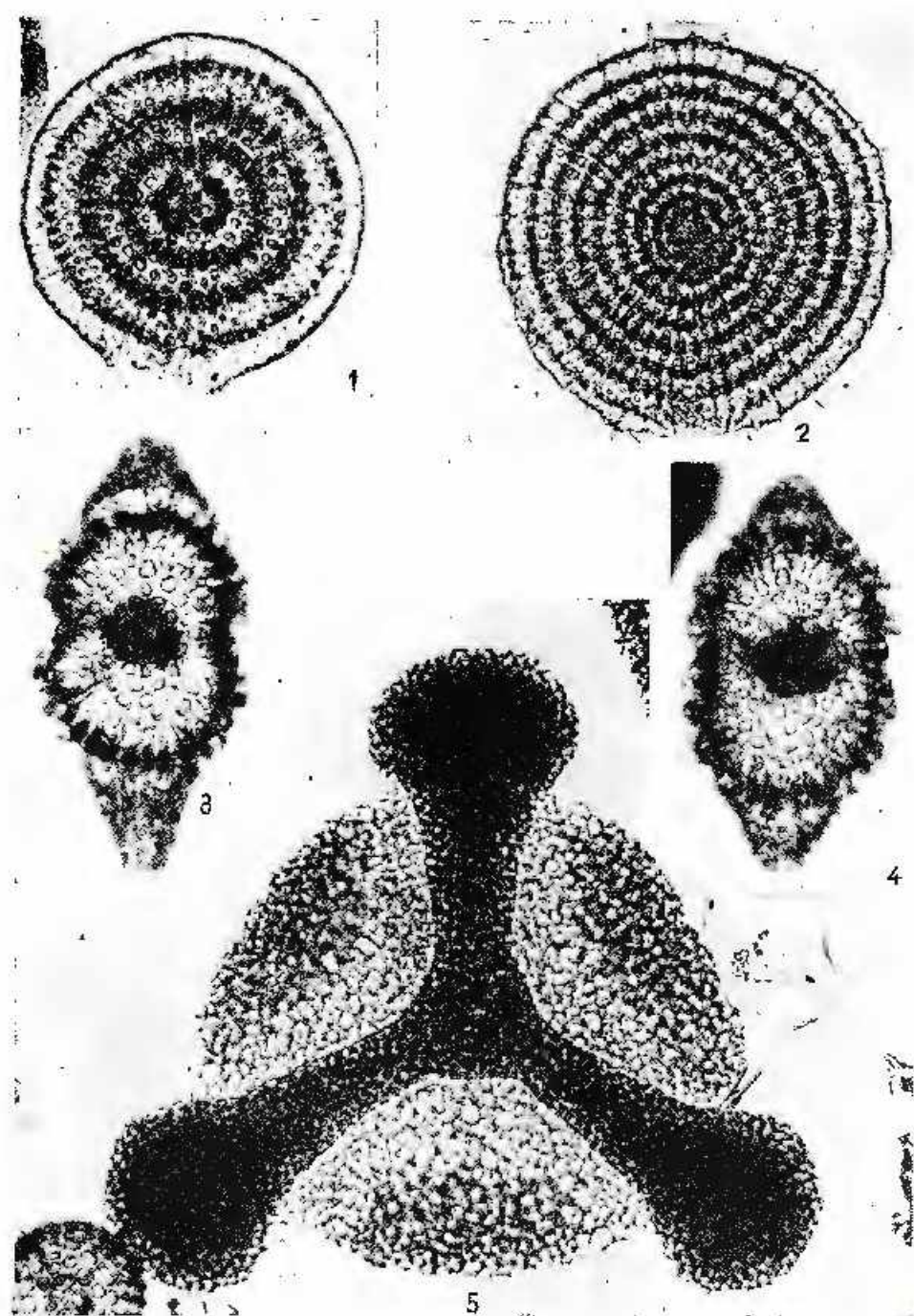


Institutul Geologic al României

PLANŞA VI

Radiolari spumelari din crizantul sistemelor cu radiolari.
Spumellarian Radiolaria from Radiolarian Shale Horizon.
Fig. 1. — *Circodiscus pantanetti* (Garzevage).
Fig. 2. — *Porodiscus divergentianus* Garzevage.
Fig. 3--4. — *Conularius ex gr. latconus* Riedel.
Fig. 5. — *Rhopalastrum lagenosum* Pfeil.





Institutul de Geologie și Geofizică, Dărzi de seamă ale ședințelor, vol. LXI/4.



Institutul Geological Românăie

PLANŞA VII

Radiolarii nassellari din orizontul sisturilor cu radiolarii.

Nassellarian Radiolaria from Radiolarian Shale Horizon,

Fig. 1. — *Cyrtocapsella* n. sp.

Fig. 2. — *Cyrtocapsella tetrapera* (Haacke).

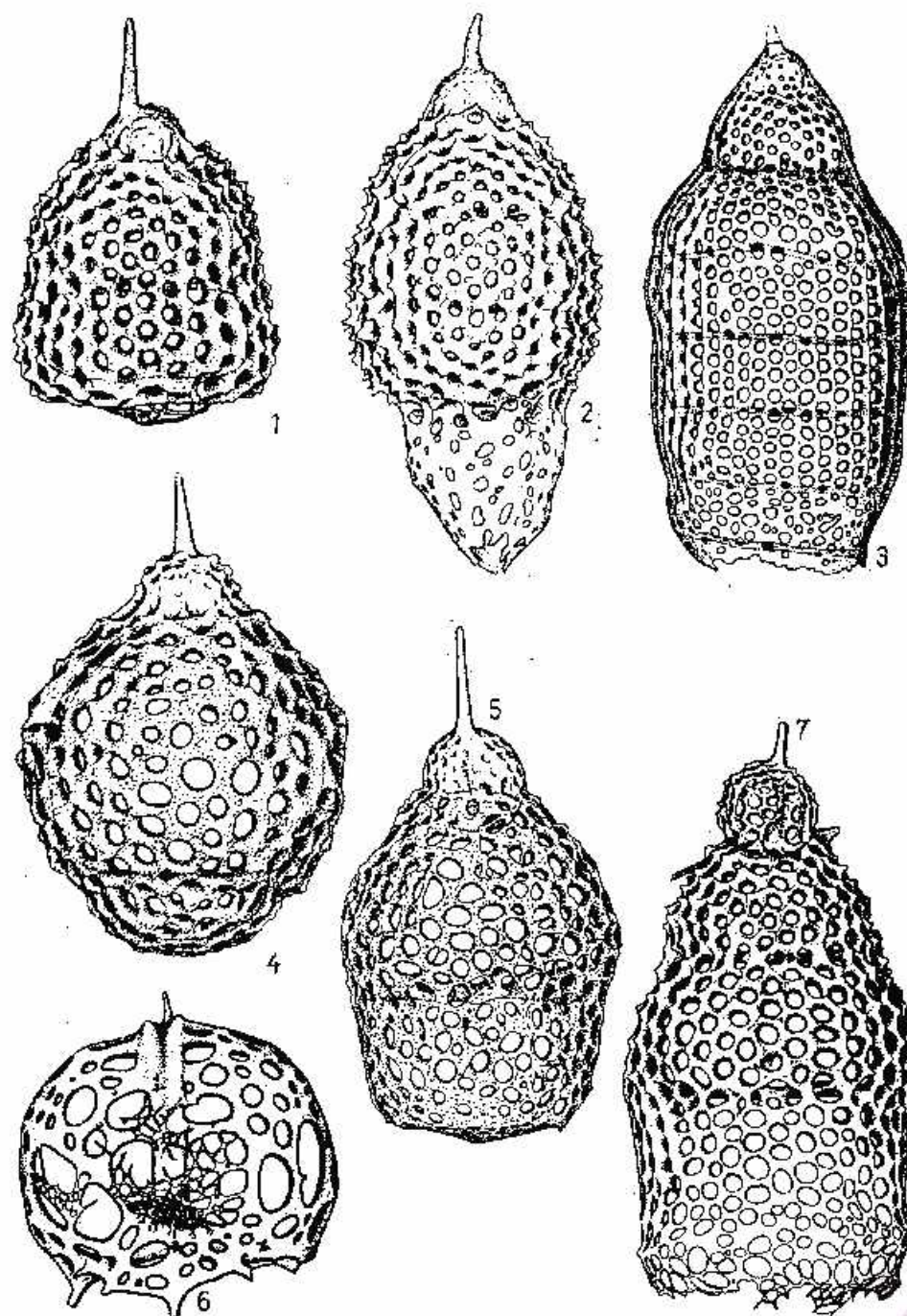
Fig. 3. — *Eucyrtidium ex gr. cirkowskii* Haacke.

Fig. 4—5. — *Lithoperna ranzae* Scandlipp et Riedel.

Fig. 6. — *Ceratospyris radicata* (Ehr.).

Fig. 7. — *Siechoceras cf. detmoldensis* (Campbell et Clark).





Institutul de Geologie și Geofizică. Dări de seismă ale ședințelor, vol. LXI/4.



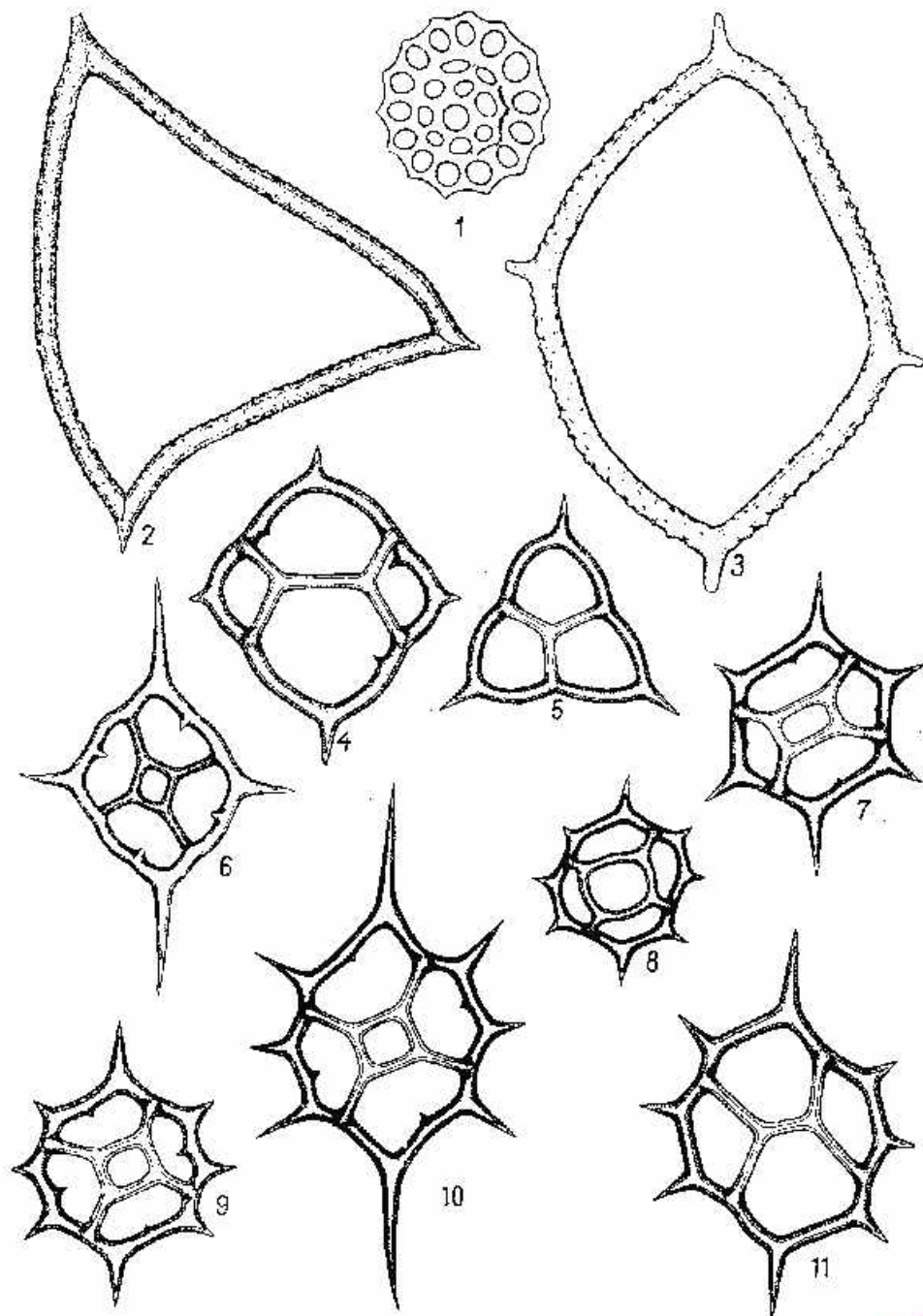
Institutul Geologic al României

PLANŞA VIII

Silicoflagelate din orizontul șisturilor cu radiolari.
Silicoflagellates from Radiolarian Shale Horizon.

- Fig. 1. — *Maenra stella* (A z p e i l l a).
- Fig. 2. — *Sepiaenesoceras apiculata* (S e h u l z).
- Fig. 3. — *Mesoceras elliptica* E h r.
- Fig. 4. — *Dielgocha fibula aspera* L e m a n.
- Fig. 5. — *Corbisema triacanthus* (E h r.).
- Fig. 6. — *Distephanus crux* (E h r.).
- Fig. 7. — *Distephanus bachmanni* (D u m i t r i e ă).
- Fig. 8 - 11. — *Distephanus stictacanthus* (E h r.).





Institutul de Geologie și Geofizică. Dări de seamă ale ședințelor, vol. LXI/4.



Institutul Geologic al României

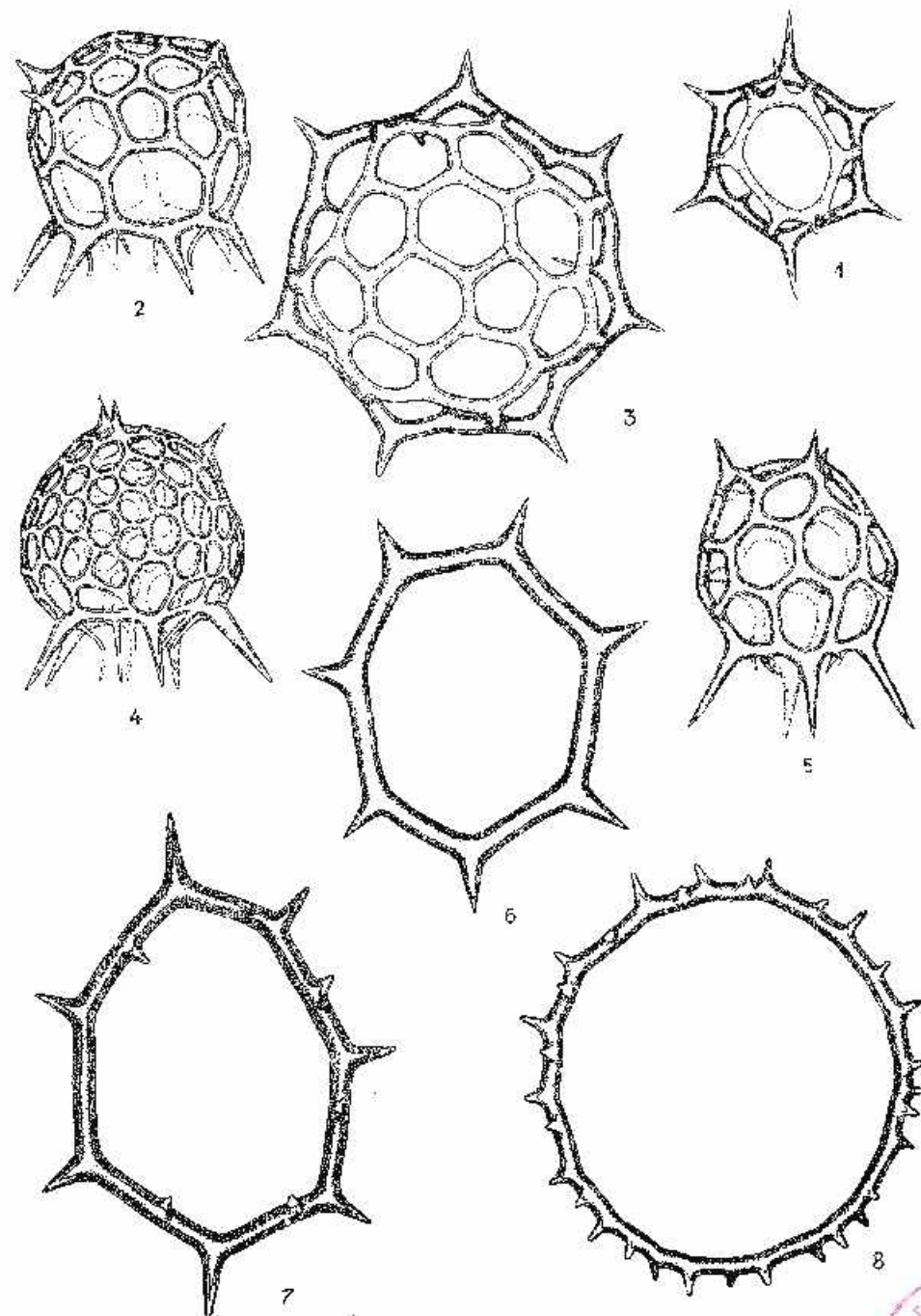
PLANŞA IX

Silicoflagelate din orizontul șisturilor cu radiolari.

Silicoflagellates from Radiolarian Shale Horizon.

- Fig. 1. — *Distephanus speculum* (Ehr.).
- Fig. 2. — *Carnupilus ex gr. depresso* (Ehr.).
- Fig. 3. — *Carnupilus tholus* n. sp.
- Fig. 4. — *Halicyclops ex gr. pterassoi* (Stradner).
- Fig. 5. — *Halicyclops miliacei* (Dumitrescu).
- Fig. 6—7. — *Paradietypcha septentrionalis* (Schulz).
- Fig. 8. — *Paradietypcha apiculata* (Lemmermann).





Institutul de Geologie și Geofizică. Dări de scamă ale ședințelor, vol. LXIV.



Institutul Geologic al României

1. STRATIGRAFIE

ASUPRA BIOSTRATIGRAFIEI DEPOZITELOR MIOCENE DIN ROMÂNIA (STADIUL 1974)¹

Coordonator : MUŞAT GHEORGHIAN²

AUTORI : YVONNE BABUȚIU³, MELANIA BORȘ⁴, IRENA BRĂTU⁵, CONstanțA COBOBEA⁶, CORNELIA CORNEA⁷, L. DRĂGHINDĂ⁸, DOINA GHEORGHIAN⁹, MUŞAT GHEORGHIAN², N. GHETĂ¹⁰, O. ILIESCU¹¹, JANA ION¹², MARIANA IVĂ¹³, VICTORIA LUBENESCU¹⁴, CONstanțA MANEA¹⁵, EUGENIA MARCĂRIT¹⁶, MARIANA MĂRUNTEANU¹⁷, I. NEDELCO¹⁸, F. OLFRANU¹⁹, MARTA PEÑES²⁰, GH. POPESCU²¹, GERTRUDE RADO²², JOSEFINA STANCU²³, GH. VOTCU²⁴

Abstract

On Biostratigraphy of Miocene Deposits in Romania (Stage 1974). This paper deals with the present knowledge on problems referring to the Miocene, and the interpretation possibilities yielded by the correlation elements of deposits assigned in Romania to this age. The paper is relying on correlation tables of 47 areas belonging to various structural units, biostratigraphic facies and separations; it is completed by a synthetic table of micropaleontologic zones in addition to some data of an explanatory taxonomic character.

Introducere

În ședința grupului român de lucru pentru stratigrafia Neogenului, din 30 ianuarie 1974, s-a luat inițiativa de a se redacta un tabel care să cuprindă datele cunoscute pînă în prezent, cu privire la biostratigrafia Miocenului din România, pe bază de microfaună. Au fost solicitați specialiști de la Institutele de Cercetări, Universitate și Întreprinderea Geolo-

¹ Comunicare în ședință din 21 mai 1974.

² Institutul de Geologie și Geofizică, Str. Caransebeș nr. 1, București.

³ Întreprinderea Geologică de Prospecții, Str. Caransebeș nr. 1, București.

⁴ I.S.P.G.C. Str. Slătineanu nr. 20, București.

⁵ Institutul de Cercetări și Proiectări pentru Țigă și Gaze, str. Toamnei nr. 103, București.

⁶ Universitatea București, Fac. Geologică, Bd. N. Bălcescu nr. 1, București.

⁷ București 2, Str. Mașina de Pîine nr. 2, Bloc 32 A, sc. B, ap. 56.



gieă de Prospecțiuni care au oferit material publicat și mai ales date inedite care stau la baza unor teze de doctorat, susținute sau în elaborare.

În tabelele de corelare ne referim la numărul de ordine din lista de autori (anexa 1) iar în aceasta la numărul coloanei (sectorului) apoi la intervalul asupra căruia s-au oferit date și eventual la lucrarea publicată. Numerele sectoarelor cercetate (localizate pe harta țării) corespund celor de pe coloanele lito-biostratigrafice. Pe același coloane au fost amplasate unele puncte sau nivele fosilifere, asupra căroro oferim detalii în anexa 2 (autor, lucrare, loc, vîrstă, iar în cazul referințelor inedite, lista sumară a faunei).

În numele autorilor mulțumim colegilor care au participat la discuții în cele 4 ședințe de lucru, contribuind la prezentarea lucrării în această primă formă.

PRECIZĂRI TAXINOMICE

de

MUȘAT GHEORGHIAN

Întrucât unii autori folosesc, în biostratigrafia Miocenului din România, fosile index a căror încadrare taxonomică este în studiu, oferim aici cîteva precizări.

Ordinul FORAMINIFERA Eichwald, 1830

Genus *Anomalinooides* Brötzén, 1942

Anomalinooides predcarpathicus (Aisenstat)

(Pl. 2, fig. 1—3; Col. Inst. Geol. P. 101.554)

Anomalina grosserugosa Gümbel: H. B. Brady, 1884, Rept. Challeng. Exped. XI, p. 673, pl. XCIV, fig. 4, 5 (not Gümbel, 1870);

Cibicides predcarpathicus Aisenstat: M. Serova, 1955, Stratigrafia și fauna Foraminif. Miocene otloj. Predcarp. p. 382, pl. XXVIII, fig. 3—5;

Anomalinooides dividens Lucekowska: E. Lucekowska, 1967, Roczn. Polsk. Tow. Geol. XXXVII/2, p. 238, pl. IX, fig. 1—6; text — fig. 6—7.

Observații. Datorită conturului său lobat *Anomalinooides predcarpathicus* a fost determinat de unii cercetători ca *Cibicides lobatulus*. Comentariile lui Brady, Serova și Lucekowska arată clar că la nivelul bazal al Sarmățianului apare această specie cu aspect morfologic cu totul distinct de al lui *C. lobatulus* (raport diametru/inălțime la *A. predcarpathicus* 2/1 iar la *C. lobatulus* 5/1 după Serova; la *C. lobatulus* marginea periferică este ascuțită, iar la *A. predcarpathicus* rotunjită). După cum arată Lucekowska, *A. badenensis* (d'Orbigny) este o specie întrucâtva apropiată de *A. predcarpathicus* față de care se deosebește totuși prin dispoziția evoluată a camerelor, vizibilă pe ambele părți ale testului (ventrală și dorsală), peretele mai gros și netransparent, cu perforații grosiere, iar apertura este în poziție periferică și mai mică față de cea a lui *A. predcarpathicus*.



Familia GLOBOROTALIIDAE Cushman, 1927

Genul Globorotalia Cushman, 1927

Subgenul Turborotalia Cushman et Bermudez, 1949

Globorotalia (T.) siakensis europea n. ssp. M. Gheorghian

Globigerina siakensis Le Roy, 1939, *Natuurk. Tijd. Nederl. Indie*, XCIX, p. 262, pl. IV, fig. 20–22;

Globorotalia mayeri Cushman et Ellisor: L. Weiss, 1955, p. 4, 306, 312, pl. 3, fig. 12–14; H. M. Bolti, 1957, p. 18, fig. 4a–c; W. H. Blow, 1959, p. 214, pl. 18, fig. 116a–c; T. Saito, 1963, p. 177–178, pl. 53, fig. 5a–c; J. J. Rizon, 1965, p. 247, pl. 4, fig. 4a–c; R. A. McTavish 1966, pl. 4, fig. 27, 32–33;

Globigerina mayeri (Cushman et Ellisor): C. W. Drooger, 1965, pl. 1, fig. 14a–c;

Globorotalia siakensis (Le Roy): L. P. Kennett, 1973, *Init. Rept. DSDP XXI*, p. 593, pl. 14, fig. 1, 2.

Holotip. Pl. 1, fig. 4–6; Col. Inst. Geol. P. 100451.

Paratipi. Col. Inst. Geol. P. 101547.

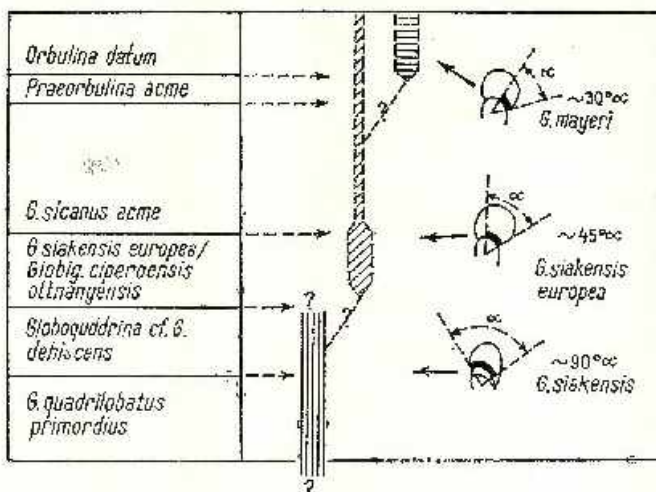
Loc tip. Valea Tălmăcel—comuna Tălmăciu—districtul Sibiu.

Etaj tip, nivel tip. Ottangian—domeniul Paratethys, zona cu *Globigerina ciperoensis ottangensis/Globorotalia (T.) siakensis europea*.

Descriere. Test cu periferia rotundă și contur ușor lobat datorită suturilor depresionare; are cinci la șase camere pe ultimul tur de spiră, aranjate într-o spirală aplatisată. Apertura, prevăzută cu o buză este situată la baza ultimei camere. Ea începe din zona ombilicală și merge pînă aproape de zona ecuatorială a testului. Asemănări și deosebiri: *Globorotalia (T.) siakensis europea* are caractere morfologice comune atât cu *G.(T.) mayeri* cit și cu *G.(T.) siakensis*. Sunt asemănătoare tipul de înrulare, numărul de camere de pe ultimul tur de spiră, conturul lobat al testului. Diferă însă de speciile menționate prin forma și dimensiunile foramenului (fig.).

Repartiție geografică și stratigrafică. Sub numele de *G. mayeri* este menționată din depozitele „Helvetianului inferior” auct. din România; din Oligocenul superior — formațiunea de Cojimar—Cuba; Oligocenul mediu-Miocenul mediu — Peru de NW; Oligo-Miocenul — formațiunile de Cipero și Lengua din Trinidad; Chattian-Aquitanian — Malaita group din Insulele Solomon; Aquitanian-Tortonianul din Japonia; Burdigalinul de la Djebel Si-Ameur din Maroc; în Helvetianul de la Parga — Grecia; în formațiunile de Pózon și Tocuyo din Venezuela (Miocene) precum și în secvența Miocen mediu-inferior din forajul 206 DSDP — USA executat în Marea Tasmaniei.

Noi am întîlnit numeroase exemplare de *G.(T.) siakensis* în depozitele ottangiene în facies marin, din Transilvania (strate de Hida, formațiunea de Tălmăciu, strate de Brădet) și de la exteriorul Carpaților (orizontul roșu) din Moldova și Muntenia.



Familia GLOBIGERINIDAE Carpenter, Parker et Jones, 1862
Genul *Globoquadrina* Finlay, 1947

Globoquadrina cf. *G. dehiscens* (Chapman, Parr et Collins)
(Pl. 1, fig. 7—9; Col. Inst. Geol. P.101555)

Globorotalia dehiscens Chapman, Parr et Collins, 1934, p. 569, pl. 11, fig. 36 a—c

Observații. Specimenele care provin din depozitele de vîrstă eggenburgiană din România, sunt de talie mai mică decit cele ale tipului și din acest motiv le conferim speciei și le considerăm ca forme endemice.

Clasa GASTROPODA Cuvier, 1798
Ordinul THECOSOMATA Blainville, 1824

Tinind cont de regulile internaționale de nomenclatură zoologică referitoare la prioritate, adoptăm în lucrare numele genului *Spiratella* de Blainville, 1817, în loc de *Spirialis* Bédoux et Souleyet, 1840.

Ordinul MYSIDACEA Boas, 1883
Familia MYSIDAE Dana, 1852

În tabele se va folosi termenul de „Statolith de Mysidae” (G. H. Voicu, în Marinescu, Gheorghian 1973) în loc de:

- *Sphaeridia papillata* sau *S. moldavica* (foraminifere în literatura din România ante 1972),
- *Gobius triangularis* (otolith de pești — Josefina Stancu 1972 — Ghid Paratethys),
- *Ovulites sarmatica* sau *O. caucazica* (oongoane de Characee — Tzankov et al., 1965, în Bulgaria de NW).



Anexa I

TABEL AUTORI (DATE INEDITE ȘI PUBLICATE)

Nr.	Numele	Sectorul și intervalul
1	Babucea Yvonne	10–13/M _{4,5} ; 21/M ₅ ; 28/M ₅ ; 31/M _{4,5} ;
2	Bors Melania	7/M _{3,5} ; 31/M _{4,5} ; 39M _{4,5} ;
3	Bratu Elena	2/OM–M ₁ ; 10/OM–M ₂ ;
4	Corobeia Constanța	1/OM–M ₅ ; 4/M ₄ ; 6/OM, M _{2,4,5} ; 9/OM;
5	Cornea Cornelia	1/OM–M ₅ ; 4/M ₄ ;
6	Drăghinda Ion	32/OM–M ₁ ;
7	Gheorghian Doina	15/M _{4,5} ; 17/M _{4,5} ; 18/M _{4,5} ; 22/M _{4,5} ; 26/M _{4,5} ; 29/M ₄ ; 38/M ₄ ;
8	Gheorghian Mușat	1/M _{1,5} ; 8/M _{1,5} ; 15/M _{4,5} ; 18/OM–M ₄ ; 19/OM–M ₄ ; 29/M ₄ ; 32/OM–M ₁ ; 45/M ₄ ;
9	Gheță Nicolae	14C/OM;
10	Ilieșcu Ovidiu	19/OM–M ₃ ; 36/M _{4,5} ;
11	Ion Jana	27/M ₄ ;
12	Iva Mariana	8/M ₁ ; 14C/OM–M ₄ ; 22/M _{4,5} ;
13	Lubenescu Victoria	1/OM–M ₅ ; 18/M _{4,5} ; 34/M ₅ ; 35/M _{4,5} ;
14	Manea Constanța	3/M _{4,5} ;
15	Mărgărit Eugenia	32/M ₁ ;
16	Mărunteanu Mariana	2/OM–M ₄ ;
17	Nedeleu Ion	6/OM, M _{2,4,5} ; 9/OM;
18	Olteanu Florian	1/M _{2–4} ;
19	Peneș Maria	1/M _{3,4} ; 7/M _{3,5} ; 10/M _{4,5} ; 14C/M _{4,5} ; 22/M ₄ ; 31/M _{4,5} ; 39/M _{4,5} ;
20	Popescu Gheorghe	13/M _{4,5} ; 14AB/OM–M ₁ ; 14C/M _{4,5} ; 24/M ₄ ; 27/M _{3,5} ; 29/M ₄ ; 30/M ₄ ; 31/M ₄ ;
21	Rado Gertrude	7/M ₄ ; 39/M _{4,5} ; 41/M ₄ ; 45/M ₄ ;
22	Stancu Josefina	13/M _{4,5} ; 30/M ₄ ; 31/M ₄ ; 34/M ₄ ; 38/M _{4,5} ;
23	Voiu Gheorghe	8/M ₁ ; 19/M ₁ ; 32/M ₁ ; 36/M _{4,5} ; 37/M ₄ ; 47/M ₅ ;
24	Băluță Crișan	34/M ₄ ;
25	Bărbulescu Aurelia	22/M ₄ ;
26	Bombiță Gheorghe	8/M ₁ ;
27	Chiriac Mircea	45/M ₄ ;
28	Ciupăgea Dumitru	15/M _{4,5} ; 18/M _{3,4,5} ;
29	Chichici Octavian	25/M _{1,4,5} ;
30	Dușa A.	29/M ₄ ;
31	Florei Nicolae	34/M _{4,5} ;



(continuare tabel)

32	Gheorghiu Constantin	31/M _{4,5} ;
33	Ichim Traian	39/M _{1,2,4,5} ;
34	Ionesi Bica	22/M ₅ ; 28/M ₅ ; 40/M _{4,5} ; 46/M ₅ ;
35	Ionesi Liviu	46/M ₅ ;
36	Iorgulescu Teodor	1/M ₂₋₄ ; 5/M ₂₋₅ ; 7M ₃₋₄ ; 10/M _{4,5} ; 14C/M _{4,5} ; 22/M ₄ ;
37	Istocescu Dumitru	26/M _{4,5} ;
38	Kálmár Ion	12B/M _{2,3,5} ;
39	Leu M.	43/M ₅ ;
40	Meszaros Nicolae	15/M _{4,5} ;
41	Mirăuță Orest	2/OM—M ₄ ;
42	Neacsu Gheorghe	16/M ₃₋₅ ;
43	Negoită Florica	42/M ₄ ; 43/M ₅ ;
44	Negulescu-Culda Victoria	14A/M ₁ ; 32/OM—M ₁ ;
45	Nicorici Eugen	15/M _{4,5} ; 23/M _{4,5} ;
46	Odobescu Tamara	34/M _{4,5} ;
47	Orășeanu Teodor	7/M ₅ ;
48	Orbocea Marioara	11/OM—M ₅ ;
49	Paghida-Trelea Natalia	41/M _{4,5} ;
50	Pavnotescu Viorica	35/M _{4,5} ;
51	Popescu Ecaterina	43/M ₅ ;
52	Popovici Alina	Ancușă
53	Radu Aurel	8/M ₁ ;
54	Răileanu Grigore	35/M ₄ ;
55	Saulea Emilia	14A/M ₁ ; 32/M ₁ ;
56	Sagatovici Alexandra	22/M ₄ ; 29/M ₅ ; 33/M ₄ ;
57	Sîrbu Filofteia	21/M _{4,5} ; 22/M ₅ ; 28/M ₅ ;
58	Suraru Nicolae	34/M _{4,5} ;
59	Tudor Mira	14/M _{1,2} ;
60	Ungureanu Larisa	7/M ₁ ; 12A/M ₅ ;
61	Vancea A.	20/M _{4,5} ;
		20/M _{4,5} ;

Anexa 2

Lista punctelor fosiliifere menționate în tabele, cu referințe asupra locului, vîrstei și conținutului faunistic

- F₁ — Badenian superior — Dealul Cleneiu (Tg. Oca)
 — Tesseyre W. (1897)
 — Săndulescu M. (1962)
 — Iubileneșcu Victoria (1974)



- F₂ — Badenian terminal — Crivineni-Buzău
— Popa-Dimian Elena (1962)
- F₃ — Badenian inferior — Melicești, Drajna, Slănic
— Rado Gertrude, Tudor Mira (1971)
- F₄ — Badenian superior — Melicești, Drajna, Slănic
— Rado Gertrude, Tudor Mira (1971)
- F₅ — Eggenburgian — Cornu-Valca Prahovei
— Popovici Alina Ancușa (1971)
- F₆ — Egerian Valea Muerească-vest de Olt (Vilcea)
Motăș I. C., Moiseșeu V. (1974)
- F₇ — Badenian inferior — Staneu Josefina (1974 și date inedite)
— conținut fosilifer : *Carinaria rutschi*, *Clio fallauxi*, *C. carinata*, *Vaginella lapugiensis*, *Amussium cristatum badensis*
- F₈ — Badenian superior — facies pelitic — Staneu Josefina
— date inedite — conținut fosilifer : *Crisia hoernesi*, *C. fistulosa*, *C. canariensis*, *C. elongata*, *C. elburnea*, *Cupuladria haidingeri*, *Mycophum pulchrum*, *M. spendens*, *Gobius francofurtanus*, *G. triangularis*, *Sequoia sternbergii*, *Lileocedrus salicornioides*, *Pinus laricoides*, *Persea girușescui*, *Myrica acuminata*, *M. lignitum*, *Tilia josephina*, *Daphnogene cinnamomeiformis*
- F₉ — Badenian superior - facies litoral-psamitic — Staneu Josefina (1964 și date inedite) — conținutul fosilifer : *Idmonea atlantica*, *I. disticha*, *Schizoporella tenella*, *Sertella cellulosa*, *Lichenopora deformis*, *Serpula fastigiata*, *S. septemcarinata*, *S. quinquesignata*, *S. scalata*, *Spiriorbis spiralis*, *S. heliciformis*, *Ditrupa cornuta*, *Area (A.) diluvii*, *A. (A.) turoniensis*, *Barbatia cothurnata achantis*, *Arcopsis lactea*, *Glycimeris*, *Pecten aduncus*, *P. besseri*, *Chlamys tournali*, *Ch. hilli*, *Ch. elegans*, *Spondylus crassicosta*, *S. goedoropus*, *Plicatula mytilina*, *P. rupestris*, *Lima lima*, *Anomia ephippium rugulosostriata*, *Gryphaea griffoides*, *Ostrea cubitus*, *Chama gryphoides*, *Haliotis tuberculata volvynica*, *Fissurella olypeata*, *F. greca*, *F. italica*, *Emarginula elatirataformis*, *E. cancellata*, *E. profundesulcata*, *Trochidae*, *Cyclostrematidae*, *Adeorbidae*, *Rissoidae*, *Turritellidae*, *Solariidae*, *Vermitidae*, *Cerithidae*, *Eulimidae*, *Pyramidellidae*, *Hipponicidae*, *Capulidae*, *Calyptraeidae*, *Xenophoridae*, *Strombidae*, *Naticidae*, *Cassidae*, *Columbellidae*, *Buccinidae*, *Marginellidae*, *Pleurotomidae*, *Recticidae*, *Scaphandridae*.
- F₁₀ — Eggenburgian inferior — Coruș-Cluj — Răileanu Gr., Negulescu Victoria (1964)
- F₁₁ — Eggenburgian superior — Chechiș — Suraru N. (1968, 1970)
- F₁₂ — Ottangian — Hida — Suraru N. (1958, 1970) și Suraru în Gheorghian M., 1971
- F₁₃₋₁₄ — Badenian inferior-superior — imprejurimile Alba Iulia — Rado Gertrude (1963)

- F₁₅ — Badenian inferior, valea Rodului, Apold (Sibiu)
Lubenescu Victoria (date inedite) — conținut faunistic: *Pycnodonta cochlear navicularis* (Bracechi), *Pecten* sp.
- F₁₆₋₁₇ — Badenian superior-Sarmatian, valea Rodului, Apold (Sibiu)
Lubenescu Victoria în Lubenescu Victoria, Gheorghian Doina (1973)
- F₁₅₋₁₇ — Badenian-Sarmatian, Cacova Sibiului, Poiana Sibiului
Huică I. et al. (1972)
- F₁₈ — Sarmatian — Bradu-Săcădate — Lubenescu Victoria în Lubenescu Victoria, Gheorghian Doina (1971)
- F₁₉ — Badenian-Sarmatian, sudul Transilvaniei între orașul Victoria și Făgăraș — Lubenescu Victoria în Gheorghian Doina et al. (1971)
- F₂₀ — Karpatian — valea Brădet-Perșani — Lubenescu-Zotta Victoria (1965)
- F₂₁₋₂₂ — Badenian-Sarmatian — Țara Oașului — Ionesi Bica, Sagatovici Alexandra (1969)
- F₂₄₋₂₅ — Badenian — Țicău — Iadăra (Baiă Marc) — Saulea Emilia, Bărbulescu Aurelia (1957)
- F₂₆₋₂₉ — Badenian, Sarmatian Bazinul Șimleu (partea sudică) — Nicorici E. (1972)
- F₂₀₋₂₁ — Badenian, Sarmatian — valea Botfei și forajul Tineca—bazinul Crișului Alb — Istocescu D. în Istocescu D., Gheorghian Doina (1971)
- F₃₂₋₃₃ — Sarmatian — Minișul de Sus, Chișindia, Croena, Almaș — Ionesi Bica, Sagatovici Alexandra (1970 b)
— Sagatovici Alexandra, Ionesi Bica (1971)
- F₃₄ — Badenian inferior — nord-vestul masivului Poiana Ruscă — Stanen Josefina în Stanen Josefina, Popescu A. (1970)
- F₃₅ — Badenian inferior — foraj Serel-bazinul Hațeg — Stanen Josefina — conținut faunistic (date inedite): *Vaginella austriaca*, *Amnissium cristatum badensis*, *Nucula fragilis*, *Nucula nucleus*, *Brissopsis ottangensis*, *Myctophum débile*, *Bregmaceros catulus*.
- F₃₆₋₃₇ — Badenian—Sarmatian — Bujtur — Radu-Moisescu Gertrude (1955), Gheorghian C. (1960)
- F₃₈ — Egerian — valea Sălătruc-bazinul Petroșani — Negulescu — Culda Victoria (1972)
- F₃₉₋₄₂ — Eggenburgian — bazinul Petroșani — Răileanu Gr., Negulescu Victoria (1964)
— Negulescu-Culda Victoria (1972)
- F₄₃ — Badenian inferior — Delinesti (Caransebes) — Florei N. (1972)

- F₄₄ — Badenian superior — Delinești (Caransebeș) — Florei N. (1967)
 — Florei N., Băluță C. (1967) — Zorlențul Mare
 — Stancu Josefina (1968) — Delinești-Rugi
 — Lubenescu Victoria et al. (1970) — nord și nord-vest de Caransebeș
 — Florei N. (1973) — Valeapăei-Reșița
 — Florei N. (1974) — Soceni-Reșița
- F₄₅ — Sarmatian — W și NW de Caransebeș
 — Jekelius E. (1944) — Soceni
 — Lubenescu Victoria et al. (1970)
 — Florei N. (1974) — Soceni
- F₄₆ — Badenian inferior — Balta Sărătă-sud Caransebeș
 — Lubenescu Victoria, Pavnotescu Viorica (1970)
 — Pavnotescu Viorica et al. (1973)
- F₄₇₋₅₀ — Badenian superior-Sarmatian — bazinul văii Timișului (sud de Caransebeș) — Lubenescu Victoria, Pavnotescu Viorica (1970)
- F₅₁ — Badenian inferior în facies pelitic și psefitic — sector Seleschi-Iuți-versantul stîng al Dunării — Stancu Josefina în Stancu Josefina et al. (1971)
- F₅₂ — Sarmatian — sectorul Pojejena-versantul stîng al Dunării — Stancu Josefina în Stancu Josefina et al. (1971)
- F₅₃₋₅₅ — Badenian-Sarmatian — nord-vestul bazinului Beiuș
 — Radu Gertrude (1971)
- F₅₆₋₅₈ — Badenian-Sarmatian — platforma moldovenească între valea Siretului și valea Moldovei
 — Ionesi Bica (1968)
- F₅₉ — Sarmatian — platforma moldovenească (între valea Siretului și Prut)
 — Paghida-Trelea Natalia (1969)
- F₆₀ — Sarmatian — platforma moesică (între valea Argeșului și Olt — date de fundament)
 — Negoiță Florica et al. (1969)
- F₆₁₋₆₃ — Badenian — platforma moesică (forajul Islaz pe Dunăre) — Radu Gertrude, Muțiu, R. (1970)
- F₆₄ — Badenian inferior — Dobrogea meridională — Chiriac M. (1960, 1962, 1970).

Anexa 3

**Lista asociațiilor de microfosile conduceătoare din zonele stabilite în depozitele miocene din România
 (numele zonei, autorul, conținutul microfaunistic)**

zona AO₂ — Gh. Popescu — *Cyclammina* aff. *tani*, *Alveolophragmium* cf. *peruvianum*., *Virgulinella* (?) *chalkophillum*., *V. pertusa*

- V. protescui*, *Globigerina ciperoensis*, *G. angulifocinalis*, *Globorotalia (Turborotalia) opima nana*, *G. (T.) opima opima*, *Spirialis* div. sp., *Vaginella* div. sp.
- zona AM_{1a} — Gh. Popescu — *Cribrononion ex gr. dollfusi*, *Cribroelphidium onerosum*, *Globigerinoides ex gr. triloba*
- zona AM_1 — Gh. Popescu — *Cyclammina cancellata*, *Alveolophragmium venezuelanum*, *Dorothia burdigalensis*, *Karreriella victoriensis*, *Sigmoilopsis colomi*, *Lenticulina subpapillosa*, *Planularia galea*, *P. bertrancui*, *P. venezuelana*, *Globigerina angustumbilicata*, *Globigerinoides triloba*, *G. immatura*, *Pleurostomella brevis*, *Ellipsoglandulina vasarhelyii*, *Hidina* div. sp.
- zona AM_3 — Gh. Popescu — *Bathysiphon* div. sp., *Recurvooides renzi*, *Cyclammina* div. sp.
- zona AM_3 — Gh. Popescu — *Spiratella* sp. indet.
- zona AM_4 — Gh. Popescu — *Planularia dentata*, *Globigerinoides triloba*, *G. subsaculifer*, *G. sicanus*, *Praecorbulina ex gr. glomerosa*, *P. transitoria*, *Globoquadrina praecaltispira*, *G. rumana*
- zona AM_5 — Gh. Popescu — *Reophax papillosa*, *Textularia abbreviata*, *T. lanceolata*, *Matanzia palearovi*, *Nodobaculariella gibosula*, *Amphimorphina hauerina*, *Dimorphina akneriana*, *Frontidicularia sculpta*, *Lenticulina echinata*, *Planularia auris*, *P. ostraviensis*, *Vaginulina legumen*, *Orbulina suturalis*, *Globorotalia (Turborotalia) bykovae*, *G. (T.) mayeri*, *Neoeponides schreibersianus*, *Excentrogypsina fuchsii*, *Uvigerina asperula*, *U. macrocariata*.
- zona AM_{6a} — Gh. Popescu — *Radiolaria* div. sp.
- zona AM_6 — Gh. Popescu — *Spiratella* div. sp.; Foraminifere: *Marlinottiella communis*, *Siphonotextularia inopinata*, *S. concava*, *Spiroplectammina mariae*, *Pavonitina styriaca*, *Inaequalina jadwigae*, *Nodobaculariella scorbiculare*, *Bulimina porrecta*, *Velaperlina* div. sp., *Uvigerina bellicostata*
- zona AM_7 — Gh. Popescu — *Anomalinoides dividens*
- zona eu Almaena — Mariana Iva Almaena osnabrugensis, *Cibicides perlucidus*, *Asterigerina bracteata*, *Nonion cf. buxovillarum*, *Discorbis globularis*, *Globigerina cf. trilocularis*
- zona eu *Cribrononion dollfusi*/Ammonia div. sp — Mariana Iva — *Cribrononion dollfusi cestasensis*, *Ammonia beccarii*, *A. indica*, *Porosonion subgranosus*, *Pararotalia auduini*, *Globulina granulosa*, *Pseudopolymorphina spathulata*, *Globulina gibba*, *G. gibba punctata*, *G. gibba fissicostata*, *Nonion orbiculare*
- zona eu *Uvigerina* div. sp. — Mușat Gheorghian — *Bolivina fastigia*, *B. spathulata*, *Bulimina elongata*, *B. ovata*, *B. striata mexicana*, *Chilostomella ozjzeki*, *C. oolina*, *Ellipsoglandulina multicostata*, *Globoquadrina cf. G. dehiscaens*, *Robulus* div. sp., *Uvigerina auberiana*, *U. gallowayi*, *U. proboscidea*, *Vulvulina spinosa miocenica*
- zona eu *Hidina variabilae* — Mușat Gheorghian — *Allomorphina macrostoma*, *Chilostomella ozjzeki*, *C. oolina*, *Globobulimina pacifica*, *Hidina klaszi*, *H. sibiensis*, *H. variabilae*

- zona cu *Cyclammina* div. sp./*Bathysiphon* div. sp. — *Mariana Iva* — *Ammodiscus incertus*, *Bathysiphon flavidus giganteus*, *B. rufus*, *Bulimina pupoides*, *Cyclammina canerineriensis*, *C. cushmani*, *C. exensis*, *C. pacifica*, *C. pilvoensis*, *C. tani kamtsatkensis*, *Dendrophrya latissima*, *Dentalina communis*, *Dorothyia paupercula*, *Gyroidina girardiana*, *Hidina variabilae*, *Planulina cassis*, *Pulvinulinella mexicana*, *Siphonina reticulata*
- zona cu *Uvigerina bononiensis* div. ssp. — *Mușat Gheorghian* — *Circus wilsoni*, *Cribrostomoides cf. C. columbiensis moravica*, *Cyclammina karpatica*, *Globigerinoides sicanus*, *Haplophragmoides rasiceki*, *Uvigerina bononiensis bononiensis*, *U. bononiensis primiformis*.
- zona cu Nodosariidae — *Doina Gheorghian* — *Bigenerina floridana*, *Karreriella chilostoma*, *Martinottiella communis*, *Nodosaria pyrula*, *N. longiscata*, *N. hirsuta*, *Dentalina adolphina*, *Dimorphina tuberosa*, *Lenticulina clericii*, *L. cultrata*, *L. vortex*, *Planularia auris*, *Amphimorphina hauerina*, *Globogaudrina altispira*, *Orbulina bilobata*, *O. suturalis*, *Praeorbulina glomerosa*, *P. transitoria*, *Pleurostomella alternans*, *Ehrenbergina serrata*
- zona cu *Pseudotriplasia* div. sp. — *Doina Gheorghian* — *Spiroplectammina carinata*, *Pseudotriplasia elongata*, *P. robusta*, *Sphaeroidina bulloides*, *S. variabilis*, *Reussella aperta*, *Uvigerina aculeata*, *U. macrocarinata*, *Globigerina bradyi*, *Orbulina suturalis*
- zona cu *Pavonitina* div. sp. — *Doina Gheorghian* — *Siphonotextularia concava*, *S. inopinata*, *Pavonitina styriaca*, *Bolivina marginata*, *Bulimina aculeata*, *Trifarina angulosa*, *Valvularia complanata*, *Siphonina reticulata*, *Asterigerina planorbis*, *Valapertina indigena*, *V. iorgulescui*
- zona cu *Bulimina* div. sp./*Bolitina* div. sp./*Valvularia complanata* — *Doina Gheorghian* — *Lagena elongata*, *Sphaeroidina bulloides*, *Bolivina marginata*, *Bulimina aculeata*, *B. subulata*, *Trifarina angulosa*, *Valvularia complanata*, *Cibicides boueanus*, *Cassidulina neocarinata*, *Pullenia bulloides*, *Heterolepa du Templei*, *Melonis pompilioides*, *Noeglundina elegans*
- zona cu Miliolidae div. gen. sp./*Ammonia beccarii* — *Doina Gheorghian* — *Spiroloculina ex gr. S. regularis*, *Nodobacularia cf. N. sulcata*, *Vertebralina faveolata*, *Quinqueloculina akneriana*, *Q. juleana*, *Q. seminula*, *Triloculina cf. T. pyrula*, *Miliolinella* sp., *Hauerina ornatissima*, *Articulina* cf. *A. tenella*, *Reussella aperta*, *Neoconorbina terquemi*, *Asterigerina planorbis*, *Ammonia beccarii*, *A. sikokuensis*, *Elphidium crispum*
- zona cu *Anomalinooides badenensis*/*A. predcarpaticus* — *Doina Gheorghian* — *Anomalinooides badenensis*, *A. predcarpaticus*, *Articulina problema*, *A. multibilobata*, *Triloculina confirmata*, *Glabratella imperatoria*
- zona cu *Elphidium* div. sp. — *Yvonne Babucea*, *Doina Gheorghian* — *Articulina problema*, *Elphidium hauerinum*, *E. josephinum*, *E. reginum*, *Quinqueloculina circularis*, *Q. costata ornata*, *Q. reussi*

- zona cu *Porosononion* div. sp. — Y vonne Babucea, Bică Ionesi — *Elphidium incertum*, *E. rugosum*, *E. subumbilicatum*, *Porosononion markobi*, *P. subgranosus*, *P. subgranosus hyalinus*, *P. subgranosus aragviensis*, *Ammonia beccariei*
- zona cu *Spenolithus ciperoensis* — N. Ghetă — *Reticulofenestra insignita*, *Coccolithus abisectus*, *Dictyococcites onustus*, *D. calidus*, *D. scisuous*, *Discolithina multipora*, *Blackites amplius*, *Helicopontosphaera truncata*, *Reticulofenestra octissimilis*, *Sphenolithus ciperoensis*
- zona cu *Operculina complanata* — Gh. Voicu — *Operculina complanata*, *Elphidium ungeri*, *Ehrenbergina spinosissima*, *Cymbalopora squamosa*, *Buliminella elegantissima*, *Bulimina ovata*, *Eponides nanus*, *Uvigerina tenuistriata*, *Clavulinoides szaboi*, *Cyclammina incisa*, *C. gracilis*, *Bigenerina ciscoensis*, *Spiratella umbilicata*, *S. andrussowi thchokrakense*
- zona cu *Leptodermella* div. sp. — Mariana Iva — *Leptodermella salsa*
- zona cu Radiolari și Silicoflagelate — P. Dumitriță — *Cannartus ex gr. laticonus*, *Porodiscus bergontianus*, *Circodiscus pantanellii*, *Rhopalastrum lagenosum*, *Eucyrtidium cf. cienkowskii*, *Cyrtocapsella tetrapera*, *Lithopera renzae*, *Stichocorys wolffii*, *Corbisema triacantha*, *Dictyocha fibula*, *Distephanus cruz*, *D. stauracanthus*, *D. bachmani*, *Mesocena elliptica*, *Paradictyocha apiculata*, *P. septenaria*, *Halicalyptra miltiadei*, *H. picassoi*, *Pseudorocella corona*
- zona cu *Spiratella* div. sp. — Doina Gheorghian — *Spiratella hospes*, *S. stenogyra*, *S. tarchanensis*, *S. subtarchanensis*, *S. konkensis*
- zona cu Mysidae — Gh. Voicu — Statolite de Mysidac, *Semseyea lamellata*, *Triloculina oblonga*, *Articulina majori*, *Nonion commune*, *Quinqueloculina subrotundata*, *Spaniodontella intermedia*, *Teinostoma woodi*.

BIBLIOGRAFIE

- Berggren W. A. (1972) Cenozoic biostratigraphy and paleobiogeography of the North Atlantic. *Initial Rept. Deep Sea Drilling Project XII*, Washington.
- Blew H. (1969) Late middle Eocene to Recent planktonic foraminiferal biostratigraphy. *Proc. first Intern. Conf. Plankt. microfoss.* Geneva, Leiden.
- Bombiță Gh. (1973) Macroforaminifères des Carpates Orientales: leur position et leur signification stratigraphique. *Rev. Geol. Helv.* 66/2, Bâle.
- Ghiriță M. (1960) Asupra unor noi iviri de Tortonian în Dobrogea de sud. *Stud. cerc. geol. Acad. R.P.R.* VI/1, București.
- (1962) Asupra unor iviri de Cretacic și Tertiār la vest de localitatea Ovidiu (Reg. Dobrogea) în zona Valea Adincă. *Comunic. Acad. R.P.R.* XII/4, București.
- (1970) Răspindirea și faciesurile Tortonianului în Dobrogea de sud. *D.S. Inst. Geol.* LVI/4, București.

- Cică I., Seneš J. (1968) Sur la position du Miocène de la Paratethys Centrale dans le cadre du tertiaire de l'Europe. *Geol. Zbor. Geol. Carp.* XIX/1, Bratislava.
- Ciupagă D., Paucă M., Ichim Tr. (1970) Geologia depresiunii Transilvaniei. Ed. Acad. R.S.R. Bucureşti.
- Clichici O. (1973) Stratigrafia Neogenului din estul bazinului Șimlen. Ed. Acad. R.S.R., Bucureşti.
- Duşa A. (1969) Stratigrafia depozitelor mezozoice și terțare de la Căprioara-Coșteini de Sus. Ed. Acad. R.S.R. Bucureşti.
- Florei N. (1967) Asupra faunei tortoniene de la Delineşti (Banat) (notă preliminară). *Stud. Univ. Babeş-Bolyai, ser. Geol.-Geogr.* 2, Cluj.
- Băluță G. (1967) Date noi asupra faunei tortoniene de la Zorlențul Mare (Banat). *Stud. cerc. geol., geof., ser. Geol.* 12/1, Bucureşti.
- (1970) Asupra prezenței Tortoniangului inferior la Delineşti (Banat). *Stud. Univ. Babeş-Bolyai, ser. Geol.-Mineralog.* 2/1970, Cluj.
 - (1972) Stratigrafia și fauna Neogenului de pe bordura nordică și nord-estică a Munților Semenic (Regiunea Zorlențul Mare-Delineşti-Rugă). Univ. Bucureşti Rez. teză doctorat (manuscris).
 - (1973) Date noi asupra microfaunei și a Minutinilor din faciesul calcaros al Tortonianului de la Valeapai (Banat). *Stud. Univ. Babeş-Bolyai, ser. Geol.-Mineralog.* 2/1973, Cluj.
 - (1974) Asupra conținutului fosiliifer al Badenianului și Sarmatiului de la Soceni (valea Poltișoanci), Banat. *Stud. Univ. Babeş-Bolyai, ser. Geol.-Mineralog.* 1/1974, Cluj.
- Georgescu D., Georgescu Floriana, Georgescu Lenuta, Gheorghian Mihaela, Gheorghian M., Mihăilescu C., Mihăilescu Liliana (1970) Contribuții la stratigrafia Miocenului de pe valea Arieșului (Transilvania de vest). *D. S. Inst. Geol.* LIV/4, Bucureşti.
- Gheorghian Mihaela-Doina, Lubeneșcu Victoria, Olteanu Il. (1971) Contribuții la stratigrafia Miocenului din sudul Transilvaniei. *D. S. Inst. Geol.* LVII/4, Bucureşti.
- Gheorghian Mușat (1971) Sur quelques affleurements de dépôts ottomaniques de Roumanie et sur leur contenu microfaunique. *Mem. Inst. Geol.* XIV, Bucureşti.
- Gheorghiu C. (1960) Étude géologique de la Vallée du Mures, entre la Dova et la Dobru (Monts Apuseni et Bassin du Streiul). *An. Com. Geol.* XXVI-XXVIII — résumés, Bucureşti.
- Huică I., Lubeneșcu Victoria, Clemens Autoanela, Cehlarov Aura, Birlea Lidia (1972) Date noi asupra geologică regiunii Ocna Sibiу-Alba Iulia—Sebeș (sud-vestul bazinului Transilvaniei). *Stud. cerc. geol., geof., geogr., ser. Geol.* 17/2, Bucureşti.
- Ichim Tr., Popa M., Costea I., Lebenson C., Voineac V. (1967) Contribuții la stratigrafia mio-pliocenă a depresiunii pannoniene pe teritoriul R.S.R. *Asoc. Geol. Carp. Balk.* VII, Rep. Strat. Belgrad.
- Ioncsí Bica (1968) Stratigrafia depozitelor miocene de platformă din Valea Siretului — valea Moldovei. Ed. Acad. R.S.R. Bucureşti.
- Sagatovici Alexandra (1969) Microfauna depozitelor tortoniene și bugloviene din bazinul Oaș. *An. Univ. Bucureşti XVIII, Geologie*, Bucureşti.
 - (1970 a) Microfauna depozitelor sarmațiene din bazinul Oaș. *Stud. cerc. geol., geof., geogr., ser. Geol.* 15/1, Bucureşti.

- (1970 b) Contribuții la studiul microfaunei depozitelor sarmatiene din bazinul Zarandului. *An. St. Univ. Cura* (s.n.) II/b (XVI), Iași.
- Ionesi L. (1971) Sur la limite Bessarabien-Kersonien dans la Dobrogea du Sud. *An. St. Univ. Cura* II/b (XVII), Iași.
- Iorgulescu Th. (1953) Contribuții la studiul micropaleontologic al Miocenului superior din Muntenia de est (Prahova și Buzău). *An. Com. Geol.* XXVI, București.
- Niculescu N. I., Peneș Maria (1962) Vîrstă unor masive de sare din R.P.R. Ed. Acad. R.P.R. București.
- Istocescu D., Gheorghian Mihaela-Doina (1971) Date micropaleontologice privind Miocenul superior din bazinul Crișului Alb. *D. S. Inst. Geol.* LVII/3, București.
- Iva Mariana (1971) Microfaune de la coupe type des Couches de Coruș. *Mém. Inst. Géol.* XIV, București.
- Kalmár I. (1968) Contribuții la studiul Neogenului din depresiunea getică. *Stud. cerc. geol., geof., geogr., ser. Geol.* 13/1, București.
- Lubenescu Victoria (1970) Asupra prezenței unor puncte fosilifere pe valea Cașoșului (zona Bradu) și la est de Săcădate. *D.S. Inst. Geol.* LVII/4, București.
- Pavnotescu Viorica (1970) Contribuții la stratigrafia Neogenului din bazinul Caransebeș. *D. S. Inst. Geol.* LVI/1, București.
- Sirbu Vișofteia, Odobescu Tamară (1970) Contribuții la stratigrafia Neogenului din regiunea Reșița-Caransebeș-Lugoj (Banatul de est). *D. S. Inst. Geol.* LV/1, București.
- Gheorghian Mihaela (1971) Asupra prezenței Buglovianului în sudul depresiunii Transilvaniei (sud-est de Sibiu). *D. S. Inst. Geol.* LVII/4, București.
- (1973) Observații biostratigrafice pe valea Rodului (vest de Sibiu). *D. S. Inst. Geol.* LXI/4, București.
- Cornea Cornelia (1974) Considerații asupra vîrstei unor complexe gipsifere din Miocenul din Moldova (valea Bistriței-valea Cașinului). *D. S. Inst. Geol.* LX/4, București.
- Corobea Constanța, Čehlarov Aura, Cornea Cornelia (1975) Date noi asupra calcarului cu *Lithothamnium* de la Clenici (Miocenul subcarpatic din Moldova). *D. S. Inst. Geol. Geof.* LXI/4, București.
- Marinescu V.I., Gheorghian M. (1973) Informare asupra Reuniunii a V-a a Grupului de lucru pentru Paratethys ~ Mai-Iunie 1972, România. *D. S. Inst. Geol.* LIX/4, București.
- Martin E. (1971) Standard Tertiary and Quaternary calcareous nannoplankton zonation. *Proc. of the „Planktonic Conference Roma 1970”* Roma.
- Mărunteanu Mariana (1974) Notă preliminară asupra stratigrafiei molasei miocene din regiunea Iliegiu-Poiana–Orașul Gh. Gheorghiu-Dej. *D. S. Inst. Geol.* LX/4, București.
- Meszáros N., Nicorel E. (1962) Contribuții la stabilirea limitei dintre Tortonian și Sarmatian între Cluj și Turda, cu privire generală asupra conținutului și poziției stratigrafice a Buglovianului. *Stud. cerc. geol., geof., geogr., ser. Geol.* VII/1, București.
- Mirăuță O. (1969) Stratigrafia și structura Miocenului subcarpatic din regiunea Moinești-Tazlău. *D. S. Com. Stat. Geol.* LIV/3, București.
- Motaș I.C., Moisescu V. (1975) Fauna de moluște terțiare din Valea Muereașca (depresiunea getică) și importanța ei biostratigrafică. *D. S. Inst. Geol. Geof.* LXI/3, București.
- Neacsu Gh. (1969) Bentonitele din regiunea Alba Iulia–Ocna Mureș, Ed. Acad. R.S.R. București.

- Negoită Florica, Popescu Ecaterina, Leu M. (1969) Biostratigrafia depozitelor sarmatiene din platforma moeziacă. *Petrol și Gaze XX/2*, București.
- Rosa Andorina, Vasilescu Eliza (1971) Torionianul din partea de nord-est a platformei moesice. *Petrol și Gaze XXII/10*, București.
- Negulescu-Culda Victoria (1972) Noi contribuții privind depozitele burdigașiene din bazinul Petroșani (Prahova-Sălătruc). *An. Univ. București XXI*, București.
- Nicorici E. (1972) Stratigrafia Neogenului din sudul bazinului Simleu. Ed. Acad. R.S.R. București.
- Orășeanu Th. (1968) Contribuții la studiul depozitelor sarmatiene din sinclinalul Melicești-Poiana Trestie. *D. S. Com. Stat. Geol. LIV/1*, București.
- Orbocea Mărișora (1972) Stratigrafia depozitelor miocene și pliocene dintr-o valoare Tăria și valoare Lunca-vățului (Județul Vilcea). *Inst. Petr. Gaze Geol. Fac. Geol. Tehnică — rezumat teză de doctorat* — manuscris. București.
- Păghida-Trelea Natalia (1969) Microfauna Miocenului dintr-o Siret și Prut. Ed. Acad. R.S.R. București.
- Pavăntescu Viorica, Iliescu O., Radu A. (1973) Asociația faunistică tortoniană de la Balta Sărătă, județul Caraș-Severin. *D. S. Inst. Geol. LIX/4*, București.
- Popa-Dimian Elena (1962) Contribuții la studiul paleontologic al Tortonianului din Subcarpați (Crivineni—Valea Muscelului) cu privire specială la fauna stratelor cu *Venus konkensis*. *D. S. Inst. Geol. XI.VII*, București.
- Popescu Gh. (1970) Planktonic Foraminiferal Zonation in the Dej Tuff Complex. *Rév. Géol. Géophys. Géogr. ser. Géol. 14/2*, București.
- (1975) Studiul foraminiferelor din Miocenul marin din NW Transilvania. *Mem. Inst. Geol. Geof. XXIII*, București.
- Papovici Alina Ancașa (1971) Contribution à la connaissance de la faune burdigallienne de Cornu (valea Prahovei). *Rév. Roum. Géol., Géophys. Géogr. sér. Géol. 15/1*, București.
- Rado Gertrude (Moisescu) (1955) Stratigrafia și fauna de moluște din depozitele tortoniene și sarmatiene din regiunea Buzău. Ed. Acad. R.P.R., București.
- (1963) Contribuții la cunoașterea faunei tortoniene din regiunea Alba Iulia. *An. Univ. București, ser. St. Nat. Geol. Geogr. 37/XII*, București
 - Muțiu R. (1970) Studiul faunei tortoniene din forajele de la Islaz. *An. Univ. București, ser. Geol. XIX*, București.
 - (1971) Asupra faunei miocene din bazinul Beiuș (Badenian). *An. Univ. București*, ser. Geol. XX, București.
 - Tudor Mira (1971) Corrélation du Tortonien des Synclinaux de Slănic, Drajna et Melicești avec d'autres bassins de la Paratethys. *Földt. Közl. 101/1971*, Budapest.
- Răileanu Gr., Negulescu Victoria (1964) Studiul comparativ al faunei burdigalliene din bazinul Transilvaniei și bazinul Petroșani. *An. Com. Geol. XXXIV*, București.
- Sagatovică Alexandra (1968) Studiul geologic al părții de vest și centrale a bazinului Oaș. *Stud. tehn. econ. Inst. Geol. ser. J. 5*, București.
- Ionesci Bica (1971) Studiul depozitelor sarmatiene din regiunea Mințișul de Sus-Chișindia (bazinul Zarandului). *An. Univ. București XX*, București.
- Săulea Emilia, Bărbulescu Aurelia (1957) Contribuții la cunoașterea Minceștilor din regiunea Ticești-Iadăra, bazinul Baia Mare. *An. Univ. Parhon 15*, București.
- Popescu Ileana, Săndulescu Jana (1969) Atlas litofacial, VI-Neogenul. *Inst. Geol. București*.

- Sandulescu M. (1962) Stratigrafia și tectonica molasei miocene din regiunea Valea Mare-Berzunți-Onoști, *D.S. Com. Geol.* XLVI, București.
- Sebeș J. et al. (1971) Korrelation des Miozäns der Zentralen Paratethys (stand 1970), *Geol. zhurn. Geol. Carp.* XXII/1, Bratislava.
- Slănic (Marinescu) Josefina, Hînculov Luciana, Turealet L. (1962) Contribuții la studiul faunei tortoniene din vestul Olteniei, *D. S. Inst. Geol.* XLVII, București.
- (1964) Reprezentanți ai clasei Amphineura în Miocenul din Oltenia, *D. S. Inst. Geol.* I/1, București.
 - Andreescu Eugenia (1968) Fauna tortoniană din regiunea Rugi-Delnești (bazinul Caransebeș), *Stud. cerc. geol., geof., geogr., ser. Geol.* 13/2, București.
 - (1970) Otolitele sărmațiene de la Soceni (Banat-România), *D. S. Inst. Geol.* LVII/3, București.
 - Popescu A. (1970) Studii biostratigrafice și mineralogice asupra formațiunii lortoniene de pe versantul nord-vestic al masivului Poiana Ruscă (Carpații Meridionali), *D. S. Inst. Geol.* LVII/4, București.
 - Gheorghian Doina, Popescu A. (1971) Studii stratigrafice asupra Miocenului din versantul nordic al Dunării, între Dubova și Pojejena (Carpații Meridionali), *D. S. Inst. Geol.* LVII/4, București.
 - (1974) Asociația de heteropode și pteropode din depresiunea getică — Județul Mehedinți (Badenian inferior), *D. S. Inst. Geol.* LX/3, București.
- Sutaru N. (1958) Contribuții la cunoașterea macrofaunei stratelor de Hida, *Stud. Univ. Babeș-Bolyai* 11/5, Cluj.
- (1968) Contribuție la cunoașterea macrofaunei argilelor de Chechiș, *Stud. Univ. Babeș-Bolyai, ser. Geol.-Geogr.* 2, Cluj.
 - (1970) Stratigrafia depozitelor terțiare din bazinul inferior al văii Almașului (NV Transilvania) cu privire specială asupra celor miocen-inferiore, *Univ. București, Fac. Geol.-Geogr. Teză de doctorat* - manuscris.
- Tesseyre W. (1897) Zur geologie der Bacauer Karpalhen, *Jahrb k.k. geol. R.A.*, Wien.
- Tudor Mira (1955) Stratigrafia și fauna depozitelor tortoniene și sărmațiene dintr-o județ Olteț, Ed. Acad. R.P.R. București.
- Tzankov V., Tranev P., Voptzarova J., Mihailova-Jovcheva P., Dikova P., Trijonova E. K., Baynova E. N., Budurov K. (1965) Les associations microfossiles en Bulgarie, *Direcț. Gen. Geol. Inst. Scient. Rech. Geol.*, Sofia.
- Vancea A. (1960) Neogenul din bazinul Transilvaniei, Ed. Acad. R.P.R. București.
- Ungureanu Larisa (1960) Asupra corălării depozitelor mio-plioceene din bazinul Transilvaniei pe bază de microfaună, *Stud. cerc., geol., geogr., ser. Geol.* V/4, București.
- Zotta Victoria (1965) Contribuții la stratigrafia Miocenului din sudul Munților Perșani, *D. S. Com. Geol.* LI/1, București.
- *** (1972) Guide de l'excursion de la V^e réunion du groupe de travail pour la Paratethys Néogène de la dépression de Transilvanie, du Banat et du Bassin dacique, *Guide 9, Inst. Geol.*, București.

SUR LA BIOSTRATIGRAPHIE DES DÉPÔTS MIOCÈNES DE ROUMANIE (STADE 1974)

(Résumé)

A l'occasion de la séance du groupe de travail roumain pour la stratigraphie du Néogène le 30 janvier 1974, l'initiative a été prise de rédiger un tableau avec les données connues jusqu'à présent en ce qui concerne la biostratigraphie du Miocène de Roumanie, à partir de sa microfaune. Des spécialistes des instituts de recherches, de l'Université et de l'Entreprise géologique de prospections ont été sollicités, qui ont offert du matériel publié et surtout de données inédites, qui sont à la base des thèses de doctorat, soutenues ou en train d'être élaborées.

Dans les tableaux de corrélation, on fait référence au nombre d'ordre de la liste des auteurs (annexe 1) et dans celle-ci — au nombre de la colonne (du secteur), ensuite à l'intervalle pour lequel les données ont été présentées et, éventuellement, à l'ouvrage publié. Les nombres des secteurs étudiés (localisés sur la carte du pays) correspondent à ceux des colonnes litho-biostratigraphiques. Sur les mêmes colonnes on a placé certains points ou niveau fossilifères, dont on a présenté — dans l'annexe 2 — des détails (auteur, ouvrage, lieu, âge et, dans le cas des références inédites, la liste sommaire de la faune).

Au nom des auteurs, on remercie les collègues ayant participé aux discussions en apportant de données inédites.

Déterminations taxinomiques

par Mușat Gheorghian

Etant donné que certains auteurs font usage — pour la biostratigraphie du Miocène de Roumanie — de fossiles index, dont l'encaissement taxinomique est encore en train d'être étudié, nous allons offrir ici quelques précisions.

Ordre FORAMINIFERA Eichwald, 1840

Genre Anomalinoïdes Brötzén, 1842

Anomalinoïdes predcarpathicus (Aisenstat)
(Pl. 1, fig. 1–3; coll. Inst. Geol. P. 101564)

Anomalina grosserugosa Güm b e l : H. R. Brady, 1884, Rept. Chaleng Exped. XI, p. 673, pl. XCIV, fig. 4, 5 (not Güm b e l, 1870);

Cibicides predcarpathicus Aisenstat : M. Serova, 1955, Stratigrafia i fauna Foraminif. Miotem otloj. Predearp., p. 382, pl. XXVIII, fig. 3–4;

Anomalinoïdes dividens Luczkowska ; E. Luczkowska, 1967, Rocz. Polsk. Tow. Geol. XXXVII/2, p. 238, pl. IX, fig. 1–6; texte fig. 6–7.

Observations : Vu son contour lobé, *Anomalinoïdes predcarpathicus* a été déterminée, par certains chercheurs, comme *Cibicides lobatulus*. Les commentaires de Brady, Serova et Luczkowska montrent clairement qu'au niveau basal du Sarmatien cette espèce apparaît avec une allure morphologique tout à fait distincte par rapport à celle de *C. lobatulus* (rapport diamètre/hauteur chez *A. predcarpathicus* 2/1 et chez *C. lobatulus* 5/1, d'après Serova ; chez *C. lobatulus* le rebord périphérique est tranchant et chez *A. predcarpathicus*-arrondi). De l'avis de Luczkowska, *A. badenensis* (d'Orbigny) est une espèce en quelque mesure apparentée à *A. predcarpathicus*, dont elle s'écarte pourtant par la disposition évolutive des chambres, visible



sur les deux faces du test (ventrale et dorsale), la paroi plus épaisse et opaque, avec des perforations grossières, et par l'aperture en position périphérique et plus petite que celle de *A. predcarpathicus*.

Famille GLOBOROTALIIDAE Cushman, 1927

Genre *Globorotalia* Cushman, 1927

Sous-genre : *Turborotalia* Cushman et Bermudez, 1949

Globorotalia (T.) siakensis europea n.ssp. M. Gheorghian

Globigerina siakensis L. e Roy, 1939, Natnuck. Tjed. Nderl. Indië, XCIX, p. 262, pl. IV, fig. 20—22; *Globorotalia mayeri* Cushman et Ellisor-L. Weiss, 1955, p. 4, p. 306, 312, pl. III, fig. 12—14; H. M. Bölli, 1957, p. 18, pl. XXVIII, fig. 4a-c; W. H. Blow, 1959, p. 214, pl. XVIII, fig. 116 a-c; T. Saito, 1963, p. 177—178; pl. LIII, fig. 5 a-c; J. J. Bizon, 1965, p. 247, pl. IV, fig. 4 a-c; McTavish R. A., 1966, pl. IV, fig. 27, 32—33;

Globigerina mayeri (Cushman et Ellisor) — C. W. Draeger, 1956, pl. I, fig. 14 a-c; *Globorotalia siakensis* (Le Roy); J. P. Kennett, 1973, Init. Rept. DSDP, XXI, p. 593, pl. XIV, fig. 1, 2.

Holotype : Pl. I, fig. 4—6, Coll. Inst. Géol., P. 100451.

Paratypes : Coll. Inst. Géol. P. 101557.

Lieu type : vallée de la Tâlmăcel-Tâlmaciu, Sibiu.

Etage type, niveau type : Oltiungien — domaine de la Paratethys, zone à *Globigerina ciperoensis ottnangensis/Globorotalia (T.) siakensis europea*.

Description : test à périphérie ronde et contour faiblement lobé à cause des sutures dépressions ; l'échantillon a jusqu'à six chambres sur le dernier tour de spire, rangées dans une spirale aplatie. L'aperture, munie d'une lèvre, est située, à la base de la dernière chambre. Elle commence depuis la zone ombilicale et va jusqu'au voisinage de la zone équatoriale du test.

Ressemblances et dissemblances : *Globorotalia (T.) siakensis europea* a des caractères morphologiques en commun autant avec *G. (T.) mayeri* qu'avec *G. (T.) siakensis*. Ces ressemblances concernent le type d'enroulement, le nombre de chambres sur le dernier tour de spire, le contour lobé du test. Mais, elle s'écarte des espèces mentionnées par la forme et les dimensions du foramen (fig.).

Répartition géographique et stratigraphique : cette espèce est mentionnée, sous le nom de *G. mayeri*, des dépôts du „Helvétien inférieur” de Roumanie, de l'Oligocène supérieur — Formation de Cojimar, Cuba ; Oligocène moyen-Miocène moyen, Pérou de NW ; Oligo-Miocène les formations de Cipero et Langua de Trinidad ; Chattien-Aquitainien — Malaita, groupe des îles Solomon ; Aquitanien-Tortonien du Japon ; Bourdigalien de Djebel si-Ameur, de Maroc ; Helvétien de Parga — Grèce ; des formations de Pozon et Tocuyo de Venezuela — Miocène, également de la séquence Miocène inférieur-moyen du forage 206 DSDP — USA, exécuté dans M. Tasmanie. Nous avons rencontré de nombreux exemplaires de *G. (T.) siakensis europea* dans les dépôts ottnangiens en faciès marin de la Transylvanie de S et de l'extérieur des Carpates de la Moldavie.

Famille GLOBIGERINIDAE Carpenter, Parker et Jones, 1862

Genre *Globogaudrina* 1947

Globogaudrina cf. G. dehiscens (Chapman, Parr et Collins)

(Pl. I, fig. 7—9 ; coll. Inst. Géol. P. 101555).

Globorotalia dehiscens Chapman, Parr et Collins, 1934, p. 569 ; pl. XI fig. 36 a-c.

Observations : vu que les spécimens provenant des dépôts d'âge eggenburgien de Roumanie sont moins grands que ceux du type, nous les attribuons à cette espèce et les considérons et tant que formes endémiques.



Classe GASTROPODA Cuvier, 1798

Ordre THECOSOMATA Blainville, 1824

En tenant compte des règles internationales de nomenclature zoologique sur la priorité, nous allons adopter dans cet ouvrage le nom du genre *Spiratella* de Blainville, 1817, pour remplacer celui de *Spitellis* Edouard et Souleyant, 1840.

Ordre MYSIDACEA Boas, 1883

Famille MYSIDAE Dana, 1852

Dans cet ouvrage on va employer le terme de „Statolith de Mysidae” (G. Voicu, dans Marinescu, Gheorghian, 1973), en échange de :

- *Sphaeridium papillata* ou *S. moldavica* (foraminifères dans la littérature de Roumanie ante 1972).
- *Gobius triangularis* (otolithes de poissons — Josefina Stanaru, 1972, guide Paraléthys).
- *Oeulites sarmatica* ou *O. caucazica* (oogons de characées, Tzankov et al., 1965, dans la Bulgarie de NW).



Note explicative pour les tableaux de corrélation

1—47 nombre d'ordre de la colonne litho-biostratigraphique, à savoir du secteur

1—61 nombre d'ordre des auteurs

OM—Ms intervalles pour lesquels on dispose de détails paléontologiques



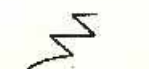
intervalle dont on n'a pas trouvé, pour l'instant, de la microfaune



intervalle non-étudié



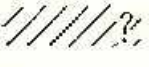
discordance



passage latéral de faciès



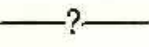
dépôts arté-miocènes



lacune de sédimentation, à valeur chronostratigraphique non-précisée



dénominations révisées dans notre ouvrage



F_{1—64} dans le tableau — emplacement du niveau ou du point à macrofossiles

dans le texte (annexe 2) — localisation géographique, position chronostratigraphique, indications bibliographiques ou, pour les données inédites, le nom de l'auteur et le contenu fossilière.

limite inférieure (ou supérieure) de zone micro à position indéterminable.



PLANSA I

v

1:

PLANSĂ I

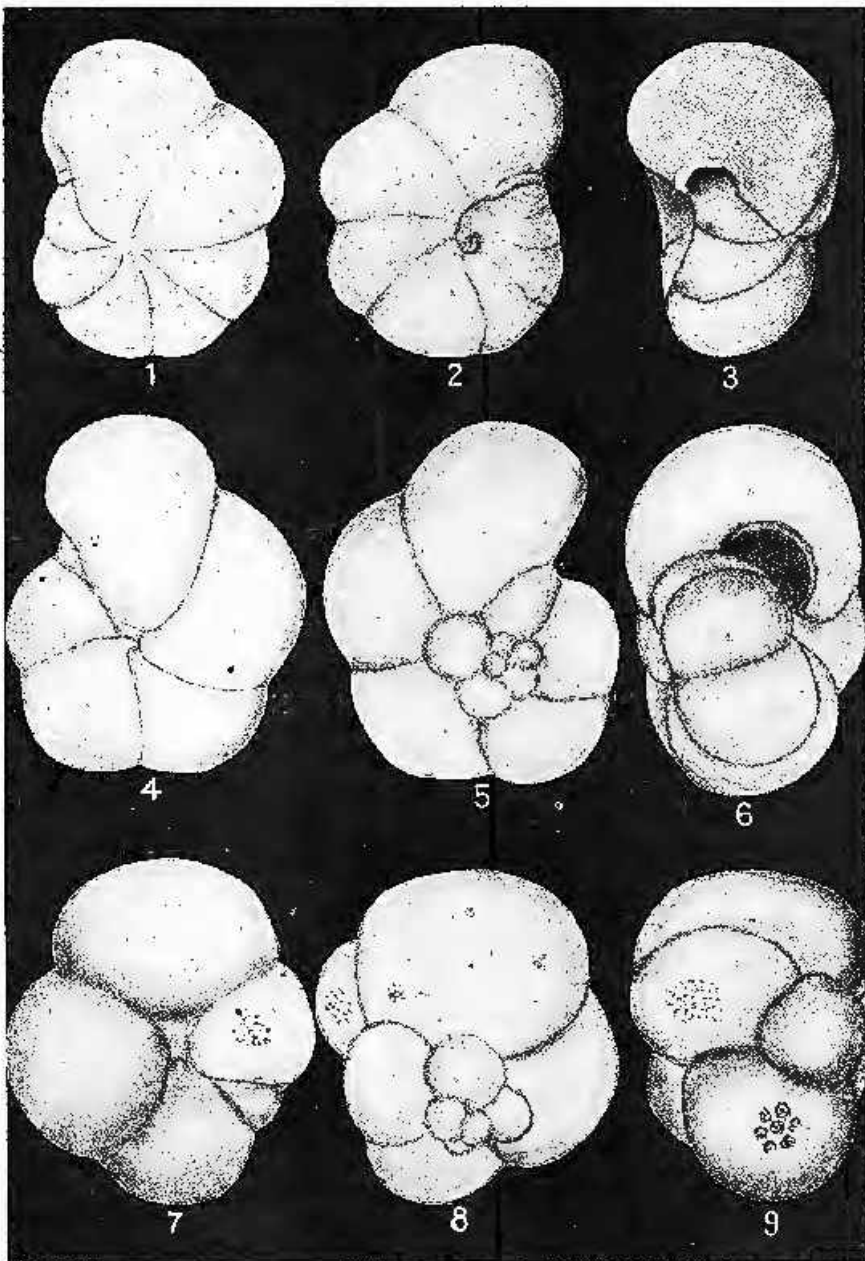
Fig. 1-3. — *Anomalinotus predecarpaticus* (Aisenstat).

Fig. 4-6. — *Globorotalia stakensis europea* n. ssp. M. Gheorghian.

Fig. 7-9. — *Globogaudrina cf. G. dolosens* (Chapman, Parr et Collings).



M. GHEORGHIAN et al. Biostratigrafia depozitelor miocene din România
Pl. I.



Institutul de Geologie și Geofizică. Dări de seamă ale ședințelor, vol. LXI/4.



Institutul Geologic al României

EXPLICATION DE LA PLANCHE

Planche II

R. S. Roumanie. Emplacement des dépôts négatifs étudiés au point de vue paléontologique.
1, l'avant-fosse des Carpates; 2, dépressions et bassins inter- et intracarpaciques; 3, plate-formes extraeuropaciques.

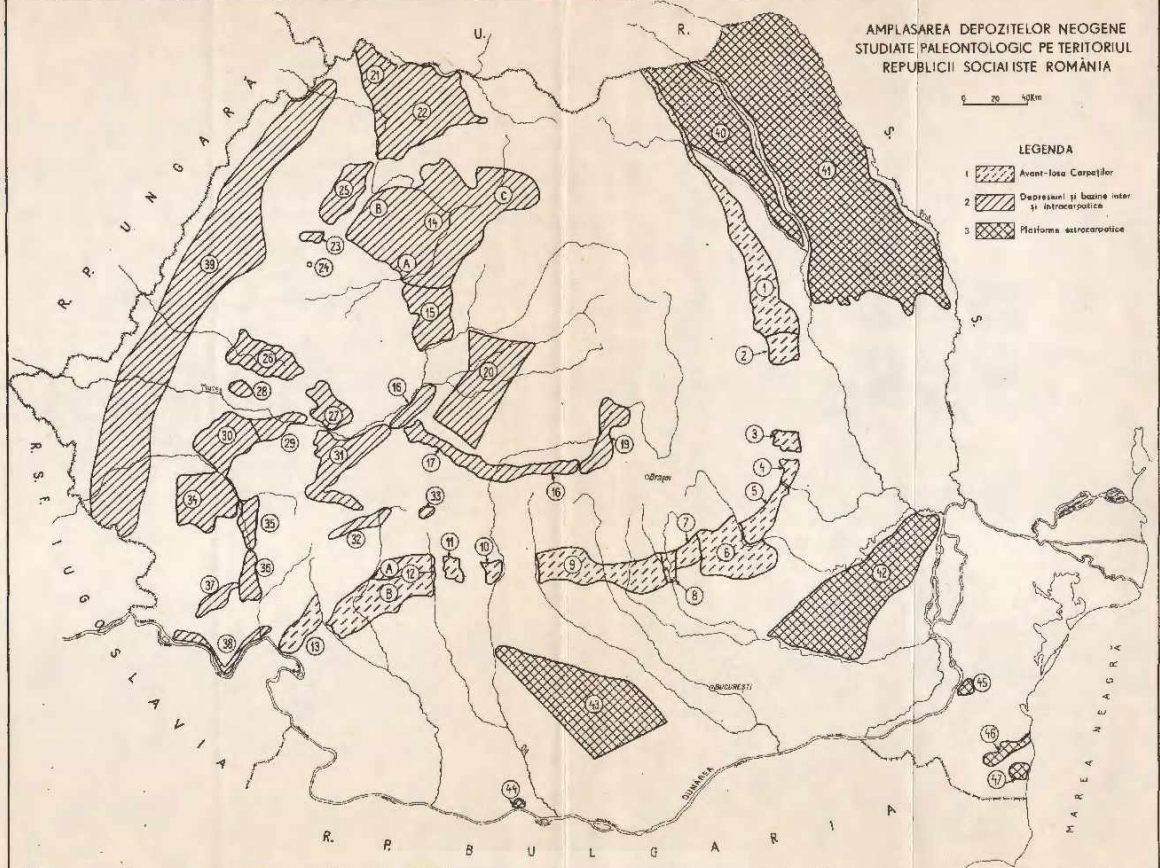


AMPLASAREA DEPOZITELOR NEOGENE STUDIATE PALEONTOLOGIC PE TERITORIUL REPUBLICII SOCIALE ROMÂNIA

0 20 40 Km

LEGENDA

- 1 Avent-locii Carpaților
- 2 Depresii și bazine inter- și intracarpatică
- 3 Platforme eustatice



1. STRATIGRAFIE

DATE NOI ASUPRA CALCARELOR CU LITHOTHAMNIUM DE LA CLENCIU (MIOCENUL SUBCARPAȚIC DIN MOLDOVA)¹

DE

VICTORIA LUBENESCU², CONstanța COROReA², AURA CEHlAROV²,
CORNELIA CORNEA²

Abstract

New Data on Limestones with *Lithothamnium* from the Clenčiu Area (Sub-Carpathian Miocene from Moldova). When carrying out the microfaunal analysis on some 60 thin sections from the Clenčiu Limestone, single fossiliferous deposit within the Miocene molasse in Moldova (between the Bistrița and Trotuș Valleys), the authors have precisely established the Upper Badenian age of this fossiliferous deposit based on a rich planktonic foraminifera assemblage, characteristic of the zone with *Velaperlina*. The study of thin sections in limestones with *Lithothamnium* has been, in fact, for the first time undertaken in Romania, and the results obtained contribute to the deciphering of the paleontological analysis of Badenian facies.

Zăcământul faunistic din dealul Clenčiu, unicul punct fosilifer canticat în molasa miocenă de la nord de valea Trotușului, este situat la cca 5-6 km nord-est de localitatea Tîrgu-Ocna.

Primele indicații privind „calcarele cu Nullipore” de la Clenčiu, se datorează lui Teissiere (1897) care le consideră mediteraneene și le plasează la partea superioară a formațiunii salifere, respectiv în baza stratelor sarmatiene. Autorul prezintă următoarea listă de faună: *Area barbata* Linne, *Pecten* cf. *substriatus* Hörn., *Lucina* aff. *heidingeri* Hörn., *Ostrea* sp., *Conus* aff. *dujardini* Bast., *Turritella* sp., gasteropode mici, serpule, dinți de rechini, foraminifere (miliolide).

În lucrarea sa de doctorat, Preda (1917) reia în discuție poziția stratigrafică și fauna calcarului cu *Lithothamnium* considerîndu-l un facies

¹ Comunicare în ședință din 19 mai 1974.

² Întreprinderea Geologică de Prospecționi pentru Substanțe Minerale Solide, Str. Caransebeș nr. 1, București.



marin normal al Tortonianului intercalat la partea superioară a formațiunii salifere.

Informații sumare privind același zăcămînt faunistic prin care se menține vîrstă tortoniană pentru aceste depozite, mai apar în lucrările unor autorice : Macovci (1927), Olteanu (1953) și Băneșilă (1958).

Cu ocazia unor cercetări efectuate asupra stratigrafiei și tectonicii molasei miocene din regiunea Valea Mare-Berzunț-Onesti, Sandulescu (1962) precizează vîrstă calcarelor de la Clenciu ca fiind tortonian-superioară, pe baza unei asociații de moluște : *Chlamis malvinæ*, *Ervilia* sp., *Mohrensternia* sp., pe care însă nu le figurează.

În același timp Drăghici³ se raliază punctului de vedere exprimat de M. Sandulescu cînd și un alt punct fosilifer situat la vest de acesta, pe Valea lui Mihai-Curmătura unde apar marne cenusii cu un conținut microfaunistic alcătuit din foraminifere și radiolari de vîrstă tortonian-superioară.

Ultimele date asupra calcarului de la Clenciu se întîlnesc în lucrările datorate lui Stoica (1962), Gabriela Polonică și P. Polonică⁴, Mihai et al. (1972)⁵, autorii atribuindu-le Tortonianului superior.

În urma cercetărilor noastre de teren (Victoria Lubenescu), cît și prin studiile microfaunistice (Constanța Corobea, Cornelia Cornea) și petrografice (Aura Čehlarov), a fost confirmat în regiunea Gălean-Clenciu, Badenianul reprezentat prin subetajul său inferior și superior.

Badenianul inferior este reprezentat prin marne tufacee al căror conținut microfaunistic (Lubenescu et al., 1974), este format din foraminifere planctonice — *Praeorbulina glomerosa*, *Orbulina suturalis*.

Badenianul superior este dezvoltat în dealul Clenciu și dealul Mestecănuții (spre Brătești).

După cum se observă din schița prezentată (fig.) în versantul stîng al unui afluent al văii Caraclău și respectiv versantul vestic al dealului Clenciu, apar argile cenusii nestratificate avînd o grosime de 5-6 m. Analiza unei probe din aceste argile ne-a indicat o asociație de foraminifere planctonice de vîrstă carpatică din care cităm :

Globigerinoides sicanus Di Stefani

Globigerina globorotaloidea Colom.

Globorotalia mayeri Cushman et Ellis or

³ L. Drăghici. Raport geologic asupra prospectiunilor geologice pentru hidrocarburi între valea Tazlău-valea Trotuș. 1963. Arh. M.M.P.G. București.

⁴ Gabriela Polonică, P. Polonică. Sinteză geologică a zonei miocene și a unităților învecinate diatre valea Sucevei-valea Trotușului cu privire specială asupra perspectivelor de sare, săruri de potasiu și hidrocarburi. 1969. Arh. M.M.P.G. București.

⁵ A. Mihai, O. Iliescu, Victoria Lubenescu, Viorica Pavăulescu. Studiul geologic al gipsurilor din R.S.R. (Zona miocenă din fața Carpaților Orientali cuprinsă între valea Bistriței la nord și valea Rimnicului Sărat la sud). 1972. Arh. M.M.P.G. București.

Globorotalia praeexcitula Bl o w.

Tuburi de viermi

Fructe de *Chara*

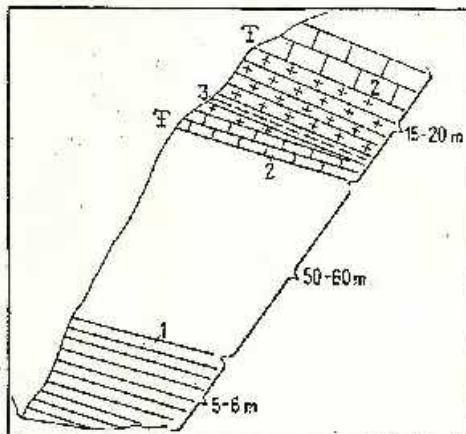
Deasupra acestui afloriment se dispune o alternanță de calcare și eimerite cu aspectul unor marne șistoase de culoare cenușiu-verzui și spărtură așchioasă. Calcarele au o culoare cenușie-albicioasă și se prezintă sub forma unor bâncuri groase de 1,5-2,5 m fiind constituite din numeroase

Schită geologică în versantul vestic al dealului Cleniciu.

- 1, argile cenușii nestratificate carpaticene;
- 2, biocalcarenite badenian-superioare; 3, cinerite.

Esquisse géologique dans le versant occidental de la colline Cleniciu.

- 1, argiles grises non-stratifiées carpathiennes;
- 2, biocalcarénites badénien-supérieurs; 3, cinérites.



aglomerări de alge, corali, foraminifere și fragmente de moluște a căror preccară stare de conservare, îngreuviază o determinare absolut riguroasă, fapt de altfel remarcat și de cercetătorii anteriori. Între formele identificate de noi se observă fragmente de *Chlamis* sp., *Ostrea* sp., *Corbula* sp.

Având în vedere faptele de mai sus (fauna identificată pînă în prezent poate fi deci raportată cu multă probabilitate unor genuri!), am efectuat studiul a cca 60 secțiuni subțiri executate pe fragmente din cele două nivele de calcare.

La microscop, după caracterele structurale, materialul examinat aparține tipului de calcare algal-biohermal, contruite (subordonat) și tipului de calcare recifogene, biocalcarenite, cu structură organodastică (predominant).

Primul tip amintit este foarte puțin reprezentat și este probabil rezultatul ruperii unor blocuri din masa recifului și a îngropării lor în depozitele de pe flancuri.

Aceste calcare sunt constituite predominant din alge aparținind familiei Corallinaceae din care predomină genul *Lithothamnium* și doar într-un singur caz apare și genul *Archaeolithothamnium*. Subordonat (pînă la 20%), apare calcit sparitic diagenetic, ca urmare a recristalizării materialului micritic intersticial. Materialul epiclastic lipsește. Apar fisuri fine cu dispoziție pseudoparalelă cu calcit secundar.

Al doilea tip de calcare întlnit, biocalcarenitele, corespund depozitelor recifogene descrise (Păpiu, 1960) ca fiind rezultatul acumulării

pe panta recifului a materialului biogen provenit din fragmentarea biohermului, la care se adaugă și materialul terigen, mai abundant cu cât ne depărtăm de recif și ne apropiem de continent.

În secțiuni, fractiunea bioclastică este constituită în proporție de cca 40% din fragmente de alge. Subordonat, foraminifere prezente prin specii variate, bine conservate, în special formele globuloase care au rezistat acțiunii valurilor. Sporadic, echinoderme reprezentate prin secțiuni transversale și oblice prin radioli de echinide și accidental, fragmente de gasteropode.

Organismele silicoase sunt reprezentate în proporție redusă prin specii monoaxoni conservați în calcedonie fibroradiară. Probabil că aceștia reprezintă sursa de silice, prezentă uneori pe fisurile fine și în gurile rocii.

Materialul epiclastic prezent în toate esantioanele examineate apare în proporție de cca 1-15%. El este reprezentat prin specii minerale rezistente la transport și abraziune. Predomină cuartul în granule siltitice angulare ($0,0924/0,0662$ mm, dimensiune), pînă la psamitice subrotunjite și rotunjite ($0,836/0,718$ mm, dimensiune). Uneori, granulele de cuarț prezintă contururi dantelate în urma coroziunii lor de către matricea carbonatică. Cu totul sporadic, se întâlnesc fragmente de cristale de feldspat plagioclaz maectat polisintetic (dimensiunea maximă $0,2156/0,1540$ mm și minimă $0,0616/0,0462$ mm). Accidental, lamele de muscovit și granule rotunjite de glauconit cu extincție fin agrogată, probabil tot epiclastic.

Fragmentele litice sunt de asemenea prezente prin agregate poligranulare cuarțitice (dimensiune maximă $0,6545/0,4774$ mm) și printr-un fragment de rocă intruzivă (dimensiuni, $0,1771/0,1463$ mm). Tot aici, menționăm prezența cuartului cu extincție ondulatorie provenit din roci metamorfice și a cuartului regenerat, cu zone de supracreștere în continuitate optică, provenit din ortocuările.

Lianul chimic este constituit din calcit sparitic cu structură granulară și de crustificație. El este rezultat în parte printr-un proces de autocimentare, în parte reprezentă un material introdus deoarece, cu mici excepții, în liant este cantonat materialul epiclastic.

Studiul microfaunistic efectuat a permis determinarea unor forme de foraminifere, precum și alte resturi organice pe care le menționăm mai jos (pl. I, II, III, IV):

- Borelis mello* d'Orb.
- Bulimina elongata* (d'Orb.)
- Bulimina pyrula* d'Orb.
- Globigerinoides trilobus trilobus* Reuss.
- Globigerinoides sacculifer* Brady.
- Globigerina bulloides* d'Orb.
- Globorotalia mayeri* Cushman și Ellis or
- Globorotalia obesa* Bölli.
- Globorotalia scitula* (Brady).
- Globogaudrina altispira* Cushman și Jarwiss.

- Miliolina circularis* (Börnemann).
Miliolina gracilis Karrer.
Miliolina laevigata d'Orb. *Miliolina seminulum* (Linne)
Nodosaria longiscata d'Orb.
Sigmoilina ciokrakensis Gerke.
Velapertina sp.
Bolirina sp.
Lenticulina sp.
Guttulina sp.
Rotalia sp.
Nonion sp.
Textularia sp.
Gypsina sp.
Spongodiscus sp.
Spirialis sp.

radiolari, spiculi de echinide, fragmente de lamelibranhiate, gasteropode mici, ostracode și alge de tip *Lithothamnium*, *Arhacolithothamnium* și *Jania*.

Din lista de microfaună prezentată remarcăm prezența speciilor *Borelis mello*, *Sigmoilina ciokrakensis*, *Bulimina elongata*, a numeroaselor exemplare de miliolide precum și a radiolarilor și spiralișilor, forme caracteristice zonei cu *Velapertina* - Badenian superior. Unele dintre formele citate (*Borelis mello*, *Bulimina elongata*) sunt considerate de cercetătorii anteriori ca forme conduceătoare pentru Tortonianul superior.

Depozite atribuite Tortonianului superior (auct.) pe considerente microfaunistice ca și în cazul de față se citează de către numeroși autori: Iorgulescu (1953, 1956) în Muntenia de est și Oltenia, Ionescu (1968), Paghida (1969), în Moldova de nord, Mészáros și Nicorici (1962), Gheorghian et al. (1972) și Popescu (1970), în Transilvania.

De asemenea, depozite cu microfaună asemănătoare celei studiate de noi sunt menționate în întreg Paratethysul de către: Alexandrowicz (1966) și Vialov et al. (1962), Buday et al. (1965), Koreczne-Laky (1968), Tzankov et al. (1965), etc.

Microfauna care a format obiectul nostru de studiu prezintă asemănări care merg pînă la identitate cu microfauna determinată de Rolando Gandolfi și Antonio Porcu din secțiuni subțiri efectuate în calcar organogene (Elveriano) din Sardinia: *Elphidium* sp., *Nonion* sp., *Rotalia* sp., miliolide, spiculi de echinide, fragmente de lamelibranhiate, *Lithothamnium*, etc.

În concluzie, prin analiza secțiunilor subțiri executate pe calcaroile cu *Lithothamnium* de la Cleniciu a fost pusă în evidență o bogată asociație de foraminifere: *Borelis mello*, *Bulimina elongata*, *Miliolina circularis*, radiolari și pteropode, caracteristică zonei cu *Velapertina* de vîrstă badenian-superioră precizindu-se astfel vîrstă acestor depozite.

Studiul unor secțiuni subțiri din depozite badeniene și obținerea unor asemenea rezultate constituie de altfel o premieră pentru țara noastră și contribuie la descifrarea analizei paleontologice a unor faciesuri de această vîrstă.

BIBLIOGRAFIE

- Alexandrowicz S. W. (1965) L'évolution de l'avant fosse des Carpathes et la stratigraphie du Miocène de la Pologne Meridionale. *Assoc. Geol. Corp. Baik. Cong. VII, Rep. II/1*, Sofia.
- Băncilă I. (1958) Geologia Carpaților Orientali. Ed. Științifică. București.
- Buday T., Cicha J., Senes J. (1965) Miozän der Westkarpaten. Bratislava.
- Carozzi A. V. (1960) Microscopic Sedimentary Petrography. New-York.
- Gandolfi R., Porcu A. (1967) Contributo alla conoscenza delle microfacies mioceniche delle colline di Cagliari (Sardegna). *Rev. Ital. Paleont. e Stratigrafie*, 73/1, Milano.
- Gheorghian Doina, Lubeneșcu Victoria, Olteanu R. (1971) Contribuții la stratigrafia Miocenului din sudul Transilvaniei. *D. S. Inst. Geol.*, LVII/4 (1969—1970), București.
- Ionesi Bica (1968) Stratigrafia depozitelor miocene de platformă dintre valea Siretului și valea Moldovei. Ed. Acad. R.S.R., București.
- Iorgulescu Th. (1953) Contribuții la studiul micropaleontologic al Miocenului superior din Muntenia de est (Prahova și Buzău). *An. Com. Geol.* XXVI, București.
- (1956) Contribuții la studiul micropaleontologic al Neogenului din Oltenia. *Luer. Inst. Petrol. Gaze și Geol.* IV, București.
- Koreczne-Laky Ilona (1968) Miozäne Foraminiferen des Östlichen Maecsek-Gebirges. *An. Inst. Geol. Publ. Hungariei*, LII/1, Budapest.
- Lubeneșcu Victoria, Coroabea Constanța, Cornea Cornelia (1974) Considerații asupra vîrstei unor complexe gipsifere din Miocenul din Moldova (valea Bistriței — valea Cașin). *D. S. Inst. Geol.* LX/4 (1972—1973), București.
- Mészáros N., Nicoreci E. (1962) Contribuții la stabilirea limitelor dintre Tortonian și Sarmajian între Cluj și Turda, cu privire generală asupra conținutului și poziției stratigrafice a Buglovianului. *Stud. cerc. geol.* VII/1, București.
- Macovei Gh. (1927) Aperçu géologique sur les Carpates Orientales. *Guide des excursions. Assoc. pour l'avancement de la géologie des Carpates*. București.
- Olteanu F. (1953) Faciesurile și teotonica Miocenului subcarpatice din regiunea Berzunțu. *D. S. Com. Geol.*, XXVII (1949—1950), București..
- Paghida-Trelea Natalia (1969) Microfauna Miocenului dintre Siret și Prut. Ed. Acad. R.S.R. București.
- Papiu C. V. (1960) Petrografia rocilor sedimentare. Ed. Științifică, București.
- Pettijohn F. J. (1956) Sedimentary Rocks. New-York.
- Popescu G. (1970) Foraminiferele planctonice din stratele de Hida (NW Transilvaniei). *Stud. cerc. geol., geof., geogr. ser. Geologie*, 15, București.
- Preda D. M. (1917) Geologia regiunii subcarpatice din partea de S a districtului Bacău. *An. Inst. Geol.*, VII, București.

- Sandulescu M. (1962) Stratigrafia și tectonica molasei miocene din regiunea valea Mare Berzunț-Onesti. *D. S. Com. Geol.* XLVI (1958–1959), București.
- Teisseyre W. (1897) Zur geologie der Baccauer Karpathen. *Jahrb. d. k. a. geol. R.A.* pg. 702, 703, Wien.
- Tzaneov V., Traheva P., Voptzarova J., Mihailova-Jovcheva P., Dikova P., Trianova E. K., Bayanova E. K., Budurov K. (1965) Les associations microfossiles en Bulgarie. *Dir. Gen. Geol. Inst. Sci. Rech. Geol.* Sofia.
- Vialov O. S., Griskevici G. N. (1965) O vozrastli i obieme buglovskikh sloev miocene. *Dokl. Akad. Nauk. S.S.R.* 160/6, Moskva.

DONNÉES NOUVELLES SUR LES CALCAIRES
À LITHOTHAMNIUM DE CLENCIU (LE MIOCÈNE
SUBCARPATIQUE DE LA MOLDAVIE)

(Résumé)

L'analyse de la microfaune, sur environ 60 sections minces, du calcaire organogène de Clenciu, l'unique gisement fossilière dans la molasse miocène de la Moldavie (la vallée de la Bistrița – la vallée du Trotuș) a permis aux auteurs de préciser l'âge badénien supérieur de celui-ci, à partir d'une association de foraminifères planctoniques caractéristiques de „la zone à *Velaperlina*“. Parmi les foraminifères rencontrés, on peut citer *Amphistegina lessoni*, *Borelis nelloi*, *Bulimina elongata*, *Miliolina circularis*, etc. Excepté les foraminifères, on a identifié aussi dans cette association, de : radiolaires, spirialys et nombreuses algues de type *Lithothamnium*.

L'étude des sections minces et les résultats acquis constituent une vraie première pour notre pays, une contribution au déchiffrage des analyses paléontologiques des faciès badéniens.



Institutul Geologic al României

PLANŞA I



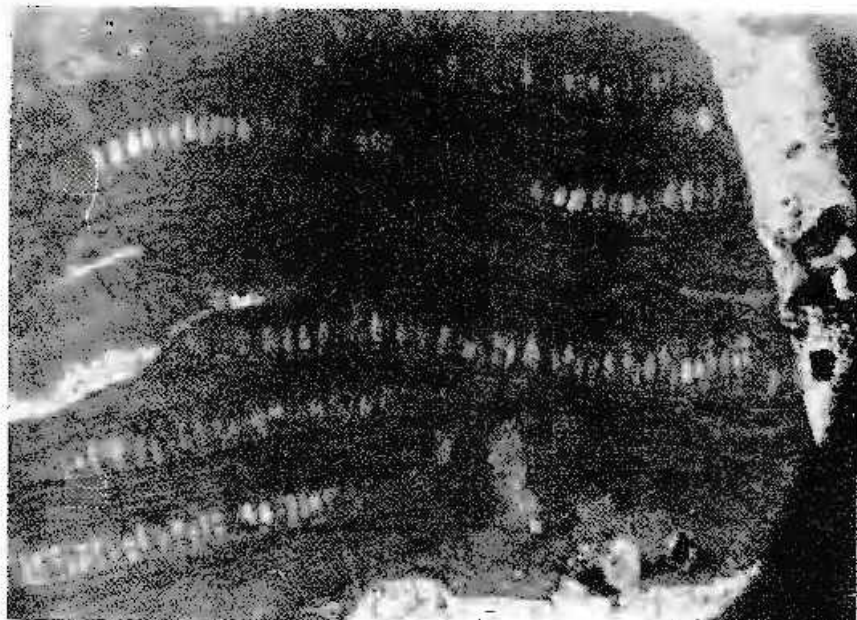
Institutul Geologic al României

PLANŞA I

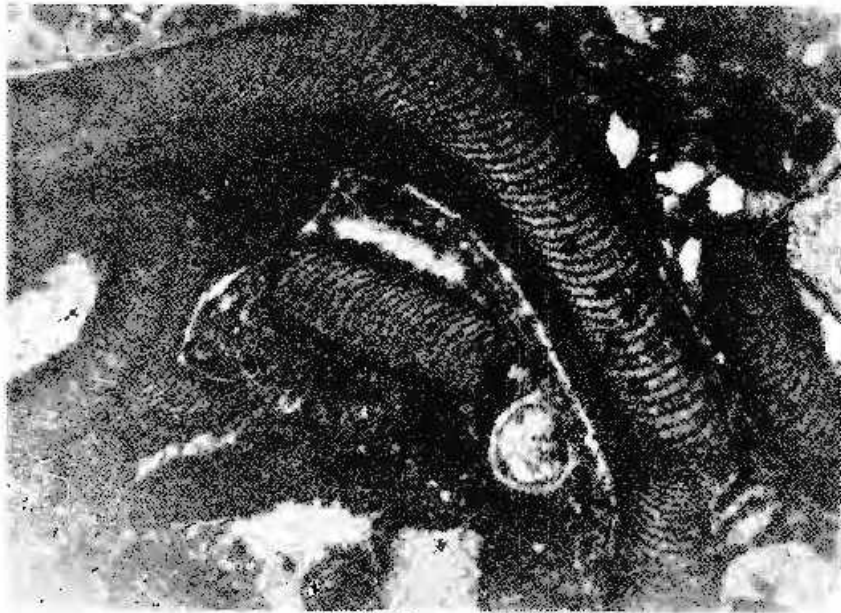
Fig. 1. — *Archaeolithothamnium* sp.
Fig. 2. — *Jania* sp.



VICTORIA LURENESCU et al. Calcarele cu Lithothamnium de la Clenčiu.
Pl. I.



1



2

Institutul de Geologie și Geofizică. Dări de seamă ale ședințelor, vol. LXI/4.



Institutul Geologic al României

PLANŞA II

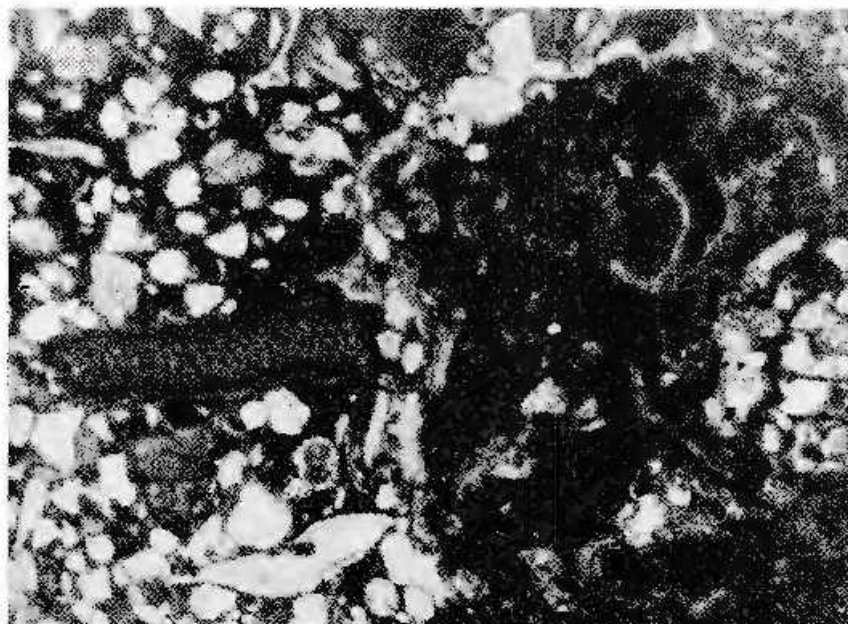
Fig. 1. — *Jania* sp.

Fig. 2. — *Lithothamnium* sp.

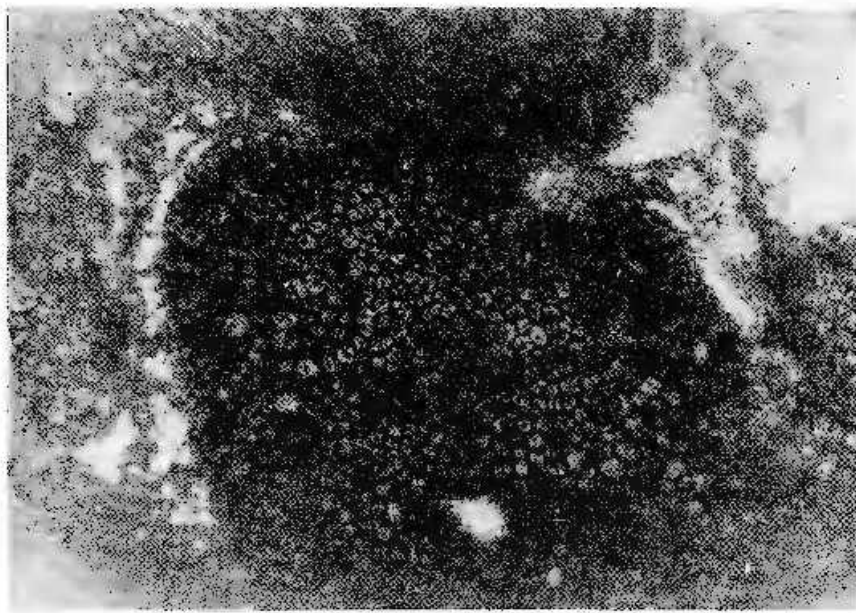


Institutul Geologic al României

VICTORIA LUBENESCU et al. Calearele cu *Lithothamnium* de la Clenčiu.
Pl. II.



1



2

Institutul de Geologie și Geofizică. Dări de seamă ale ședințelor, vol. LXI/4.



Institutul Geologic al României



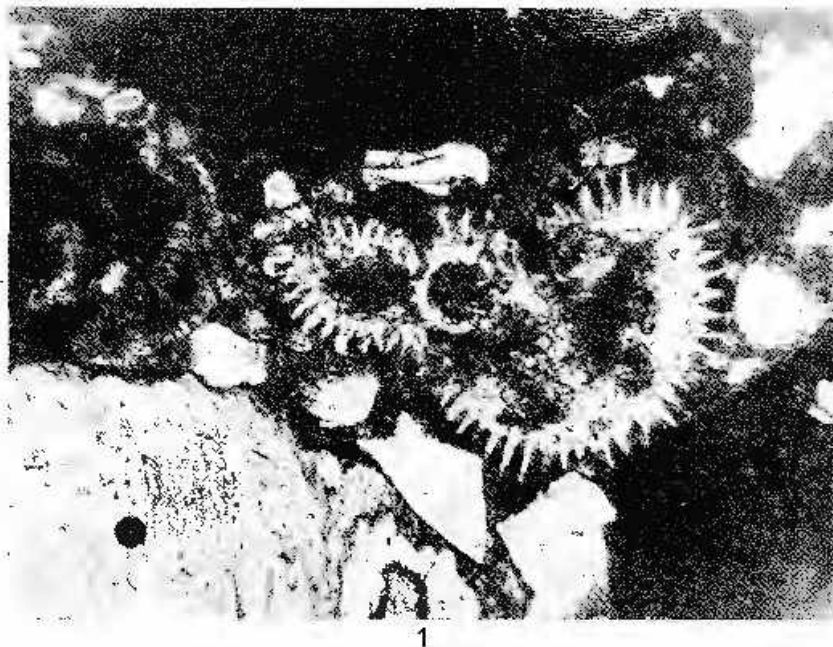
PLANŞA III

Fig. 1. — *Globigerinoides trilobus* (Reuss).

Fig. 2. — *Globigerinoides* sp.



VICTORIA LUBENESCU et al. Calcarele cu *Lithothamnium* de la Cleniciu.
Pl. III.



1



2

Institutul de Geologie și Geofizică. Dări de seismă ale ședințelor, vol. LXI/4.



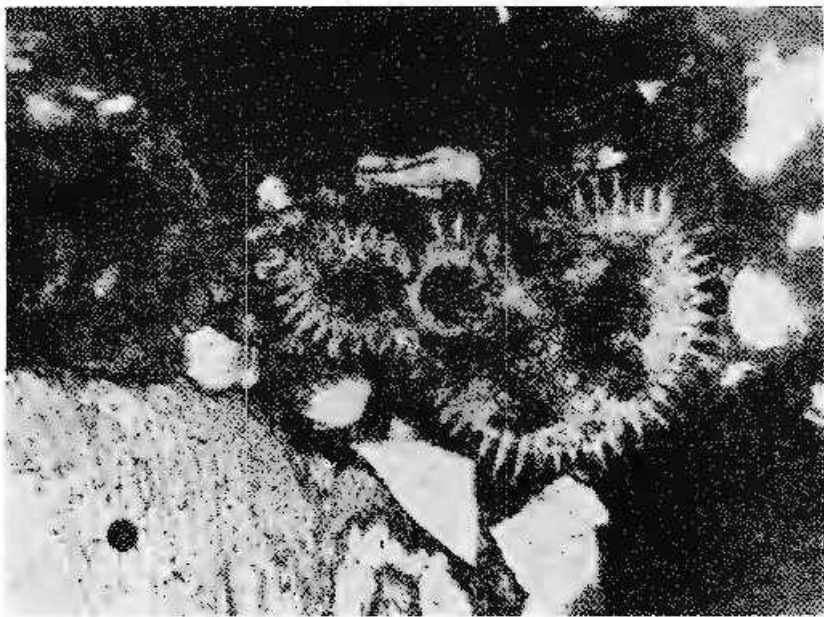
Institutul Geologic al României

PLANŞA IV

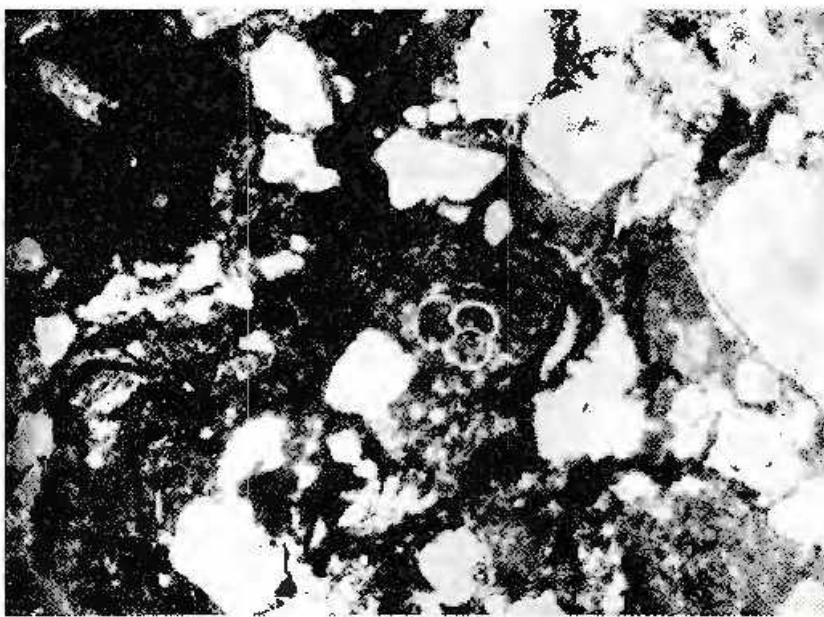
Fig. 1. — *Globigerinoides* sp.

Fig. 2. — *Globigerina bulloides* d'Orb.





1



2

Institutul de Geologie și Geofizică. Dări de sesină ale ședințelor, vol. LXI/4.



Institutul Geologic al României

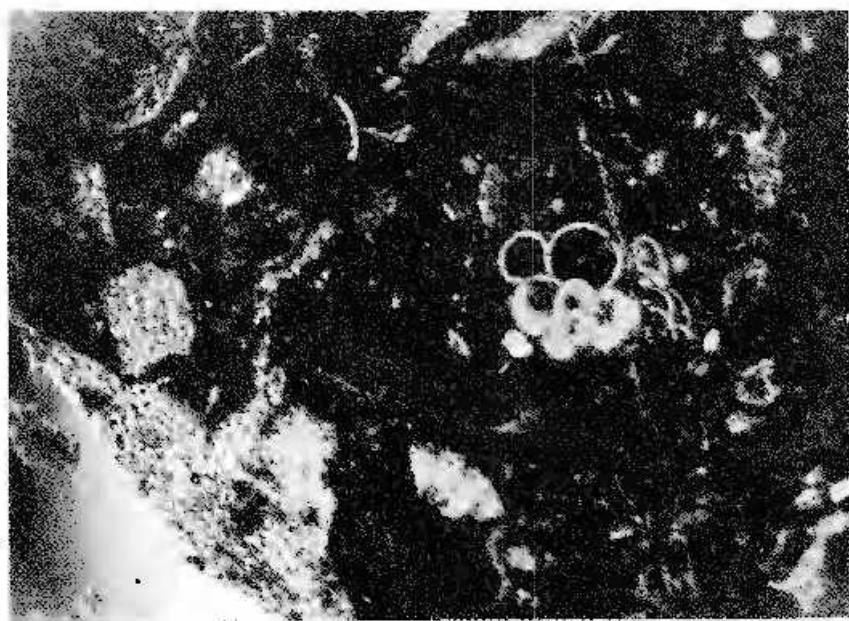
PLANŞA V

Fig. 1. — *Globigerina* sp.

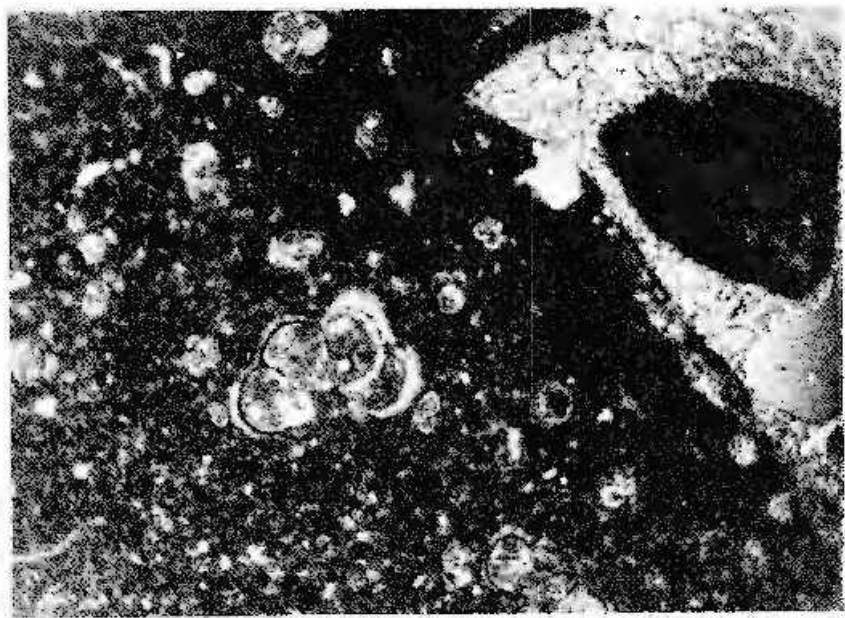
Fig. 2. — Globigerine (Globigerines).



Institutul Geologic al României



1



2

Institutul de Ecologie și Geofizică. Dări de seismă ale șoanțelor, vol. LXI/4.



Institutul Geologic al României

PLANSA VI

Fig. 1. *Borealis melio* d'Orb.
Fig. 2. *Vela pertina* sp.

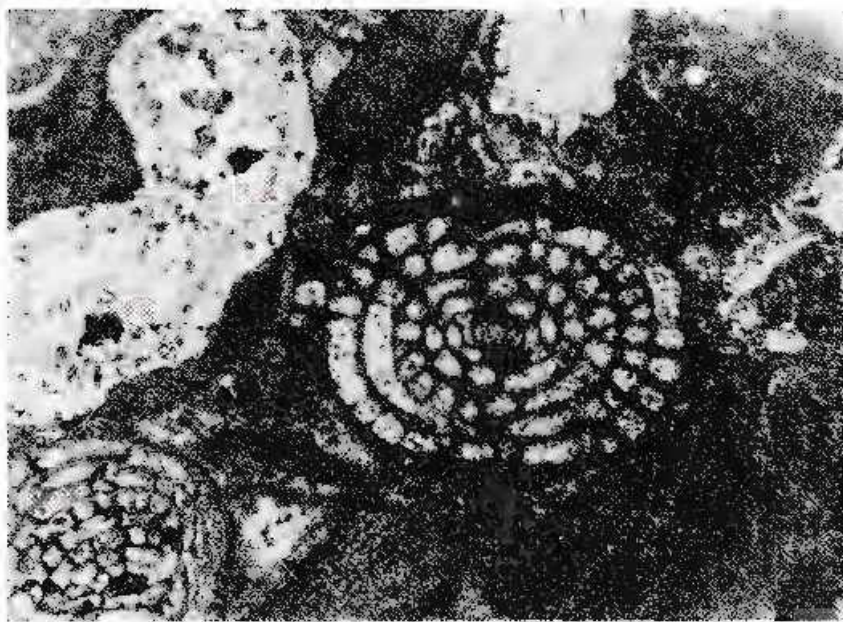


Institutul Geologic al României

VICTORIA LUBUNESCU et al. Calcarele cu Lithothamnium de la Clenchi.
Pl. VI.



1



2

Institutul de Geologie și Geofizică, Dări de seamă ale ședințelor, vol. LXI/4.



Institutul Geologic al României

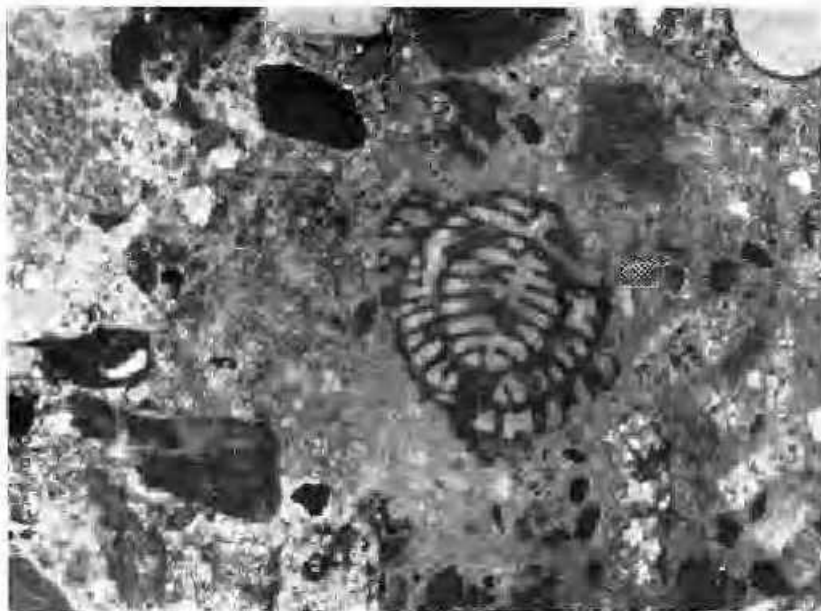
PLANŞA VII

Fig. 1. — *Rhabalus* sp.

Fig. 2. — *Borealis mediterraneus* d'Orb.



Institutul Geologic al României



1



2

Institutul de Geologie și Cetățică. Dări de seamă ale ședințelor, vol. LXI/4.



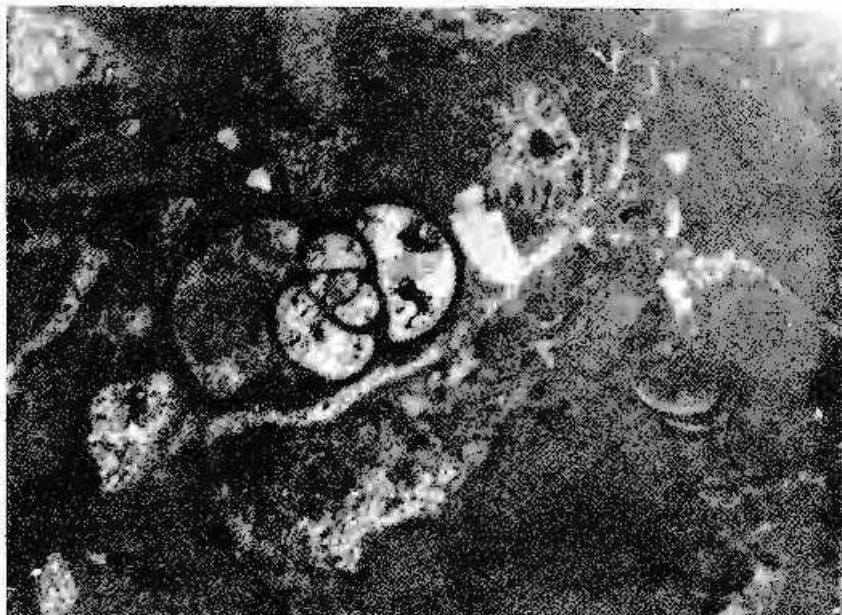
Institutul Geologic al României

PLANŞA VIII

Fig. 1. — Miliolid (Miliolide).
Fig. 2. — Miliolid (Miliolide).



Institutul Geologic al României



1



2

Institutul de Geologie și Geofizică. Dări de seamă ale ședințelor, vol. LXI/4.



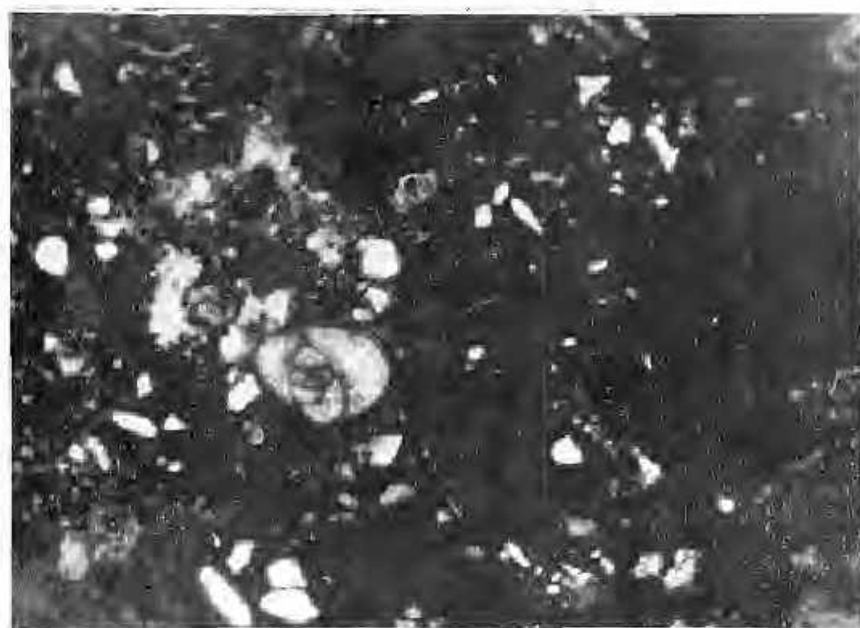
Institutul Geologic al României

PLANŞA IX

Fig. 1. — Miliolid (Miliolide).
Fig. 2. — Miliolid (Miliolide).



Institutul Geologic al României



1



2

Institutul de Geologie și Geofizică. Dărt; de seasmă ale ședințelor, vol. LXI/4.



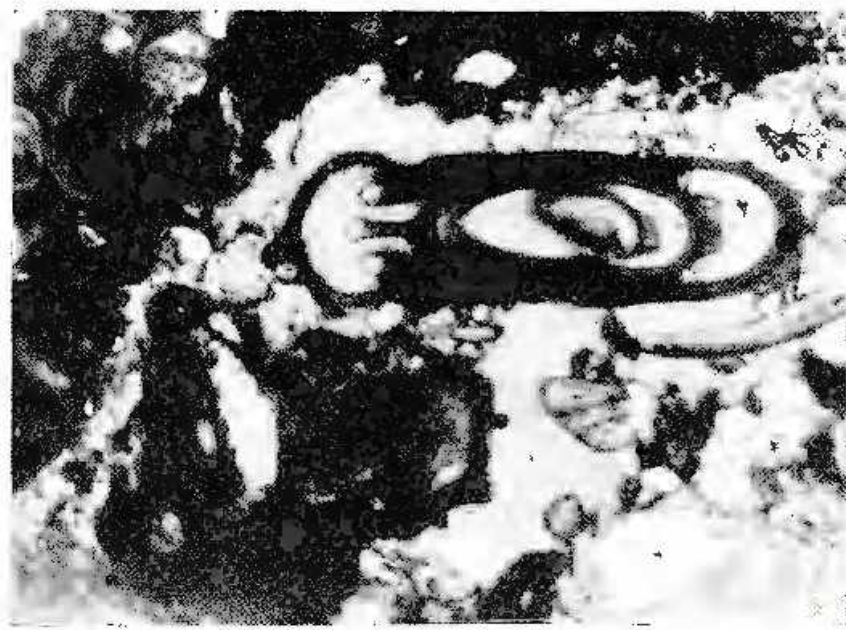
Institutul Geologic al României

PLANŞA X

Fig. 1. — Miliolid (Miliolide).
Fig. 2. — Miliolid (Miliolide).



Institutul Geologic al României



Institutul de Geologie și Geofizică. Dări de seamă ale ședințelor, vol. LXI/4.



Institutul Geologic al României

PLANSA XI

Fig. 1. — Microgastropod (Microgastropode).

Fig. 2. — *Cribronanion* sp. și radulă de echinid.

Cribronanion sp. și radule d'echinide.



VICTORIA LUBENESCU et al. Calcarele cu Lithothamnium de la Clenčiu.
Pl. XI.



1



2

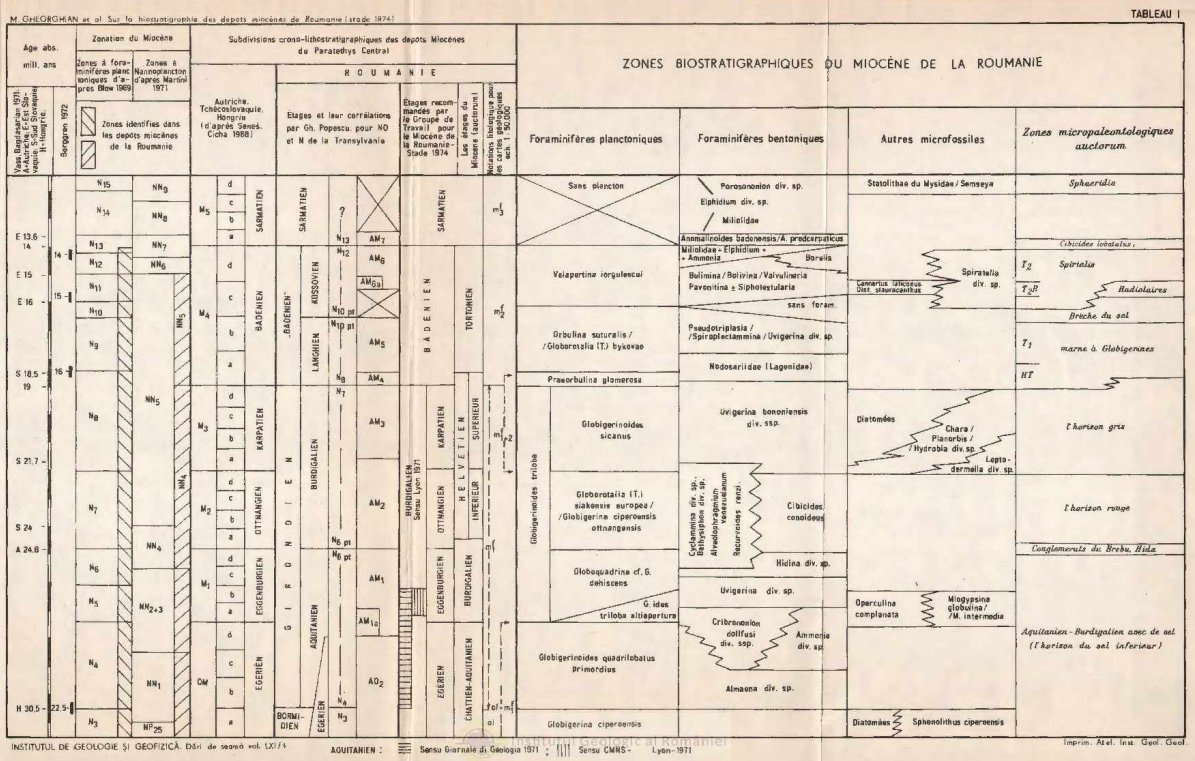
Institutul de Geologie și Geofizică. Dări de seamă ale ședințelor, vol. LXI/4.



Institutul Geologic al României



TABLEAU I



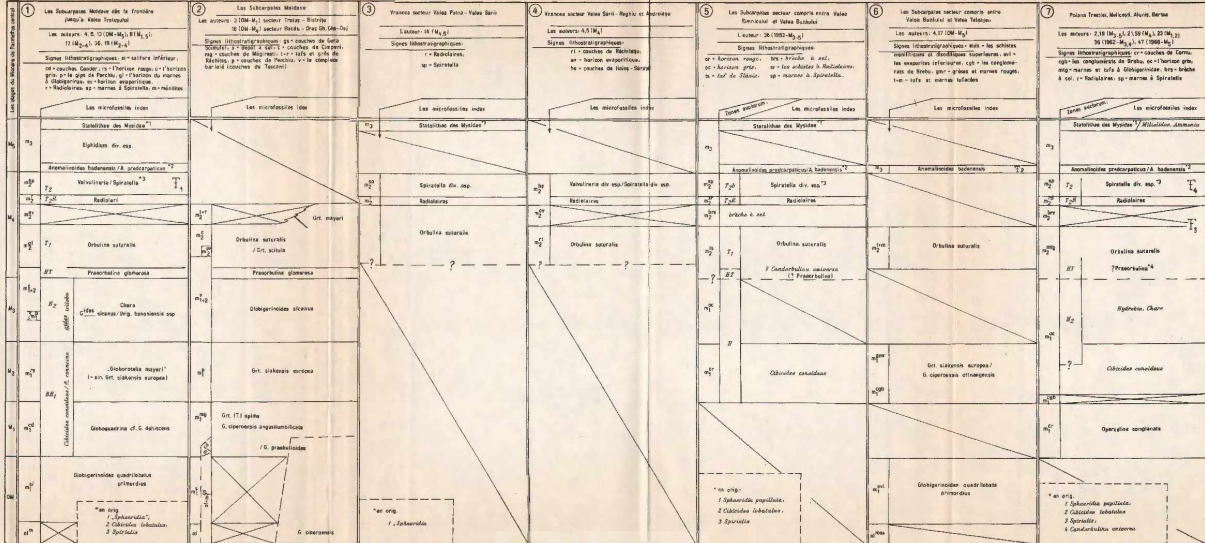


TABLEAU II (ANNEXE I)

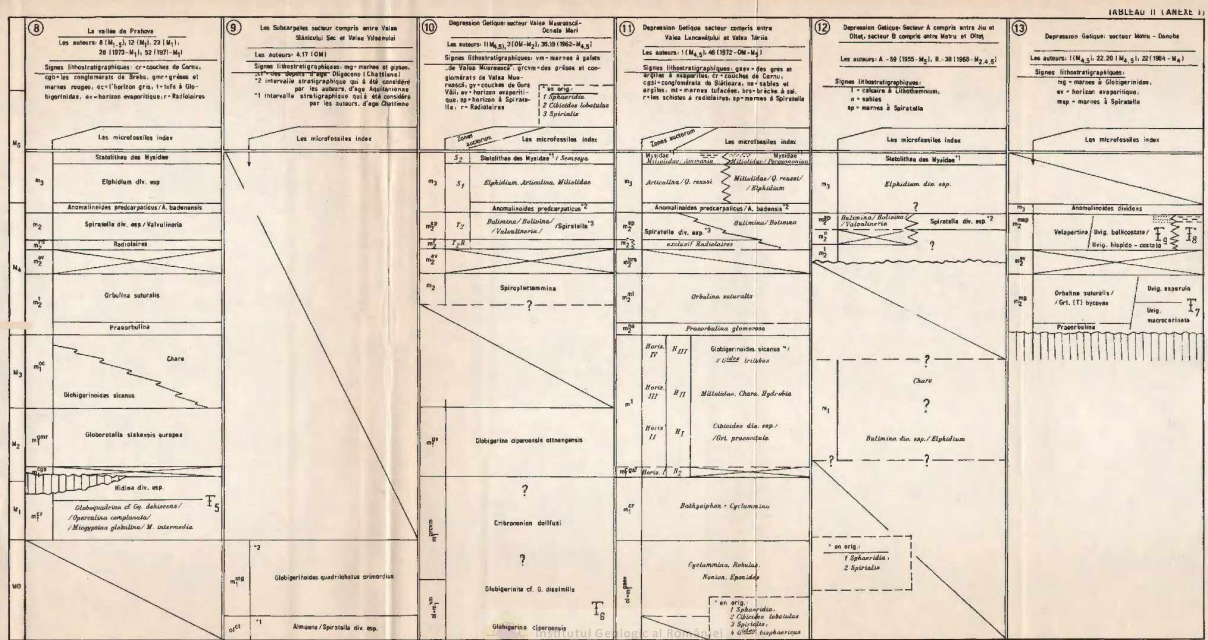
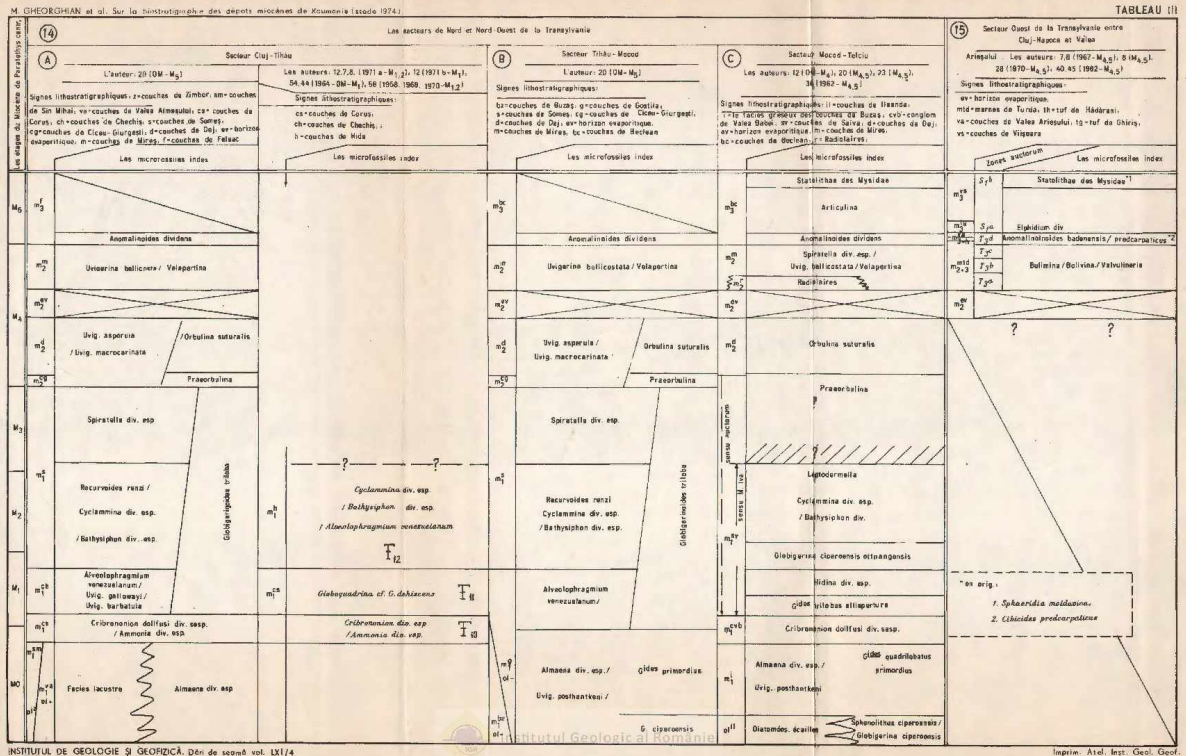


TABLEAU III



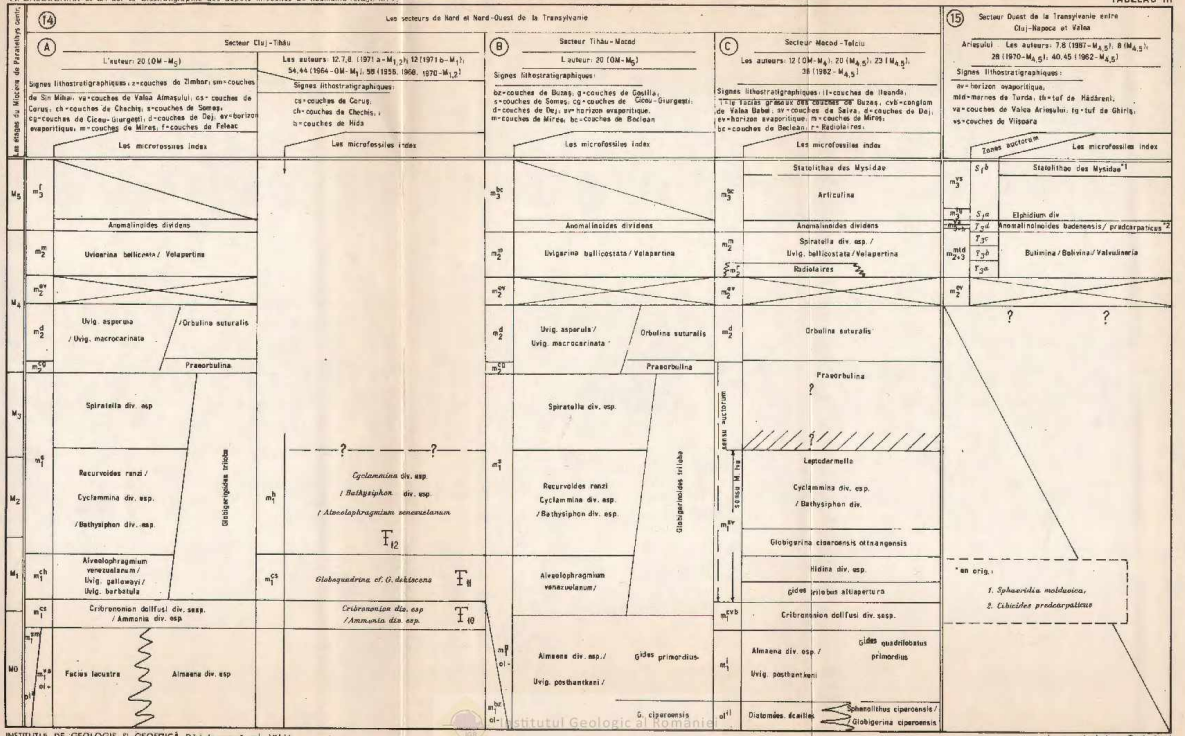
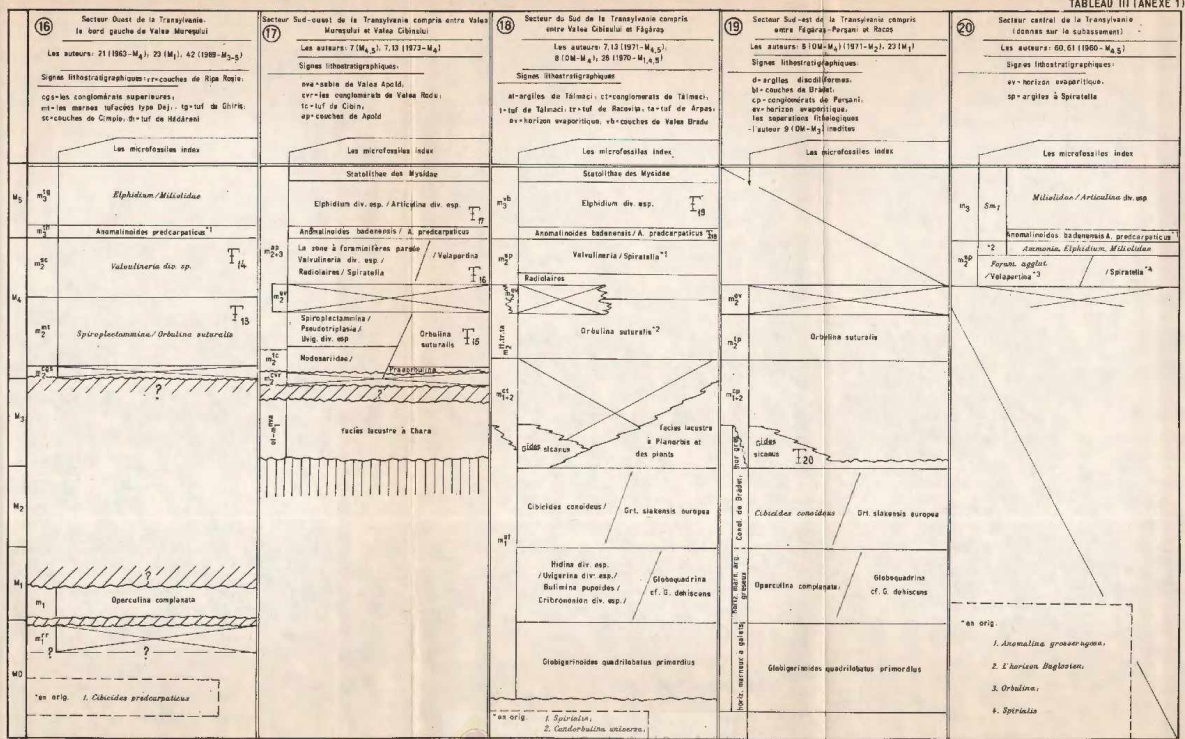


TABLEAU III (ANEXE 1)



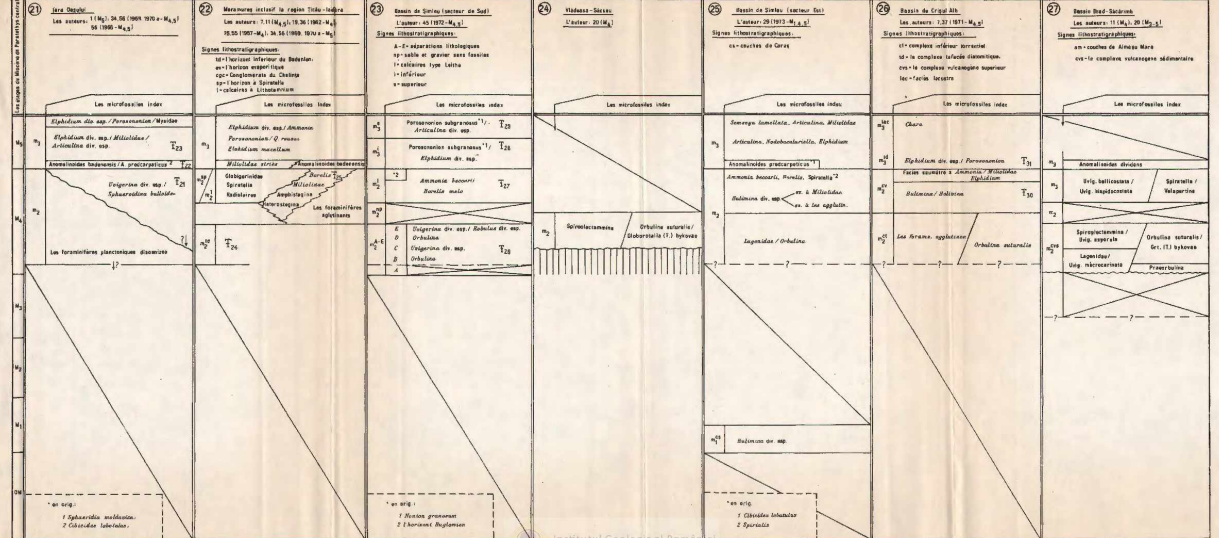


TABLEAU IV (ANEXE 1)

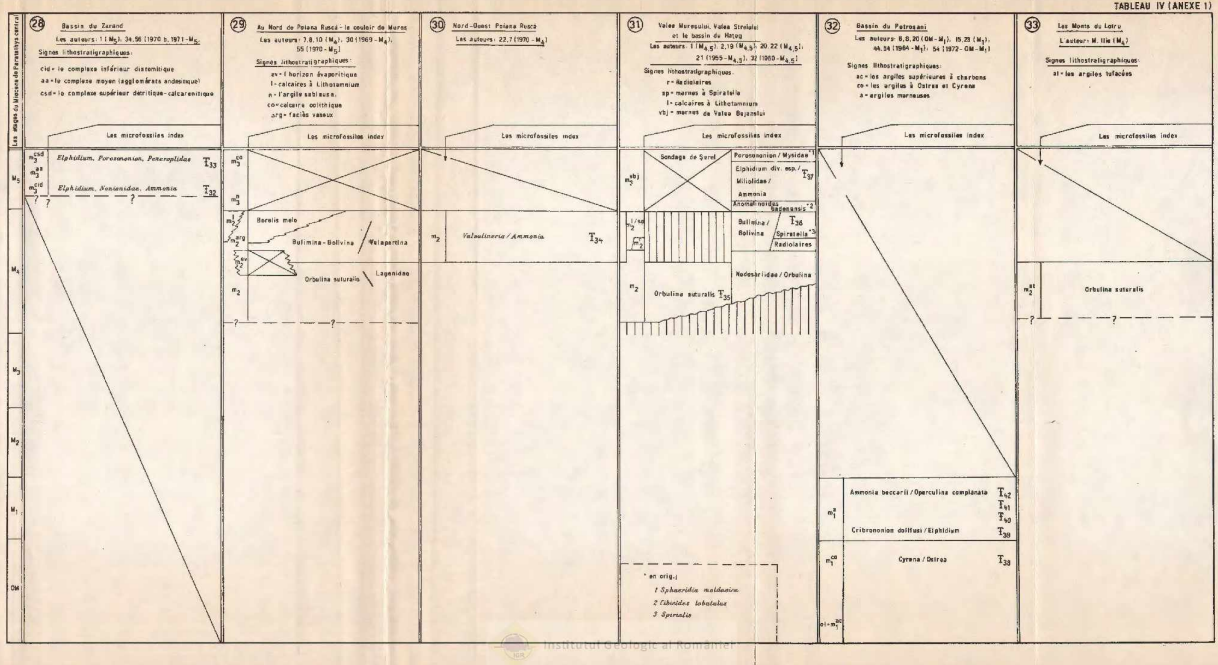


TABLEAU IV (ANEXE 2)

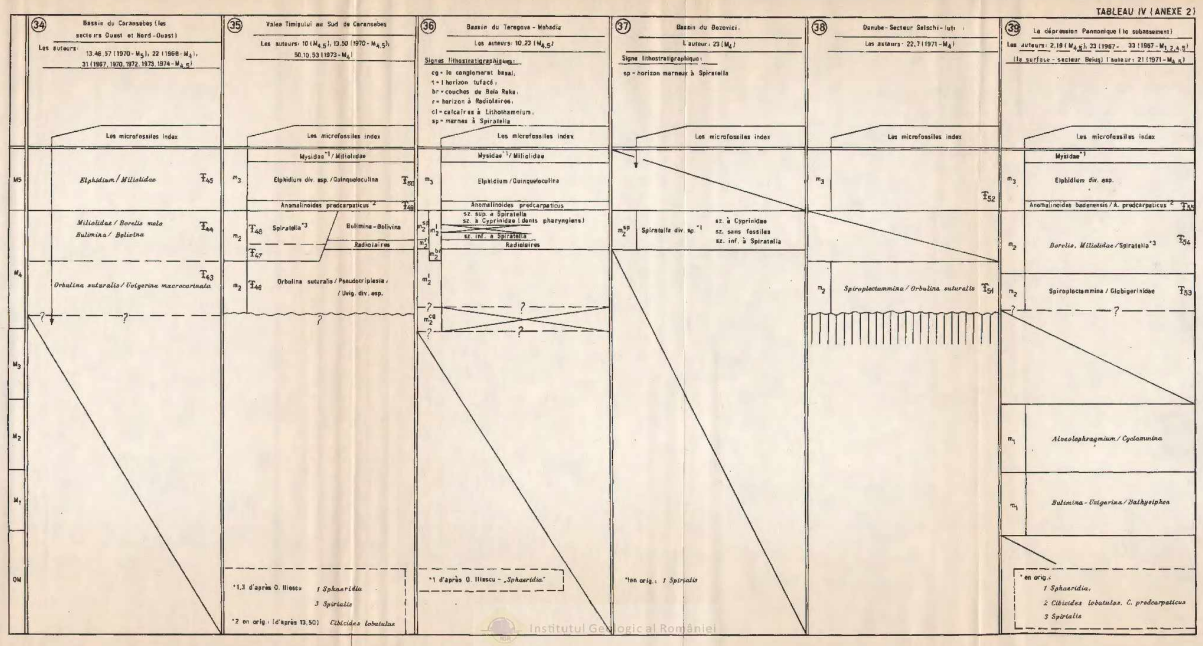
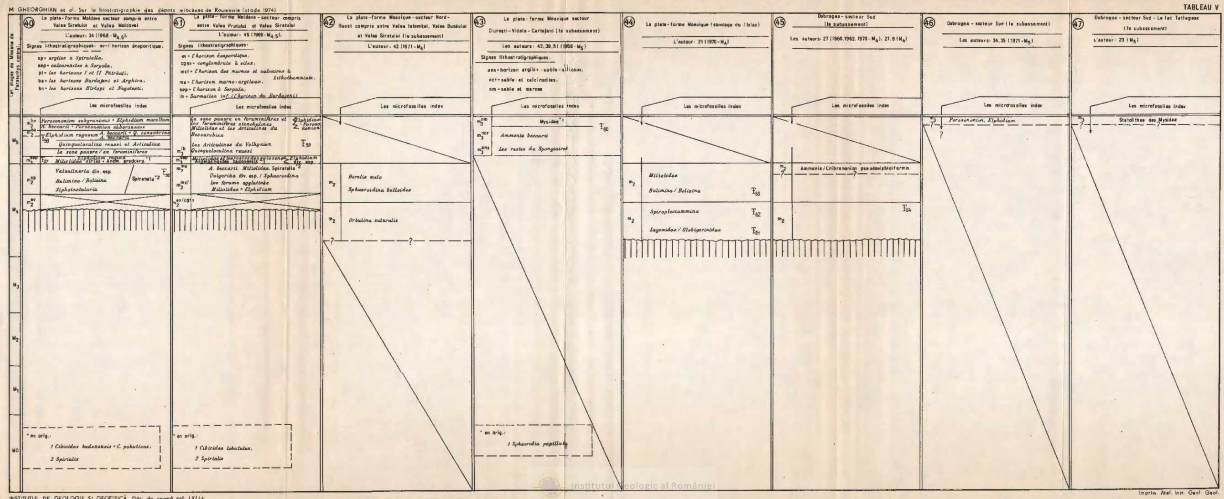


TABLEAU V



4. STRATIGRAFIE

CONSIDERATIONS SUR LES ASSOCIATIONS DES MOLLUSQUES ET D'OSTRACODES DU MÉOTIEN DE LA PARTIE OCCIDENTALE DU BASSIN DACIQUE¹

DE

FL. MARINESCU², R. OLTEANU²

Abstract

Considerations on the Méotian Mollusc and Ostracod Faunas from the Western Part of the Dacie Basin. This paper is particularly based on the study of two very representative profiles north of the town of Drobeta-Turnu Severin. Although lithologically three horizons were distinguished within the Méotian, the detailed study of their fauna disclosed marked paleontological affinities between the first two and an individualization of the third one. Attention is drawn upon the occurrence of numerous specimens of *Abra tellinoides*, *Ervilia pusilla*, *Cardium* sp., *Dreissenomyia nevesskiae*, etc. already in the horizon underlying to one wherein the *Dostnita* is abundant. The same affinities are also stressed by ostracods. Thus the grouping of both lower formations under the name of Oltenian (*Atanasiu*) is emphasized; the upper formation (*Moldavian*) displays more pronounced faunal affinities with the Pontian. Several groups of ostracods are discussed as concerns both paleoecology and phylogeny.

Parmi les formations néogènes de la partie occidentale du Bassin Dacique (le secteur délimité par le Danube et par la rivière Motru) celles du Méotien occupent la surface la plus restreinte. Elles ont été décrites par Munteanu-Murgoci (1907), qui a mentionné à son tour un travail antérieur de Drăghiceanu (1885). Săbba Stefănescu (1897) les a décrites ensemble avec celles du Sarmatien, ne reconnaissant pas le Méotien comme subdivision stratigraphique indépendante. On trouve aussi des relations sommaires sur le Méotien de l'ouest de l'Olténie dans les travaux de Ionescu-Argetoaia (1916, 1918), Filipescu (1942) et Marinescu (1962, 1964, 1969).

¹ Présenté dans la séance du 21 mai 1974.

² Institut de Géologie et de Géophysique, rue Caransebeș no 1, Bucarest.

La séparation et la division détaillée des formations méotiennes a été réalisée par K r e j c i - G r a f (1926), qui recommandait l'utilité d'une nomenclature propre pour les deux subdivisions de cet intervalle, qu'il considérait comme étage. A t a n a s i u (1940) a mieux précisé ce schéma, qui a été utilisé pour l'ouest du Bassin Dacique par M a r i n e s c u (1969). Dans un commentaire critique, A n d r e e s c u (1973, a, b) a apporté des précisions sur les limites du Méotien.

Le degré avancé de détail de la stratigraphie du Néogène supérieur du Bassin Dacique remet aussi en discussion cet intervalle. Cet ouvrage a pris comme point de départ une analyse détaillée autant des mollusques (M a r i n e s c u) que des ostracodes (O l t e a n u) (pl. I - XI), provenant de quelques coupes mieux ouvertes et plus généreuses en informations. L'étude des ostracodes a offert de nombreux taxa nouveaux, décrits dans deux ouvrages indépendants (H a n g a n u, 1973; O l t e a n u, sous presse). On a choisi comme coupes représentatives du Méotien : la coupe de la vallée Fintinile, à l'ouest du village de Crăgulești, et celle de la partie supérieure de Valea Morilor (Seacă), entre les villages de Bobați și de Colibași.

La vallée Fintinile (affluent de la vallée Iazoștea), située entre les villages de Ilovăț, Racova et Băsești, est une petite vallée à eau permanente ; la coupe offre un excellent affleurement des dépôts méotiens. Malgré l'existence d'une discordance en base, le Méotien commence ici par son niveau le plus bas. La première couche comporte des argiles siltyques, dont les seules mollusques trouvées sont des *Radix* à coquille déformée par tassemement. La lamination est parallèle et horizontale. À côté du foraminifère *Strebulus beccarii* (L i n é e), on a trouvé en outre les ostracodes suivants :

- Candonia ex gr. C. labiata* Z a l a n y i
- Candonia ex gr. C. balcanica* Z a l a n y i
- Leptocythere pseudolitiginosa* S t a n e c v a
- Leptocythere pseudodiatifana* S t a n e c v a
- Leptocythere comica* O l t e a n u
- Loxoconcha valiente* S t a n e c v a
- Xestoleberis motasi* O l t e a n u
- Hemicytheria hypocrita* O l t e a n u
- „*Hemicytheria*“ *maeotica* O l t e a n u
- Urocythereis (Drobetaella) mirabilis* O l t e a n u
- Cyprideis* aff. *C. sulcata* Z a l a n y i
- Xestoleberis* aff. *X. lubrica* S u z i n

Suivent, sans transition graduelle, des graviers et des sables à :

- Unio subrecurvus* T e i s s e y r e
- Teissereomya subalava* (T e i s s e y r e)
- Teissereomya negrescui* B o l g i u
- Teissereomya aperta* B o l g i u
- Teissereomya macoveii* B o l g i u
- Teissereomya uniooides* B o l g i u
- Congeria ramphophora* r a m p h o p h o r a B r u n s i n a

Congeria ramphophora voesendorfensis Papp
Congeria homoplatoides Andrusov
Congeria soceni Jekelius
Congeria politioanei Jekelius
Dreissenomya semilunata (Pană)
Dreissenomya subrotundata (Pană)
Dreissenomya neveskae Roška
Ervilia pusilla (Philippi)
Abra ovata tellinoides (Sinzow)
Cardium sp.
Theodoxus (Ninnia) geticus Marinescu
Gyraulus ptilostomus Brusina
Pyrgula (Celekenia) purpurina Andrusov
Velutinopsis velutina (Deshayes)
Velutinellus pileus Marinescu
Velutinellus catinus Marinescu
Helix mrazecii Sevastos
Helix sp.

et aussi de nombreux tubes, probablement des vers annélides.

Bien qu'il soit impossible de faire une séparation lithologique dans ces sables, on distingue toutefois deux niveaux fauniques, soulignés plutôt par les ostracodes que par les mollusques (voir le tableau). Dans le premier niveau, situé tout près du confluent de la vallée Fintimel avec celle de Lazosteia et disposé d'une manière concordante sur les siltites à *Radix*, on trouve surtout des unios, des congères (dont c'est *C. soceni* qui y est prédominante) et *Teisseyreomya* (seulement une espèce inédite). Dans ce niveau inférieur à *Congeria* on trouve les suivantes espèces d'ostracodes :

Candona laebeculata Suzin
Candona danubiana Stanceva
Candona ex gr. *C. labialis* Zalanyi
Candona ex gr. *C. balcanica* Zalanyi
Leptocythere pseudodiasiana Stanceva
Leptocythere comica Olteanu
Leptocythere prebaquana Liventzov
Heterocythereis intimus Olteanu
Hemicytheria (Getocytheria) minima Stanceva
*Hemicytheria (Getocytheria) aff. *H. miranda** Stanceva
Hemicytheria hypocrita (Olteanu)
Urocythereis (Drobettiella) mirabilis Olteanu
Loxoconcha valiente Stanceva
Loxoconcha sp. 1
Xestoleberis mariposa Stanceva
Xestoleberis motasi Olteanu
Xestoleberis castis Mandelstam.

Le niveau supérieur, développé sur la plus grande partie de la coupe, abrite une faune de mollusques très riche et variée (mentionnée ci-dessus),

SARMATIEN	MEOTIEN INFERIEUR			MEOTIEN SUPERIEUR		OSTRACODES
	Niveau à Redix	Niveau inferieur à Congera	Niveau supérieur à Congera	Niveau à Ostracodes		
						<i>Leptocythere aff pseudolympaea Stancova</i>
						<i>Leptocythere pseudostriata Stancova</i>
						<i>Leptocythere uncinata Blizantzi</i>
						<i>Loracantha variolosa Stancova</i>
						<i>Xestoleberis rotosus Blizantzi</i>
						<i>Candida ex gr. levata Zolany</i>
						<i>Candida ex gr. boliviensis Zolany</i>
						<i>Loracantha ornata Schneider</i>
						<i>Hemicytheria hypocrate Blizantzi</i>
						<i>Orcytheres (Brochella) mirabilis Blizantzi</i>
						<i>Hemicytheria macrostica Blizantzi</i>
						<i>Hemicytheria minima Stancova</i>
						<i>Luminescens sp.</i>
						<i>Xestoleberis casta Mandelstam</i>
						<i>Candida aff. leucostoma Stancova</i>
						<i>Heterocythere inflexa Blizantzi</i>
						<i>Leptocythere graeffea Blizantzi</i>
						<i>Leptocythere orbicularis Lengyel</i>
						<i>Leptocythere bisetosa peregrina Blizantzi</i>
						<i>Leptocythere reipublicae Blizantzi</i>
						<i>Hemicytheria regulata Blizantzi</i>
						<i>Hemicytheria marinescu Blizantzi</i>
						<i>Ornithoceras (Ornithoceras) dominopolii Blizantzi</i>
						<i>Loracantha ovalis Blizantzi</i>
						<i>Punctularia stellata Stancova</i>
						<i>Hemicytheria magna Blizantzi</i>
						<i>Candida danubiana Stancova</i>
						<i>Candida gracilis Stancova</i>
						<i>Leptocythere arcuata Blizantzi</i>
						<i>Lenticythere melina Blizantzi</i>
						<i>Xestoleberis marginata Stancova</i>
						<i>Candida ex gr. ciliolata Stancova</i>
						<i>Hemicytheria (G.) bela Stancova</i>
						<i>Hemicytheria (G.) strathella Stancova</i>
						<i>Hemicytheria (G.) monica Stancova</i>
						<i>Hemicytheria costata Blizantzi</i>
						<i>Cypridella punctulata placentaria Riediger</i>
						<i>Cypridella aff. solitaria Zolany</i>
						<i>Cyprinella aff. formosa Schneider</i>
						<i>Cyprinella solitaria (Brady)</i>
						<i>Cyprinella sp.</i>
						<i>Candida mississippiensis Stancova</i>
						<i>Candida leptostoma Stancova</i>
						<i>Leptocythere rufa Stancova</i>
						<i>Leptocythere riparia Stancova</i>
						<i>Leptocythere rotunda Blizantzi</i>
						<i>Hemicytheria auricula Stancova</i>
						<i>Mitrella per obliquiperforata Blizantzi</i>
						<i>Loracantha originalis Stancova</i>
						<i>Loracantha plauta Stancova</i>
						<i>Loracantha aff. torquata Stancova</i>
						<i>Loracantha monticola Blizantzi</i>
						<i>Loracantha nuda Blizantzi</i>
						<i>Nanachera galatensis Stancova</i>
						<i>Schistella alta Stancova</i>
						<i>Loracantha angusta Blizantzi</i>
						<i>Loracantha temperata Blizantzi</i>
						<i>Loracantha pusilla Blizantzi</i>
						<i>Loracantha pusillissima Blizantzi</i>
						<i>Candida aff. canalicula (Lengyel)</i>
						<i>Candida aff. gromusse (Lengyel)</i>
						<i>Luminescens sp.</i>
						<i>Rutella fasciata (Linné)</i>

Tableau avec la répartition des ostracodes dans le Méotien de la partie occidentale du bassin dacique.

ensemble avec de nombreuses formes nouvelles, endémiques de *Theodoxus* et les ostracodes suivants :

- Cyprinotus salinus* (B r a d y)
- Cyprinotus* aff. *O. formosa* Schneider
- Cyprinotus* sp.
- Candona massiccia* Stanceva
- Candona laebeckula* S u z i n
- Candona* ex gr. *C. labiata* Zalanyi
- Candona* ex gr. *C. balcanica* Zalanyi
- Leptocythere* *oculta* Olteanu
- Leptocythere* *intima* Olteanu
- Leptocythere* *comica* Olteanu
- Leptocythere* *bisulcata peregrina* Olteanu
- Leptocythere* *prebaquana* Livental
- Eucythereis* (*Drobetilla*) *mirabilis* Olteanu
- Eucythereis* (*Drobetilla*) *danielopoli* Olteanu
- Heterocythereis* *intimus* Olteanu
- Hemicytheria* *marinesoui* Olteanu
- Hemicytheria* *hipocrita* Olteanu
- Hemicytheria* *magna* Olteanu
- Hemicytheria* *bella* Stanceva
- Hemicytheria* *strabella* Stanceva
- Hemicytheria* *rugulosa* Olteanu
- „*Hemicytheria*“ *maeotica* Olteanu
- Loxoconcha* sp. 1
- Loxoconcha* *ovala* Olteanu
- Loxoconcha* *ornata* Schneider
- Stancevia* sp.
- Pontoleberis* *attillata* (Stanceva)
- Xestoleberis* *motasii* Olteanu
- Xestoleberis* *castis* Madelstam
- Xestoleberis* *mariposa* Stanceva

Quant aux mollusques, on remarque un mélange de formes habituellement considérées comme dulçaquicoles (les unios) et de formes indiquant une salinité plus élevée (*Congeria*, *Abra*).

Suit un niveau de sable fin, argileux, développé comme une grande lentille, à épaisseurs entre 0,2 et 3,3 m, s'éffilant rapidement vers l'est et qui contient :

- Congeria panticapaea* Andrusov
- Errilia minuta* Sinzow
- Theodoxus* sp.
- Velutinopsis velutina* (Deshayes)

Le niveau suivant (à épaisseurs entre 2,8 et 0,04 m) est également lenticulaire, mais s'effile en sens inverse, de sorte que les deux couches semblent se substituer réciproquement. La lithologie en est variable, à partir des sables, même argiles, à l'est, jusqu'à des graviers fins à l'ouest. On remarque ainsi que les dépôts deviennent de plus en plus grossiers

vers l'ancien rivage. La faune est dominée par *Dosinia maeotica* Andrusov, à côté de laquelle on y trouve:

Modiolus incrassatus minor Andrusov

Congeria neumayri Andrusov

Pirenella cf. P. caspia (Andrusov).

Ensemble avec les formes mentionnées, il y a de nombreux exemplaires de *Congeria* et surtout de *Theodoxus*, dont les coquilles sont fortement érodées, polies même, ce qui prouve leur resédimentation du niveau de sables et de graviers à congéries et unios. La fréquence de ces coquilles augmente au fur et à mesure que les dépôts deviennent plus grossiers. Les ostracodes de cet horizon à *Dosinia* sont:

Cyprinotus aff. C. salinus (Bradby)

Cyprinotus sp. 1

Cyprinotus formosa Schneider

Candona massiccia Stanceva

Candona ex gr. C. aculeata Stanceva

Candona danubiana Stanceva

Leptocythere comica Olteanu

Cyprideis punctillata pliocenica Rosyjeva

Cyprideis aff. *C. sulcata* Zalanyi

Trocytherreis (Drobetilla) mirabilis Olteanu

Heterocytherreis intimus Olteanu

„*Hemicytheria*" *costata* Olteanu

Loxoconcha valiente Stanceva,

à côté de *Streblius beccarii* (Linéé), très abondante.

Suivent 14 m d'argiles non litées, progressivement plus sableuses vers la partie supérieure de la coupe, où les seuls débris organiques sont des valves d'ostracodes. Celles-ci représentent un ensemble plus récent que celui de la couche à *Dosinia* et comportent:

Mutilus parabulgaricus Olteanu

Leptocythere graticosa Olteanu

Leptocythere rufis Stanceva

Leptocythere sp.

Cyprideis punctillata pliocenica Rosyjeva

Cyprideis sp.

Hemicytheria magna Olteanu

Loxoconcha monticola Olteanu

Les deux premières formes mentionnées sont prédominantes.

Les derniers dépôts du Méotien sont représentés, sur 8 m d'épaisseur, par une alternance de graviers et de sables à minces lamines siltyques, sans restes fossiles.

La coupe de la partie supérieure de Valea Morilor (le segment dénommé Valea Seacă) a été déjà décrite dans le guide de l'excursion du Groupe de Travail pour la Paratéthys (Marinescu et al., 1972). Le Méotien, transgressif sur le Sarmatiens, y débute par des graviers dépourvus de faune (environ 5 m), suivis des sables gris (2-2,5 m) à nombreuses concrétions gréseuses, déposées parallèlement à la stratification. La

partie supérieure des sables est riches en coquilles de mollusques dont :

Congeria panticapaea Andrusov

Mactra n. spp.

Cardium sp.

Dosinia maeotica Andrusov

Pirenella caspia (Andrusov)

On y trouve en outre quelques restes d'ostracodes indéterminables.

Suit un paquet de 6-7 m d'argiles marneuses grisâtres, régulièrement litées, à fine lamination, marquée par de nombreuses lamination calcaires. Ces argiles comportent aussi des intercalations à texture convolute. Une intercalation sableuse à la partie inférieure du paquet renferme des agglomérations leniticulaires de coquilles, dont on a identifié :

Congeria panticapaea Andrusov

Ervilia minuta Sinzow

Abra ovata tellinoides (Sinzow)

Dosinia maeotica Andrusov

Theodoxus (Ninnia) geticus Marinescu

Pirenella cf. *P. caspia* Andrusov

Ces sont les seuls mollusques rencontrés dans les argiles marneuses mentionnés ; on aurait pu considérer que ces argiles représentent en totalité seulement l'horizon à *Dosinia* mais les ostracodes montrent que ce paquet est équivalent en partie de la subdivision supérieure du Méotien. Les ostracodes du niveau à *Dosinia* ne diffèrent guère de ceux de la vallée Fintinele ; les argiles qui suivent ont fourni une faune d'ostracodes encore plus riche, différente de la faune d'ostracodes récoltée des niveaux antérieurs. On remarque l'abondance des candones. Il faut souligner l'extension régionale de ces argiles, à la partie supérieure du Méotien dans la partie occidentale du Bassin Dacique. Dans le nord de l'Oltenie, elles ont également été signalées par Filipescu (1942) et Motas (1952). Les ostracodes trouvés sont :

Candona misiensis Stanceva

Candona fagiolata Stanceva

Candona danubiana Stanceva

Candona massiccia Stanceva

Candona ricca Stanceva

Candona aff. *candida* Liventzov

Candona aff. *acronasuta* (Liventzov)

Candona ex gr. *C. labiata* Zalanyi

Candona ex gr. *C. aculeata* Stanceva

Candona ex gr. *C. bulcanica* Zalanyi

Leptocythere rufa Stanceva

Leptocythere ripida Stanceva

Leptocythere prebaquana Liventzov

Leptocythere oculta Olteanu

Leptocythere intima Olteanu

Leptocythere gratiosa Olteanu

Leptocythere invincta Olteanu

Hemicythere (Getocythere) parrula Stanceva

- Hemicytheria (Getocytheria) bella* Stanceva
Hemicytheria (Getocytheria) minima Stanceva
Hemicytheria (Getocytheria) strabella strabella Stanceva
Hemicytheria magna Olteanu
Cyprideis punctillata plioeneica Rosyjeva
Cyprideis aff. *C. sulcata* Zalanyi
Loxoconcha originalis Stanceva
Loxoconcha placida Stanceva
Loxoconcha aff. *L. balcanica* Stanceva
Loxoconcha turgida Stanceva
Loxoconcha pustulosa Olteanu
Loxoconcha singularis Olteanu
Loxoconcha temperata Olteanu
Loxoconcha patella Olteanu
Loxoconcha monticola Olteanu
Loxoconcha sp. 2
Loxoconcha sp. 3
Loxoconchella (?) *trista* Olteanu
Stanceria alta (Stanceva)
Stanceria aff. *S. gajatanensis* (Stanceva)
Pontoleberis attillata Stanceva
Xestoleberis mariposa Stanceva
Xestoleberis motasi Olteanu

Il résulte que les trois horizons principaux du Méotien, reconnus dans la partie orientale du Bassin Dacique, sont également présents dans l'ouest de l'Olténie. Leur individualité est autant lithologique que, surtout, paléontologique : le „Süsswasserbank” de Krejci - Graf, avec congéries et unios (détritique grossier), le banc à *Dosinia* (sableux ou silique, à mollusques mésohalins) et l'horizon supérieur où les congéries du groupe de *C. panticapaea* sont les plus fréquentes. Les horizons les plus constants dans le Bassin Dacique sont les deux premiers. L'horizon supérieur comporte les facies les plus variés ; en certains endroits du Bassin Dacique il est représenté soit par des argiles marneuses à ostracodes, soit — à l'est — par des sables à *Viviparus*, les couches à „*Leptanodonta*” (= *Dreissenomya*) et le banc à „*novorossica*”. Cette subdivision ternaire, surtout lithologique, a été employée depuis longtemps pour le Méotien du nord de la Munténie (Krejci - Graf, 1926, 1931; Wenck, 1942). Sans tenir compte du nombre des formations locales, Krejci - Graf a proposé la division du Méotien en deux, dont la subdivision inférieure avec le soit-disant „Süsswasserbank” et le niveau à *Dosinia* et la subdivision supérieure englobant tous les dépôts surjacent, y compris le banc à „*novorossica*” de la partie terminale. Plus tard Atanasiu (1940) a dénommé „Olténien” le Méotien inférieur et „Moldavien” (d'après David) le Méotien supérieur. Les recherches en terrain et l'étude des mollusques nous ont permis (Marinescu, 1969) de délimiter ces subdivisions dans tout le nord et l'ouest de l'Olténie.

A présent, bien qu'on dispose de nombreuses informations sur les mollusques méotiens, nous sommes encore loin d'en avoir un inventaire

complet. Pour certains secteurs du Bassin Euxinique il y a des études de détail, mais pour l'ensemble elles sont encore insuffisantes. En dépit de cette lacune, à partir des données déjà acquises, quelques conclusions s'imposent. Il est à remarquer, tout d'abord, dans l'horizon inférieur, le mélange des unionides, du genre *Unio* même (considéré dulçaquicole à tous les niveaux stratigraphiques), avec de nombreux exemplaires de *Congeria*, dont les plus fréquents sont les formes pannoniques, tels que *Congeria ramphophora ramphophora* et *C. ramphophora voesendorfensis*, bien connues des zones C-D du Pannonien. On y trouve également des espèces connues du Méotien inférieur du SW de l'URSS: *Unio subrecursus*, *Abra ovata tellinoides*, *Dreissenomya nevesskiae* et *Pyrgula (Ceblekenia) purpurina*, ainsi que des mollusques qui, à en juger d'après nos connaissances actuelles, peuvent être considérés comme des endémismes:

Tessyreyomya, *Velutinellus*, *Theodoxus (Ninnia) geticus* et d'autres formes inédites de *Theodoxus*.

Un premier problème à résoudre est celui de la salinité. Les caractères sédimentologiques des dépôts (sur lesquels nous reviendrons dans une note ultérieure) indiquent le voisinage de la côte et un riche apport en détritus. Le mode de gisement, de fossilisation et les caractères des coquilles (fragilité, conservation parfaite, abondance de spécimens jeunes) prouvent l'absence d'un transport de longue durée; d'ailleurs, la coexistence des formes dulçaquicoles avec des formes saumâtres n'est plus considérée actuellement comme un cas particulier, surtout si l'on tient compte des larges possibilités d'adaptation de ces deux catégories fauniques. De même, on ne saurait exclure la possibilité d'une superposition d'eaux à salinités différentes, dans un golfe ou dans un estuaire, comme, par exemple, dans le Delta du Danube, ce qui peut entraîner finalement un mélange — dans le sédiment — de coquilles provenant d'eaux à salinité différente.

L'ensemble de mollusques de l'horizon inférieur indique aussi un échange de faunes entre les bassins dacique et euxinique d'une part et les bassins dacique et pannonique de l'autre part. Le sens d'expansion des mollusques oligohalins a été — semble-t'il — surtout de l'ouest à l'est. En effet les eongéries de type pannonique ne dépassent pas la limite orientale du Bassin Dacique; *Dreissenomya nevesskiae* se trouve jusqu'au nord du Delta du Danube, où persiste même ensemble avec *Dosinia* (R o š k a, 1973), mais pas au-delà. Dans la partie occidentale du même bassin il y a quelques nids d'évolution, dont l'un des plus importants est celui du secteur de la vallée Fintinele, où l'on trouve de nombreuses formes endémiques de *Theodoxus*, associées à d'autres formes qui, une fois apparues, se sont dispersées migrant soit vers l'ouest (le genre *Velutinellus*), soit vers l'est (le genre *Dreissenomya*).

L'immigration des eongéries pannoniques dans le Bassin Dacique s'explique par la grande abondance et variété de l'ensemble de la faune des zones C et D du Pannonien du Banat et par leur potentiel compétitif plus élevé — avec de larges possibilités d'expansion — en comparaison avec les formes autochtones des régions occidentales et septentrionales du Bassin Dacique.



L'horizon à *Dosinia* représente une période de salinité plus élevée, bien que toujours saumâtre (peut-être mézohaline), marquée par la pénétration d'une faune marine (*Dosinia*, *Mactra*, *Pirenella* etc.), semble-t-il, de l'est, pendant la migration égénne. Ce sens de la migration, inverse à celui de la faune du niveau sous-jacent, s'explique également par la compétitivité plus grande de cette faune, beaucoup plus riche à l'est que dans le Bassin Dacique ; le sens d'expansion est le même que celui de la vague marine qui a envahi ce bassin. Il faut spécialement souligner que les premiers éléments de cette migration (*Abra*, *Ervilia*, *Cardium*) se trouvent associées aux congères et aux unios du Méotien basal ; les autres formes apparaissent ensemble avec *Dosinia*, au fur et à mesure de l'uniformisation de la salinité. C'est pour cette raison que la corrélation de l'horizon à *Dosinia* avec la biozone caractérisée par le même fossile index dans le Méotien de l'U.R.S.S. ne semble plus être aussi aisée qu'on ne le pensait auparavant. En effet il paraît plus vraisemblable que les deux horizons distingués dans le Méotien inférieur de la Roumanie constituent ensemble l'équivalent de l'unique horizon représentant le Méotien inférieur au nord de la Mer Noir ; de notre avis, les congères et les unios basales du Méotien de Roumanie seraient contemporains des premiers *Dosinia* de la Russie méridionale.

La salinité plus élevée, de l'époque des *Dosinia*, a constituée une barrière naturelle autant pour l'évolution sur place des espèces autochtones du Méotien basal, que pour leur expansion vers l'est². C'est l'histoire de *Velutinellus* (Marinescu, 1969), dont les descendants n'ont trouvé des conditions favorables d'évolution que dans le Bassin Pannonic, et qui ne sont revenus dans le Bassin Dacique qu'au Pontien inférieur (*Valenciennius*) ; c'est aussi l'histoire des *Dreissenomya*, dont les premiers représentants (*D. nevesskiae*, *D. subrotundata*, *D. semilunata*) se sont réfugiés dans certaines niches, qui nous restent encore inconnues, d'où leurs descendants plus évolutifs [*D. unioidea* Fuchs, *D. rumana* (Wenz)] se sont répandus dans le Bassin Dacique au Méotien supérieur (les soi-disant couches à „*Leptanodonta*“).

Quant à l'horizon à *Dosinia* nous devons également noter que celui-ci occupe une grande superficie marquant des tendances de transgréssivité, tendances mises en évidence entre autres par le remaniement de nombreuses coquilles (surtout de *Terebratulus*) provenant du niveau sous-jacent.

Le Méotien supérieur de l'ouest de l'Olténie est le plus pauvre en mollusques, les formes les plus fréquentes étant les congères du groupe de *C. panticapaea*.

Les variations de salinité mises en évidence par les associations de mollusques sont également soulignées par les ostracodes, indicateurs écologiques très sensibles. Des espèces d'ostracodes mentionnées du Méotien euxinique et dacique, dont le nombre dépasse de quelque peu 150,

² Ce sont justement ces différences fauniques qui ont suggéré aux spécialistes de l'U.R.S.S. une corrélation entre l'horizon basal du Méotien de Roumanie avec la partie sommitale du Chersonien, bien que les faunes des deux niveaux n'aient absolument rien en commun !

4,1% ont une grande longévité, allant du Sarmatien jusqu'au Pliocène supérieur, 7,3% sont communes au Sarmatien et au Méotien, et 15,6% apparaissent au Méotien et persistent au Pontien. Le reste, c'est à dire 73% est représenté par des espèces propres au Méotien.

À juger d'après nos connaissances actuelles sur le secteur occidentale du Bassin Dacique, la faune d'ostracodes du Méotien y comporte 65 espèces, donc 43%, propres ; de celles-ci, 25% sont des espèces nouvelles, décrites dans un ouvrage sous presse (Olteneanu), le reste étant représenté par des formes décrites par Stancheva, des dépôts méotiens du NW de la Bulgarie (1964, 1969), équivalents de ceux de l'Olténie, et par Hanganu (1973) du niveau à *Dosinia* de l'Olténie. Celles également mentionnées en U.R.S.S. ne représentent que 4% de l'association. Les nombreuses espèces nouvelles identifiées dans le secteur occidental du Bassin Dacique semblent être pour la plupart des formes endémiques, apparues sous l'influence des facteurs écologiques locaux, liés à la proximité du bord du bassin. En absence d'études plus avancées concernant l'ensemble des ostracodes du Bassin Dacique nous ne pouvons pour l'instant nous hasarder à faire des comparaisons inter-régionales et à tirer des conclusions sur la répartition paléogéographique des différentes formes qu'y ont été identifiées.

Il est difficile de supposer que les nombreuses espèces représentées au Méotien inférieur, qui marquent ici une vraie explosion, sont toutes apparues à ce niveau ; il nous paraît plus probable qu'elles soient issues dans l'intervalle du Chersonien (si non même à un niveau plus bas). L'évolution rapide de certains de ces taxa peut suggérer l'existence de certains centres d'évolution, particulièrement favorables, mais la néconnissance de la faune d'ostracodes du Bessarabien et du Chersonien ne nous en permet pas de faire des considérations phylogéniques.

Au cours du Méotien on remarque quelques lignées. Il faut souligner le développement explosif des genres *Hemicythereia* et *Urocythereis* au niveau du premier horizon du Méotien inférieur (à *Congeria* et *Unio*). Leur évolution ultérieure est entravée par la vague à salinité plus élevée de l'horizon à *Dosinia*. De même, le sous-genre *Drobetilla*, avec ses deux espèces richement représentées, n'arrive pas à franchir cette barrière saline ; il devient ainsi un très bon fossile repère pour le Méotien basal.

"Hemicythereia" maeotica donne comme descendant *"Hemicythereia" costata*, présente autant dans le niveau à *Dosinia*, que dans les premiers niveaux surjacent. Il est assez probable donc que la salinité plus élevée marquée par la présence de *Dosinia* n'est pas restreinte au niveau d'apparition de ce genre mais qu'elle a persisté plus longtemps. En Olténie, au dessus du niveau de 0,5 m d'épaisseur à faune marine, se distingue une zone d'ostracodes à *"Hemicythereia" costata* et *Mutilus parabulgaricus*, cette dernière étant cantonnée strictement à ce niveau.

Les Hemicytherides, bien représentées dans le Méotien basal, mais absentes de l'horizon à *Dosinia* et des premiers niveaux qui le surmontent, ont survécu abritées dans certains refuges et ont connu une vraie éruption pendant la dernière partie du Méotien, mise en évidence par une grande

diversité spécifique (le sous-genre *Getocythereia*, à nombreuses espèces décrites par Staniceva, 1969).

L'horizon à *Dosinia*, très mince en Olténien, est pauvre en ostracodes. Il n'a fourni — comme épisode de courte durée d'une salinité plus élevée, vite remplacé par les eaux moins salées du Méotien supérieur — qu'une faune immigrée, éuritrope, à larges valences écologiques. Excepté „*Hemicythereia*" *costata*, strictement cantonnée dans l'horizon marin à *Dosinia* et dans les couches surjacentes, le reste de l'ostracofaune n'a pas résisté à l'adoucissement subseqent, à l'exception — évidemment — du genre *Cyprideis*, largement éurhalin.

C'est le genre *Cyprinotus*, avec plusieurs espèces, dont l'optimum écologique se place à ce niveau, qui donne la note caractéristique (de rares exemplaires sont connus aussi dans le niveau à congères et unios du Méotien basal), à côté de certaines espèces sarmatiennes (*Loxoconcha valiente*) et d'espèces à plus grande longévité, présentes dans tout l'intervalle du Méotien (*Candonia massiccia*, *C. aff. laebeculata*, *C. ex gr. balcanica*, *C. ex gr. tabiata*, *Xestoleberis mariposa*, *X. motasi*). L'espèce le mieux représentée à ce niveau est *Leptocythere graticosa*.

Il s'ensuit que de l'ensemble de la faune méotienne d'ostracodes approximativement 30% se trouve cantonné dans l'horizon inférieur. L'évolution de cette première association a été brutalement interrompue par l'invasion marine à *Dosinia*, *Errilia*, *Mactra*, *Pirenella* etc.; cette invasion a fonctionné comme filtre biologique, ne sélectionnant que peu d'espèces aptes à évoluer pendant l'intervalle suivant pour fournir de nouveaux taxa. Il s'agit probablement d'une faune inhibée par la salinité plus élevée mais réactivée aux niveaux supérieurs du Méotien. Malgré les modifications dues aux changements de salinité, il y a toutefois des éléments caractéristiques pour tout le Méotien inférieur (Olténien), qui confèrent à cette subdivision un cachet particulier et une véritable unité. Le changement presque radical de la faune s'est produit au dessus de l'horizon à *Dosinia*, celui-ci se reliant par sa faune à l'horizon sous-jacent à congères et unios. On remarque donc que, en partant soit des mollusques soit des ostracodes, les conclusions sont les mêmes.

Le début du Méotien supérieur (Moldavien) est marqué dans l'ouest du Bassin Dacique par un petit nombre d'espèces d'ostracodes, tandis que la malacofaune y marque un hiatus; la situation change rapidement, par suite de la grande diffusion des candones (*Candonia ricca*, *C. misiensis*, *C. fagiolata*, cantonnées strictement dans ce niveau), à côté de *Loxoconcha trista*, *Stancevia alta*, *S. gaitanensis*. C'est le faciès marneux du Méotien supérieur qui est le plus riche en ostracodes dans l'ouest de l'Olténie. A juger d'après nos observations il semble que *Loxoconcha originalis* soit un fossile index pour le Méotien supérieur.

Il résulte de cette étude que l'ostracofaune du Moldavien (Méotien supérieur), qui représente à-peu-près 41,5% de celle du Méotien pris en totalité, est caractérisée par les candones et les genres *Stancevia* (avec deux espèces) et *Pontoleberis*. Ce dernier offre un élément nouveau et très utile — par ses formes à valeur chronostratigraphique : *P. attilata* et *P. attilata pontica* — pour tracer la limite Méotien-Pontien.

Toutes les données que nous avons présentées dans cet ouvrage confirme la possibilité, entrevue par K r e j c i - G r a f et A t a n a s i u, de séparer dans le cadre du Méotien deux subdivisions, sans tenir compte de la variation lithologique. Nous sommes d'avis que les deux dénominations employées par A t a n a s i u pour désigner ces deux subdivisions, respectivement Olténien et Moldavien, restent valides, surtout qu'elles ont été utilisées par de nombreux auteurs. Quoique J e a n r e n a n d (1969) a remarqué récemment que dans la région qui a suggéré à D a v i d le nom de Moldavien (1922) le Méotien fait défaut et que les formations considérées méotienennes par D a v i d appartiennent en réalité au Sarmatiens, il ne faut pourtant oublier que le nom de Moldavien a été ultérieurement employé, par de nombreux auteurs, toujours dans le sens de Méotien supérieur (et seulement dans ce sens-là !), étant bien défini et encadré par K r e j c i - G r a f et A t a n a s i u. Donc, à notre avis, l'unique correction qu'on puisse faire est de lui désigner un stratotype, qui d'ailleurs lui a toujours manqué. Quant aux corrélations avec le Méotien russe, nous considérons que le sujet sort du cadre de cette note, de même qu'une discussion sur la valeur stratigraphique du Méotien. Il faut toutefois remarquer que, dans la région méridionale de l'U.R.S.S., région très labile et sujette à de nombreuses oscillations, il y a des secteurs où la base du Méotien peut manquer ; nous pensons aussi que le régime à salinité plus élevée (à *Dosinia*) s'y est installé plus tôt que dans le Bassin Dacique, où, à ce temps-là, existait déjà le facies à congères et unios. Une telle corrélation met en évidence l'unité de l'Olténien, dont la valeur stratigraphique dépasse les limites du Bassin Dacique, ayant aussi la priorité.

En conclusion, il faut souligner encore une fois les possibilités offertes par les ostracodes pour séparer deux subdivisions dans le Méotien, la subdivision inférieure étant caractérisée par une association à affinités sarmatiennes, la subdivision supérieure — par une association annonçant l'ostracofaune pontienne. La même remarque est valable pour les mollusques : tandis que les congères et les mollusques mésohalins (*Dosinia*, *Mactra*, *Abra*, *Ervilia*, *Pireneella* etc.), prouvent des relations fauniques avec le Sarmatiens (Volhyenien y compris), le Méotien supérieur, par certaines formes de *Viviparus*, *Dreissenomya* et *Congeria* (*panticapaca*, *novorossica*, *navicula*), trahit de fortes affinités avec le Pontien (*Congeria novorossica*, *novorossica*). En ce qui concerne la valeur stratigraphique du Méotien en tant qu'étage indépendant ou comme subdivision d'un étage plus grand — Malvensien — elle prête encore à discussion.

BIBLIOGRAPHIE

- Andreeescu I. (1973 a) Critical observations on the Meotian. *Rev. Roum. Géol. Géof. Geogr.*, ser. *Géologie*, 17, 2, Bucureşti.
 — (1973 b) Precizări asupra limitelor etajului Meotian. *Stud. cerc. geol., geogr., ser. Geologie*, 18, 2, Bucureşti.

- Atanasiu I. (1940) Contribution à la géologie des pays Moldaves. *Ann. Inst. Géol. Roum.*, XX, Bucureşti.
- Săulea Emilia (1948) Contributions à la connaissance de la faune de l'étage Méotien, *Rotalia beccari L. Notations biologique*, VI, 1–2, Bucureşti.
- Bologiu O. (1942) Neue Daten zur Geologie des Gebietes von Năruja Andrieşul, Roumanien. *Mitt. d. geol. Gesell. in Wien*, 35 Bd. Wien.
- David M. (1915–1920) Cercetări geologice în Podișul Moldovei. *An. Inst. Geol. Rom.*, IX, Bucureşti.
- Drăghiceanu M. (1885) Mchedinții, Studii geologice, tehnice și agronomice, Bucureşti.
- Filipescu M. (1942) Recherches géologiques sur le NW de l'Olténie. *Bul. Soc. Rom. Geol.*, V, Bucureşti.
- Hanganu E. (1973) Contribution à la secteur compris entre les vallées de Bistrița et de Lunca Văii. *Stav. Roum. Géol. Géogr., sér. Géologie*, 17, 2, Bucureşti.
- Jonescu Argetoiaia (1914) Contribuții la studiul faunei de molușce pliocene din Oltenia. *An. Inst. Geol. Rom.*, VIII, Bucureşti.
- (1914) Pliocenul din Oltenia. *An. Inst. Geol. Rom.*, VIII, Bucureşti.
- Krejci K., Wenz W. (1926) Jungtiere Landschnecken aus dem Mäot von Năeni-Finișele (jud. Buzău) und dem Levantin von Perșinari (Jud. Buzău). *Centralblatt f. Min. Abt. B.*, 15, Stuttgart.
- Wenz W. (1931) Stratigrafie und Palontologie des Obermiozäns und Pliozäns der Muntenia (Rumänien). *Zeitschrift der deutschen Geol. Gesell.* Bd. 83, H., 2–3, Berlin.
- Marinescu F. (1962) Două specii noi de Ninnia în Meotianul din Oltenia de vest (bazinul dacic). *Acad. R.P.R. Stud. cere. geol.* VII/2, Bucureşti.
- (1964) Propuneri cu privire la orizontarea Ponțianului din partea occidentală a bazinului dacic. *Stud. cere. geol., geof., geogr., ser. Geologie*, XI, 1, Bucureşti.
 - (1969 a) Precizări stratigrafice privind Sarmatianul și Meotianul din nordul Olteniei. *D. S. Inst. Geol.* LIV/3, Bucureşti.
 - (1969 b) Velutinellus, nouveau genre fossile de la famille des lymnaeidae et ses relations avec Velutinopsis et Valencienellus. *Malacologia* 9 (2), Michigan.
- Moias I. C. (1862) Cercetări geologice în regiunea Bengești–Plișeu–Zorlești–Negoești (depresiunea getică – Oltenia). Notă preliminară. *D. S. Com. Geol.* XXXIX, Bucureşti.
- Murgoci G. (1907) Terțiarul din Oltenia cu privire la sare, petrol și ape minerale. *An. Inst. Geol. Rom.*, I, Bucureşti.
- Reمانе A. (1958) Die Biologie des Brackwassers. Stuttgart.
- Roska V. H. (1973) Molluski meotisa severo-zapadnogo Pricernomoria. *Izd. Știința*, Chișinău.
- Stefănescu Sabba (1897) Étude sur les terrains tertiaires de Roumaine (Contribution à l'étude des faunes sarmatiennes, pontiques, etc.). *Mém. Soc. Géol. Fr.* VI, 1, Paris.
- Stanceva M. (1969) Hemicytheria (Getocytheria) subgen. n. and, this representatives in north-western Bulgaria. *Bull. Géol. Inst. sér. Pal.* XX, Sofia.
- Wenz W. (1942) Die Mollusken des Pliozäns der rumänischen Erdalgebiete, *Senckenbergiana* Bd. 24, Frankfurt a. Main.

PLANŞA I

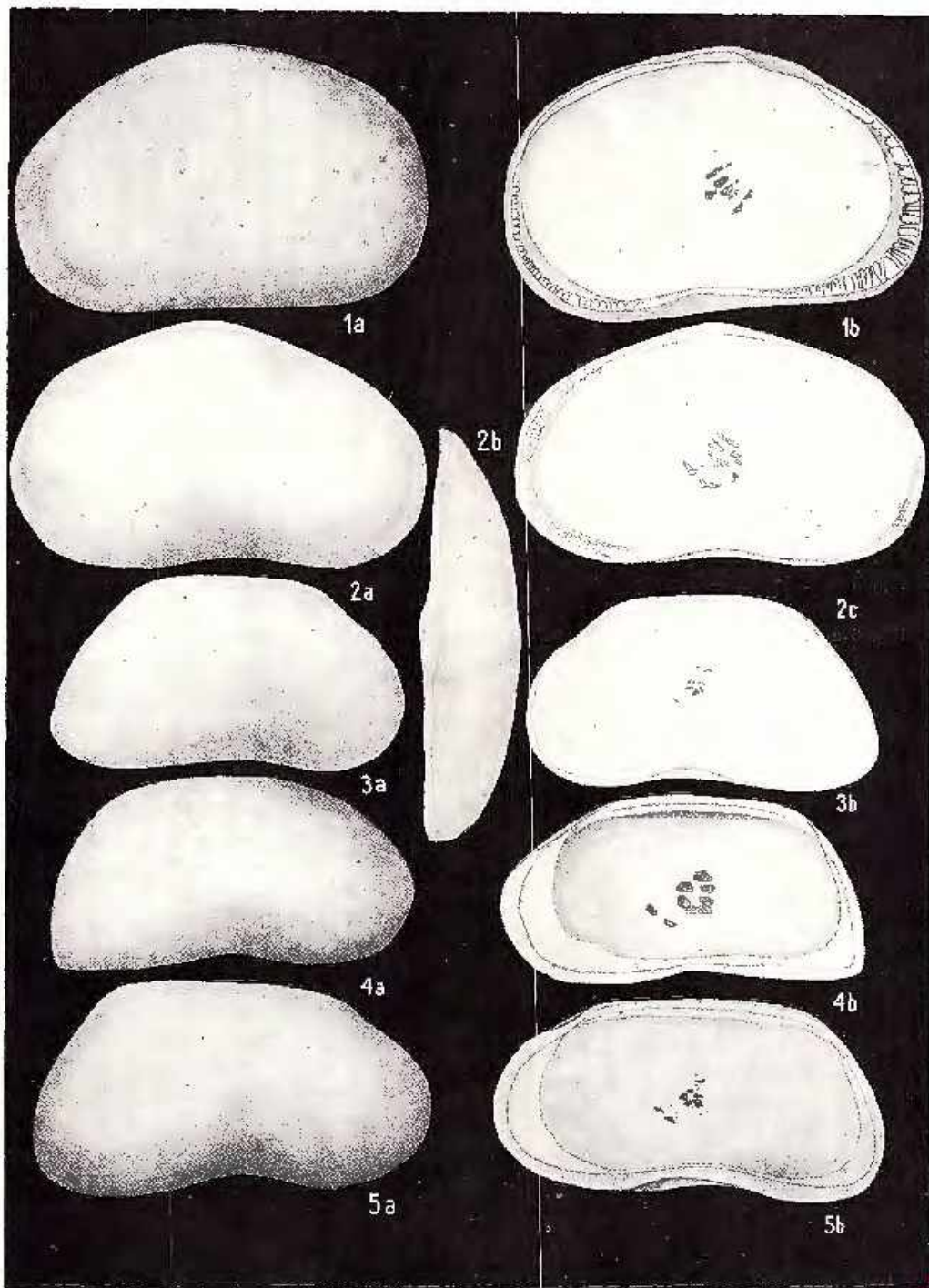


Institutul Geologic al României

PLANŞA I

- Fig. 1 a, b. — *Cyprinodus aff. salinus* (Brady), vallée de l'Inhulec, le niveau à *Dosinia*, Méotien inférieur.
- Fig. 2 a, b, c. — *Cyprinodus aff. formosa* Schneider, vallée de l'Inhulec le niveau à *Dosinia*, Méotien inférieur.
- Fig. 3 a, b. — *Candonia (Caspiohypiris) candida* (Liventsov), Valea Seară, Méotien supérieur.
- Fig. 4 a, b. — *Candonia ex gr. balcanica* (Zalány), Valea Seară, Méotien supérieur.
- Fig. 5 a, b. — *Candonia fagiolata* Stančevá, Valea Seară, Méotien supérieur.





PLANŞA II

Fig. 1 a, b. — *Candona misensis* Stancevă, Valea Seacă, Méotien supérieur.

Fig. 2 a, b. — *Candona* sp., Valea Seacă, Méotien supérieur.

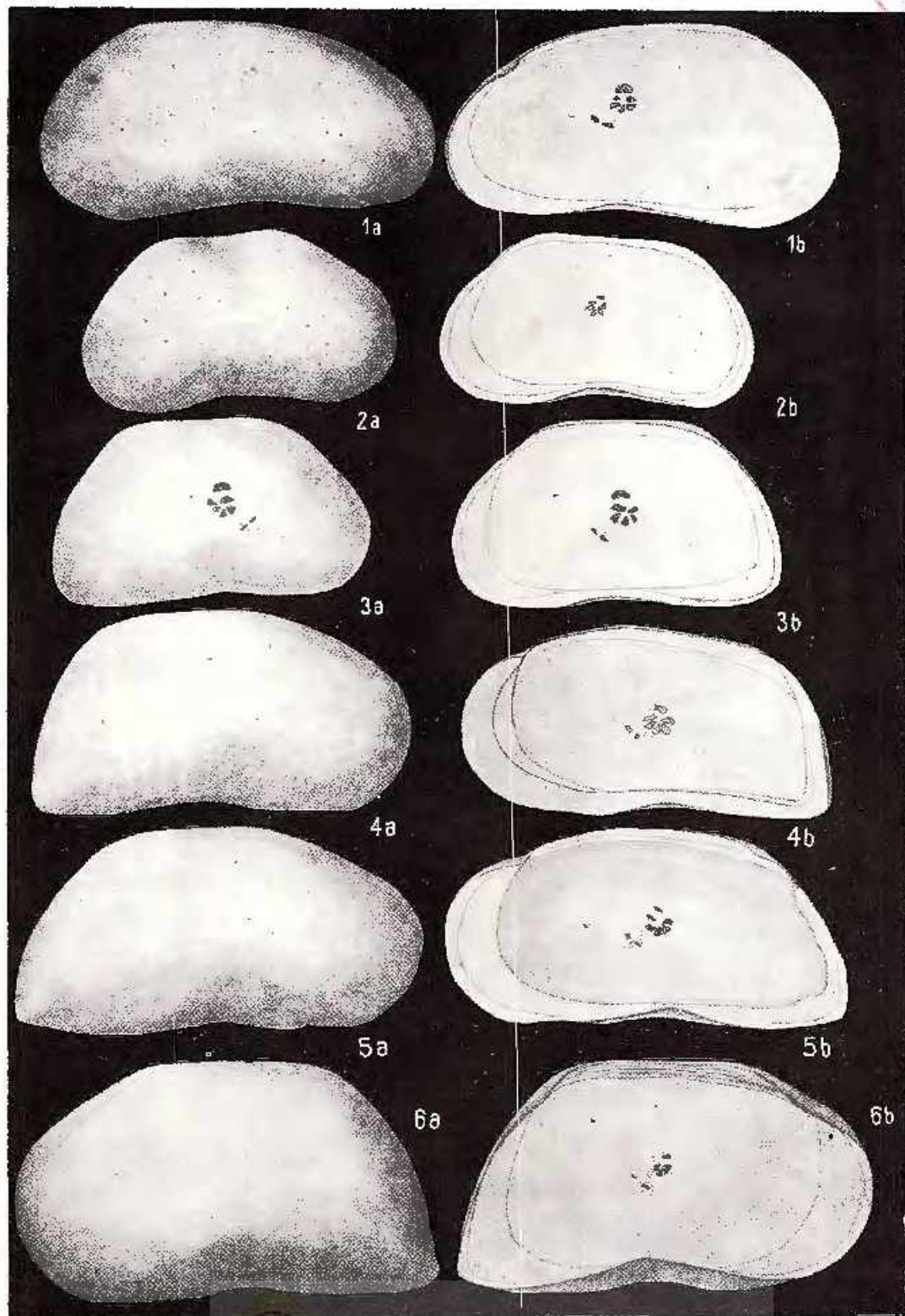
Fig. 3 a, b. — *Candona* ex gr. *labilis* Zalany, Valea Seacă, Méotien supérieur.

Fig. 4 a, b, 5 a, b. — *Candona* ex gr. *balcanica* (Zalany), Valea Seacă, Méotien supérieur.

Fig. 6 a, b. — *Candona* (*Caspieola*) aff. *acronasuta* (Liventati), Valea Seacă, Méotien supérieur.



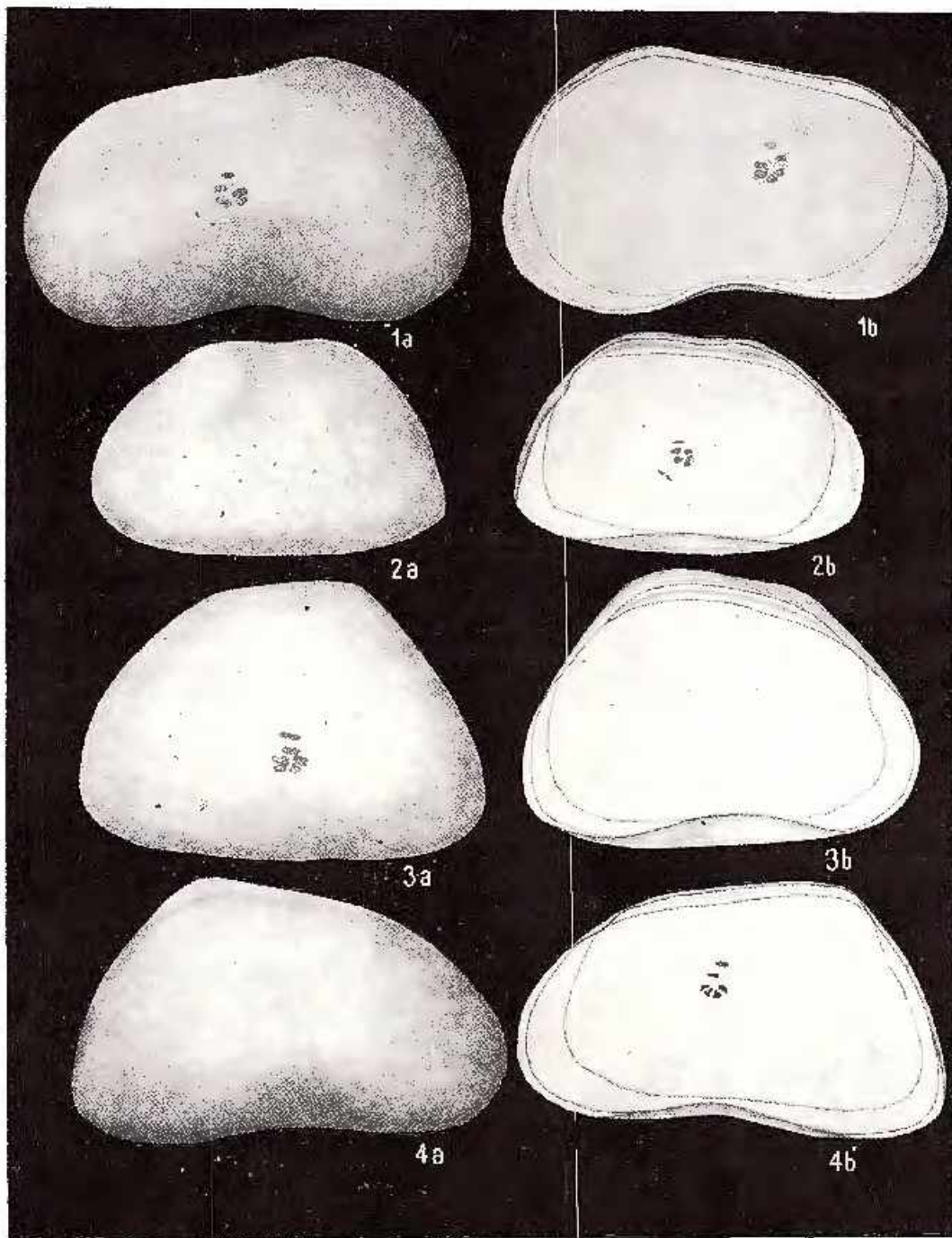
97012
INSTITUTUL DE GEOLOGIE SI GEOPHYSICA



PLAÑSA III

- Fig. 1 a, b. — *Candona fagiolaia* Stančevia, Valea Seacă, Méolien supérieur.
 Fig. 2 a, b. — *Candona danubiana* Stančevia, Valea Seacă, Méolien supérieur.
 Fig. 3 a, b. — *Candona masseria* Stančevia, Valea Seacă, Méolien supérieur.
 Fig. 4 a, b. — *Candona rieca* Stančevia, Valea Seacă, Méolien supérieur.





Institutul de Geologie și Geofizică. Dări de seamă ale ședințelor, vol. LXI/4.



Institutul Geologic al României

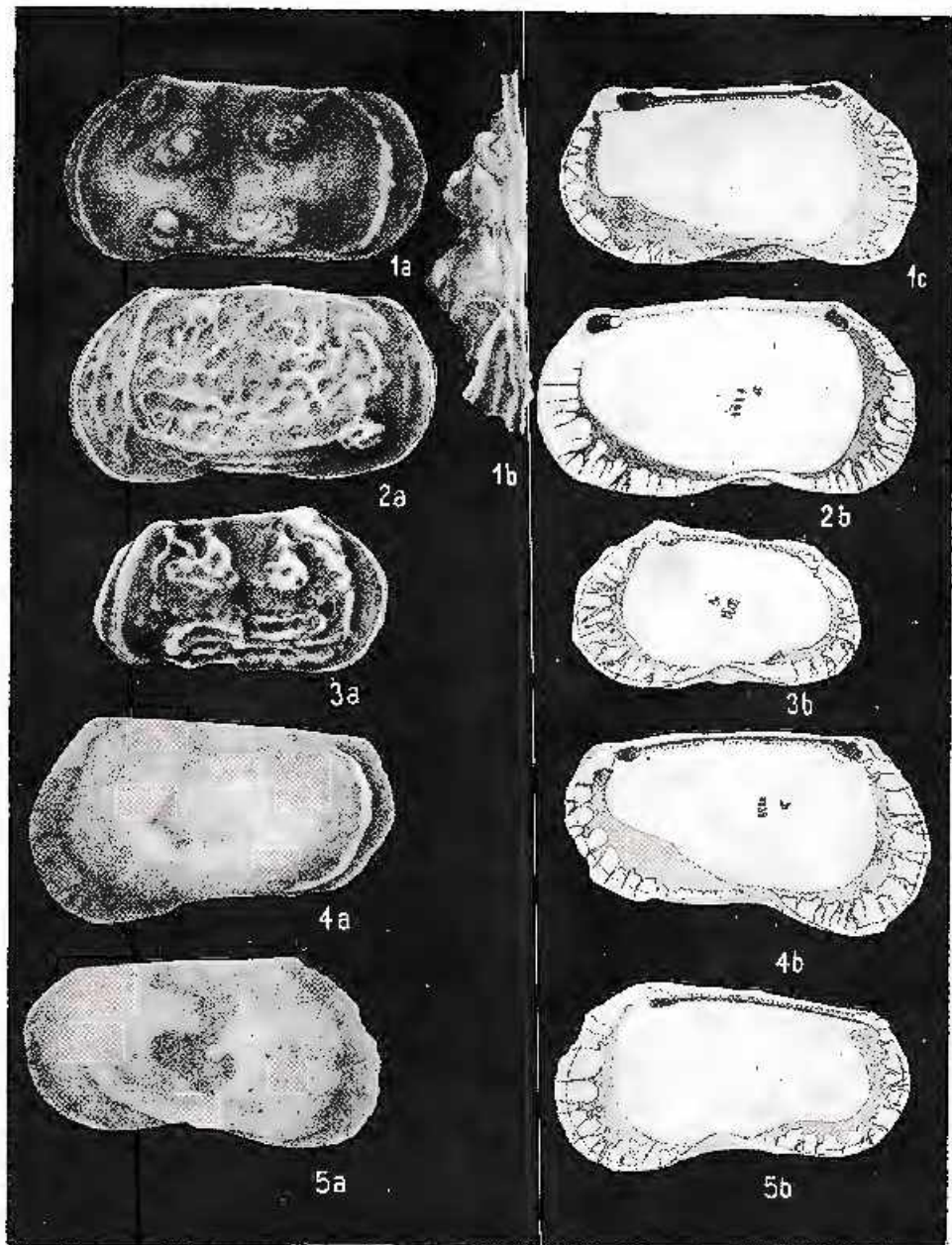


PLANSĂ IV

- Fig. 1 a, b, c. — *Leptocythere probaiana* Livanthal, Valea Seacă, Méotien supérieur.
Fig. 2 a, b. — *Leptocythere oculta* Olteanu, Valea Seacă, Méotien supérieur.
Fig. 3 a, b. — *Leptocythere rigida* Stančević, Valea Seacă, Méotien supérieur.
Fig. 4 a, b. — *Leptocythere pseudodiasana* Stančević, vallée de l'Infinie, Méotien inférieur.
Fig. 5 a, b. — *Leptocythere griseosa* Olteanu, vallée de l'Infinie, le niveau à *Dasinia*, Méotien inférieur.



Fl. MARINESCU, R. OLTEANU. Mollusques et ostracodes méotiennes.
Pl. IV.



Institutul de Geologie și Geofizică. Dări de seamă ale ședințelor, vol. LXI/4.

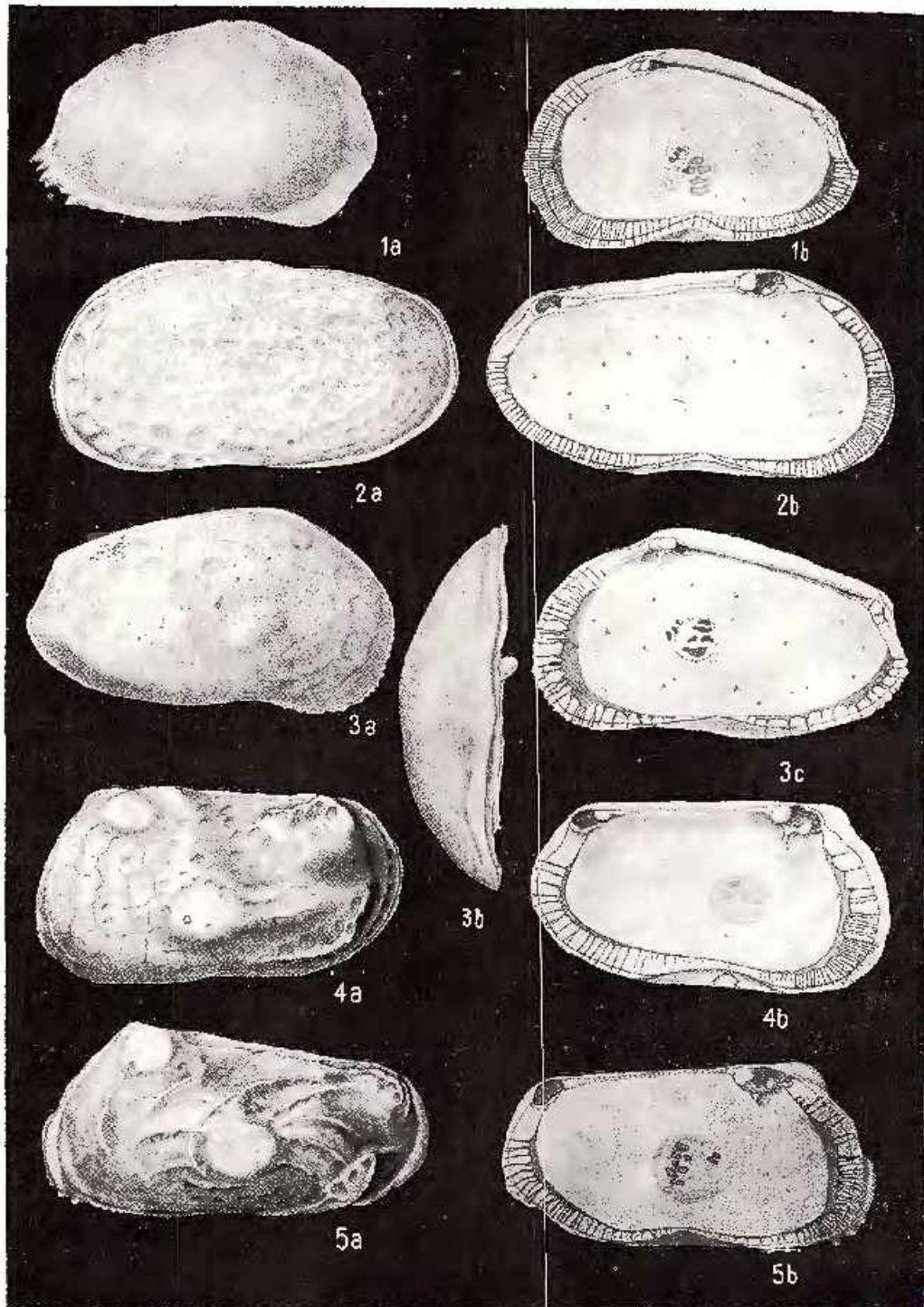


Institutul Geologic al României

PLANSA V

- Fig. 1 a, b. — *Mutisius parvibularius* Olteanu, vallée de Fântânele, Méotien supérieur.
- Fig. 2 a, b. — *Hemicythereia regnata* Olteanu, vallée de Fântânele, Méotien inférieur.
- Fig. 3 a, b, c. — *Urocythereis (Drobetella) mirabilis* Olteanu, vallée de Fântânele, Méotien inférieur.
- Fig. 4 a, b. — *Urocythereis (Drobetella) danilepoloi* Olteanu, valve gauche, ♀, vallée de Fântânele, Méotien inférieur.
- Fig. 5 a, b. — *Urocythereis (Drobetella) danilepoloi* Olteanu, valve gauche, ♂, Méotien inférieur.





Institutul de Geologie și Geofizică. Dări de seismă ale ședințelor, vol. LXI/4.



Institutul Geologic al României



PLANSA VI

- Fig. 1, 2. — *Hemicytheria magna* Olteanu, valve droite, adulte, vallee de l'Intinile, Néotien inférieur.
- Fig. 2 a, b. — *Hemicytheria magna* Olteanu, (a) valve gauche, adulte, (b) juvénile.
- Fig. 3 a, b. — *Hemicytheria parvula* Stančeva, (a) adulte, Valea Seacă, Néotien supérieur, (b) juvénile.
- Fig. 4. — *Hemicytheria parvula* Stančeva, juvénile.



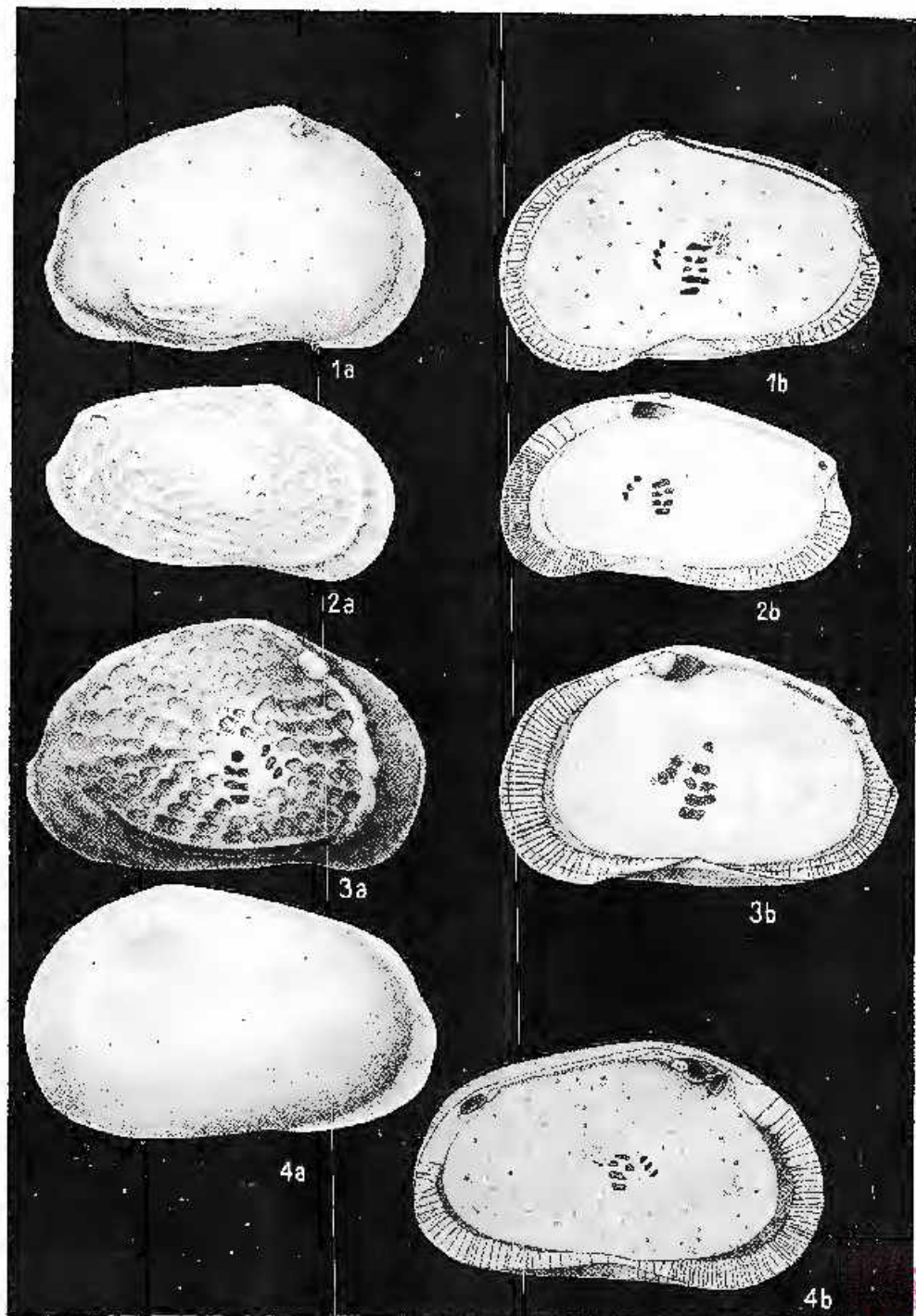
INSTITUTUL
97812



PLANŞA VII

- Fig. 1 a, b. - *Hemicypraea hypocrita* Olténia, vallée de l'Intinele, Méotien inférieur.
Fig. 2 a, b. - *Hemicypraea marinensis* Olténia, vallée de l'Intinele, Méotien inférieur.
Fig. 3 a, b. - *Hemicypraea minima* Stanceva, Valea Seacă, Méotien supérieur.
Fig. 4 a, b. - *Heterocythereis intima* Olténia, vallée de l'Intinele, Méotien inférieur.





Institutul de Geologie și Geofizică. Dări de seamă ale ședințelor, vol. LXI/4,

97812



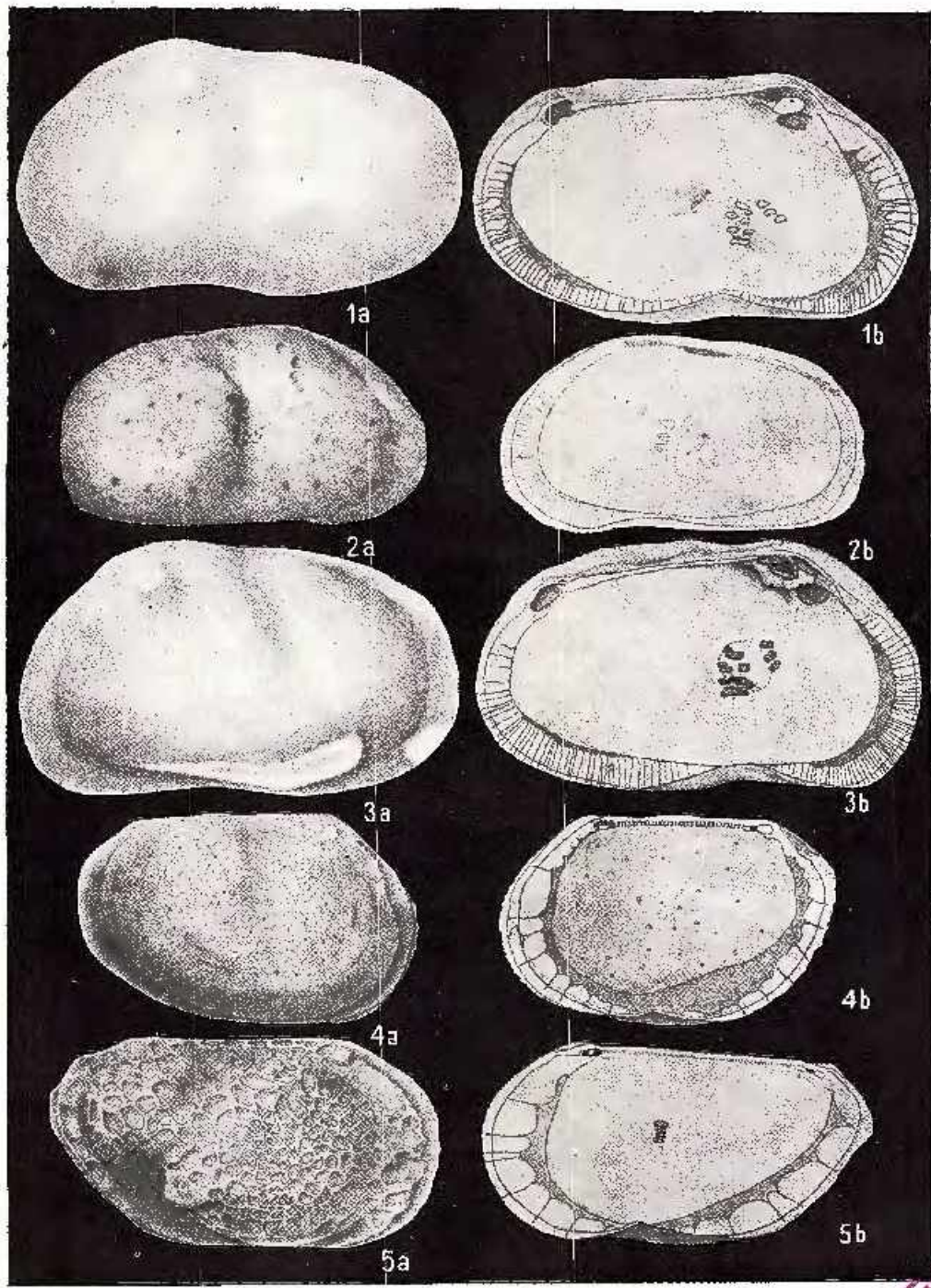
Institutul Geologic al României

PLANŞA VIII

- Fig. 1 a, b. — „*Hemicytheria*” *meotica* Olléau, le niveau à conglomérés, vallée de Fintinele, Méotien inférieur.
- Fig. 2 a, b. — *Cyprideis sulcatus* Zalany, Valea Seacă, Méotien supérieur.
- Fig. 3 a, b. — *Cyprideis punctilata pilovenica* Rosyjeva, Valea Seacă, Méotien supérieur.
- Fig. 4 a, b. — *Loxoconcha valente* Stanceva, vallée de Fintinele, Méotien inférieur.
- Fig. 5 a, b. — *Loxoconcha ornata* Schneider, vallée de Fintinele, Méotien inférieur.

Exemplare de *Loxoconcha ornata*





Institutul de Geologie și Geofizică. Dări de seamă ale ședințelor, vol. LXI/4.

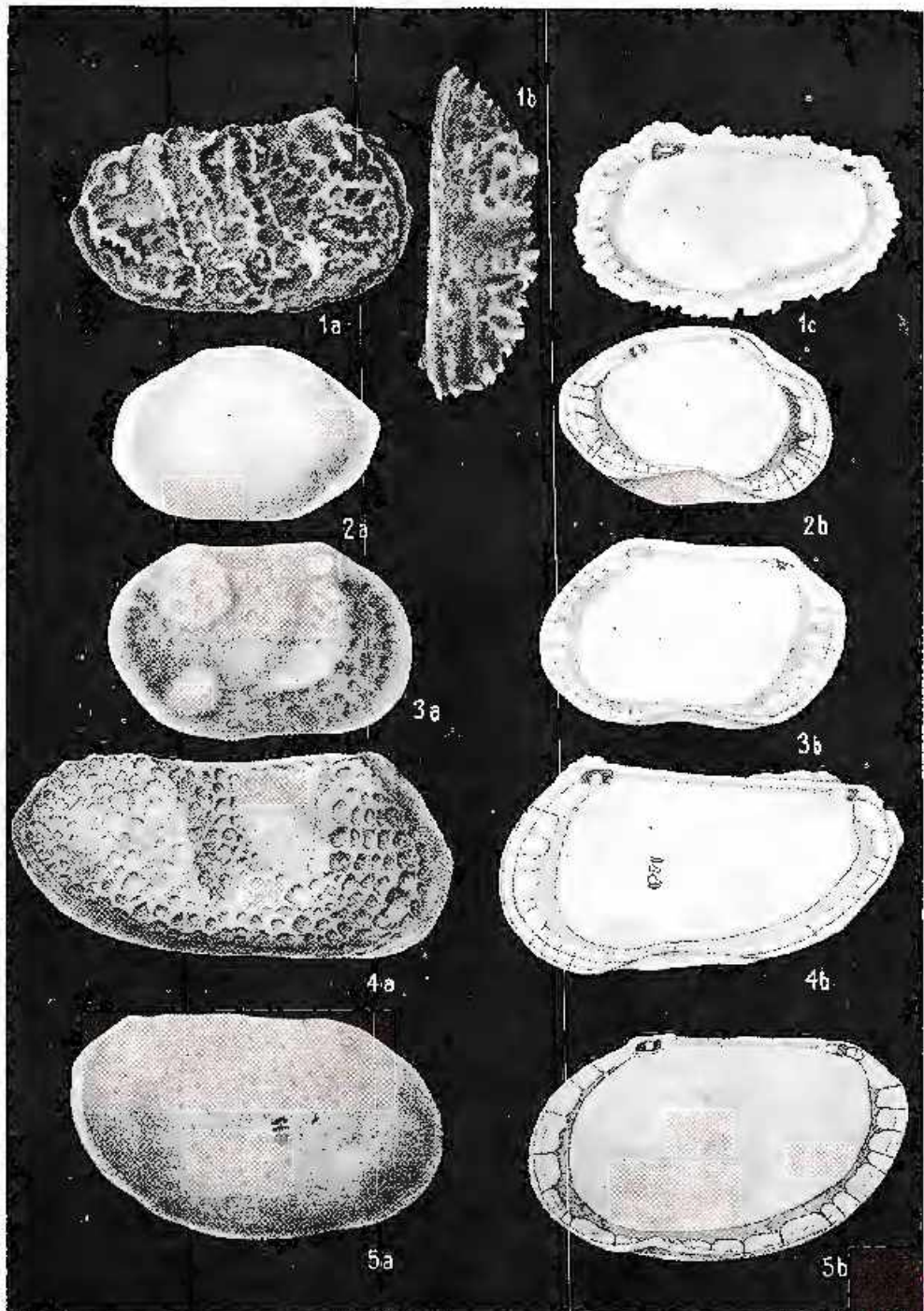


Institutul Geologic al României

PLANSA IX

- Fig. 1 a, b, c. — *Lezeconcha originalis* Slanceva, Valea Seacă, Méotien supérieur.
Fig. 2 a, b. — *Laroconcha ovala* Oltéanu, vallée de l'Intînele, Méotien inférieur.
Fig. 3 a, b. — *Larocncha monticola* Oltéanu, Valea Seacă, Méotien supérieur.
Fig. 4 a, b. — *Larocncha* sp. 3, Valea Seacă, Méotien supérieur.
Fig. 5 a, b. — *Larocncha* aff. *turgida* Slanceva, Valea Seacă, Méotien supérieur.





Institutul de Geologie și Geofizică. Dări de seamă ale ședințelor, vol. LXI/4.



Institutul Geologic al României

PLANSA X

Fig. 1 a, b, c. — *Loxoconcha* sp. 1, vallée de Pintinele, Méotien inférieur.

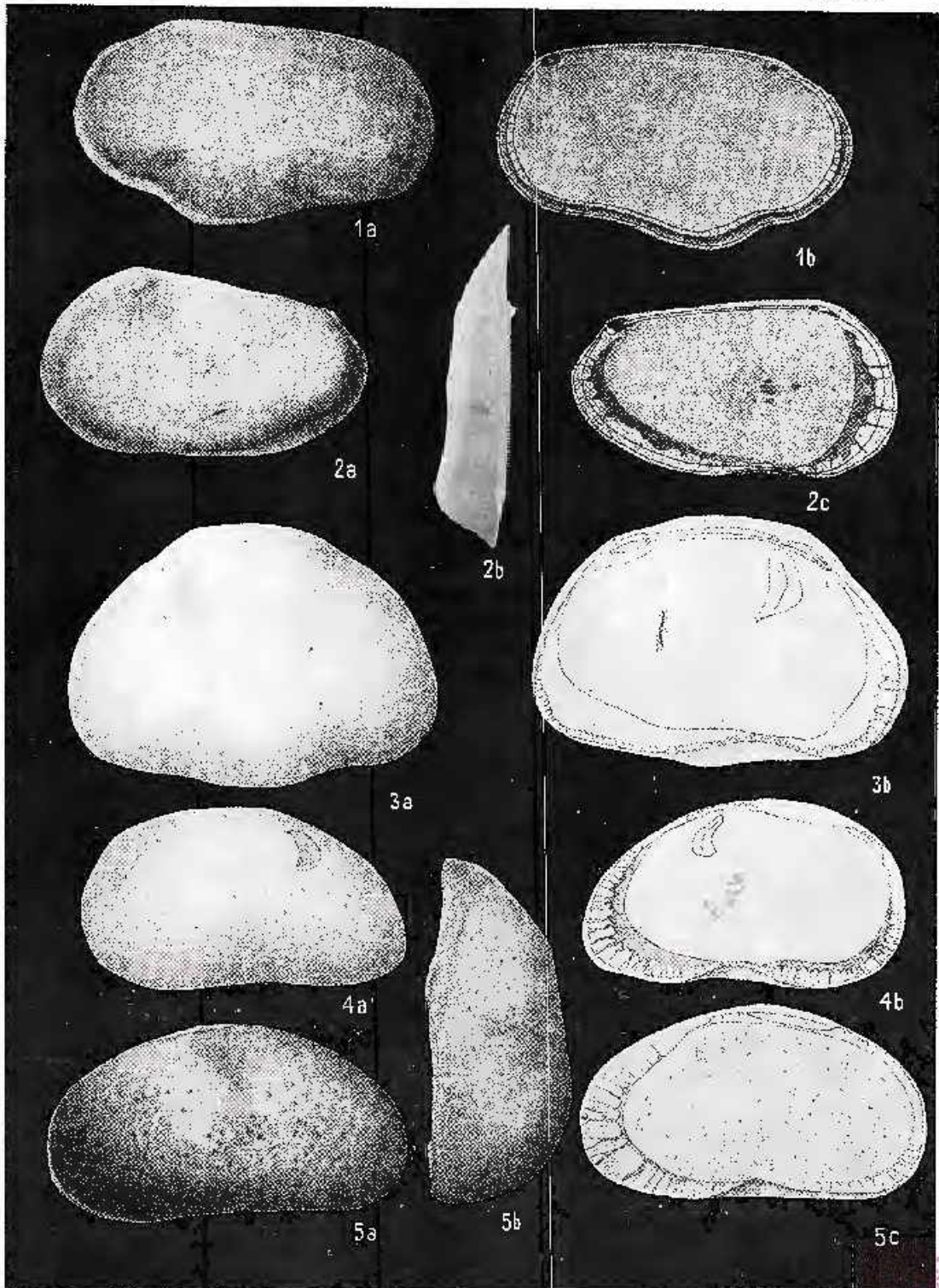
Fig. 2 a, b, c. — *Loxoconcha* sp. 2, Valea Seacă, Méotien supérieur.

Fig. 3 a, b. — *Nestoleberis molasi* Oiteanu, vallée de Pintinele, Méotien inférieur.

Fig. 4 a, b, c. — *Nestoleberis* aff. *castis* Mandelstam, vallée de Pintinele, Méotien inférieur.

Fig. 5 a, b, c. — *Pontoicheris giffittata* Săvareșea, Valea Seacă, Méotien supérieur.
Lépidostrocte à D.



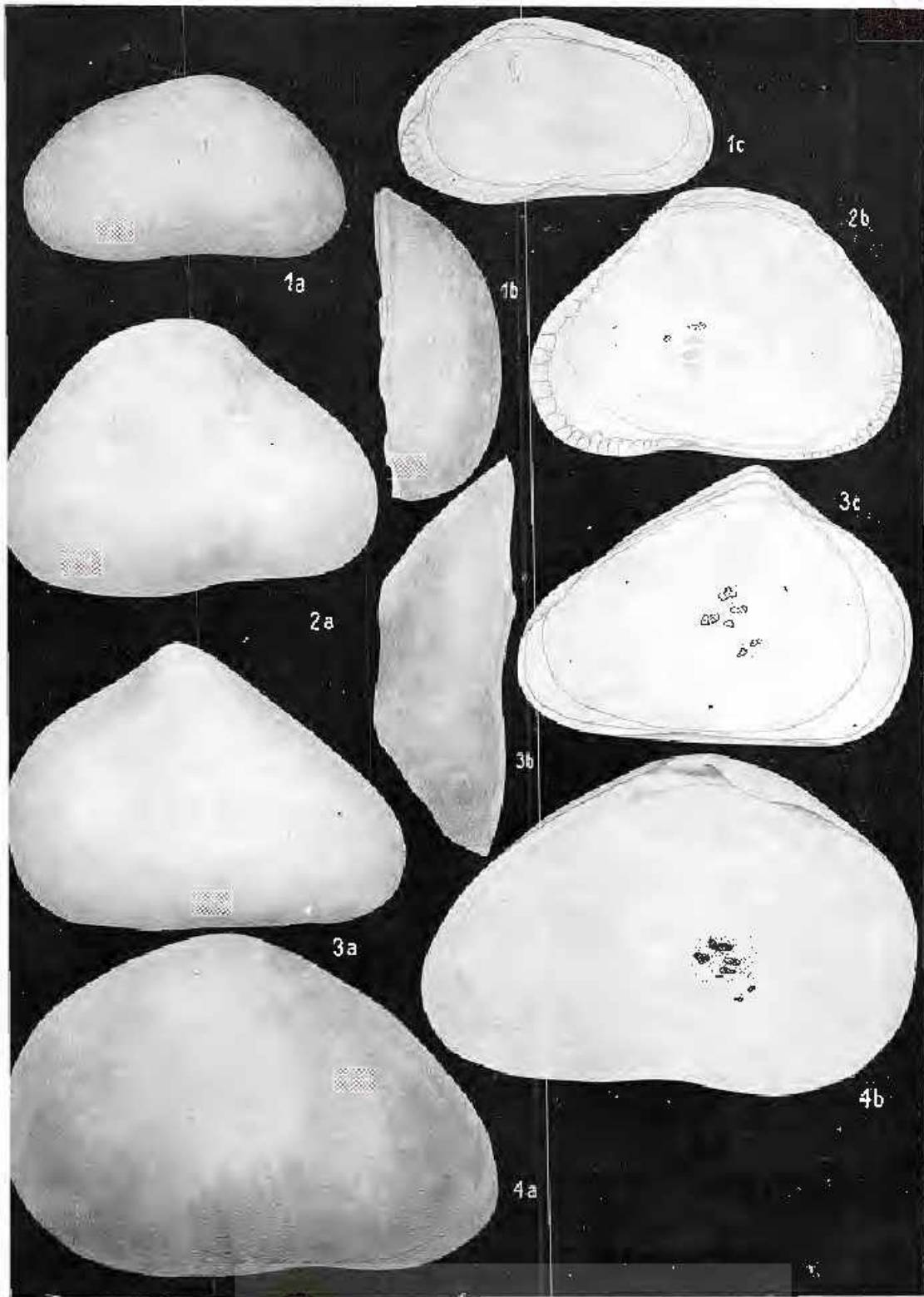


PLANŞA XI

- Fig. 1 a, b, c. — *Pontoleberis allitidea* Stanceava, Valea Seacă, Méolien supérieur.
Fig. 2 a, b. — *Xestoleberis mariposa* Stanceava, Valea Seacă, Méolien supérieur.
Fig. 3 a, b, c. — *Stachevita alta* (Stanceava), Valea Seacă, Méolien supérieur.
Fig. 4 a, b. — *Stachevia galbanensis* (Stanceava), Valea Seacă, Méolien supérieur.



97812
INSTITUTUL DE GEOLOGIE SI GEOFIZICA DIN ROMANIA



4. STRATIGRAFIE

CONTRIBUȚII LA DATAREA VÎRSTEI DEPOZITELOR OLIGO-MIOCENE DIN BAZINUL VĂII DOAMNEI ȘI DE LA STARCHIOJD – CUVETA DE DRAJNA¹

DE

ION NEDELGU², CONSTANTĂ COROBEA²

Abstract

Contributions to the Dating of Oligocene-Miocene Deposits from the Doamna Valley Basin and the Starchiojd Zone – Drajna Mould. The authors present biostratigraphic and chronostratigraphic results yielded by researches carried out in the Doamna Valley Basin and in the neighbourhood of the Starchiojd Zona – Drajna Mould. Thus in the sequence of grey-blackish schistous marls from the upper part of the Oligocene, within the Doamna Valley Basin (Roman Stream, Malul Valley, Apa Marc Stream, Nucșoara), a microfaunal assemblage has been determined. Within the latter the species *Almoena osnabrugensis* and *Globigerina ciperoensis* *ciperoensis* are very frequently encountered; relying on them the Upper Oligocene-Chattian age = zone with *Globigerina ciperoensis* (Böll, 1966) = N₃ (Böll, 1969) was assigned to the above marls. In the lower gypsum complex, apparently conformably overlying the Upper Oligocene deposits from the Doamna Valley Basin and the Starchiojd Zone, the presence of a rich microfaunal assemblage biostratigraphically indicative of the zone with *Globigerinoides primordius* (Böll, 1969), and chronostratigraphically of the Aquitanian, has been determined.

Cu ocazia efectuării studiului asupra gipsurilor din zona neogenă a Carpaților Orientali și din extremitatea estică a depresiunii getice, au fost colectate probe micropaleontologice, pe profile continui, care au fost analizate de micropaleontologul Constanța Corobea (fig.).

Prima zonă cercetată se situează în bazinul văii Doamnei, între localitățile Corbșor-Nucșoara, iar cea de a doua zonă se situează la nord de localitatea Starchiojd, pe flancul nordic al cuvetei de Drajna.

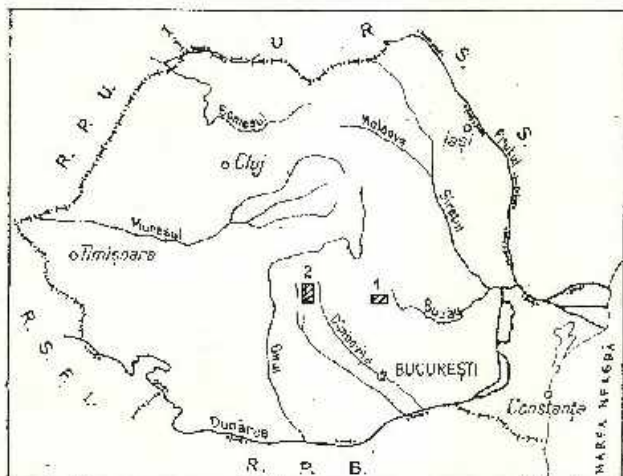
¹ Comunicare în ședința din 29 mai 1974.

² Întreprinderea Geologică de Prospecție pentru Substanțe Minerale Solide, str. Carașeș nr. 1, București.



Lucrări cu caracter de sinteză, privind geologia Subcarpațiilor Munteniei au fost elaborate încă din perioada 1866—1921 de către Ștefanescu (1886), Popescu-Voitești (1908-1917), Mrazec (1914), Macovei (1917), Preda și Grozescu (1917).

Între anii 1921 și 1941 cercetările întreprinse abordează teme mai complexe din punct de vedere stratigrafic și tectonic: Protesen (1922), Preda (1925, 1927), Filipescu (1933, 1934), Murgeanu (1941).



Schiță cu localizarea zonelor cercetate.

Esquisse de la localisation des zones étudiées.

După 1941, dat fiind interesul economic prezentat de aceste regiuni prin existența zăcămintelor de hidrocarburi, sare, gipseri, tufuri, nisipuri cuarțoase, sisturi bituminoase etc., foarte mulți cercetători au fost preocupați să rezolve pe lîngă problemele economice și problemele complicate de stratigrafie și tectonică. Astfel, o serie întreagă de cercetători ca Filipescu (1950, 1961, 1966), Protesen (1952, 1966), Olteanu (1952), Voien (1953), Pătrut (1955), Murgeanu et al. (1960), Popa (1960), Iliescu, Cioflica (1963, 1969), Ștefănescu et al.⁸ (1964), Bratu⁹ (1965), Grujinschi (1967, 1969), Lăzărescu, Grujinschi (1969), Grujinschi, Iva (1971) și Georgian et al. (1974), s-au ocupat cu stratigrafia depozitelor oligocene și miocene dintr-o valea Argeșului și valea Buzăului, aducînd contribuții importante la precizarea vîrstei „gipsurilor inferioare” și a „stratelor de Cornu”.

Problema vîrstei „gipsurilor inferioare” a suscitat și mai suscitat încă discuții ample între cercetătorii din țara noastră și din alte țări,

⁸ M. Ștefănescu, Cecilia Butnăreanu, Marina Zamfirescu, M. Vasile. Raport geologic asupra prospecțiunilor pentru hidrocarburi în zona fîșului cretacic și paleogen dintr-o valea Buzăului și valea Dimboviței. 1964. Arh. I.G.P. București.

⁹ Elena Bratu. Studiul micropaleontologic al depozitelor de la limita paleogen-miocen din sinclinalul de Slanic. 1965. Arh. Inst. Geol. Geof. București.

mulți considerind această problemă nerezolvată. În ultimul timp, se pune mare bază pe studiul foraminiferelor planctonice în scopul unor date și corelari cronostratigrafice, care să aducă soluționarea problemei.

Nota de față prezintă o serie de rezultate de ordin biostratigrafic, obținute în urma analizării micropaleontologice a probelor colectate din bazinul văii Doamnei și din vecinătatea localității Starchiojd.

Peste disodilele și menilitele superioare ale Oligocenului de tip Pucioasa, cu episoade de gresie de Fusaru, din zona Starchiojd, se dispun, aparent concordant, complexul gipsurilor inferioare, în grosime de aproximativ 150 m, alcătuit după cum urmează (de jos în sus): marne cenușii-vineții, stratificate decimetric; gipsuri cenușii sau albe, uneori zaharoide, gresii gipsifere cenușii-murdare, stratificate centimetric sau decimetric, cu intercalații de marne sau marne nisipoase cenușii sau gălbui; marne și argile șistoase, cenușii-negricioase; gipsuri și gresii gipsifere cenușii, pătate cu alb, stratificate în plăci de 10-30 cm, cu intercalații subțiri, centimetrice de marne cenușii sau gălbui; marne și argile șistoase, cenușii-negricioase; gipsuri albe, zaharoide, stratificate în plăci de 10-30 cm, cu intercalații subțiri centimetrice de marne sau marne nisipoase cenușii-gălbui; marne și argile șistoase cenușii.

Peste complexul gipsurilor inferioare se dispun discordant și transgresiv, un pachet roșu de marne, gresii și conglomerate atribuit de antecercetători „Helvețianului inferior” (conglomerate de Brebu = orizont roșu).

Din pachetele pelitice, precum și din intercalațiiile marnoase din gipsuri, au fost recoltate probe micropaleontologice de pe dealul Brădetului, de pe pîrul Chiojdul și de pe pîrul Blidari. Analizele au scos în evidență un bogat conținut micropaleontologic, din care prezentăm următoarea asociație diagnostică: *Cassidulina subcalifornica*, *Cibicides tenellus*, *Cribrozonion dollfusi dollfusi*, *Eponides schreibersi*, *Globigerina ampliapertura*, *Globigerina concinna*, *Globigerina ciperoensis ciperoensis*, *Globigerina globularis*, *Globigerina opima opima*, *Globigerina ouachitensis*, *Globigerina unicava*, *Globigerina woodi conecta*, *Globigerinoides primordius*, *Globobulimina auriculata*, *Uvigerina californica*, *Gyroidinoides planulatus*, *Spiroplectamina carinata*, spicile de spongieri și oase de pești.

Asociația determinată are forme comune cu asociația acvitaniene determinată de Butt (1966) în sud-vestul Franței, localitatea Escornebœu (*Globigerinoides primordius*), de Jenkins (1966), tot în Franța (*Cassidulina subcalifornica*, *Cribrozonion dollfusi dollfusi*, *Eponides schreibersi*, *Globigerina ampliapertura*, *Globigerina concinna*, *Globigerina ciperoensis ciperoensis*, *Globigerina globularis*, *Globigerina ouachitensis*, *Globigerina unicava*, *Globigerinoides primordius*, *Spiroplectamina carinata*) și cu cea menționată de Hagn (1960) în depozitele acvitaniene de Vorland din molasa bavareză (*Cassidulina crassa*). De asemenea prezintă asemănări cu microfauna Egerianului separat în bazinul extra-alpin al Vienei de Paşa et al. (1971).

Din asociația determinată de noi, specia *Globigerinoides primordius* a fost întâlnită continuu și cu frecvență ridicată în aproape toate probele

analizate, fapt care ne determină să corelăm complexul gipsurilor inferioare din zona Starchiojd cu „zona cu *Globigerinoides primordius*” stabilită de Blow în 1969. (pl. I).

Din depozitele „Helvetianului inferior” de pe pîrul Blidari, la nord de localitatea Starchiojd, reprezentate prin conglomerate și marne roșcate cu intercalări de gresii friabile, au fost colectate probe micropaleontologice din a căror analiză s-a determinat următorul microconținut: *Cibicides conoideus*, *Cibicides pseudoungerianus*, *Globigerina ciperoensis ottangensis*, *Globigerina foliata*, *Globigerina scalena*, *Globigerina pseudovenezuelana*, *Globorotalia pseudoscitula*, *Globorotalia siakensis*, *Globotruncana fornicata*, *Globotruncana lapparentii*, *Gumbelina globulosa*, *Floridus scaphum*, prisme de inocerami.

Se constată prezența aproape continuă a remanierilor din formațiuni mai vechi (cretacice și paleogene) cu predominanță globotruncanelor, gumbelinelor și a prismelor de inocerami.

Comparind coreările microfaunistice de vîrstă ottangiană făcute în Miocenul parathetysului central din Austria (Bögl, 1969), Cehoslovacia (Čicha, Šenek, 1971) cu asociația microfaunistică determinată de noi din zona Starchiojd (Pîrul Blidari) se poate constata comunitatea unor specii. De asemenea, în zona miocenă din Moldova, Corobea și Cornea (1972)⁵ au stabilit prezența „zonei cu *Globorotalia cf. siakensis* și *Globigerina ciperoensis ottangensis*” (Papp et al., 1971, M.S.), în depozitele ottangiene din regiunea valea Sărri-Reghiu-Andreișu de Jos, județul Vrancea.

În urma celor expuse constatăm prezența zonei cu *Globorotalia siakensis* și *Globigerina ciperoensis ottangensis* în depozitele roșii de tip „Brebu” din zona Starchiojd, considerate „helvetian inferior” = ottangian = burdigalian superioare.

În bazinul văii Doamnei, succesiunea depozitelor oligocene în facies asemănător cu „faciesul de Pucioasa cu gresie de Fusaru” din Carpații Orientali, se încheie cu un pachet de marne șistoase și marne nisipoase cenușii-negricioase în grosime de peste 20 m, bine deschise de Pîrul lui Roman — la sud-est de localitatea Poenărei de unde am colectat un profil micropaleontologic complet, pe valea Mahilni, pe pîrul Apa Mare și la Nucșoara.

Analizarea probelor colectate de pe Pîrul lui Roman a pus în evidență, pentru prima dată în regiune, prezența unui bogat conținut microfaunistic, alcătuit din foraminifere bentonice și pelagice, care a permis stabilirea asociației: *Almaena osnabrugensis*, *Bulimina pupoides*, *Globocassidulina globosa*, *Cibicidoides dutemplei*, *Cibicides mexicanus*, *Cibicides trinitatis*, *Chrysalogonium lanceolum*, *Chilostomelloides avicula*, *Cyclammina cancellata*, *Cyclammina rotundidorsata*, *Dentalina cooperensis*, *Globobulimina auriculata*, *Globigerina ciperoensis ciperoensis*, *Gyroidina girardiana*, *Gyroidinoides parvus*, *Haplophragmoides carinatum*, *Karreriella chilos-*

⁵ Huică I. Prospecții pentru sulfuri complexe și celestina în regiunea văii Sărri-Reghiu-Andreișu de Jos, județul Vrancea, 1972. Arh. I.G.P.S.M.S. București.

toma, *Nodosaria longiscata*, *Pararotalia andouini*, *Robulus alatolimbatus*, *Siphonina pulchra*, *Spiroplectammina carinata*, *Vaginulinopsis pseudodecorata*, *Virgulina hantkeni*, *Spirialis* sp., dinți și oase de pești, piritizări.

Asociația microfaunistică determinată, prezintă asemănări importante cu microfauna oligocenă din stratele de valea Lăpușului (Popescu, Iva, 1971), cu microfauna schienului oligocen din molasa subalpină din Bavaria (Hagn, 1966) și cu microfauna Oligocenului superior din stratele de Escornebéo din sud-vestul Franței (Butt, 1966).

Subliniem prezența formei *Almaena osnabrugensis*, într-o frecvență ridicată în toate probele profilului micropaleontologic colectat.

Avind în vedere paralelizările făcute cît și frecvența ridicată a speciei *Almaena osnabrugensis* alături de *Globigerina ciperoensis ciperoensis*, atribuim depozitelor din care s-a efectuat probarea micropaleontologică vîrstă oligocen superioară (chattian?) — zona cu *Globigerina ciperoensis* (Bölli, 1966) — zona N₃ (Blow, 1969) (pl. II).

Peste marnele săstoase, cenușii-negricioase, pe care le-am atribuit Chattianului, urmează, în concordanță aparentă, complexul gipsurilor inferioare, în grosime de cca 80 m (de jos în sus): gresii gipsifere și gipsuri grezoase, stratificate în plăci de 2-10 cm, de culoare cenușie-murdară cu nodule albe de gips curat, cu intercalații centimetrice de marne cenușii, uneori disodiliforme; marne cenușii, stratificate centimetrice; gresii gipsifere cenușii și gispuri albe-zaharoide, stratificate în plăci de 10-30 cm, cu intercalații centimetrice de marne cenușii și gălbui; marne cenușii-negricioase; gipsuri grezoase și gresii gipsifere cenușii și gălbui, stratificate centimetric și decimetric, în alternanță cu marne cenușii și gălbui uneori săstoase; marne cenușii-gălbui.

În urma analizării probelor micropaleontologice colectate din intercalațiile marnoase ale complexului gipsurilor inferioare de pe Pîrful lui Roman, valea Malului, pîrul Apa Mare și de la Nucșoara, a fost pus în evidență un bogat microconținut asemănător cu cel întîlnit și descris în zona Starchiojd, în care menționăm prezența speciei *Globigerinoides primordius*, într-o frecvență ridicată.

Asociația micropaleontologică întîlnită indică din punct de vedere biostratigrafic, zona cu *Globigerinoides primordius* (Blow, 1969), iar din punct de vedere cronostratigrafic, Aevitanianul (auct. rom.).

BIBLIOGRAFIE

- Blow W. H. (1969) Late Middle Eocene to Recent Planktonic Foraminiferal Biostratigraphy. I-st Intern. Conf. Plank. Microf. Geneva 1967, Proc. Leiden, 1, 199-422, 52, pl. 43, fig. in text, Geneva.
- Bölli H. M. (1957) Planktonic foraminifera from the Oligocene-Miocene Cipero and Lengua formations of Trinidad. B.W.J.—U.S. Nat. Mus. Bull. 215.
- Butt A. A. (1966) Late Oligocene Foraminifera from Escornebéo SW France. Schotanus et gens — Utrecht NV — Utrecht, Nederland.

- Cieha J., Seneș J. (1968) Sur la position du Miocène de la Paratethys centrale dans le cadre du Tertiaire de l'Europe. *Geol. Zbornik, Geol. Carp.*, XIX/1, Bratislava.
- Csepregny - Meznerics I. (1964) Le problème du Châtien-Aquitainien du point de vue de l'histoire de la subdivision du Miocène. *Mém. BRGM*, nr. 28, I.
- Cushman J. A., Glamery W. (1938) Oligocene foraminifera from Choctaw Bluff Alabama. *Geological Survey Professional paper* 189-D, Alabama.
- Stainforth R. M. (1945) The foraminifera of the Cipero Marl formation of Trinidad, British West Indies. *Spectral publ.* 14, Trinidad.
- Drooger C. W., Magne J. (1959) Miogypsinides and planktonic foraminifera of the Algerian Oligocene and Miocene. *Micropalaeontology*, 5, 3.
- Filipescu M. G. (1991) Notă asupra vîrstei conglomeratelor înălțioase pe flancul sudic al cuvetei de Slanic între Melicești și Livadea, județul Prahova. *D.S. Inst. Geol. Rom.*, XVIII (1929-1990), București.
- (1939) A propos de l'Aquitaniene entre la vallée Teleajen et la vallée Doftana dans le district de Prahova. *C. R. Inst. Géol. Roum.*, XIX (1930-1931), București.
- (1950) Vîrsta complexului gipsurilor inferioare din Subcarpați. *Natura*, II/6, București.
- (1961) Problema limitei inferioare și superioare a Paleogenului în Carpați Orientali. *An. Univ. București (Geol. Geogr.)*, X/27, București.
- Gheorghian M. et al. (1975) Corelări biostratigrafice ale unor depozite miocene din România (stadiul 1974). *D. S. Inst. Geol. Geof.* LXI/4, București.
- Grujinschi C. (1969) Date noi asupra depozitelor situate între rocile oligocene și conglomeratele de Brebu din zona terminației NE-tice a sinclinalului Slanic. *Bul. IPGG*, XVII, București.
- Hagn H. (1960) Die stratigraphischen, paläogeographischen und tektonischen Beziehungen zwischen Molasse und Helvetikum im östlichen Oberbayern. *Geologica Bavarica*, 44, München.
- Hiescu Violeta, Cioflita Gianina (1969) Contribuții palinologice la reconstituirea vegetației de la limita Oligocen-Miocen. *D.S. Com. Stat. Geol.*, LIV/2 (1966-1967), București.
- Iva Mariană (1971) Microfauna din profilul tip al stratelor de Coruș. *Mem. Inst. Geol.*, XIV, București.
- Jenkins D. G. (1968) Planctonic foraminifera from the type Aquitanian-Burdigalian of France. *Contrib. from the Cushman Foundation for Foraminiferal Research*, XVII, 9.
- Lăzărescu V., Grujinschi C. (1969) Sur les subdivision stratigraphiques de la molasse Miocène de Transylvanie et Muntenie (Roumanie). *Bul. Soc. St. Gen. Rom.*, XI, București.
- Macovei G. (1971) Poziția stratigrafică și tectonică a zăcămintelor de sare din România. *D. S. Inst. Geol. Rom.*, VII (1916-1916), București.
- Mrazec L., Popescu-Voitești I. (1914) Contribuții la cunoașterea filșului carpatic din România. *An. Inst. Geol. Rom.*, V/2, București.
- Murgeanu G. (1941) Sur l'age de schistes ménilitiques et des gypses inférieurs de Munténie Occidentale. *C.R. Inst. Géol. Roum.*, XXV (1936-1937), București.
- Papp A., Seneș J., Steininger F., Cieha J., Rögl F., Baldi T. (1971) Principes de la subdivision stratigraphique de la Paratethys centrale. CMNS, groupe de travail. *Paratethys à-th Congress*, Lyon.
- Pătrintă I. (1965) Geologia și tectonica regiunii Vălenii de Munte-Cosminele-Juștenari. *An. Com. Geol.*, XXVIII, București.

- Popa Elena (1960) Asupra prezenței unor gresii glanconitice cu Pecteni în stratele de Corun din Valea Mare. *Stud. cerc. geol.*, V/2, București.
- Popescu Gh., Iva Mariana (1971) Contribuții la cunoșterea microfaunei oligocene din stratele de valea Lăpușului. *Mem. Inst. Geol.*, XIV, București.
- (1972) Biostratigrafia depozitelor oligo-miocene de la sud de Preluci, pe bază de foraminifere planctonice. *D. S. Inst. Geol.*, LVIII, 3, 1971, București.
 - (1952) Zona flășului paleogen între valea Buzăului — valea Vărbișului. *D. S. Inst. Geol. Rom.*, XXXVI (1948—1949), București.
- Popescu Voitești I. (1908) Contribuții la studiul geologic și paleontologic al regiunii Măselor dintre râurile Dâmbovița și Olt. *An. Inst. Geol. Rom.*, II, București.
- Preda D. M., Popescu Voitești I., Grozescu H. (1917) Clasificarea Mediteraneului în România. Considerații asupra vîrstelor formăjuniilor salifere în România. *D. S. Inst. Geol. Rom.*, VII (1915—1916), București.
- (1925) Geologia și tectonica părții de răsărit a județului Prahova. *An. Inst. Geol. Rom.*, X, București
 - Popescu Voitești I., Grozescu H. (1927) Géologie de la vallée du Telejani dans la région des collines subcarpathiques. *Ass. Acad. Géol. Carpathes, Guide des excursions*, București.
- Protescu O. (1922) Contribuții la studiul faunei de foraminifere terțiare din România. *An. Inst. Geol. Rom.*, IX, București.
- Szöcs E. (1965) Les problèmes de la limite entre la Paléogène et le Néogène et les étapes Chattian et Aquitanian. *Acta. Geol.* 4.
- (1964) Observations sur le passage Oligocène-Miocène en Aquitanien et sur les zones de Foraminifères planctoniques de l'Oligocène (Voir : Bassin d'Aquitaniens). *Mém. BRGM*, 28, 1, Paris.
- Ștefănescu Gr. (1886) Memoria relativ la geologia județului Argeș. *An. Bir. Geol.* II (1882—1884), București.
- Tătărim N. (1965) Contribuții la studiul paleogenului de pe valea Doamnei (regiunea Argeș), cu privire specială asupra foraminiferelor mari. *An. Univ. Buc. (Geol.-Geogr.)*, 1, București.
- Vella P. (1966) Oligocene-Miocene boundary; reply. *Geol. Soc. Am. Bull.*, V, 77, 1.
- Voicu Gh. (1953) Studiul micropaleontologic al stratelor de Corun de pe flancul sudic al cuvetei de Slanic, între valea Prahovei și valea Vărbișului. *An. Com. Geol.*, XXVI, București.

CONTRIBUTIONS À LA DÉTERMINATION DE L'ÂGE DES DÉPÔTS OLIGO-MIOCÈNES DU BASSIN DE LA VALLÉE DOAMNEI ET DE STARCHIOJD — CUVETTE DE DRAJNA

(Résumé)

Dans le paquet de marnes schisteuses et de marnes sableuses gris-noirâtres qui marquent la fin de la succession des dépôts oligocènes (en faciès semblable au „Faciès de Fucioasa à grès de Fusaru“) du bassin de la vallée Doamnei, on a déterminé — pour la première fois dans cette

région — la présence d'une riche association microfaunistique, dans laquelle la forme *Almaena osnabrugensis* est très fréquente, dans tous les échantillons prélevés, à côté de *Globigerina ciperoensis ciperoensis*, fait qui a permis d'établir l'âge oligocène supérieur-chattien = zone à *Globigerina ciperoensis* (Bölli, 1966), zone N₃ (Blöw, 1969).

On a identifié — dans le complexe des gypses inférieurs, du bassin de la vallée Duamnei et de Starchiojd (cuvette de Drajna), qui se disposent d'une manière apparemment discordante sur les dépôts de l'Oligocène supérieur — une riche association microfaunistique, dans laquelle l'espèce *Globigerinoides primordius* a été continuellement rencontrée avec une grande fréquence, ce qui a rendue possible la corrélation avec „la zone à *Globigerinoides primordius*“ (Blöw, 1969) = Aquitanien (auct. rom.).

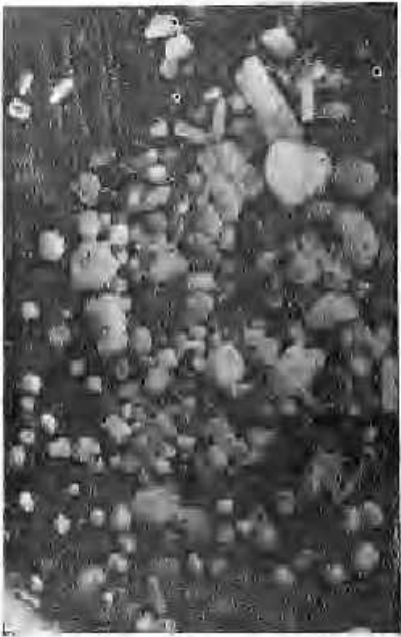
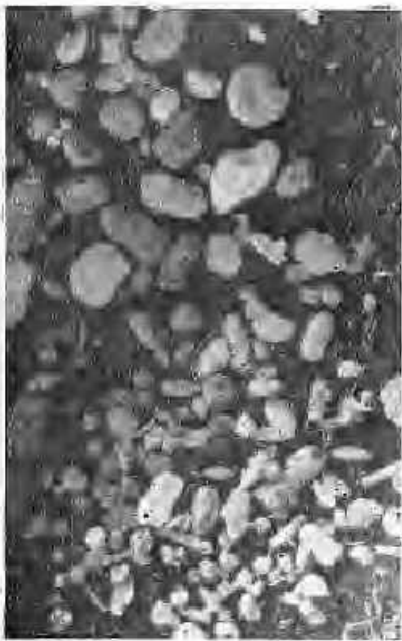
Dans les marnes rouges du ruisseau Blidari, au N de la localité Starchiojd, que les chercheurs ont attribuées auparavant au Hélyétien inférieur (conglomérats de Brebu = horizon rouge), on a mis en évidence la présence d'une association microfaunistique, avec de renouvellements des formations plus anciennes, qui renferme „la zone à *Globorotalia sianensis* et *Globigerina ciperoensis oltnangensis*“ (Papp et al., 1971) = Oltnangien = Bourdigalien supérieur.

PLANŞA I

Fig. 1—4. — Asociația de foraminifere din orizontul gipsurilor inferioare (Zona cu *Globigerinoides primordius*).

Association de foraminifères de l'horizon des gypses inférieurs (zone à *Globigerinoides primordius*).

I. NEDELCU, CONstanța COXOBEA. Vîrstă depozitelor oligo-mioceene în cuveta de Drajna. Pl. I.

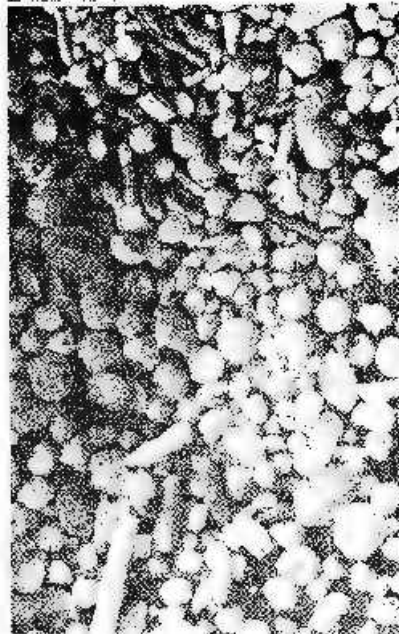


PLANŞA II

Fig. 1-4. — Asociația de foraminifere din orizontul monilitelor și dysoditelor superioare (Zona e: *Globigerina cipriensis*).
Association de foramsiffères de l'horizon des monilites et dysodites supérieurs
(Zone e: *Globigerina cipriensis*).



I. NEDELCIU, CONSTANȚA COROIANĂ. Vîrstă depozitelor oligo-miocene în cuveta de Drăjna. Pl. II.



Institutul de Geologie și Geofizică. Dări de seismă ale sedișelor, vol. LXI/4.

3

4



Institutul Geologic al României

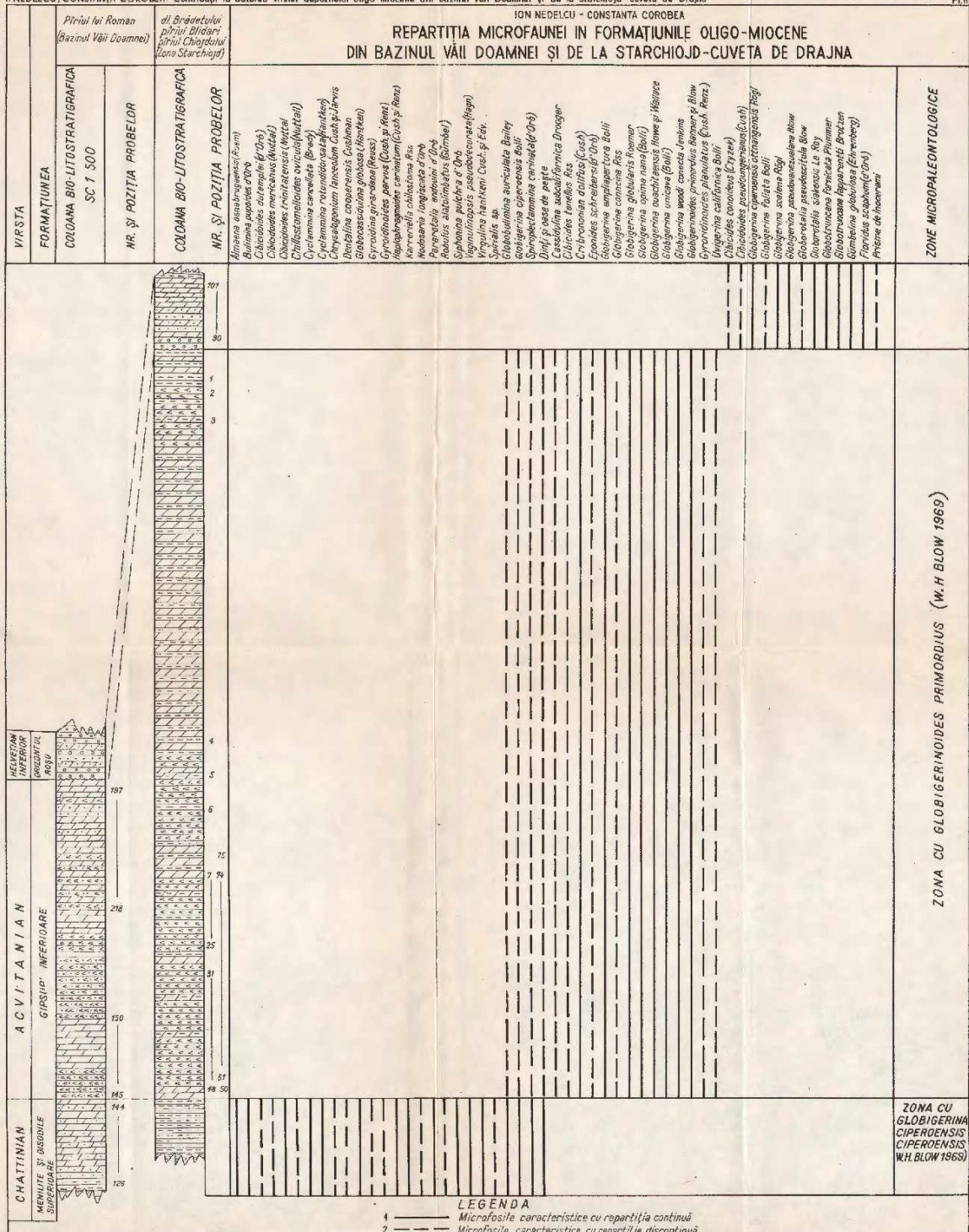
EXPLICATION DE LA PLANCHE

Planche III

Répartition de la microfaune dans les formations oligo-miocènes du bassin de la vallée Doamnei et de Starchiojd — cuvette de Orajna.

1, microfossiles caractéristiques à répartition continue; 2, microfossiles caractéristiques à répartition discontinue.





4. STRATIGRAFIE

DATE ASUPRA UNOR PROFILE MICROPALEONTOLOGICE ÎN DEPOZITELE PALEOCENE-EOCENE DIN PROVINCIIILE PINAR DEL RIO ȘI ORIENTE (CUBA)¹

DE

ELENA BRATU²

Abstract

Some Data on Micropaleontological Profiles in Paleocene-Eocene Deposits from Pinar del Rio and Oriente Provinces (Cuba). In this paper the author presents the results of lithostratigraphic and biostratigraphic investigations carried out in the Paleocene and Eocene deposits from the Pinar del Rio and Oriente Provinces. Seven planktonic biozones from the Paleocene (Lower-Middle-Upper) and the Eocene (Lower-Middle) as well as some assemblages of certain parts of the Paleocene and Eocene deposits in the Oriente Province are described. The study of the Paleocene-Middle Eocene relating to both provinces of Cuba disclosed approximately 74 species of planktonic foraminifera.

I. DATE GENERALE

Pentru rezolvarea unor probleme de biostratigrafie regională ale hărții geologice a Cubei sc. 1 : 250.000, am avut posibilitatea de a ridica unele profile micropalentologice în provincia Pinar del Rio și de a analiza probe din cîteva secțiuni geologice scurte ale provinciei Oriente.

Partea cea mai cuprînzoare a cercetărilor micropaleontologice a revenit provinciei Pinar del Rio de unde s-au colectat cele mai multe probe litologice atât din profile continui (La Guyabaco ; rio San Diego, șoseaua San Diego de los Baños ; șoseaua Soroa-Cabañas), cât și din aflorimente izolate, în zona Bahia Honda, San Diego de Nuñez, Cabañas. S-au analizat de asemenea o serie de probe din partea de E și NE a provinciei Oriente în punctele : Cento, Naticos, Alcalá, Tacajo-La Vega, Gibara, Cupeicillo, La Jiquina, Baños și altele.

¹ Comunicare în sedință din 22 Mai 1974.

² Institutul de Geologie și Geofizică, str. Caransebes nr. 1, București.

În abordarea studiului micropaleontologic al profilelor continui cît și a aflorimentelor izolate, am avut în vedere rezolvarea următoarelor probleme:

1. Identificarea speciilor caracteristice de foraminifere care pot defini vîrstă diferitelor complexe litologice la nivel de serie și acolo unde este posibil la nivel de etaj.

2. Inventarul speciilor de foraminifere planctonice (cunoscute ca abundente în depozitele cocene din toate provinciile Cubaiei), de genuri reprezentînd unele foraminifere calcaroase bentonice, foraminifere aglutinante, macroforaminifere precum și reprezentanții altor grupe de microorganisme.

3. Recunoașterea unor biozone de foraminifere planctonice fie din cele cunoscute anterior în Cuba, fie în regiuni învecinate (Lisard Springs, Trinidad, Gull Coast etc.) sau chiar din regiuni mai îndepărtate cum ar fi cele din Europa (Appenini, Carpați, Caucaz etc.).

4. Încercarea de corelare a biozonelor identificate în Pinar del Rio cu cele din alte provincii ale Cubaiei, din teritoriul Caraibelor în general, în regiuni din Statele Unite, și de asemenea în unele provincii din Europa, pe care le-am menționat mai sus.

5. Stabilirea unor relații biofaciale între cele două zone de sedimentare diferite, aşa cum sunt cele de la N de falia Consolacion și de la S de falia Pinar del Rio.

6. Posibilitatea de a stabili relații cronostratigrafice între asociațiile provinciei Pinar del Rio și cele din provincia Oriente.

7. Încercarea de a interpreta într-o manieră nouă unele probleme de taxonomie a foraminiferelor planctonice identificate în depozitele paleocene-eocene.

II. UNELE DATE DIN ISTORIA CERCETĂRILOR MICROPALÆONTOLOGICE ÎN PROVINCIA PINAR DEL RIO

Cele mai ample date micropaleontologice asupra unor formațiuni paleocene-eocene, din provincia Pinar del Rio, publicate pînă în prezent aparțin în exclusivitate lui Bermudez (1950, 1961). Autorul descrie în lucrările sale o serie de asociații de foraminifere bentonice și planctonice atât din formațiunile tip definite pentru prima dată în provincia Pinar del Rio, cât și din formațiuni descrise în alte provincii ale Cubaiei.

Din prima categorie de asociații se pot menționa cele de vîrstă cocen-medie din formațiunea de Loma Candela, în zona soselei San Diego de los Baños. Similar se descriu asociații de foraminifere de vîrstă eocen-superioară din formațiunea de Jabaco (la vest de Guanajay).

Din liste de microfaună menționate de Bermudez se poate remarcă marea bogăție și diversitatea a foraminiferelor calcaroase bentonice din toate formațiunile paleocene-eocene.

Se pot semnala de asemenea existența unor scheme biostratigrafice. Astfel schema elaborată de Beckmann (1958) — deși fără a fi indicate localitățile — reprezintă în cea mai mare parte o recunoaștere în Cuba

a biozonelor stabilite de B o l l i (1957) în Trinidad. Un tablou complet al zonelor biostratigrafice (de foraminifere planctonice, discoasteride, foraminifere mari) din formațiunile geologice ale provinciei Habana, cu posibilități de corelare cu cele din provincia învecinată Pinar del Rio, este descris de B r o u n i m a n și R i g a s s i (1961).

III. LITOSTRATIGRAFIA (PROVINCIA PINAR DEL RIO)

A) Profilul pe drumul de cale La Guyabao — W de Pinar del Rio (fig. 1)

Cele mai vechi depozite întâlnite sunt reprezentate prin calcare foarte bogate în specii de Rudisti, cărora le revine vîrstă maestrichtiană. Apar apoi argile cenușii, verzui, asociate cu gresii calcaroase micacee, moi. În continuarea aflorimentelor pe șosca, izolat, mai apar : pachete de argile șistoase brune, violacee de 2-3 m grosime, care alternează cu pachete de culoare galbuie, cu grosimi de 3-4 m ; secvențe de conglomerate cenușii, gresii calcaroase cenușii, brune și marno-argile cenușii ; marnocalcare cu trecere la calcare cenușii-verzui ; blocuri de conglomerate cu elemente de roci efuzive ; din nou calcare și marnocalcare cenușii, cenușii-verzui de 4-5 m grosime, asociate cu gresii calcaroase și nisipuri în strate de 1-2 m ; urmează o succesiune de marne și argile cenușii-verzui, albiecioase, uneori nisipoase, cu intercalări de gresii calcaroase și microconglomerate cenușii de 10-15 cm ; din nou marnocalcare fine, cenușii, masive, dure, asociate cu marne cenușii-verzui comune : în fine pe același drum aflorează larg argilite foarte dure, de culoare galbuie, sau brună, însotite de gresii subțiri fine, compacți, dure bogate în oxizi de fier.

B) Profilul pe rîul San Diego și șoseaua San Diego de los Baños (fig. 2)

Deși în coloana litostratigrafică a depozitelor paleocene-ecocene există foarte multe intreruperi (portiuni acoperite de ape, sol, vegetație etc.) totuși s-au putut separa complexe litologice bine definite.

a) Complexul gresiilor cu intercalări de microconglomerate

Limitele inferioară și superioară ale acestui complex nu se pot stabili. După calcarele și gresiile cretacice există o largă zonă acoperită de ape, astfel că nu se poate vedea succesiunea litologică de la Cretacic la Paleocen.

În succesiunea litologică a complexului paleocen se recunosc următorii litotopi : gresii calcaroase fine, cenușii dure în strate de 0,20-1 m grosime (dominante) ; microconglomerate cenușii masive de 1-1,50 m grosime ; gresii argiloase cenușii friabile cu microfaună.

b) Complexul de tranziție de la gresii și conglomerate la marne galbui masive

Baza acestui complex nu se poate vedea. În partea lui inferioară se disting următoarele tipuri de roci : gresii calcaroase cenușii, brune de 10-15

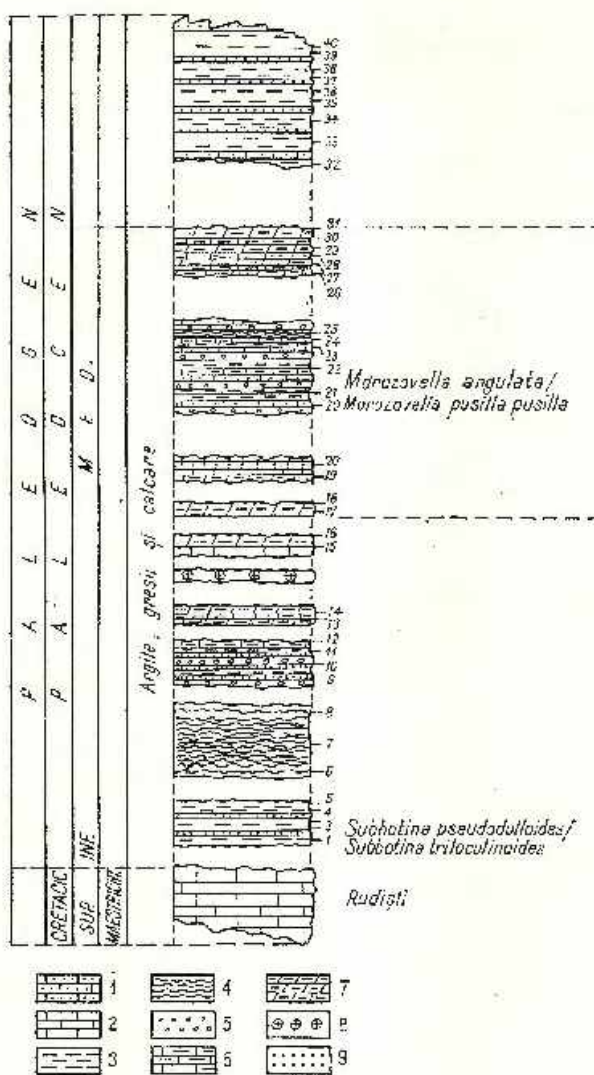


Fig.1. — Coloană stratigrafică prin depozitele paleocen-ecocene din jurul localității La Guayabao (W de Pinar del Rio).

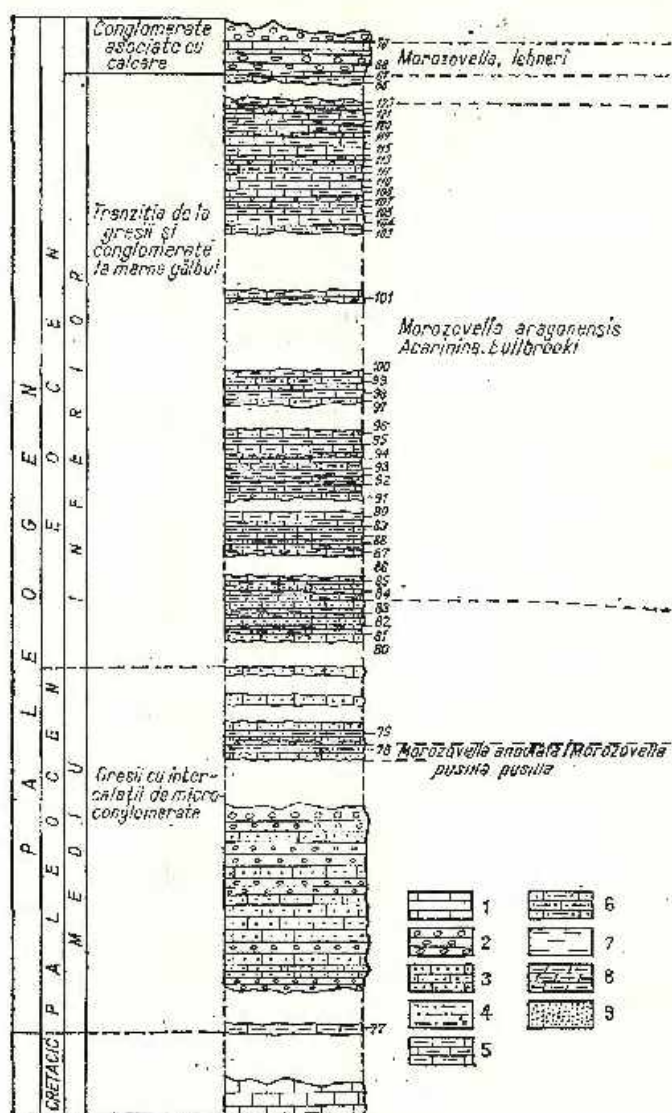
1, gresii; 2, calcare; 3, argile; 4, șisturi argiloase; 5, conglomerate; 6, marne; 7, marnocalcarie; 8, conglomerate cu roci eruptive;

9, nisipuri,

Colonne stratigraphique à travers les dépôts paléocène-écocènes autour de la localité La Guayabao (W de Pinar del Rio).

1, grès; 2, calcaires; 3, argiles; 4, schistes argileux; 5, conglomérats; 6, marnes; 7, marnocalcaires; 8, conglomérats à roches eruptives; 9, sables.

cm care alternează cu marne fine cenușii-albicioase, marne nisipoase cenușii-albăstrui, bogate în foraminiifere; marne cenușii-gălbui, brune uneori limonitizate în strate de 1-3 cm asociate cu marne masive și marne nisipoase cenușii-gălbui, sfărâmicioase; nisipuri argiloase de 10-40 cm grosime în alternanță cu bancuri groase de marne; marne cenușii, verzui, marne dure, fine, cenușii-albicioase cu grosimea de 1-2 m și foarte subțiri intercalări de gresii.



c) Complexul marnelor gălbui-albicioase

Deschideri bune din acest complex apar atât în riu, cât și pe șosea. La alcătuirea lui litologică iau parte: marne albe, cenușii, fine, compacte, dure de 2-5 cm grosime a stratului. Ele alternează cu marne masive, albe-gălbui, cu urme de plante incarbonizate; marni nisipoase friabile, brun-roșcate asociate cu rare și subțiri strate de microconglomerate mai ales la partea inferioară a succesiunii. Prezența litotipului de marne gălbui-albicioase din San Diego, amintește formațiunea de Universidad.

d) *Complexul conglomeratelor asociate cu calcare (formațiunea de Loma Candela)*

Acst complex apare pe șoseaua San Diego de los Baños. Poziția sa este transgresivă și discordantă peste marnele albicioase. În cuprinsul acestui complex nu se poate distinge o stratificație clară a diverselor tipuri de roci. În ideea că aceasta reprezintă o sedimentare tipică de tărîm, ea poate fi ilustrată prin compoziția acestui complex, care se prezintă ca o masă puternică de conglomerate și microconglomerate, cu elemente de calcar. În partea centrală a acestui mare afloriment, calcarele sunt foarte larg dezvoltate și bogate în macro- și microforaminifere. Spre partea superioară stratificația conglomeratelor este distință. Cu totul izolat se întâlnesc lentile de marne gălbui, brune, foarte fosilifere.

Transgresiv peste complexul conglomeratelor asociate cu calcare (formațiunea de Loma Candela) stau depozitele formațiunii de Paso Real (Miocen).

Sedimentarea ultimelor depozite eocene în sectorul San Diego de los Baños se încheie cu un complex de conglomerate asociate cu calcare de vîrstă eocenă-medie.

C) *Profilul din șoseaua Soroa – Casa Blanca – Cayajabos (fig. 3)*

Partea terminală a Cretacicului pe acest profil este reprezentată prin calcare dure, masive, de 1-2 m grosime, asociate cu pachete de argile cenușii-verzui. Succesiunea depozitelor cretacice se continuă cu marne dure, cenușii pe aproximativ 3 m. Urmează o zonă de brecie calcaroasă cu grosimi de 3-4 m.

a) *Complexul gresiilor friabile limonitizate*

După zona de brecii considerată de vîrstă cretacică-superioară, apar gresii friabile gălbui, cu fragmente de marne și argile verzi. Urmează marne nisipoase friabile și gresii cenușii-gălbui, slab stratificate; după 500 m, apare o zonă largă de serpentinite; deasupra serpentinitelor se găsesc gresii friabile, cu concrețiuni calcaroase, în alternanță cu marne gălbui; culoarea lor dominantă este gălbui-brună; succesiunea se continuă pe drum cu gresii calcaroase, masive, compacte, cenușii-gălbui, separate la intervale mari de marne nisipoase.

b) *Complexul breciilor asociate cu gresii masive*

În baza acestui complex se desfășoară 10 m de brecie calcaroasă alb-gălbui, urmată de 20-25 m de șisturi marnoase cenușii. Deasupra lor stau gresii calcaroase masive, fin micacee, cenușii-gălbui, în bancuri de 1-2 m grosime, separate prin marno-argile cenușiu-gălbui în strate de 5-6 cm grosime.

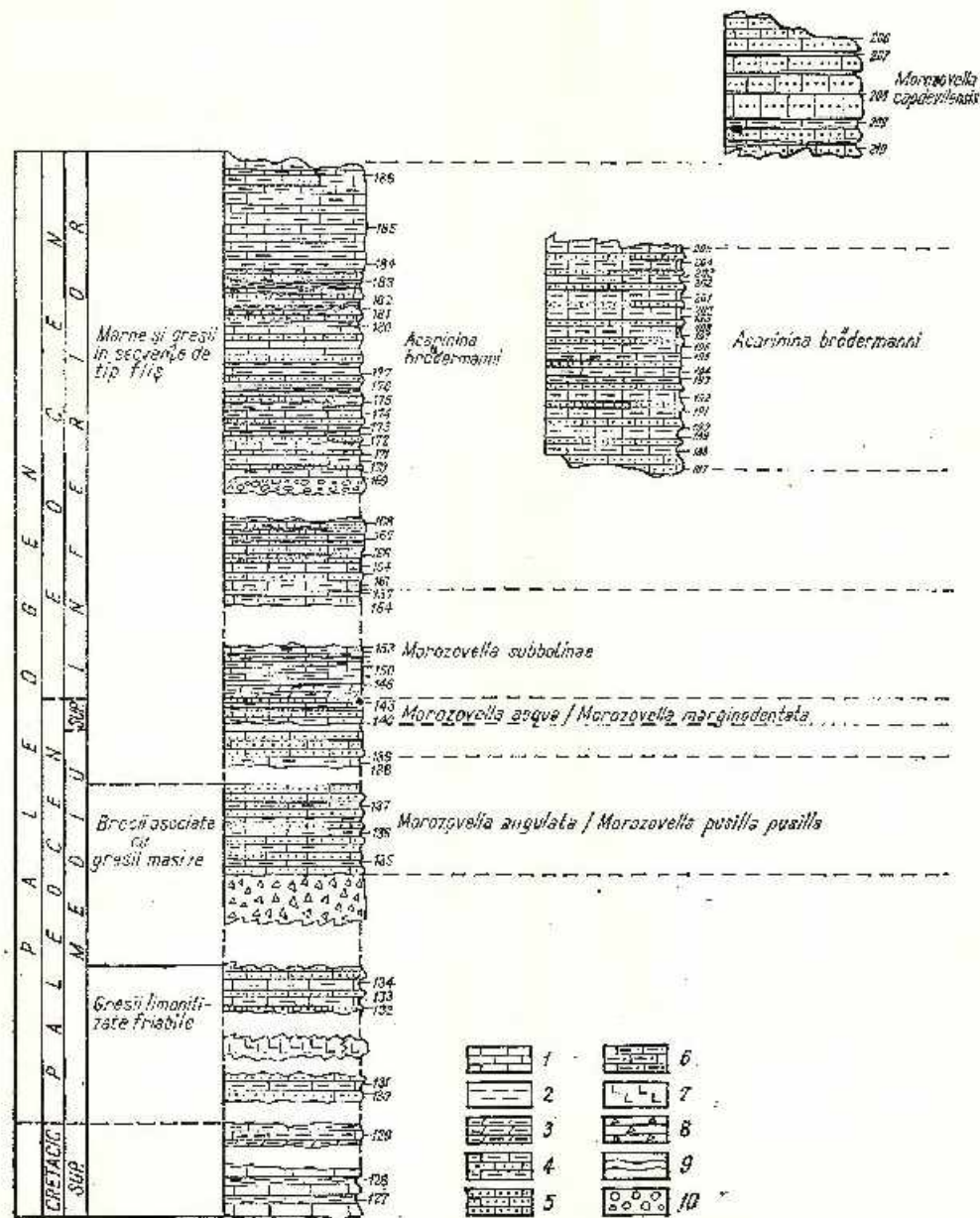


Fig.3. — Coloană stratigrafică prin depozitele maestrichtian?—paleocen–eocene din șoseaua Casa Blanca—Cayabajos (Sierra de Rosario — partea de E).

1, calcare; 2, argile; 3, marnocalcare; 4, marne; 5, gresii; 6, marne nisipoase; 7, serpentiniile; 8, brechi calcareoase; 9, sisturi argiloase; 10, conglomerate.

Colonne stratigraphique à travers les dépôts maestrichtien?—paléocène–éocènes de la chaussée Casa Blanca—Cayabajos (Sierra de Rosario — la partie E).

1, calcaires; 2, argiles; 3, marno-calcaires; 4, marnes; 5, grès; 6, marnes sableuses; 7, serpentinières; 8, brèches calcaires; 9, schistes argileux; 10, conglomérats.



c) *Complexul de marne și gresii cu secvențe de tip fliș*

Ultimele gresii masive din complexul precedent vin în contact tectonic cu primele secvențe de tip fliș de gresii calcaroase, cenușii, albicioase, marne calcaroase, și argile cenușii-verzui.

De la primele secvențe scurte de tip fliș se trece la un litofacies pelagic, format din marne gălbui fine, masive, moi friabile, în bancuri de 1-2 m grosime de aproximativ 25 m. Apoi marne calcaroase mai compacte gălbui, bine stratificate de 10-15 cm, în alternanță cu strate de șisturi marnoase, cenușii-albicioase de 10-15 cm. În continuare urmează marne mai dure de culoare gălbui, bine stratificate în bancuri, de 0,40-0,50 m grosime. Se trece apoi, pe cca 20 m, la marne gălbui, masive cu o peliculă cenușie de alterație, pe alocuri mai nisipoase, vag stratificate. În baza acestei succesiuni sunt rare intercalări de gresii calcaroase de 5-10 cm grosime. Marnele gălbui amintesc în general de cele din membrul Principe al formațiunii de Universidad.

În succesiunea normală pe partea dreaptă a șoselei se desfășoară depozite tipice eocene, care incep cu cca 5 m de conglomerate friabile cu fragmentele prinse într-un ciment nisipos galben-brun, după care se trece la o alternanță de pachete de șisturi marno-argiloase cu marne în strate centimetrice. Cea mai mare parte a depozitelor în continuare se pot raporta la o sedimentare asemănătoare celei de tip fliș. Există aici o alternanță ritmică de gresii calcaroase cenușii-brune, de 5-15 cm grosime, marne cenușii, șisturi argilo-marnoase. Ultimii 25 m din acest afloriment revin marnelor calcaroase gălbui asemănătoare cu cele din formațiunea de Universidad. Depozitele eocene în litofaciesurile descrise mai sus se prezintă implicate în cufe largi.

d) *Un afloriment la intersecția drumului Soroa-Casa Blanca cu cel din Cayabajos (Fig. 3)*

Aici apar gresii masive, gălbui friabile cu grosimea bancurilor cuprinse între 0,50 și 3 m, puternic limonitizate, separate de șisturi argiloase în strate de 5-10 cm, în asociere cu marne calcaroase albe de 1-5 cm. Sunt prezente de asemenea șisturile calcaroase friabile cenușii în strate de 1-3 cm, asociate cu șisturi grezoase cenușii. Acest litofacies amintește în parte formațiunea de Capdevila.

III. LITOSTRATICRAFIA (PROVINCIA ORIENTE)

1. Aflorimentul de la Cento. Este format dintr-o alternanță de gresii cu tufite cu rare intercalări de calcare.
2. Aflorimentul de la Naticos din formațiunea de Vigia. Este format din gresii masive, puțin friabile cu o intercalărie de calcare.
3. Aflorimentul de la Alcala (formațiunea de Vigia). Este format dintr-o alternanță de aproximativ 4 m de gresii, cu tufite și foarte rare intercalări de marne.

4. Aflorimentul de la Cento (formațiunea de Alcalá). Este alcătuit dintr-o alternanță de gresii subțiri cu marne.

5. Aflorimentul de la Tacajo-La Vega. Este format în exclusivitate din marne.

6. Aflorimentul de la Gibara. Cuprinde conglomerate în bază următe de o alternanță de gresii cu nisipuri și tufuri și foarte rare intercalații de calcare.

7. Aflorimentul de la Gibara-Cupeicillo. Transgresiv peste brecii calcareoase cretaceice stau conglomerate care suportă la rindul lor, marne calcareoase în altenanță cu dolomite.

8. Aflorimentul de la La Jiquina. O alternanță de marne, marne tufacee cu gresii și nisipuri, cu frecvențe blocuri cu tufuri în cuprinsul marnelor.

9. Aflorimentul de la Baños. Format în exclusivitate din marne.

IV. BIOSTRATIGRAFIA (PROVINCIA PINAR DEL RIO)

Cu toate dificultățile întâmpinate din cauza discontinuității profilelor s-au putut delimita și defini cîteva biozone de foraminifere planetonice în depozitele cercetate. Aceste biozone pot fi raportate numai unor părți din Paleocen, Eocenul inferior și Eocenul mediu. În afară de acestea s-au determinat o serie de asociații de micro- și macroforaminifere în intervalele dintre zone. Ele au putut fi folosite la precizarea vîrstei depozitelor care le conțin.

A) Biostratigrafia profilului Guyabaco (fig. 1)

a) Zona *Subbotina pseudobulloides/Subbotina triloculinoides* (Paleocen inferior)

A fost identificată în primele argile cenușii-verzui, asociate cu gresii calcareoase friabile. Reprezintă cea mai veche biozonă întlnită în profilele cercetate. Foraminiferele planetonice caracteristice sunt: *Subbotina triloculinoides*, *Sb. pseudobulloides* și *Planorotalites ehrenbergii*.

Asociația probei 17 (Paleocen) este cuprinsă în marnocalcare, cenușii de 1-2 m grosime. Aici se întâlnesc: *Sh. pseudobulloides*, *Sb. triloculinoides*, *Morozovella angulata*, *Mz. imitati*, *Acarinina inconstans*, frecvent radiolari.

Asociația probei 20 (Paleocen) se găsește în marnocalcare asociate cu gresii calcareoase și nisipuri în strate masive de 1-2 m grosime. Aici s-a identificat următoarea asociație micropaleontologică: *Sb. ex gr. triloculinoides*, *Sb. pseudobulloides*, *Sb. varianta*, *Planorotalites ehrenbergii*, *Morozovella angulata*, *Acarinina convexa*, *Ac. inconstans*, *Globorotalia chapmani*.

b) Zona *Morozovella angulata/Morozovella pusilla pusilla* (Paleocen mediu)

Se poate delimita în depozite de marne și argile nisipoase, cenușii, verzui cu intercalații de gresii și microconglomerate slab fosilifere. Asociația acestei biozone cuprinde pe *Morozovella angulata*, *Mz. pusilla pusilla*,



Mz. conicotruncata, *Mz. apanthesma*, *Acarinina convexa*, *Acarinina inconstans*, *Globorotalia chapmani*, *Subbotina triloculinoides*, *Sb. pseudobulloides*. Asociația probelor 27-31 (Paleocen) a fost înfășită în calcare cenușii-albicioase, dure, masive, asociate cu marne cenușii-verzui. În aceste depozite reapar *Morozovella angulata*, *Subbotina triloculinoides*, *Acarinina inconstans*, *Globorotalia chapmani*. Pe lîngă acestea se întâlnesc valve de ostracode și radiolari.

B) Biostratigrafia profilului San Diego de los Baños (fig. 2)

a) Zona *Morozovella angulata/Morozovella pusilla pusilla* (Paleocen mediu)

Poate fi recunoscută într-un interval litologic foarte scurt care aparține complexului de gresii cu intercalări de microconglomerate. Foraminiferele planctonice înfășuite aparțin următoarelor specii: *Subbotina ex gr. triloculinoides*, *Sb. pseudobulloides*, *Sb. narianta*, *Globorotalia chapmani*, *Planorotalites compresa*, *Morozovella angulata*, *Mz. pusilla pusilla*.

Asociația probei 78 se găsește spre partea superioară a complexului de gresii cu intercalări de microconglomerate. Din componența acestei asociații fac parte: *Subbotina pseudobulloides*, *Morozovella velascoensis*, *Mz. aqua*, *Mz. subbotinae*, *Acarinina acarinata*, *Ac. triplex*, *Ac. pentamerata*, *Ac. soldadoensis*, *Ac. wilcoxensis*.

Asociația probelor 80-82 este reprezentată în primele depozite ale complexului de tranziție de la gresii cu conglomerate la marne gălbui masive. Aici se întâlnesc *Subbotina ex gr. triloculinoides*, *Sb. linoperta*, *Sb. pseudoeocaena*, *Sb. collactea*, *Pseudohastigerina wilcoxensis*, *Ps. miera*, *Acarinina pentamerata*, *Ac. soldadoensis*, *Ac. convexa*. Alături de foraminiferele planctonice apar reprezentanți ai genurilor *Recurvoides*, *Spiroplectammina*, *Gyroidina*, *Eponides*, *Cibicides*, *Anomalina*, *Bulimina*.

Asociația probelor 45-46 definește pachetul de depozite din partea inferioară a complexului de tranziție și cuprinde pe *Acarinina convexa*, *Ac. brodermanni*, *Ac. soldadoensis angulosa*, *Ac. questra*, *Subbotina turbida*, *Pseudohastigerina wilcoxensis*, *Morozovella formosa formosa*.

b) Zona *Morozovella aragonensis/Acarinina bullbrooki* (Eocen inferior part. term.)

În succesiunea stratigrafică normală a complexului de tranziție limita inferioară a acestei biozone este marcată de apariția în proba 83 a speciilor *Morozovella aragonensis* și *Acarinina bullbrooki* care se mențin în aproape toate pachetele de la proba 83 la proba 100. De asemenea această biozonă este cuprinsă în partea inferioară a complexului de marne gălbui atât din rîul San Diego cât și șoseaua San Diego de los Baños. Din asociația acestei biozone fac parte: *Subbotina ex gr. triloculinoides*, *Sb.*

linaperta, *Sb. calloctea*, *Sb. frontosa*, *Sb. gravelli*, *Sb. turgida*, *Morozovella aragonensis*, *Mz. aequa*, *Acarinina brodermanni*, *Ac. albeari*, *Ac. pentacamerata*, *Ac. bullbrookii*, *Ac. wilcoxensis*, *Ac. quebra*, *Ac. soldadoensis*, *Ac. triplex*, *Ac. spinumeloinflata*, *Ac. pseudotopileensis*, *Ac. mckennai*, *Ac. intermedia*, *Ac. acarinata*, *Ac. interposita*, *Ac. soldadoensis angulosa*, *Pseudohastigerina wilcoxensis*, *Planorotalites pseudoscitulus*, *Globorotalia chapmani*, *Globorotalites suteri*, *Calapsydrax echinatus*, *Cal. dissimilis*. Repartiția acestor foraminifere planctonice nu este uniformă în cadrul întregului interval probelor. Singurele specii constante pe verticală sunt cele care caracterizează biozona. Se remarcă numărul foarte mare de specii și explozia genului *Acarinina*.

Împreună cu foraminiferele planctonice mai apar reprezentanții următoarelor genuri: *Cibicides*, *Eponides*, *Siphonina*, *Gyroidina*, *Bulimina*, *Siphonodosaria*, *Lenticulina*, *Chilostomella*, *Anomalina*. Rareori sunt prezente foraminifere mari cu specii ale genurilor *Asterocyclusina* și *Disco-cyclina*. În fine la diferite nivele se întâlnesc asociații de radiolari, ostracode, spieuli de spongieri.

Asociația probelor 66-67, 126 (Eocene inferior) a fost determinată din aproximativ 3-4 m de marne gălbui-albicioase slab stratificate care suportă complexul de calcare și conglomerate al formațiunii de Loma Candela. Aici s-au recunoscut: *Planorotalites pseudoscitulus*, *Ps. wilcoxensis*, *Acarinina rugosoaculeata*. Se mai întâlnesc de asemenea specii ale genurilor *Cibicides* și *Siphonina*. Sunt prezente foraminifere mari cu specii ale genurilor *Asterocyclusina* și *Nummulites*. Frecvențe resturi de briozări și ostracode.

c) Zona *Morozovella lehneri* (Eocene mediu)

Intercalațiile de marne ale complexului de conglomerate asociate cu calcar, cuprind pe lângă specii cunoscute în Eoceneul inferior și unele specii noi caracteristice unei părți a Eocenului mediu. Asociația se caracterizează prin: *Morozovella lehneri*, *Acarinina bullbrookii*, *Ac. rugosoaculeata*, *Globigerinatheka curryi*, *Calapsydrax echinatus*, alături de care apar specii ale genurilor *Siphonina*, *Uvigerina*, *Cibicides*. Asociația micropaleontologică a acestei biozone este dominată de prezența foraminiferelor mari. Sunt recunoscute genurile *Nummulites*, *Asterocyclusina*, *Disco-cyclina*, *Amphistegina*, în general de talie mică.

C) Biostratigrafia profilului Soroa—Casa Blanca—Cayabajos (fig. 3)

Asociația probei 134 se găsește în partea terminală a complexului de gresii friabile limonitizate. Aici au fost întâlnite: *Subbotina ex gr. triloculinoides*, *Planorotalites menardii*, *Globorotalia chapmani*, *Morozovella convexa*, *Mz. conicotruncata*, *Acarinina intermedia*, *Cibicides* div. sp. Sunt remaniate numeroase specii de *Globotruncana*.

a) *Zona Morozovella angulata/Morozovella pusilla pusilla*
(Paleocen mediu)

În primele intercalări de marne și argile ale complexului de brecii asociate cu gresii masive s-a întîlnit asociația de foraminifere planctonice cu *Subbotina pseudobulloidies*, *Sb. ex gr. triloculinoides*, *Sb. varianta*, *Sb. triangularis*, *Morozovella angulata*, *Mz. pusilla laevigata*, *Mz. conico-truncata*, *Acarinina albeari*, *Planorotalites ehrenbergi*, *Chiloguembelina cubensis*. În toate probele sunt prezenti radiolari.

b) *Zona Morozovella aequa — Morozovella marginodentata*
(Paleocen superior)

Se suprapune peste primele depozite cu secvențe de tip fliș de gresii calcaroase cenușii-albicioase, marne și argile cenușii și peste gresii masive friabile. Din compoziția acestei biozone fac parte: *Morozovella aequa*, *Mz. brödermanni*, *Mz. apanthesma*, *Mz. marginodentata*, *Subbotina ex gr. triloculinoides*, *Sb. velascoensis*, *Sb. varianta*, *Gb. chapmani*, *Acarinina albeari*, *Ac. convexa*, *Ac. mckannai*, *Ac. pentacamerata*, *Ac. acarinata*, *Ac. ex gr. bullbrookii*, *Ac. soldadoensis angulosa* și *Chilostomella* div. sp.

c) *Zona Morozovella subbotinae* (Eocen inferior)

Se întâlnește într-o succesiune de marne mai dure, stratificate în strate de 10-60 cm, separate de pachete de 10-20 cm de șisturi marno-argiloase, cenușii-albicioase și de marne masive finc în bancuri de 1-2 m grosime. Asociația biozonei este reprezentată prin următoarele genuri și specii: *Subbotina collactea*, *Sb. velascoensis*, *Morozovella convexa*, *Mz. brödermanni*, *Mz. subbotinae*, *Mz. marginodentata*, *Mz. aequa*, *Mz. aragonensis*, *Acarinina pentacamerata*, *Ac. soldadoensis*, *Ac. pseudotopilensis*, *Ac. ex gr. bullbrookii*, *Ac. triplex*, *Ac. soldadoensis angulosa*, *Ac. intermedia*, *Ac. questra*, *Ac. wilcoxensis*, *Ac. mckannai*. Se mai găsesc: *Discocyclina* div. sp., *Siphonina* div. sp.

d) *Zona Acarinina brödermanni* (Eocen inferior)

Majoritatea depozitelor din complexul de marne și gresii cu secvențe de tip fliș cuprind asociația de foraminifere aparținând zonei *Acarinina brödermanni*. Aici mai sunt cuprinse: *Subbotina inaequispira*, *Acarinina convexa*, *Ac. lensiformis*, *Ac. acarinata*, *Ac. soldadoensis angulosa*, *Ac. soldadoensis*, *Ac. pentacamerata*, *Ac. mckannai*.

Asociația probelor 206-210 (Eocen inferior). Gresiile masive limonitizate separate de șisturi argiloase și marne reprezentând probabil o parte din formațiunea de Capdevila, cuprind o microfaună care aparține genurilor și speciilor următoare: *Planorotalites pseudoscitula*, *Globorotalia chapmani*, *Morozovella capdevilensis*, *Acarinina soldadoensis angulosa*,

Ac. mckannai, *Ac. brödermanni*, *Ac. convexa*, *Subbotina velascoensis*, *Sb. pseudoeocaena*, *Sb. ex gr. triloculinoides*, *Sb. pseudobulloides*, *Pseudohastigerina wilcoxensis*.

V. ASOCIAȚII DE FORAMINIFERE DIN UNELE PUNCTE ALE PROVINCIEI ORIENTE

1. **Gibara-Cupeicillo.** Aici s-au întîlnit: *Morozovella marginodentata*, *Mz. aqua*, *Globigerina* div. sp. (Paleocen superior-Eocen inferior).

2. **Naticos.** Din acest profil s-au determinat în bază: *Morozovella aqua*, *Mz. marginodentata*, *Mz. subbotinæ*, *Mz. velascoensis*, *Acarinina acarinata*, *Ac. pentacamerata*, *Discocyclina* div. sp. (Paleocen superior-Eocen inferior?).

La partea superioară a secțiunii s-au întîlnit: *Morozovella aqua*, *Mz. subbotinæ*, *Mz. marginodentata*, *Mz. formosa formosa*, *Mz. velascoensis*, *Acarinina convexa*, *Ac. acarinata*, *Subbotina ex gr. triloculinoides*, *Sb. frontosa*, *Chilogumbelina wilcoxensis*, *Asterocydina* div. sp., *Discocyclina* div. sp. (Eocen inferior).

3. **Gibara.** Asociația de foraminifere de aici este următoarea: *Morozovella aragonensis*, *Acarinina convexa*, *Ac. brödermanni*, *Acarinina bullbrookii*, *Ac. triplex*, *Acarinina* div. sp., *Globotruncana* div. sp. (remaniate), *Asterocydina* div. sp., *Discocyclina* div. sp., *Amphistegina* div. sp. (Eocen mediu?).

4. **Jiquina.** Sunt asociații care cuprind foraminifere *in situ* și specii remaniate. Dintre genurile *in situ* se remarcă: *Asterocydina* div. sp., *Dentalina* div. sp., *Nodosaria* div. sp. Din Cretacicul superior sunt frecvent *Omphalocyclus macroporus*. Sunt frecvențe fragmente de briozare. Vîrstă asociației eocenă-inferioară.

5. **Baños.** O asociație eocen inferioară-medie cu *Asterocydina* div. sp., *Discocyclina* div. sp., *Chapmanina* div. sp., *Siphonodosaria* div. sp., *Quinquloculina* div. sp., *Lenticulina* div. sp., *Eponides* div. sp.,

6. **Cento.** Aici se recunosc asociații cu *Morozovella aqua*, *Mz. aragonensis*, *Mz. lehneri*, *Acarinina mckannai*, *Ac. spinuloinflata*, *Planorotalites pseudoscitulus*, *Pseudohastigerina wilcoxensis*, *Siphonina* div. sp., *Lenticulina* div. sp., *Asterocydina* div. sp., *Amphistegina* div. sp., *Discocyclina* div. sp., *Nummulites*? Vîrstă acestei asociații, eocenă-inferioară cu posibilitatea de trecere la Eocen mediu.

7. **Alcalá.** Formațiunea Vigia (pro parte) cuprinde pe *Pseudohastigerina wilcoxensis*, *Asterocydina* div. sp., *Discocyclina* div. sp., *Chapmanina* div. sp., fragmente de briozare și frecvențe exemplare de radiolari.

8. **Tacajo-La Vega.** Aici se recunoaște o bogată asociație din partea superioară a Eocenului mediu, eventual baza Eocenului superior cu: *Globigerina ampliapertura*, *Subbotina linaperta*, „*Globigerinoides*” *higginsi*, *Catapsydrax dissimilis*, *Pseudohastigerina micra*, *Turborotalia centralis*,

Morozovella lehneri, *Hantkenina alabamensis*, *Cribrohantkerinina bermudezi* și numeroase valve de ostracode.

O altă asociatie interesantă pentru baza Eocenului mediu din partea centrală a provinciei Orientale, cuprinde pe *Subbotina linaperta*, *Sb. yeguensis*, *Sb. pseudococaena*, *Catapsydrax dissimilis*, „*Globigerinoides*” *higginsi*, *Chilogumbelina martini*, *Truncorotaloides topilensis*, *Pseudohastigerina micra*, *Acarinina rugosoaculeata*, *Ac. bullbrookii*, *Ac. spinuloaenflata*, *Ac. mekannai*, *Ac. triplex*, *Pseudohastigerina wilcoxiensis*, *Hantkenina dumbieei*, *H. longispina*, *H. aragonensis* (f. freevent).

VI. CRONOSTRATIGRAFIA

Cu ajutorul datelor micropaleontologice obținute din cercetarea celor trei profile geologice din provincia Pinar del Rio s-au putut aduce unele contribuții la definirea unor unități chronostratigrafice din seriile paleocene-cocene.

A) Paleocen inferior (pro parte)

Argilele și marnele cenușii-verzui asociate cu gresii calcaroase friabile pot fi considerate cele mai vechi depozite paleocene întlnite după existența în cuprinsul lor a zonei *Subbotina triloculinoides* / *Subbotina pseudobulloides*. Prezența izolată a acestei biozone nu poate însă sugera și pune în discuție problema existenței Danianului, ca etaj în sine.

B) Paleocen mediu (pro parte)

În toate cele trei profile (La Guayabao, San Diego de los Baños și Soroa-Casa Blanca-Cayabajos). Paleocenul mediu este definit numai de zona *Morozovella angulata*-*Morozovella pusilla* pusilla.

C) Paleocen superior (pro parte)

Prezența Paleocenului superior a fost recunoscută numai în profilul Soroa-Casa Blanca-Cayabajos unde se caracterizează prin zona *Morozovella aqua*-*Morozovella marginodentata*. Această biozonă reprezintă partea terminală a Paleocenului superior. Limita ei superioară coincide cu limita Paleocene superior-Eocen inferior.

D) Eocen inferior (pro parte)

Pentru definirea Eocenului inferior (*pro parte*) s-au luat în considerație cele trei biozone identificate pe profilele San Diego de los Baños și Soroa-Casa Blanca-Cayabajos. Biozonele sunt următoare: *Morozovella subbotinae* și *Acarinina brödermanni*. În același timp Eocenul inferior din profilul San Diego de los Baños a putut fi caracterizat prin zona *Morozovella aragonensis*/*Acarinina bullbrookii*.

E) Eocen mediu (pro parte)

O parte a Eocenului mediu este atestată numai de prezența zonei *Morozovella lehneri* din cuprinsul formațiunii de Loma Candela de pe șoseaua San Diego de los Baños.

Deși asociațiile de foraminifere planctonice determinate cuprind un număr mare de genuri și specii, totuși nu s-au întîlnit asociații tip care ar putea fi raportate la anumite etaje ale seriei paleocene-eocene. S-a considerat de aceea că este mai adecuată împărțirea obisnuită arbitrară a fiecărei serii în trei părți: inferioară, mediană și superioară.

VII. CORELĂRI

Succesiunea completă a biozonelor întâlnite pe cele trei profile din provincia Pinar del Rio este următoarea:

1. *Subbotina triloculinoides/Subbotina pseudobulloides* (Paleocen inferior);
2. *Morozovella angulata/Morozovella pusilla pusilla* (Paleocen mediu);
3. *Morozovella aqua/Morozovella marginodentata* (Paleocen superior);
4. *Morozovella subbotinae* (Eocen inferior);
5. *Acarinina brödermanni* (Eocen inferior);
6. *Morozovella aragonensis/Acarinina bullbrookii* (Eocen inferior);
7. *Morozovella lehneri* (Eocen mediu).

Dacă calitatea celor trei profile micropalontologice nu a permis identificarea unor coloane unitare cu biozone de foraminifere planctonice utilizate curent pentru regiunile tropicale, există totuși așa după cum s-a arătat mai sus cîteva biozone care se pot recunoaște în diverse scheme date pentru Cuba, pentru regiunea Caraibilor și chiar în anumite secțiuni tip din Europa. Fără a ne situa pe o poziție absolut critică aducem în discuție unele ascențări și deosebiri, dintre anumite biozone menționate în literatură de specialitate mai veche, cu cele identificate și interpretate de noi într-o manieră mai nouă. Dacă prima referire se face la una din cele mai vechi scheme (B e e k m a n n, 1958) pentru Cuba, se constată existența aici a unor biozone similare în parte din punct de vedere al utilizării unor specii și al încadrării lor în unitățile de timp.

Se recunosc pe de o parte biozona *Globorotalia pusilla pusilla* și pe de altă parte *Morozovella angulata/Morozovella pusilla pusilla* caracteristică pentru partea mediană a Paleocenului. De asemenea se pot corela biozonele *Globorotalia rex* cu *Morozovella subbotinae* din baza Eocenului inferior cu mențiunea că *Globorotalia rex* poate fi considerată sinonimă cu *Morozovella subbotinae*.

În continuare, zona *Globorotalia aragonensis* nu poate fi considerată ca atarc, întrucât în același interval de timp și spațiu se întâlnește și specia *Acarinina bullbrookii*. În fine zona *Globorotalia lehneri* este aceeași cu zona *Morozovella lehneri* din partea mijlocie a Eocenului mediu.

Într-o schemă mai nouă și mai adecuată situației reale a succesiunii biozonelor din depozitele danian-eocene ale provinciei Havana (B r o n n i m a n n și R i g o s s i, 1961) se constată existența zonei *Globorotalia*

angulata care, în mod cronat trecută la baza Eocenului inferior, credem că reprezintă de fapt intervalul cu zona Morozovella angulata/Morozovella pusilla pusilla de vîrstă palcoen-medie, descrisă de noi pentru profilele din provincia Pinar del Rio.

Menționată ca zona Globorotalia rex/Globorotalia formosa pentru o parte a Eocenului inferior din provincia Havana ea ar putea fi echivalentă cu zona Morozovella subbotinae din baza Eocenului inferior a profilului Soroa-Cayajabos. O altă biozonă în parte comună depozitelor eocen-inferioare din Havana cu cele din sectorul Soroa-Casa Blanca-Cayajabos, poate fi considerată zona Globorotalia brödermanni/Globorotalia pseudoscitula respectiv cu Acarinina brödermanni.

O corelare mai exactă se poate face pentru ultima parte a Eocenului inferior ale celor două provincii unde s-a identificat aceeași biozonă : Globorotalia bullbrooki/Globorotalia aragonensis respectiv Acarinina bullbrooki /Morozovella aragonensis.

Dacă ne referim la schema biostratigrafică dată în Geologia Cubaiei (1964) se constată două puncte de vedere comune : — primul ar fi acela în semnalarea pe de o parte a zonei cu *Globorotalia compressa*, *Gl. pseudobulloides*, *Globigerina triloculinoides*, *G. daubjergensis* (Danian) și pe de altă parte a zonei cu *Subbotina triloculinoides/Subbotina pseudobulloides* (Paleocen inferior); — al doilea, existența pentru același timp în baza Eocenului inferior și a zonei Truncorotalia formosa, Truncorotalia rex, respectiv zona Morozovella subbotinae (— *G. rex*).

Cea mai nouă coloană biostratigrafică provizorie a Cenozoicului din partea occidentală a Cubaiei (A. de la Torre, 1968) reflectă unele precizări în succesiunea biozonelor paleocene-eocene mai ușor corelabile cu datele noastre. Există ideea comună în parte că în baza seriei paleocene se găsește zona cu specile : *Globorotalia compressa*, *Gl. pseudobulloides*, *Gl. triloculinoides*, *Gl. daubjergensis* sau respectiv zona Subbotina triloculinoides/Sb. pseudobulloides. De asemenea Eocenul inferior (Ypressian) ar începe cu zona Truncorotalia formosa/Tr. rex, respectiv cu zona Morozovella subbotinae (rex).

Deși datele obținute asupra biozonelor de foraminifere planctonice (tab.) din provincia Pinar del Rio nu sunt suficiente pentru a putea fi utilizate cu precizie la corelările la mari distanțe, sunt necesare totuși unele referiri la legăturile care se pot face în primul rînd cu unele regiuni din jurul Cubaiei. Din acest punct de vedere se pot face unele observații.

1. În provincia Pinar del Rio există biozone cu foraminifere planctonice (*Globorotalia pusilla pusilla*, *Gl. pseudobulloides*, *Gl. angulata*) caracteristice Paleocenului inferior, mediu și superior care se regăsesc în schemele date de Bölli (1957) pentru Trinidad, de Loeblich și Tappan (1957) pentru Gulf și Atlantic Coast (U.S.A.).

2. De asemenea Eocenul inferior și mediu cu unele excepții cuprinde biozone cu foraminifere planctonice (*Globorotalia rex*, *Gl. aragonensis*, *Gl. lehneri*) similară cu cele stabilite pentru Trinidad și U.S.A. (Gulf și Atlantic Coast).



În stabilirea biozonelor precum și în interpretarea generală a repartiției stratigrafice a foraminiferelor planctonice de pe cele trei profile s-a încercat o apropiere cu datele care se cunosc din ultimii ani pentru unele secțiuni tip ale Europei. Astfel în seria paleocenă-eocenă a Appeninilor Centrali (Luterbacher, 1964), există specii caracteristice similare celor întâlnite în Pinar del Rio.

Printre acestea se pot menționa *Globobulloides pseudobulloides* (Paleocen, inferior); *Globobulloides pusilla pusilla* (Paleocen mediu); *Globobulloides aequa* (Paleocen superior); *Globobulloides subbotinae*, *Globobulloides aragonensis* (Eocen inferior) și *Globobulloides bullbrookii* cu caracter de biozonă pentru Eocenul mediu. O mai mare similaritate cu datele noastre poate fi recunoscută în tabelul asupra repartiției foraminiferelor planctonice din secțiunea Poderno-D'Adda (Italia de N; Cita, Belli et al. 1968), unde partea bazală a Paleocenului inferior este caracterizată de *Globorotalia pseudobulloides*.

Pentru Paleocenul mediu sunt menționate zonele Globorotalia angulata, Globorotalia pusilla pusilla. Paleocenul superior se încheie cu zona Globorotalia aequa, iar Eocenul inferior în partea sa mediană se caracterizează prin zona Globorotalia aragonensis. De altfel asociațiile de foraminifere planctonice din seria paleocen-eocenă (baza) sunt comune numai în parte (cu excepția unor specii paleocen-inferioare) cu cele întâlnite pe profilele provinciei Pinar del Rio.

Dc asemenea prezența anumitor biozoane paleocene-eocene corelatibile cu cele stabilite, pot fi citate din schema stratigrafică a Paleocenului din Crimeea (tab.), cu mențiunea că biozonele de aici sunt raportate unor vîrstă în parte deosebite. Astfel zona *Globobulloides angulata* ar caracteriza Paleocenul inferior, iar zona *Globobulloides subbotinae*, tot Eocenul inferior. Eocenul mediu se caracterizează prin *Globobulloides aragonensis* și *Acarinina bullbrookii*. S-au luat în considerație de asemenea, biozonele stabilite de Berggren (1968) pentru a regăsi elemente comune cu cele din Cuba. În acest sens pentru datele similare din provincia Pinar del Rio se pot cita: existența zonei *Globobulloides pusilla pusilla/Globobulloides angulata* (Paleocen mediu); *Globobulloides subbotinae* (rex); *Globobulloides aragonensis* (Eocen inferior); *Globobulloides lehneri* (Eocen mediu).

Din datele sumare expuse pînă acum se desprinde faptul că în stabilirea biozonelor din provincia Pinar del Rio s-a luat în considerație atît schemele biostratigrafice date de diferiți autori pentru Cuba cît și pentru regiunile învecinate. De asemenea s-a încercat o apropiere cu datele cunoscute pentru anumite secțiuni tip din Europa. În același timp s-a ținut seama de particularitățile biofaciale ale fiecărui profil care nu permit o încadrare rigidă în vreuna din schemele binecunoscute.

VIII. RELAȚII ÎNTRU UNELE ASOCIAȚII DE FORAMINIFERE DIN PROVINCIA ORIENTE CU CELE DIN PINAR DEL RIO

Așa cum s-a arătat am avut la dispoziție probe bogate în foraminifere planctonice paleocene-eocene din unele formațiuni ale provinciei Oriente. Inventarul micropaleontologic al probelor din Oriente corespunde

Biorone de foraminifere planctonice în

Vîrstă		Provincia Pinat Del Rio			Prov. Habana Brommann Rigassi, 1961	Cuba	Beck- Knaan, 1958
		Profil La Guyabaco	Profil San Diego de los Baños	Profil Casa Blanca - Cayajabos			
Tâlrogen	Paleogen	Sup.	Interior	<i>Morozovella lehneri</i> <i>Morozonella acarinina</i> / <i>Acarinina bullbrookii</i> <i>Morozovella subbotinae</i> <i>Morozovella aequa</i> / <i>Morozovella marginodentata</i> <i>Morozovella angulata</i>	<i>Glb. bullbrookii/Glb. aragonensis</i> <i>Globorotalia palmerae</i> <i>Glb. brödermanni/Glb. pseudoscitula</i> <i>Glb. rex</i> <i>Glb. pseudomenardi</i> <i>Glb. formosa</i> <i>Glb. velascoensis</i> <i>Glb. angulata</i>	<i>Glb. lehneri</i> <i>Glb. palmerae</i> <i>Glb. aragonensis</i> <i>Glb. formosa formosa</i> <i>Glb. rex</i> <i>Glb. velascoensis</i> <i>Glb. pseudomenardi</i> <i>Glb. pseudomenardi</i> <i>Glb. formosa pusilla</i>	

BEL

Cuba și în cîteva regiuni din lume

Part. Occid. de Cuba/ A. Delatorre, 1968	Trinidad Belli, 1957	Gulf și Atlantic Coast	Loeblich, Tappan 1957	Apeninii Centrali	Luterba- cher, 1964	Paterno D'Adda	Cita, 1968. Belli et al.	Grineea	1971 Morozova, Schut- zskaya
		<i>Glb. lehneri</i>							<i>Acarinina bullbrooki</i>
<i>Truncorota- loides ara- gonensis</i>		<i>Glb. palme- rae</i>			<i>Glb. bullbrooki</i>				<i>Glb. aragonensis</i>
<i>Globorotalia balmerae</i>	<i>Glb. arago- nensis</i>				<i>Glb. aragonensis</i>		<i>Glb. aragonensis</i>		
		<i>Glb. formo- sa formosa</i>			<i>Glb. formosa formosa</i>		<i>Glb. formosa for- mosa</i>		<i>Glb. subbotinae</i>
					<i>Glb. subbotinae</i>				
		<i>Glb. rex</i>							
<i>Truncorota- lia relax- coensis</i>		<i>Glb. relax- coensis</i>			<i>Glb. aequa</i>		<i>Glb. aequa</i>		
<i>Globorotalia pseudome- nardi</i>	<i>Glb. pseudo- menardi</i>	<i>Glb. velas- coensis</i>	<i>Glb. rex</i>		<i>Glb. velascoensis</i>		<i>Glb. velascoensis</i>		
<i>Truncorota- lia elongata</i>	<i>Glb. pusilla</i>	<i>Glb. pusilla</i>							<i>Acarinina subsphaerica</i>
<i>Glb. pseudo- bulloides</i>	<i>Glb. unci- nata</i>	<i>Glb. angula-</i>	<i>Glb.</i>	<i>Glb. pseudo- menardi</i>	<i>Glb. pusilla</i>	<i>Glb. angulata</i>			
<i>Gl. trilocu- linoides</i>	<i>Glb. trinida- densis</i>	<i>Gl. angula-</i>			<i>Gl. uncinata</i>		<i>Gl. uncinata</i>		
<i>Gl. daubjerg- gensis</i>					<i>Gl. trinidadensis</i>		<i>Gl. trinidadensis</i>		<i>Gl. angulata</i>
							<i>Gl. pseudobull- oides</i>		



în mare parte cu cel determinat pentru provincia Pinar del Rio. Astfel se pot desprinde o serie de asociații caracteristice pentru anumite părți ale Paleocenului și Eocenului care pot fi recunoscute și în unele depozite ale profilelor din Pinar del Rio. În ordine cronologică acestea sunt :

Asociația de vîrstă paleocene-superioară cuprinde pe *Morozovella aqua*, *Mz. marginodentata*, *Mz. velascoensis*, *Acarinina acarinata*, *Ac. pentacamerata* și *Discocyclina* div. sp.

Asociația de vîrstă eoceu-inferioară cu *Morozovella aragonensis*, *Acarinina convexa*, *Ac. brödermanni*, *Mz. subbotinae*, *Mz. formosa formosa*, *Ac. bullbrooki*, *Ac. triplex*, *Ac. pentacamerata*, *Subbotina frontosa*, *Pseudohastigerina wilcoxensis*, *Planorotalites pseudoseitula*, *Asterocydina* div. sp., *Discocyclina* div. sp., *Amphistegina* div. sp.

Asociații de vîrstă eocen-medie, și eocen-medie superioară (baza). Acestea par a fi mai complete și mai semnificative pentru anumite părți ale Eocenului mediu din provincia Oriente decât cele identificate în provincia Pinar del Rio. Pentru baza Eocenului mediu din anumite puncte ale provinciei Oriente, ca și pentru zona Bahia Honda-Cabañas (Pinar del Rio) se recunosc următoarele specii comune : *Hantkenina aragonensis*, *H. longispina*, *H. dumblei*, *Ps. wilcoxensis*, *Ps. micra*, *Ac. mckannai*, *Ac. spinulinflata*, *Ac. bullbrooki*, *Ac. triplex*, *Ac. rugosoaculeata*, *Truncorotaloides topilensis*, *Chilogumbelina martini*, „*Globigerinoides higginsi*”, *Subbotina linaperla*, *Catapsydrax dissimilis*.

Pentru partea superioară a Eocenului mediu pînă la baza Eocenului superior se pot menționa : *Cribrohantkenina bermudezi*, *Halabamensis*, *Turborotalia centralis*, *Morozovella lehneri*, *Pseudohastigerina micra*, *Catapsydrax dissimilis*, „*Globigerinoides higginsi*”, *Globigerina ampliapertura*.

IX. UNELE DATE DE TAXONOMIE

În aprecierea unor genuri de foraminifere planctonice am luat în considerație unele clasificări mai recente care pun în evidență o serie de caractere morfologice net distințe pentru asociațiile paleocene și eocene în comparație cu cele eocene-superioare-oligocene-neogene. Plecind de la definițiile mai sugestive date unor noi genuri paleocene-eocene medii am optat pentru genurile : *Subbotina*, *Planorotalites*, *Morozovella*, *Acarinina*, în locul genurilor *Globigerina* și respectiv *Globorotalia*.

Genul *Morozovella* Mc. Gowran, 1964

Specia tip : *Pulvinulina velascoensis* Cushman, 1925. Autorul include în noul gen pe *Globorotalia*, ascuțit conică a Paleogenului. Diagnosă pentru *Morozovella* cuprinde următoarele elemente : test trochoid, răsucit la întimplare, de obicei puternic ; camere tortite lateral, mai mult sau mai puțin conice, cu marginea ascuțită și din cînd în cînd neregulat îngroșată. Suprafața testului în stadiul primar mai mult sau mai puțin rugoasă în special spre margine ; secundar mai accentuată, pînă cînd testul

devine rugos, spinos sau nodular, de la margine spre umărul ombilical. Porii grosolani, lind spre exterior să aibă forma unui coș. Testul ombilical, apertura bazală și umbilicală, cu o ramă ca un arc, care o înconjoară, poate avea suprafață perforată.

Genul *Acarinina* Subbotina, 1953

Specia tip: *Acarinina acarinata* Subbotina, 1953

Autoarea propune pentru definirea genului următoarele caractere: „întotdeauna testul puternic umflat, cu camere de tip” globigerinoid” și cu testul foarte spinos. De fapt acesta ar fi după unii autori sinonim cu genul *Turborotalita*. Cushman și Bermudez (1949), care este caracterizat prin camere globulare, cu periferia rotundă și fără ombilice distincte.

Genul *Planorotalites* Morozova, 1957

Specia tip: *Globorotalia pseudoscitula* Glaessner, 1937

În caracterizarea noului gen se include *Globorotalia* cu testul într-o mică măsură, biconvex, sau plan convex cu unghiul periferic foarte ascuțit, cu ombilicul mic.

Genul *Subbotina* Brotzen, Pozjaryska, 1961

Specia tip: *Globigerina triloculinoides* Plummer, 1927

Testul trochospiral cu camere care crește repede în mărime, puternic umflate. Suluri depresionare, peretele calcaros, perforat, suprafața destul de spinoasă. Apertura ombilicală, extraombilicală, cu buza distinctă.

MICROFAUNA IDENTIFICATĂ ÎN DEPOZITELE PALEOCENE-EOCENE DIN PROVINCIA PINAR DEL RIO SI ORIENTE

1. *Subbotina triloculinoides* (Plummer)
2. *Subbotina binaperta* (Finlay)
3. *Subbotina yaeguaensis* Weinzierl and Appel
4. *Subbotina pseudoeoecaena* (Subbotina)
5. *Subbotina collactea* (Finlay)
6. *Subbotina frontosa* (Subbotina)
7. *Subbotina inaequispira* (Subbotina)
8. *Subbotina primitiva* (Finlay)
9. *Subbotina hornibrooki* (Bronnimann)
10. *Subbotina taroubaensis* (Bronnimann)
11. *Subbotina turgida* (Finlay)
12. *Subbotina* sp. aff. *prolata* (Bölli)
13. *Subbotina triangularis* (White)
14. *Subbotina gravelii* (Bronnimann)
15. *Subbotina varianto* (Subbotina)
16. *Subbotina pseudobulloides* (Plummer)
17. *Globorotalia chapmani* Parr
18. *Globorotalites suteri* Bölli



19. *Planorotalites compressa* (Plummer)
20. *Planorotalites pseudoscitula* (Glaessner)
21. *Planorotalites ehrenbergi* (Böll)
22. *Planorotalites pseudomenardii* (Böll)
23. *Morozovella aqua* (Cushman and Renz)
24. *Acarinina convexa* (Subbotina)
25. *Acarinina brödermanni* (Cushman and Bermudez)
26. *Acarinina albeari* (Cushman)
27. *Morozovella angulata* (White)
28. *Morozovella subbotinae* (Morozova)
29. *Morozovella marginodentata* (Subbotina)
30. *Morozovella inornata* (Loeblich and Tappan)
31. *Morozovella formosa formosa* (Böll)
32. *Morozovella formosa gracilis* (Böll)
33. *Morozovella conicotruncata* Subbotina
34. *Morozovella apantenesma* (Loeblich and Tappan)
35. *Morozovella capdevilensis* (Cushman and Bermudez)
36. *Morozovella palmerae* Cushman and Bermudez
37. *Morozovella lensiformis* (Subbotina)
38. *Morozovella simulatilis* (Schmager)
39. *Morozovella lehneri* (Cushman and Jarvis)
40. *Morozovella aragonensis* (Nuttall)
41. *Morozovella spinulosa* (Cushman)
42. *Morozovella pusilla pusilla* (Böll)
43. *Morozovella uncinata* (Böll)
44. *Morozovella velascoensis* (Cushman)
45. *Morozovella velascoensis occlusa* Loeblich and Tappan
46. *Acarinina wilcoxensis* (Cushman and Ponton)
47. *Acarinina inconstans* (Subbotina)
48. *Acarinina acarinata* Subbotina
49. *Acarinina pentacamerata* (Subbotina)
50. *Acarinina triplex* Subbotina
51. *Acarinina soldadoensis* (Bronnemann)
52. *Acarinina angulosa* (Böll)
53. *Acarinina mckannai* (White)
54. *Acarinina bullbrooki* (Böll)
55. *Acarinina rugosoaculeata* (Subbotina)
56. *Acarinina interposita* Subbotina
57. *Acarinina aspensis* (Colom)
58. *Acarinina pseudotopilensis* Subbotina
59. *Acarinina spinuloinflata* (Böll)
60. *Acarinina intermedia* Subbotina
61. *Catapsydrax dissimilis* (Cushman and Bermudez)
62. *Catapsydrax echinatus* Böll
63. *Truncorotaloides topilensis* (Cushman)
64. *Globigerinatheka euganea* Böll

65. *Globigerinatheka cuyerryi* Bölli
 66. *Hantkenina liebusi* Schokina
 67. *Hantkenina dumbieri* Weintzier and Applin
 68. *Hantkenina longispina* Cushman
 69. *Hantkenina aragonensis* Nuttal
 70. *Pseudohestigerina micra* (Obole)
 71. *Pseudohestigerina wilcoxensis* (Cushman and Ponton)
 72. *Chilogumbelina cubensis* (Palmer)
 73. *Chilogumbelina martini* (Pijpers)
Recurvooides div. sp.
Spiroplectammina div. sp.
Dentalina div. sp.
Nodosaria div. sp.
Siphonodosaria div. sp.
Bulimina div. sp.
Uvigerina div. sp.
Gyroidina div. sp.
Eponides div. sp.
Cibicides div. sp.
Anomalina div. sp.
Chilostomella div. sp.
Siphonina div. sp.
Nonion div. sp.
Nummulites div. sp.
Asteroecyclina div. sp.
Discoecyclina div. sp.
Amphistegina div. sp.
Borelis div. sp.
Radiolaria (sferici, discoidali)
Ostracoda (valve)
Bryozoa (tuburi)
Spongia (spiculi)
Echinidae (spiculi)
Algae (tuburi)

BIBLIOGRAFIE

- Applin E. R. (1964) Some Middle Eocene, Lower Eocene, and Paleocene Foraminifera Faunas from West Florida. *C.C.F.F.R.* 15/2.
 Beckmann J. P. (1957) Chilogumbelina Loeblich and Tappan and related Foraminifera from the lower Tertiary of Trinidad. *U.S. Nat. Mus. Bull.* 215.
 — (1959) Correlation of pelagic and recifal faunas from the eocene and paleocene of Cuba. *Eclog. Geol. Helv.*, 51, 2.



- Berggren A. W. (1965) Some problems of Paleocene-Lower Eocene planktonic foraminiferal correlations. *Micropaleontology*, 11, 3.
- (1967) Origin and development of the foraminiferal genus *Pseudohastigerina* Bäumer and Blow, 1959. *Micropaleontology*, 13, 3.
 - (1968) Phylogenetic and taxonomic problems of some tertiary planktonic foraminiferal lineages. *Tulane Studies in Geology*, 6, 1.
 - (1971) Paleogene planktonic foraminiferal faunas on legs I—IV (Atlantic Ocean), Joides deep sea drilling program — A Synthesis. *Proc. of the II Plank. Conf.* 1970, Roma.
- Bermudez P. J. (1950) Contribución al estudio del Cenozoico cubano. *Mem. Soc. Cubana Hist. Nat.* 19, 3.
- (1961) Las formaciones geológicas de Cuba. *Geología Cubana N. 1, Minist. Ind. Inst. Cubano. Rec. Min.* 177.
 - (1961) Contribución al estudio de las Globigerinidae de la región Caribe-Antillana. *Mem. Congr. Geol. Venezolana III, Bul. Geol.*, publ. espec. 3.
 - Gamaz H. A. (1966) Estudio paleontológico de una sección del eoceno. Grupo punta carnero de la isla Margarita, Venezuela. *Mem. de la Sociedad de Ciencias Naturales La Salle Torno XXIII, Sept. Diciembre*, 75, Caracas, Venezuela.
 - (1937) Foraminíferos pequeños de la margen eocénica de Guanajay, Provincia Pinar del Río, Cuba. *Mem. de la Sociedad de Ciencias Naturales* 11, 5.
- Bölli H. M. (1957) Planktonic Foraminifera from the Eocene Navet and San Fernando formations of Trinidad. *W.J.U.S. Nat. Mus. Bull.* 215.
- Loeblich A. R., Tappan Helen (1957) Planktonic foraminifera Families Hantkeninidae, Orbulinidae, Globorotalidae and Globotruncanidae. *U.S. Nat. Mus. Bull.* 215.
 - (1957) The genera Globigerina and Globorotalia in the Paleocene-Lower Eocene Lizard Springs formation of Trinidad. *H.W.I. Bull. U.S. Nat. Mus.* 215.
 - (1957) The genera Praeglobotruncana, Rotalipora, Globotruncana, and Ahalomphalus in the Upper Cretaceous of Trinidad. *U.S. Nat. Mus. Bull.* 215.
 - (1966) Zonation of cretaceous to Pliocene marine sediments based on planktonic foraminifera: *Bol. Informat. de Asoc. Venezolana de Geología, Minería y Petróleo*, 9, 1, Caracas.
- Bronnemann A., Rigassi D. (1963) Contribution to the Geology and Paleontology of the Area of the City of la Habana, Cuba, and its Surroundings. *Ectog. geol. Helv.* 56/1, Basel.
- Cita M. B., Premoli-Silva I., Toumarkine M., Bölli H. M., Luterbacher H. P., Mahler H. P., Schaub H. (1968) Le paleocène et l'éocène de Paderno d'Adda (Italie Septentrionale). *Mém. du B.R.G.M.* 58, Coll sur l'Eocene, Paris.
- Decima Prato Frasca, Bölli H. M. (1970) Evolution and Variability of Orbilioides heckmanni (Saito). *Ectog. Geol. Helv.* 63, 3, Basel.
- Furrazola-Bermudez G., Judaley C. M., Mijoilovskaya M. S., Miroliubov I. S., Novojatsky I. P., Antonio Nuñez Jimenez, Juan B. Selsoma (1964) Geología de Cuba.
- Gallitelli Montanaro E. (1957) A revision of the foraminiferal family Heterohelicidae. *U.S. Nat. Mus. Bull.* 215.
- Herrera N. M. (1961) Contribución a la Estratigrafía de la Provincia de Pinar del Río. *Rev. de la Soc. Cubana de Ingenieros*, 1—2.
- Loeblich A. R., Tappan Helen (1957) Planktonic Foraminifera of Paleocene and early Eocene age from the Gulf and Atlantic Coastal Plains. *Bull. U.S. Nat. Mus.* 215.

- Luterbacher H. (1964) Studies in some Globorotalia from the Paleocene and Lower Eocene of the Central Apennines. *Ectog. geol. Helv.*, 57, 2, Basel.
- Palmer D. K. (1934) Some large fossil Foraminifera from Cuba. *Mém. de la Sociedad Cubana de Historia Natural*, VIII, 4, Habana, Cuba.
- Samuel O., Bystricka H. (1968) Stratigraphische Korrelation der plankton foraminiferen mit dem nannoplankton des paleogenes in der Westkarpaten der Slowakei. *Geol. Zbor. Geol. Carp.*, XIX, 1, Bratislava.
- Seiglie G. A. (1958) Notas sobre algunos foraminíferas planctónicas del cretácico superior de la cuenca de Jatibonica. *Mém. de la Sociedad Cubana de Historia Natural*, 24, 1, Habana, Cuba.
- (1961) Contribución al estudio de las microfacies de Pinar del Rio. *Rev. de la Soc. Cubana de Ing.*, LXI, 3-4, Habana, Cuba.
- Subbotina N. N. (1953) Globigerinidae, Planilithinidae, and Globorotaliidae. *Trudy VNIGRI 76, Fossil Foraminifera of USSR*.
- Torre A. de la (1968) Columna geológica provisional del Cenozoico del Occidente de Cuba. *Academia de Ciencias de Cuba, Ser. Geológica*, 1.
- Toumarkine M. Y., Bölli H. M. (1970) Evolution de Globorotalia cerroazulensis (Cole) dans l'éocène moyen et supérieur de Passagno (Italia). *Rev. de Micropal.*, 13, 3.

DONNÉES SUR DES COUPES MICROPALÉONTOLOGIQUES DANS LES DÉPÔTS PALÉOCÈNE-ÉOCÈNES DES PROVINCES DE PINAR DEL RIO ET D'ORIENTE (CUBA)

(Résumé)

Dans cet ouvrage sont présentés les résultats des études lithostratigraphiques et biostratigraphiques effectuées par l'auteur dans les dépôts paléocène-éocènes des provinces de Pinar del Rio et d'Oriente (Cuba).

On y décrit, du point de vue lithostratigraphique, les suivantes coupes : le chemin vers le sommet de la Gnyabao (W de Pinar del Rio); le ruisseau de San Diego et la chaussée San Diego de los Baños; la chaussée Soroa-Casa Blanca-Cayabajos.

On fait aussi l'analyse d'une série d'échantillons de la partie E et NE de la province d'Oriente, récoltés de : Cento, Nalicos, Alcalá, Tacajo-La Vega, Gibara, Cupeicille, La Jiquina, Nanes, etc.

Nous avons décris — de la coupe du ruisseau San Diego et de la chaussée San Diego de los Baños — les suivants complexes lithologiques : le complexe des grès à intercalations de micro-conglomérats; le complexe de transition des grès et des conglomérats aux marnes jaunâtres massives; le complexe des marnes jaune-blanchâtres; le complexe des conglomérats associés aux calcaires (formation de Loma Candela).

De la coupe sur la chaussée Soroa-Casa Blanca-Cayabajos sont décrits : le complexe des grès friables limonitisés; le complexe des brèches associées aux grès massifs; le complexe des marnes et des grès à séquences de type flysch.

L'analyse biostratigraphique des coupes décrites nous a permis de délimiter et de définir quelques biozones de foraminifères planctoniques. On peut rapporter ces biozones seulement à certaines parties du Paléocène, de l'Eocène inférieur et de l'Eocène moyen.

La succession complète des biozones rencontrées dans les trois coupes de la province de Pinar del Rio est la suivante :

1. *Subbotina triloculinoides/Subbotina pseudobulloides* (Paléocène inférieur)
2. *Morozovella angulata/Morozovella pusilla/pusilla* (Paléocène moyen)
3. *Morozovella aequa/Morozovella marginodentata* (Paléocène supérieur)
4. *Morozovella subbotinæ* (Eocène inférieur)
5. *Acarinina brödermanni* (Eocène inférieur)
6. *Morozovella aragonensis/Acarinina bullbrookti* (Eocène inférieur)
7. *Morozovella lehneri* (Eocène moyen)

L'inventaire micropaléontologique des échantillons de la province d'Oriente comprend une série d'associations caractéristiques de certaines parties du Paléocène et de l'Eocène. Suivant un ordre chronologique, elles sont :

L'association d'âge paléocène supérieur, qui comporte *Morozovella aequa*, *Mz. marginodentata*, *Mz. velascoensis*, *Acarinina acarinata*, *Ac. pentacamerata* et *Discocegella* div. sp. L'association d'âge éocène inférieur avec *Mz. aragonensis*, *Ac. convexa*, *Ac. brödermanni*, *Mz. subbotinæ*, *Mz. formosa formosa*, *Subbotina frontosa*, *Ac. bullbrookti*, *Ac. triplex*, *Ac. pentacamerata*, *Pseudohastigerina wilcoxensis*, *Planorotalites pseudoseptula*, *Asterocyelina* div. sp., *Discacyclina* div. sp., *Amphistegina* div. sp. Associations d'âge éocène moyen et éocène moyen supérieur (la base). Pour la base de l'Eocène moyen de certains endroits de la province d'Oriente, de même que pour la zone de Bahia Honda-Cabañas (Pinar del Rio) on reconnaît les suivantes espèces communes : *Hankenina aragonensis*, *H. longispina*, *H. dumblei*, *Pseudohastigerina wilcoxensis*, *Ps. miera*, *Acarinina mekannai*, *Ac. spinuloinflata*, *Ac. bullbrookti*, *Ac. triplex*, *Ac. rugosocostata*, *Truncorotaloides topileensis*, *Chilogumbelina martini*, "Globigerinoides higginsoni", *Subbotina linapera*, *Catapsydrax dissimilis*.

Pour la partie supérieure de l'Eocène moyen jusqu'à la base de l'Eocène supérieur on peut mentionner : *Cribrohankenina bermudezi*, *Hankenina alabamensis*, *Turborotalita cedratis*, *Mz. lehneri*, *Pseudohastigerina miera*, *Globigerina ampliplertura*.

La microfaune identifiée dans les dépôts paléocène-éocènes des provinces de Pinar del Rio et d'Oriente est représentée — dans son ensemble — par : 74 genres et espèces de foraminifères planctoniques; 14 genres à diverses espèces de foraminifères benthoniques petits; 5 genres à diverses espèces de foraminifères benthoniques de grande taille; radiolaires (sphériques et discoïdaux); ostracodes (valves); bryozoaires (tubes); spongiaires (spicules); échinides (spicules), algues (tubes).

4. STRATIGRAFIE

OBSERVAȚII PRIVIND LIMITA JURASIC-CRETACIC, STUDIATĂ PE BAZA ASOCIAȚIILOR DE TINTINNIDE, ÎN PROVINCIA PINAR DEL RIO (CURA)¹

DE

MARCEL LUPU²

Abstract

Observations on the Jurassic-Cretaceous Boundary Studied on the Basis of Tintinnidae Assemblages in the Pinar del Rio Province (Cuba). The microfacial analysis carried out on some profiles in the Pinar del Rio — Cuba disclosed the existence of several Tintinnid assemblages. The lack of the *Calpionella elliptica* zone as well as the very early occurrence of the Calpionellites species have been noticed.

Introducere

În legătură cu lucrările ce se efectuează pentru realizarea hărții geologice a Cubei, la scara 1:250 000 am avut ocazia ca, în cursul anului 1973 să efectuez studii microfaciale asupra formațiunilor de la limita Jurasic/Cretacic, în provincia Pinar del Rio.

Această provincie, situată în partea de W a țării se caracterizează printr-o largă dezvoltare a formațiunilor dispuse la nivelul intervalului stratigrafic amintit, iar faciesul calcaros sub care acestea se prezintă permite abordarea studiului tintinnidelor.

Scopul cercetărilor noastre a fost de a investiga, sistematic, secțiuni geologice prin toate unitățile structurale ale teritoriului amintit în vederea datării căt mai precise a formațiunilor respective.

Fixarea secțiunilor geologice în vederea studiului microfacial a avut la bază lucrările de cartare ce se întreprind actualmente, în vederea realizării hărții geologice a provinciei Pinar del Rio, de către un grup de geo-

¹ Comunicare în ședință din 22 mai 1974.

² Institutul de Geologie și Geofizică, str. Caransbeș nr. 1, București.

logi polonezi și cubanezi conduși de dr. A. Pszolkowski de la Institutul Geologic al Academiei R.P. Polone.

Date istorice

Investigațiile microfaciale, întreprinse pînă în prezent asupra formațiunilor de la limita Jurasic-Cretacic în provincia Pinar del Rio (Siegler, 1961; C. Khudoley, Furrázola-Bermudez, 1968) au scos în evidență prezența în acest teritoriu, a numeroase specii de tintinnide.

Cel mai detaliat studiu privind tintinnidele aparține lui K. Kreisel și Furrázola-Bermudez (1971) care constată prezența în profilul de la Cinco Pesos a zonei cu *Crassicolaria* reprezentată prin *C. intermedia* și *C. parvula*. Referindu-se la ansamblul provinciei Pinar del Rio autorii amintiți consideră că zona cu *Calpionella* se caracterizează prin asocierea de forme de *C. alpina* cu *Tintinnopsis carpathica* și *Crassicolaria*. Privind prezența formei *Tintinnopsis carpathica* se constată absența unei zone caracterizate prin această specie.

În ce privește zona cu *Calpionellopsis* se presupune că există doar partea ei inferioară și medie, caracterizate prin prezența speciilor *Calpionellopsis simplex* și respectiv *Calpionellopsis oblonga*.

Deși în lucrare nu se consideră existența în Cuba a zonei cu *Calpionellites* se subliniază prezența în unele secțiuni, a speciei *Calpionellites darderi*.

Din păcate nu sunt descrise profilele de detaliu pentru a se putea ști dacă zonele cu tintinnide amintite în lucrare au fost întîlnite în una sau mai multe secțiuni.

Cadrul geologic

În provincia Pinar del Rio formațiunile neojurasicice și eocretacicice se dezvoltă în două unități majore și anume: Siera de Rosario în E și Siera de los Organos în W.

În Siera de Rosario succesiunea jurasică comportă la partea inferioară formațiunea San Cayetano de vîrstă jurasic-medie (poate și inferioară) și care cuprinde în mod cert și o parte a Jurasicului superior. Această formațiune este alcătuită din gresii cenușii-cafenii dispuse în majoritatea cazurilor în strate de grosimi centimetricice, în alternanță cu sisturi argilitice și mai rar cu conglomerate.

Termenul următor îl constituie formațiunea de Artemisa alcătuită preponderent din calcare micritice dispuse în strate de grosimi centimetricice sau decimetricice, între care se intercalază strate subțiri de gresii. Din această formațiune sunt cunoscute în zona Cinco Pesos amoniti a căror asociere este considerată reprezentativă pentru Tithonicul mediu (*Parodontoceras lutti* J. May, *Pseudoana hamulina rosariensis* I. May, *Corongoceras* sp., *Pseudolissoceras*) iar de la Soroa exemplare de aptichi

apartinind speciilor eocretaceice [*Lamellaplychus seranonis* (C o q u a n d) și *L. angulocostatus* (P e t e r s)] etc.

Formațiunea de Artemisa este urmată de o succesiune detritică lipsită de elemente de faună și presupusă a reprezenta un interval mai larg din Cretacic (Cretacie inferior pînă la superior). Pe alocuri în cuprinsul acestei succesiuni apar episoade de tip Wildflysch în care se recunosc și numeroase blocuri de roci bazice, ca și intercalații de calcare micritice.

Succesiunea jurasico-cretacică amintită se dispune tectonic pe un autohton alcătuit dintr-o formațiune vulcano-sedimentară de vîrstă cretacic-superioară.

Structura tectonică extrem de complicată a teritoriului se datorează și tectonicii ulterioare șariajului, care a creat șase unități structurale. Acestea au fost recunoscute și separate pentru prima dată de către grupul de geologi ai Institutului de Geologie din Varșovia al Academiei R. P. Polone.

În Siera de los Organos, după ultimele date ale aceluiași grup de geologi, succesiunea formațiunilor de la limita Jurasic-Cretacic este următoarea: formațiunea San Cayetano și formațiunea Jagua (alcătuită din calcare gri-albăstrui, în bază bituminoase, ultima urmată de grupul Vinales).

Acesta din urmă cuprinde formațiunea Guasasa care la rîndul ei cuprinde în ordine ascendentă membrul San Vicente (calcare în general massive, fine, cu accidente silicioase la partea inferioară), membrul El Americano (calcare gri – binc stratificate, în strate decimetrice pe alocuri cu intercalații de calcare șistoase), membrul Tumbaderero (calcare negre, fin stratificate cu accidente silicioase), membrul Tumbites (calcare gri, fin stratificate) și membrul La Mina (calcare fin stratificate, cu rare accidente silicioase).

Grupului Vinales îi urmează formațiunea de Ancon alcătuită din marne și calcare marnoase de vîrstă Paleocen-Eocen mediu.

Ca și în Siera de Rosario succesiunea amintită sau anumite segmente ale ei sunt șariate pe o formațiune detritică de vîrstă Cretacie superior – posibil și Paleocen.

Descrierea profilelor

În Siera de Rosario unitățile structurale sunt, în ordine ascendentă, următoarele: 1) unitate Caíamito; 2) unitatea Milcumbres-Sumidero; 3) unitatea Cinco Pesos; 4, unitatea Belen Vigoa; 5, unitatea Naranjo și 6) unitatea Cayabajos.

Au fost efectuate trasee în cuprinsul formațiunii de Artemisa, din fiecare din aceste unități analizindu-se cîte o succesiune de unitate (în unitatea Milcumbres-Sumidero trei succesiuni) în unitatea Belen Vigoa două succesiuni. Din Siera de los Organos este descrisă secțiunea de la Santo Tomas și informativ aceea de la Hacienda el Americano. Au mai fost analizate alte 3 secțiuni care însă nu au oferit nici un fel de date interesante pentru studiul microfacial.

1. Unitatea Caiamito

Aici a fost analizată o succesiune situată la N de localitatea San Diego de los Baños (fig. 1). Ea începe prin calcare fină, cenușii-negricioase, dispuse în strate de 5-10 cm, diaclazate. La aproximativ metrul 10 de la

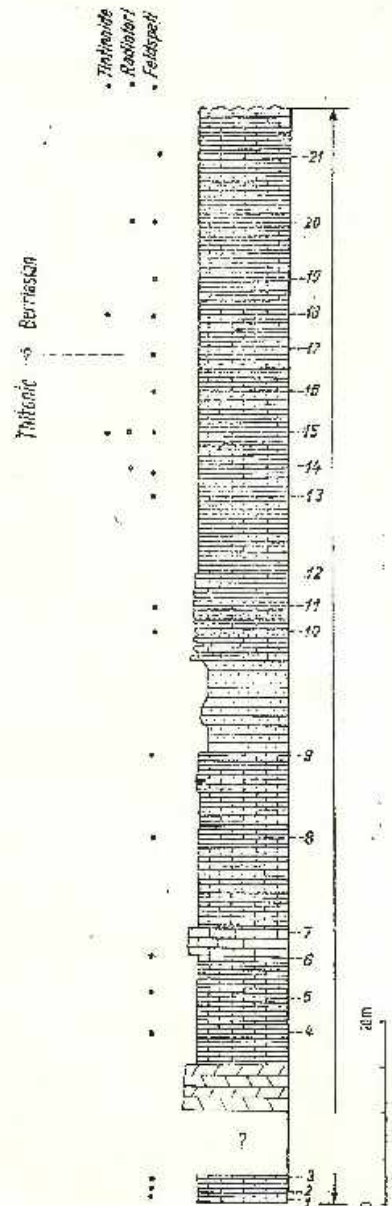


Fig.1. — Secțiune de detaliu prin formațiunea de Artemisa la N de San Diego de los Baños.
Section de détail à travers la formation d'Artemisa au N de San Diego de los Baños.

baza succesiunii apar 5 m de brecie alcătuită din fragmente de calcare stratificate, cu dimensiuni pînă la 20 cm.

În continuare succesiunea cuprinde calcare negre fine, dispuse în strate de 10-10 cm grosime.

Începînd de la aproximativ metrul 40 urmează 10 m de gresii cenușii-cafenii, diaclazate după care revin calcarele negre, în plăci de 5-10 cm.

La alti 3 m între stratele de calcare se observă lamine de gresii ajungînd uneori la grosimi de 1 cm. După alti 10 m gresiile dispar, succesiunea continuîndu-se cu calcare negre, fine dispuse în strate de 3-15 cm grosime, cu care se încheie.

Din punct de vedere microfacial profilul reprezintă o succesiune monotonă de micrite, pe alocuri microsparitizate. Sunt frecvente diaclazele de calcit și suturile stilolitice de-a lungul căror se observă concrețiuni de oxizi de Fe și material bituminos. În aproape toate secțiunile studiate apar feldspați de neoformațione, în cea mai mare parte calcitați.

Microorganismele sunt reprezentate în special prin radiolari, care apar începînd de la nivelul secțiunii 14.

Tintinnidele sunt foarte puîin reprezentate; în secțiunea 15 se întîlnesc exemplare de *Crassicolaria* aff. *intermedia* (D u r a n d - D e l g a), iar în secțiunea 18 fragmente de *Tintinnopsella carpathica* M u r g. et F i l.

2. Unitatea Milcumbres-Sumidero

a) Profilul Sumidero (fig. 2) începe prin calcare fine, cenușii, dispuse în strate de 1-20 cm grosime. La 2,5 m de la baza profilului apare o brecie calcaroasă, formată din fragmente de calcare masive și unele calcare și stacoase. După cîțiva metri de calcare fine intervine o zonă acoperită, unde se observă doar fragmente de calcare fine cenușii și sisturi argilitice violacee. Succesiunea continuă cu calcare fine cenușii dispuse în strate de 15-50 cm grosime care devin apoi mai fin stratificate. La aproximativ metrul 40 se întîlnesc calcare fine dispuse în bancuri de 1 și chiar 2 metri grosime. Succesiunea se continuă prin calcare cenușii dispuse în strate relativ groase, alternînd cu calcare fin stratificate.

După o lacună de observație, de 30-35 m grosime succesiunea continuă prin calcare fine, cenușii-închise în alternanță cu lamine de argilite violacee.

Uneori stratele de calcare au la partea lor superioară lamine de calcare care an între ele pelicule de argilite violacee. În nivelele mai joase de argilite care, uneori ajung la 20 cm grosime, se întîlnesc lentile de calcare cenușii-negricioase cu aspect de remanicere intraformatiională.

Succesiunea se continuă în acest fel pe o grosime de mai mulți metri cu observația că mai apar sporadic și nivele de gresii cafenii. La un moment dat (aproximativ metrul 200) apare o intercalătie de gresii laminate, în grosime de 80 cm după care urmează o zonă de 8-10 cm, de strate de gresii cafenii. În continuare pe o porțiune de 14-16 m predomină calcare fine cenușii-negricioase iar argilitele apar doar sub formă de pelicule între



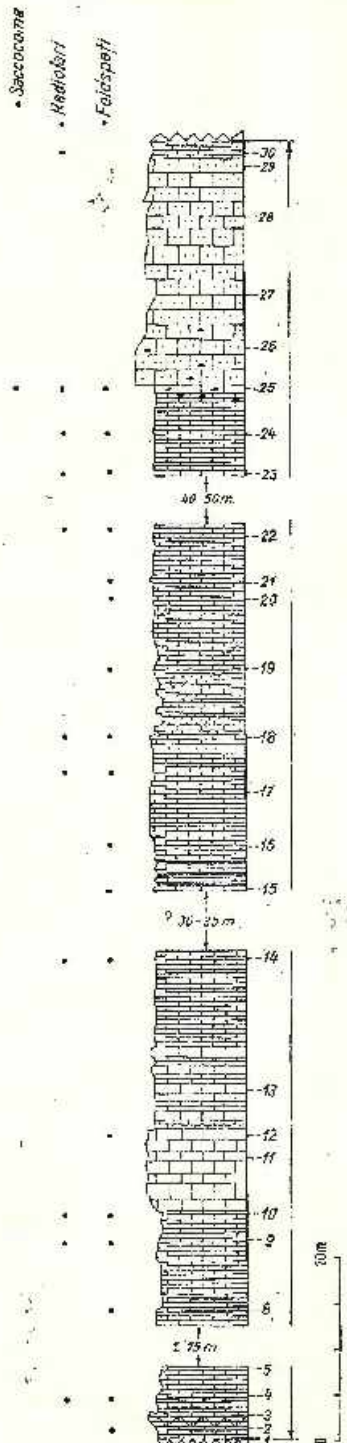


Fig. 2. — Secțiune de detaliu prin formațiunea de Artemisa la Sumidero.

Section de détail à travers la formation d'Artemisa à Sumidero.

stratele de calcare. După o nouă lacună de observație de peste 40 m succesiunea se continuă cu calcare cenușii-negricioase puternic bituminoase.

La aproximativ 20 m de începutul acestui segment de profil apar accidente silicioase și lamine de argilite violacee între stratele de calcare. După alți 5 m urmează calcarenite și calcirudite masive, cu accidente silicioase. Profilul se continuă cu calcare dispuse în strate de ± 1 m grosime și se încheie cu calcare fine, cenușii dispuse în strate de maximum 15 cm grosime.

Analiza microfacială a scos în evidență și aici predominanța micritelor cu excepția părții superioare a profilului unde predomină calcirudite, calcarenite.

Prezența suturilor stiolitice de-a lungul cărora este concentrat material bituminos este o caracteristică aproape a tuturor secțiunilor subțiri studiate.

Cu excepția ultimelor 4 secțiuni subțiri toate celelalte conțin feldspați de neformațiune, calcitizati.

Primele microorganisme care se remarcă în secțiunile subțiri sunt radiolarii. Aceștia apar în secțiunea 4. În general sunt puțin numeroși și apar la unele din nivelele profilului.

Începând de la nivelul secțiunii 13 apar și exemplare de *Globochaete alpina* Lomb. care se mențin pînă în partea superioară a profilului. În secțiunea 25 apar exemplare de *Saccocoma* sp.

Din cele expuse se constată că profilul din Siera Sumidero nu depășește ca nivel stratigrafic Tithonicul mediu, situindu-se probabil sub nivelul de apariție al primelor tintinnide.

b) Profilul Rancho Mundito (fig. 3) reprezintă o secțiune care începe prin calcare cenușii-cafenii fine, dispuse în strate de 50-60 cm, amintind de calcarele membrului „El Americano” din Siera de los Organos. La aproape 20 m pornind de la baza profilului stratificația devine mai fină, culoarea lor mai închisă. Între stratele de calcare se remarcă lamine de șisturi argiloase violacee sau gresii.

Calcarale sint cenușii-negricioase, fine, stratificate în strate de 5-25 cm și puternic diaclazate. Urmează o zonă în care alternează calcare dispuse în strate mai groase (1-2 m) după care se remarcă o falie importantă.

În compartimentul următor succesiunea începe cu (secțiunea 21) calcare negre dispuse în strate de 5-20 cm grosime, diaclazate, microcavitate. Apar și lamine grezo-argiloase gălbuie. În continuare apar calcare cu o stratificație mai groasă; 30-80 cm grosime de strat ajungind (la nivelul secțiunii 27) la grosimi de 1-1,5 m. Peliculele de argilite violacee sint și aici prezente. La acest nivel apar primele accidente silicioase.

O nouă falie (mai puțin clară ca prima) face ca să apară, în continuare, calcare cu accidente silicioase. Laminele argiloase sint încă prezente. Succesiunea se continuă cu calcare cenușii, dispuse în strate de 10-30 cm grosime. Se recunosc de asemenea accidente silicioase. Din cind în cind apar strate de calcare în grosime de 1-1,5 m sau (secțiunea 44) de 3-4 m.

Laminele pelitice devin în acest segment al profilului mai groase, ajungind la stratul de 10 cm grosime. Uneori în cuprinsul stratelor de pelite apar lentile centimetrice de calcare. În această parte a profilului calcarele prezintă uneori o pseudostratificare, aspectul lor general fiind cel al bancurilor relativ groase. Accidentele silicioase sunt aproape tot timpul prezente în partea sa terminală profilul conține micrite dispuse în strate subțiri; apar și accidente silicioase. Profilul se încheie cu gresii cafenii fin stratificate.

Studiul microfacial al profilului efectuat pe secțiuni subțiri a scos în evidență în primele 10 secțiuni existența micritelor. Următoarele 8 secțiuni denotă roci microsparitizate. Se remarcă pe alocuri dolomitizări.

Secțiunea subțire 19 oferă un pelsparit cu oncolite, pellet-uri, pseudoolite. În continuare profilul este constituit în special din micrite, unele microsparitizate. Exceptie fac secțiunile 24, 26, 34, 44, 46, 50 care reprezintă pelsparite. În unele din aceste secțiuni apar și rare oolite. Ca și în celelalte profile analizate diageneza calcaroasă este și aici prezentă ca de altfel și suturile stilolitice de-a lungul căror se acumulează material bituminos și oxizi de Fe. În cîteva secțiuni se observă foarte clar faptul că diaclazele de calcit întrețin suturile stilolitice.

În secțiunea 52, pe suturile stilolitice se observă glauconit.

Feldspății de neoformăjune sunt și aici destul de frecvenți fără a apărea în fiecare secțiune. Secțiunea 51 este ultima care conține feldspății de neoformăjune.

Microorganismele sunt reprezentate, în primul rînd prin spiculi (de obicei triaxonii) de spongieri. Radiolarii sunt mult mai puțin frecvenți decît în alte profile analizate; apar mai des către partea superioară a profilului.

În mare parte din calcarele pelsparitice examineate apar exemplare de *Favreina*.

La partea inferioară a profilului (secțiunea 9) apar exemplare de *Globochaete alpina*, ca și în secțiunea 53.

În intervalul dintre secțiunile 30-43 apar numeroase exemplare de *Saccocoma* sp.

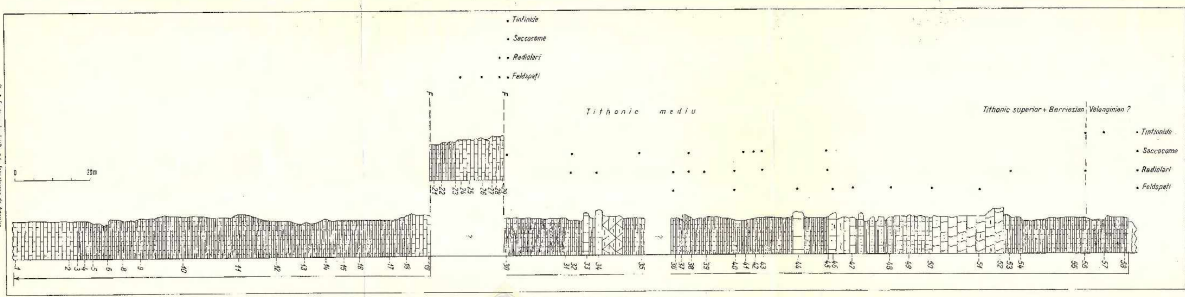
Primele fragmente de tintinnide, nedeterminabile, apar în secțiunea 53 împreună cu exemplare de *Globochaete*.

În secțiunea 56 apar exemplare clare de *Tintinnopsella carpathica* (Murg. et Fil.) și *Calpionellites* aff. *darderi* Colom.

În secțiunea 57 apare *Remaniella cardishiana* Colom.

Din analiza microfacială a acestui profil se remarcă, pentru prima dată, prezența pelsparitelor cu *Favreina*, care denotă existența în momentele respective a unor condiții de sedimentare mai apropiate de fjord. Ultimul segment al profilului este micritic, denotă o sedimentare pelagică ceea ce corespunde de altfel și aparițiile de tintinnide. Prezența exemplarelor *Tintinnopsella carpathica* și *Calpionellites* aff. *darderi* cit și a speciei *Remaniella cardishiana* demonstrează existența unui nivel situat în Berriasianul superior poate chiar în Valanginianul inferior.

Se poate deci presupune că nivelul secțiunii 43 aparține încă Tithoniu lui mediu. Intervalul dintre secțiunile 44 și 56 se plasează în Tith-



nicul superior și Berriasian iar ultimele secțiuni este posibil să aparțină Valanginianului.

Deși studiat informativ profilul de la Zarza a oferit date interesante. Partea inferioară a succesiunii este alcătuită din calcare cenușii-cafenii, dispuse în strate de ± 10 cm grosime. În partea centrală sunt caracteristice calcare cenușii-negocioase dispuse în strate de 5-20 cm grosime, iar la partea superioară apar calcare albicioase fine dispuse în strate subțiri, între care se interpun uneori calcare în grosimi de 50-60 cm. Aici apar și accidente silicioase.

Din punct de vedere microfacial succesiunea este alcătuită din mierite, în parte microsparitizate. În secțiunile ce provin din partea centrală a profilului sunt frecvenți feldspații de neoformăjune.

În partea inferioară lipsește o microfaună caracteristică. Partea mediană a profilului cuprinde exemplare de *Saccocoma* peste care urmăză un nivel în care apare o asociație alcătuită din *Crassicollaria parrula* Remane, *Calpionella alpina* Lor. și *Crassicollaria massutiniana* Colom. cît și *Crassicollaria aff. intermedia* Durand-Delga și *Calpionella alpina* Lor. Asociate acestui nivel apar și forme de *Parodonticeras*, *Corongoceras*. Calcarele fine albicioase din segmentul superior al profilului oferă o asociație alcătuită din *Tintinnopsis carpathica* (Mürg. et Fil.), *Calpionellopsis oblonga* Remane și unele exemplare de *Calpionellites darderi* Colom.

Se remarcă în cuprinsul profilului limita dintre zona cu *Saccocoma* și zona cu *Crassicollaria* care corespunde limitei Tithonic mediu-Tithonic superior.

Limita între calcarele cenușii-negocioase și cele albe din partea superioară a profilului corespunde aproximativ bazei zonei cu *Calpionellopsis*, respectiv bazei Berriasianului superior.

O zonă tipică cu *C. alpina* și *C. elliptica* nu a fost recunoscută. Zona cu *Calpionellopsis* nu se delimitază destul de net la partea superioară deoarece în cuprinsul secțiunilor cu *Calpionellopsis* apar și numeroase exemplare de *Calpionellites*.

Comparind profilul amintit cu cele două descrise anterior se constată deosebiri litologice și caracterul mai condensat al succesiunii de la Zarza.

3. Unitatea de Cinco Pesos

Aici a fost studiată o secțiune situată la E de Loma Faretero (fig. 4). Succesiunea comportă în general calcare fine la partea inferioară cu intercalări de gresii și sisturi cărămizii de tip San Cayetano. Uneori la partea superioară a calcarelor apar lamele detritice și de calcesisturi. La sfîrșitul treimii inferioare a profilului componenta detritică se reduce la simple lame. Calcarele sunt bituminoase și degajă un miros caracteristic la spargere. La partea terminală a succesiunii apar accidente silicioase.

Din punct de vedere microscopic se remarcă același caracter predominant microsparitic al rocilor cît și prezența în aproape toate secțiunile subțiri a feldspaților de neoformăjune. Microorganismele sunt reprezentate doar prin exemplare de radiolari și *Globochaete* (secțiunile 11, 12, 31),

• Radiolarit
• Feldspatit

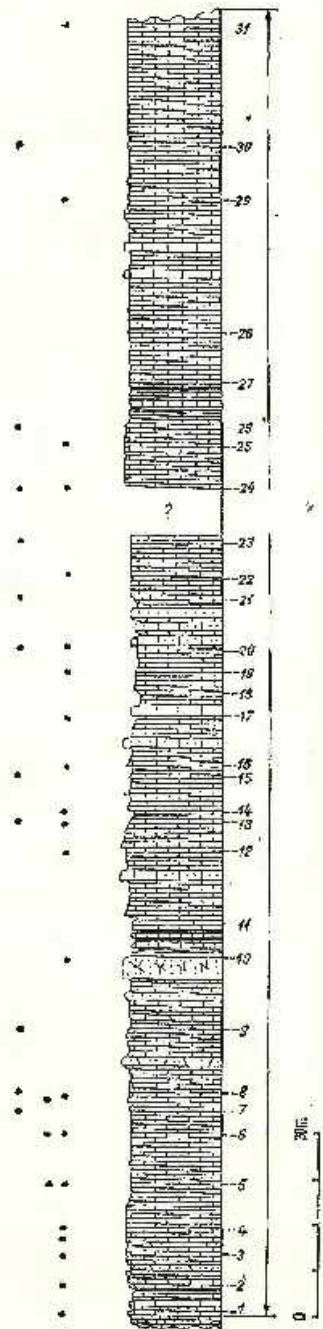


Fig.1. — Secțiune de detaliu prin formațiunea de Artemisa la Loma Faretero.
Section de détail à travers la formation d'Artemisa à Loma Faretero.

astfel că din punctul de vedere al posibilității de stabilire a limitei Jurasic/Cretacic nu există nici un fel de indicii.

4. Unitatea Belen Vigoa

a) A fost studiat profilul de-a lungul drumului Cinco Pesos în partea sa de N, pînă la afluentul din E, Braciliano Roble (fig. 5).

Din punct de vedere megascopice secțiunea se caracterizează prin alternață dintre calcare fin și gresii cafenii, sistoase, uneori calcarenite.

La partea superioară a secțiunii predomină calcarenite, brecii calcaroase și gresii, iar micritele au deseori aspect lenticular sau budinat, observindu-se și materialul interbudinal alcătuit din sisturi violacee și gresii.

La lovire calcarele degajă miros de substanță bituminoasă.

Secțiunile subțiri au scos în evidență caracterul lutitic, în parte recristalizat al majorității calcarelor, radiolari sau ostracode. S-a remarcat de asemenea absența totală a feldspațiilor de neoformăriune.

b) Profilul informativ de la Soroa — de-a lungul drumului ce traversează Sierra de Rosario.

Succesiunea, care are la bază un contact tectonic, începe prin calcare negricioase dispuse în strate subțiri (~ 10 cm grosime) cuitate, în grosime totală de aproximativ 15 metri după care urmează calcare cenușii în majoritate fine, dispuse în strate de 10-15 cm. Pe alocuri intervin strate mai groase alcătuite din calcarenite, sau uneori chiar gresii cuartoase cu ciment calcaros.

Secțiunile subțiri efectuate au evidențiat încă o dată caracterul predominant micritic al calcarelor. La partea mediană a succesiunii apar uneori feldspați de neoformăriune calcitizați.

La partea inferioară a nivelului de calcare negricioase apare o asociație alcătuită din *Crassicolaria* aff. *parvula* Remane, *Calpionella alpina* L o r. iar la partea superioară *C. alpina* Col. și *C. elliptica* Ca d. împreună cu *Globochaete alpina* Lomb.

La partea superioară a calcarelor negricioase și la partea inferioară a calcarelor cenușii secțiunile subțiri cuprind în exclusivitate exemplare de *Calpionella alpina* urmate de cîteva secțiuni cu *C. alpina* și *C. elliptica*.

În restul secțiunilor subțiri nu apar tintinnide, cu excepția ultimei secțiuni subțiri în care au fost identificate cîteva exemplare de *Remaniella cadishiana* Colom. Din același strat au fost colectate și exemplare de *Lamellaptychus* sp.

Din datele prezentate rezultă că în cuprinsul nivelului inferior de calcare, negricioase, se situează limita dintre zona cu *Crassicolaria* și zona cu *Calpionella alpina*, ultima cuprinzînd și partea inferioară a calcarelor cenușii. Zonele tipice cu *C. elliptica*, cu *Calpionellopsis* și cu *Calpionellites* lipsesc. Forma *Remaniella cadishiana* prezentă în ultima secțiune este caracteristică Berriasianului și Valanginiului inferior ea fiind cunoscută atât în zona cu *Calpionellopsis* cât și în partea inferioară a zonei cu *Calpionellites*.

Din analiza celor două profile din unitatea de Belen Vigoa rezultă între ele deosebiri litologice evidente. Dacă avem în vedere și caracterul



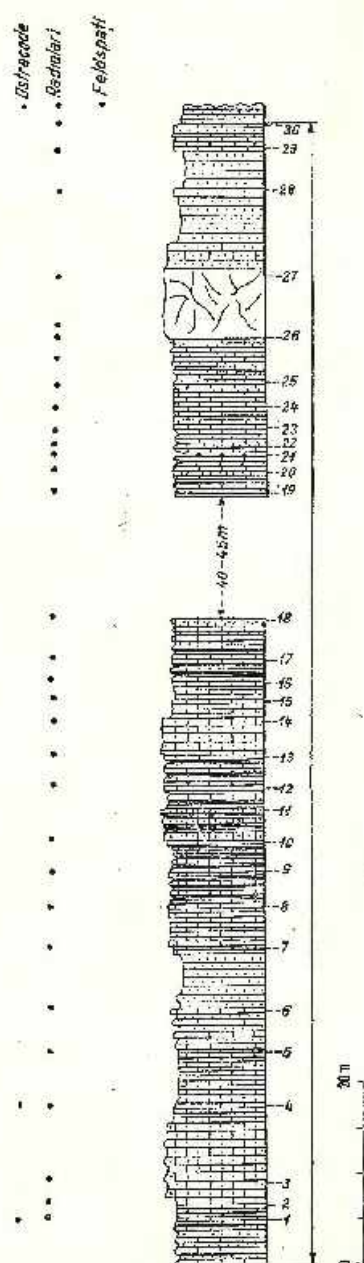


Fig. 5. - Secțiune de detaliu prin formațiunea de Artemisa în partea de N a drumului Cinco Pesos, la Braciliano Roble.

Section de détail à travers la formation d'Artemisa dans la partie N de la route Cinco Pesos, à Braciliano Roble.

condensat al intervalului Tithonic-Berriasian; constatăm o mai mare asemănare între profilul de la Soroa și cel de la Zarza.

5. Unitatea *Naranjo*

Profilul studiat se situează în continuarea traseului, la N de profilul Belen Vigoa (fig. 6).

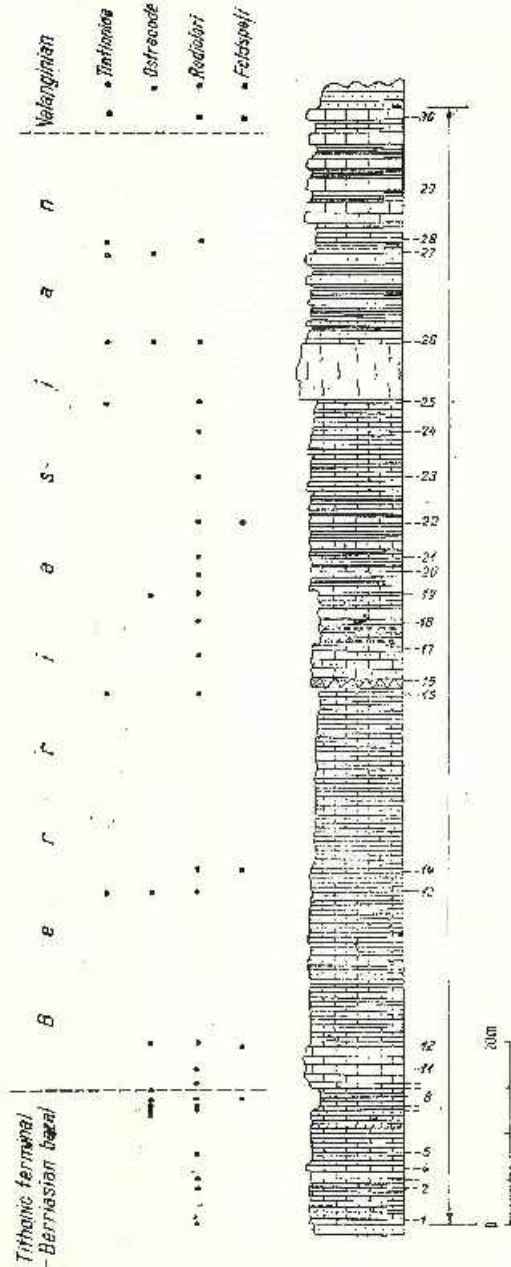


fig.6. — Secțiune de detaliu prin formația de Artemisa în partea N a drumului Cinco Pesos.

Section de détail à travers la formation d'Artemisa dans la partie N de la route Cinco Pesos.

Din punct de vedere megascopic profilul începe cu calcare fine, cenușii, diaclazate, dispuse în strate de \pm 20 cm următe de calcare fine în strate de 5-15 cm; după un nivel de microbrecii (secțiunea 16) succesiunea mai comportă cîteva strate de calcare fine după care predomină calcarenite între care apar intercalate strate subțiri de calcare fine și calcesisturi violacee.

În secțiunile subțiri se remarcă predominanța micritelor concomitent cu prezența calcarenitelor și grezo-calcarelor (secțiunile 4 și 16).

Suturile de tip stiolitic sunt frecvente în timp ce feldspații de neoformațiune apar rar în partea centrală a profilului.

Microorganismele sunt reprezentate în primul rînd prin radiolari și apoi prin ostracode.

În partea inferioară a profilului apar exemplare de *Calpionella alpina* L o r. (secțiunea 3) și *Crassicolaria parvula* R e m a n e (secțiunea 8) după care următoarea asociație este alcătuită din *Calpionellopsis aff. oblonga* (C a d i s c h) și *Calpionellites* sp. (secțiunile 13 și 15) asociate cu *Globochaete alpina* L o m b.

În partea superioară a profilului (secțiunile 25, 26, 27, 28) apar exemplare de *Calpionellopsis oblonga* (C a d i s c h), *Calpionellopsis simplex* C o l o m., *Tintinnopsella longa* C o l o m., *Tintinnopsella carpathica* (M u r g. et F i l l.) iar în ultima secțiune exemplare de *Calpionellites* și *Remaniella* nedeterminabile specifice.

Se poate astfel considera că intervalul din care fac parte probele 3-8 se situază la nivelul Tithonicului terminal-Berriasianului. Începînd de la nivelul secțiunii 13 se poate vorbi în mod sigur de prezența zonei cu *Calpionellopsis* — Berriasian superior, iar ultima secțiune ar putea reprezenta Valanginianul bazal.

6. Unitatea Cayabajos

Succesiunea este deschisă într-un anticlinal cu flancul sudic incomplet, situat la W de localitatea cu același nume (fig. 7). Ea începe cu calcare cenușii-negre fin stratificate, următe de calcare cenușii dispuse în strate de 1 m grosime, apoi din nou calcare fin stratificate, calcare fine în alternanță cu calcesisturi marnoase apoi calcare detritice, granoclasate. Profilul se încheie cu gresii cuartzoase cafenii.

Din studiul secțiunilor subțiri a ieșit în evidență prezența foarte rară a feldspaților de neoformațiune, existența substanței bituminoase, diseminată în masă rociei.

Microorganismele sunt reprezentate prin radiolari, *Globochaete alpina* L o m b. și saccocome, ultimele prezente la treimea inferioară a succesiunii astfel încît preciziunile de vîrstă sunt foarte greu de făcut.

7. Profilul Santo Tomas (fig. 8) din Siera de los Organos este situat la N de localitatea cu același nume.

Succesiunea studiată cuprinde la partea inferioară, calcaré cenușii negriesci dispuse în strate de 30-80 cm grosime care la 20-25 m de

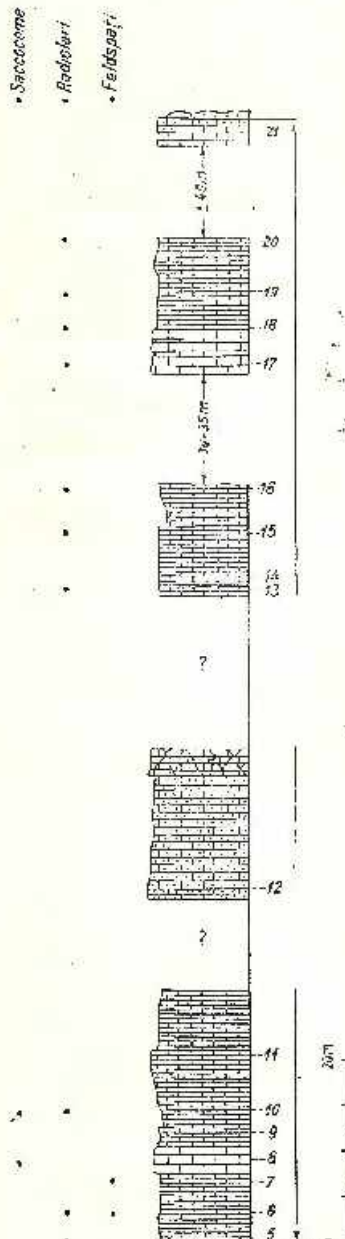


Fig. 7. — Secțiune de detaliu prin formațiunea de Artemisa la W de localitatea Cayabajos.

Section de détail à travers la formation d'Artemisa à l'W de la localité Caysabajos.

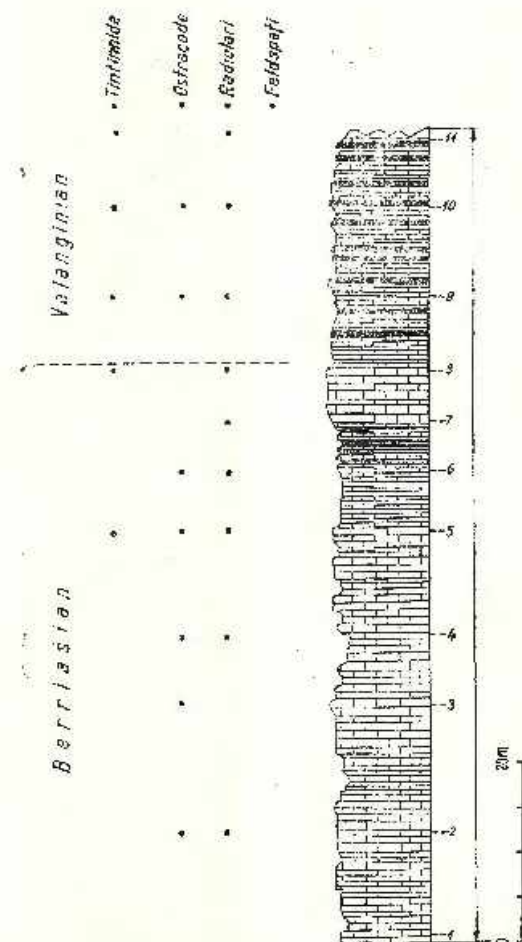


Fig. 8. — Secțiune de detaliu în calcarile neojurasic-coacretace de la Santo-Tomas.

Section de détail dans les calcaires néojurassique-éocrétaçés de Santo-Tomas.

la bază devin mai deschise la culoare. Pe următoarea porțiune de 15-20 m stratificația se păstrează la aceleași grosimi după care apar intercalajii de șisturi calcaroase (metrii 50-55). În continuare stratele de calcare sunt din nou ceva mai groase dar culoarea se deschide. La aproximativ metrul 50 se revine la calcare negricioase în care apar și accidente silicioase stratiforme, asociație de roci cu care se încheie succesiunea.

Profilul de la Santo Tomas reprezintă de fapt trecerea de la membrul El Americano — calcare în strate groase, la membrul Tumbadero — calcare mai fin stratificate, cu accidente silicioase și se continuă în acest din urmă termen.

Analiza secțiunilor subțiri a scos în evidență caracterul micritic al rocilor. Se remarcă absența totală a feldspatilor de neoformăriune. Suturile stilolitice sunt prezente, pe alocuri.

Microorganismele sunt reprezentate prin radiolari, acestora urmându-le în ordine numerică ostracodele.

Primele tintinnide, clare, apar la nivelul secțiunii 5 și sunt reprezentate prin *Tintinnopsis carpathica* (Murg. et Fil.), *Calpionella elliptica* Cadisch și *Calpionellites* sp.

La nivelul secțiunii 8 apare asociația *Calpionella alpina* Lorm., *Calpionella elliptica* Cadisch, *Romaniella* sp. Secțiunea 9 a furnizat asociația *Tintinnopsis carpathica* Murg. et Fil., *Calpionellopsis* sp. și *Calpionellites daday* Knauer iar din secțiunile următoare, asociația *Tintinnopsis carpathica* Murg. et Fil. și *Calpionellites* sp.

Din datele expuse rezultă că întreaga succesiune se plasează în Berriasian — eventual Valanginian inferior. Dacă corelăm aceste date cu unele date informative obținute prin studiul unui profil la zona de contact între membrul San Vicente și membrul El Americano în malul vestic al drumului Vinales—Consolacion del Norte (între Cueva de los Indios și motelul San Vicente) rezultă că limita Jurasic-Cretacic se plasează undeva la partea superioară a membrului El Americano. Aceasta deoarece în profilul informativ amintit secțiunile de la partea superioară a calcarului masiv au furnizat cîteva exemplare de *Saccocoma* sp. în timp ce la aproximativ 5 m deasupra bazei calcarilor stratificate au apărut exemplare de *Crassicollaria intermedia* (Duran-Delg.) iar apoi la 3-4 m mai sus exemplare de *Calpionella alpina* Lorm. În acastă situație se poate preciza faptul că, cel puțin în acest sector membrul El Americano reprezintă intervalul Tithonic superior-Berriasian inferior (pro parte).

De notat că în calcarele cu *Saccocoma* din acest profil apar și rare exemplare de *Favreina* iar în toate secțiunile studiate, feldspati de neoformăriune.

8. Profilul Hacienda El Americano oferă însă mai completă succesiune a zonelor cu tintinnide. Studiul secțiunilor a fost efectuat pe material oferit spre studiu de Maria Lujza de la Nuez.

În baza succesiunii se dezvoltă doar o cenozonă cu *Saccocoma* bine delimitată la partea ei superioară, de asociația *Crassicollaria massutiniana* (Colom.) și *Crassicollaria intermedia* (Duran-Delg.).

Următoarea asociație este alcătuitură din *Calpionella alpina* Lor., *Calpionella cristohalensis* Furrazola și *Tintinnopsella cubensis* Furrazola.

În continuare a fost întâlnită o asociație alcătuitură din *Calpionella alpina* Lor., *Calpionellopsis simplex* Colom., *Calpionellopsis ferasini* Catalano, *Remaniella cadischiana* (Col.), *Lorenziella* sp. și foarte rare exemplare de *Calpionellites darderi* Col.

Rare exemplare de *Calpionellites darderi* se asociază, în continuare și cu *Tintinnopsella carpathica* Murg. et Fil., *Calpionellopsis simplex* Col., *Remaniella cadischiana* (Col.), *Calpionellopsis oblonga* Cadiach, *Tintinnopsella longa* (Col.).

Ultimele secțiuni cuprind în exclusivitate exemplare de *Calpionellites* Col.

Se constată după datele pe care le definim, lipsa și în acest profil a zonei cu *Calpionella elliptica* cft și apariția timpurie a exemplarelor de *Calpionellites darderi* de așa manieră încât dacă am considera drept începutul zonei cu *Calpionellites*, prima apariție a acestui gen, zona cu *Calpionellopsis* ar fi practic inexistentă.

Concluzii

Cu urmăre a studiului efectuat au fost obținute următoarele rezultate:

— Se constată o predominanță netă a mieritelor în toate succesiunile studiate; se poate afirma că în intervalul Tithonicului superior-Berriasanului toate aceste secțiuni denotă un facies pelagic tipic.

— Un element caracteristic, în special profilelor din Siera de Rosario îl constituie prezența feldspașilor de neoformăjune. Aceștia sunt abundenți în Tithonic, scad în Berriasan și dispar la nivelele ce pot fi atribuite Valanginianului. În acest sens lipsa feldspașilor de neoformăjune din profilul de la Belen Vigoa ar putea denota situația acesteia la un nivel stratigrafic de la Valanginian în sus.

Spre deosebire de Siera de Rosario în Siera de los Organos feldspașii de neoformăjune apar cu totul sporadic. Întrucât prezența feldspașilor de neoformăjune poate fi considerată ca un efect al unor manifestări eruptive bazice (cunoscute în formațiunea de San Cayetano) se poate considera că, în ansamblu, domeniul de sedimentare al succesiunii calcaroase din Siera de Rosario se situa mai aproape de zona acestor manifestări.

— Profilele studiate denotă o mai mare participare a aportului detritic la alcătuirea succesiunii din Siera de Rosario decât în Siera de los Organos.

Se constată, în general, o oarecare sărăcie a asociațiilor de tintinnide. Acolo însă unde astfel de asociații au fost întâlnite se poate foarte bine diferenția zona cu *Saccocoma* de zona cu *Crassicollaria*.

Au fost identificate următoarele asociații de tintinnide:

— *Crassicollaria intermedia*, *C. parrula*, *C. massutiniana* ± *Calpionella alpina*;

— *Calpionella alpina* de obicei împreună cu *Tintinnopsella carpathica*, *Calpionella cristobalensis*, *Tintinnopsella cubensis* și foarte rar *Calpionella elliptica*;

— *Tintinnopsella carpathica*, *Calpionellopsis oblonga*, *Calpionellopsis simplex*, *Tintinnopsella longa*, *Calpionellopsis ferasini* ± *Calpionellites darderi*, ± *Calpionellites daday*;

— *Tintinnopsella carpathica*, *Calpionellites darderi*, *Remaniella cadischiana*, *Lorenziella*;

Calpionellites daday, *Calpionellites darderi*.

Nu reiese clar în evidență zona cu *Calpionella alpina* în timp ce zona cu *C. elliptica* nu a fost întâlnită, această specie apărând de la un număr foarte redus de exemplare.

Cea mai mare dificultate o reprezintă însă diferențierea zonei cu *Calpionellopsis* de zona cu *Calpionellites* datorită faptului că în cea mai mare parte a secțiunilor unde asociația a fost întâlnită apariția celor două genuri este aproape concomitentă. Considerăm că pentru teritoriul provinciei Pinar del Rio — poate pentru întreaga Cubă — se poate admite o apariție mai timpurie a genului *Calpionellites*.

— Se poate constata că succesiunile de tip *Arlenisia* nu au toate aceeași vîrstă și în acest sens se poate interpreta că formațiunea amintită este heterocronă (de exemplu profilul din Sierra Sumidero nu depășește limita superioară a Tithonicului în timp ce succesiunea din Belén Vigoa pare să se situeze în Valanginian sau mai sus).

— Dintre succesiunile studiate în Sierra de Rosario ea de la Rancho Mundito ocupă un loc aparte prin caracterul grosier al stratificației, prin prezența pelsparitelor cu *Faerrena*, elemente care îl aseamănă cu secțiuni din Sierra de los Organos.

În contrast cu profilul menționat anterior apar în secțiunile de la Zarza și Soroa unde caracterul pelagic este cel mai tipic.

Din datele existente rezultă că în Sierra de los Organos limita Tithonic median-Tithonic superior coincide cu limita membrului San Vicente cu El Americano în timp ce limita Jurasic-Cretacic se plasează în cuprinsul acestuia din urmă termen.

BIBLIOGRAFIE

- Imray B. (1944) Cretaceous Formations of Central America and Mexico. *Bull. Am. Assoc. Petrol. Geol.*, 28, 8.
 Jadoey C. M., Fúrrazuela Bermudez G. (1968) Estratigrafía y fauna del Jurásico de Cuba.
 Seiglie G. (1961) Contribución al estudio de las microfacies de Pinar del Río. *Rev. Soc. Cubana Ing.*, 61, 3.



OBSERVATIONS SUR LA LIMITÉ JURASSIQUE-CRÉTACÉ ÉTUDIÉE À PARTIR DES ASSOCIATIONS DE TINTINNIDES DANS LA PROVINCE DE PINAR DEL RIO (CUBA)

(Résumé)

L'ouvrage présente les résultats acquis par suite de l'analyse microfaciale effectuée sur des coupes dans les formations situées à la limite Jurassique-Crétacé dans la province de Pinar del Rio — Cuba.

On a identifié les suivantes associations de tintinnides :

Crassicolaria intermedia, *C. parvata*, *C. massutiniana* ± *Calpionella alpina*; *Calpionella alpina*, de règle associée à *Tintinnopsella carpathica*, *Calpionella cristobalensts*, *Tintinnopsella enhensis* et très rarement *Calpionella elliptica*;

Tintinnopsella carpathica, *Calpionellopsis ohlonga*, *Calpionellopsis simplex*, *Tintinnop-sella longa*, *Calpionellopsis ferasini* + *Calpionellites darderi* ± *Calpionellites daday*;

Tintinnopsella carpathica, *Calpionellites darderi*, *Romanella eudischiana*, *Lorenicella*;

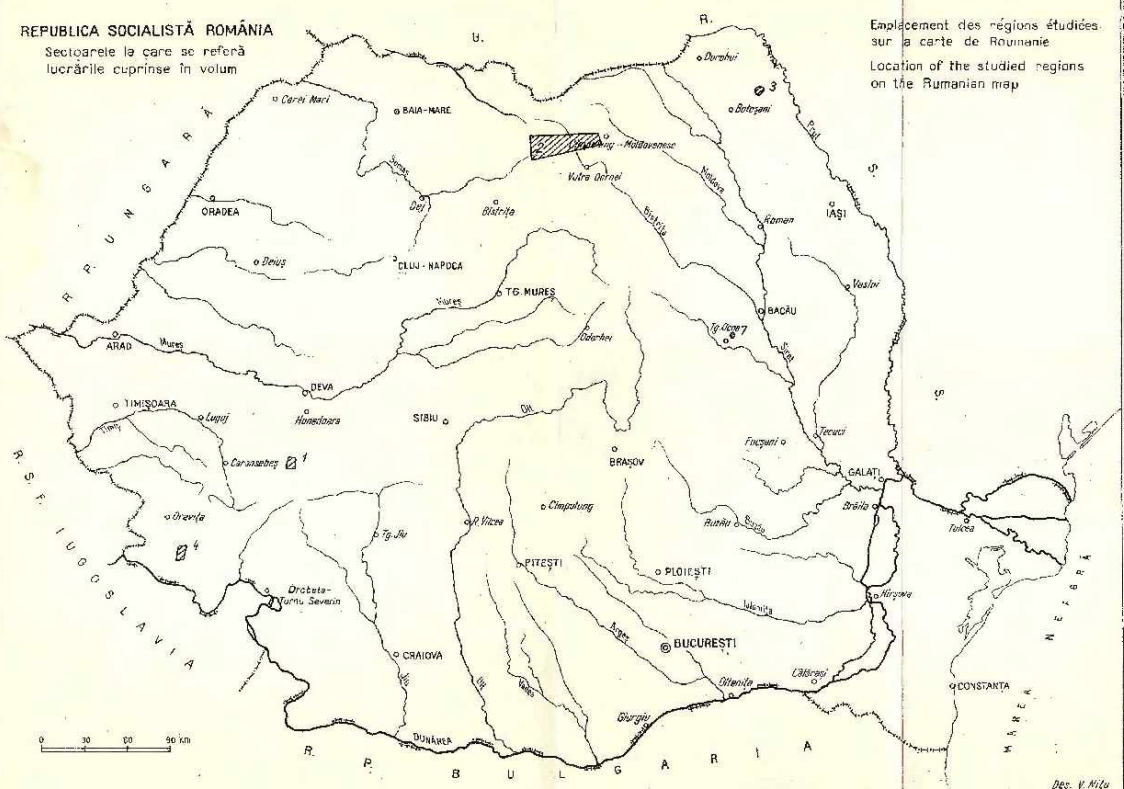
Calpionellites daday, *Calpionellites darderi*.

On a constaté l'absence de la zone à *Calpionella elliptica*, de même que l'apparition particulièrement précoce du genre *Calpionellites*, pratiquement en même temps que celle des espèces de *Calpionellopsis*.



REPUBLICA SOCIALISTĂ ROMÂNIA

Sectoarele la care se referă
lucrările cuprinse în volum



Emplacement des régions étudiées
sur la carte de Roumanie

Location of the studied regions
on the Rumanian map

CUPRINS

PALÉOZOIC

	<u>Pag.</u>
1. Gherasim N., Visarion Adina, Ziemermann P., Jordan Magdalena. Asupra vîrstei paleozoice (Devonian) a formațiunii de Vidra, din partea de nord a munților Tarcău (Carpății Meridionali)	3
2. Iliescu Violeta, Crăduțaner G. H. Contribuția cuncașterea conținutului microfloristic și a vîrstei formațiunilor metamorfice din munții Radnei și munții Bistriței	11
3. Jordan Magdalena. Studiu biostratigrafic al Paleozoicului din forajul Bătăreni (platforma moldovenească)	27

MEZOZOIC

4. Gheorghian Doina. Date biostratigrafice privind Triasicul de la Sasca (zona Besila - Moldova Nouă, Banat)	51
--	----

NEOZOIC

5. Dumitrescu P., Gieta N., Popescu Gh. Date noi cu privire la biostratigrafia și corelarea Miocenului mediu din aria carpatică	65
6. Gheorghian M. et al. Asupra biostratigrafilor depozitelor miocene din România (studiu 1974)	83
7. Lubenescu Victoria, Corabea Constanța, Cehlarev Aure, Cornea Cornelia. Date noi asupra calcarelor cu <i>Lithothamnium</i> de la Cleni (Miocenul sabearpatic din Moldova)	105
8. Marinescu F.I., Olteanu R. Considerații asupra faunei de moluște și ostracode din Neocenele părții occidentale a bazinului dacic	117
9. Nedelcu I., Corabea Constanța. Contribuții la datarea vîrstei depozitelor oligo-miocene din bazinul văii Domnei și de la Starchiojd - cravata de Drăjna	127

ALTE ÎNCĂRȚI

10. Bratu Elena. Date asupra unor profile micropaleontologice în depozitele paleocene-eocene din provinciile Pinar del Rio și Oriente (Cuba)	135
11. Lupu M. Observații privind limita Jurasic-Cretacic studiată pe baza asociațiilor de tintinnide, în provincia Pinar del Rio (Cuba)	161



CONTENU

PALÉOZOÏQUE

	Page
1. Gheorghe N., Visarion Adina, Zimmermann P., Iordău Magdalena. Sur l'âge paléozoïque (Dévonien) de la formation de Vidra dans la partie N des monts Tarcău (Carpates Méridionales)	9
2. Iliescu Violeta, Krauter G. H. Contributions à la connaissance du contenu en microflore et de l'âge des formations métamorphiques des monts Rodnei et des monts Bistriței	25
3. Iordău Magdalena. Étude de la biostratigraphie du Paléozoïque du forage de Bătrâna (Plate-forme moldave)	50

MÉSOZOÏQUE

4. Gheorghian Doina. Données biostratigraphiques sur le Trias de Sasca (zone de Besita-Moldova Nouă, Banat)	61
---	----

NÉOZOÏQUE

5. Dumitrică P., Ghete N., Popescu G. New data on the biostratigraphy and correlation of the middle miocene in the Carpathian area	79
6. Gheorghian M. et al. Sur la biostratigraphie des dépôts miocènes de Roumanie (stade 1974)	101
7. Lubeneșcu Victoria, Coroabea Constanța, Gheorghiu Aura, Cornea Cornelia. Données nouvelles sur les calcaires à Lithothamnium de Glenciu (le Miocène subcarpathique de la Moldavie)	111
8. Marinescu P., Oltreanu R. Considérations sur les associations des mollusques et des ostracodes du Méotien de la partie occidentale du Bassin Dacique	113
9. Nedea L., Coroabea Constanța. Contributions à la détermination de l'âge des dépôts oligo-miocènes du bassin de la vallée Doamnei et de Starchioia cuvette de Drăguș	133

AUTRES PAYS

10. Bratu Elena. Données sur des coupes micropaléontologiques dans les dépôts paléocène-éocènes des provinces de Pinar del Rio et d'Oriente (Cuba)	159
11. Lupu M. Observations sur la limite jurassique-crétacée étudiée à partie des associations de tintinnides dans la province de Pinar del Rio (Cuba)	179



Tehnoredactor : GEORGETA DORLEA
Traduceri : MARIANA HOROȘOS,
MARGARETA Hărjeu
Illustrația : V. NITU

Dat la cuies : februarie 1975. Bun de tipar : iulie 1975.
Tiraj : 950 ex. Hârtie seris I A. Format 70×100:56 g.
Cofii de tipar : 115. Comanda : 2316, Pentru biblioteca
Judecete de clasificare 55 (955).

Imprimăria poligrafică „Informația” str. Brăzoianu
nr. 23-25, București, România.



Institutul Geologic al României



Institutul Geologic al României

**Responsabilitatea asupra conținutului articolelor
revine în exclusivitate autorilor**



Institutul Geologic al României

INSTITUT DE GÉOLOGIE ET DE GÉOPHYSIQUE

COMPTES RENDUS DES SÉANCES

TOME LXI

1973 - 1974

4. STRATIGRAPHIE



Institutul Geologic al României